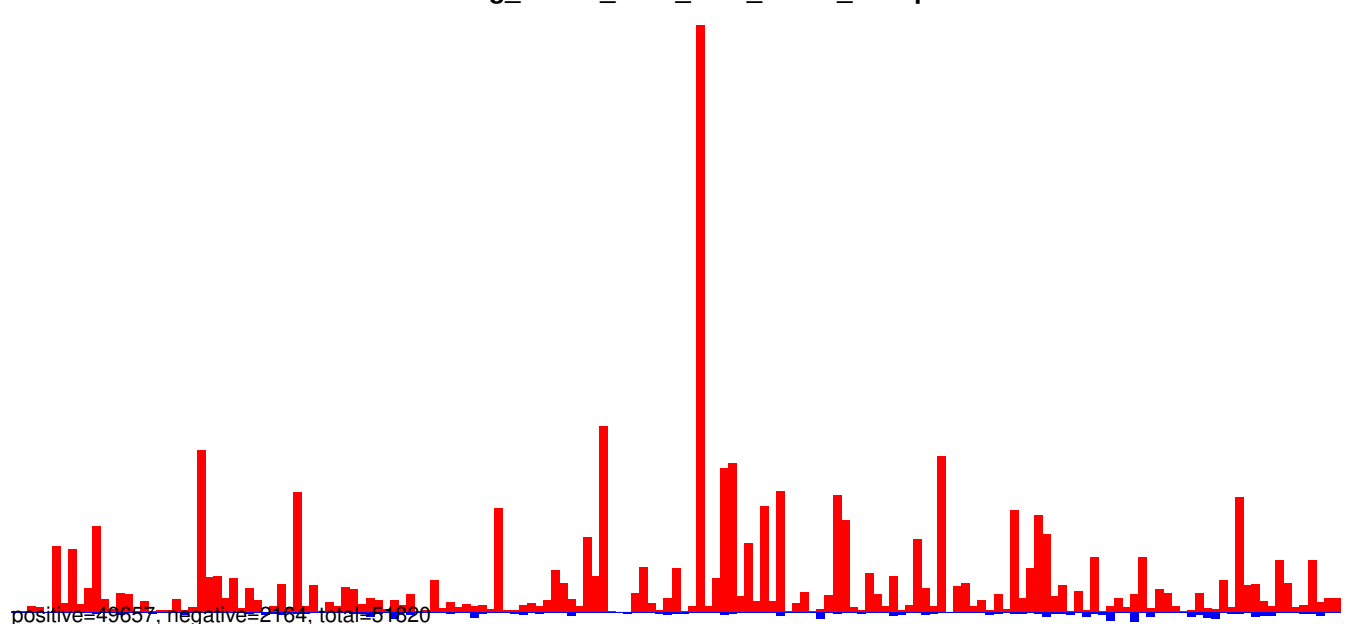
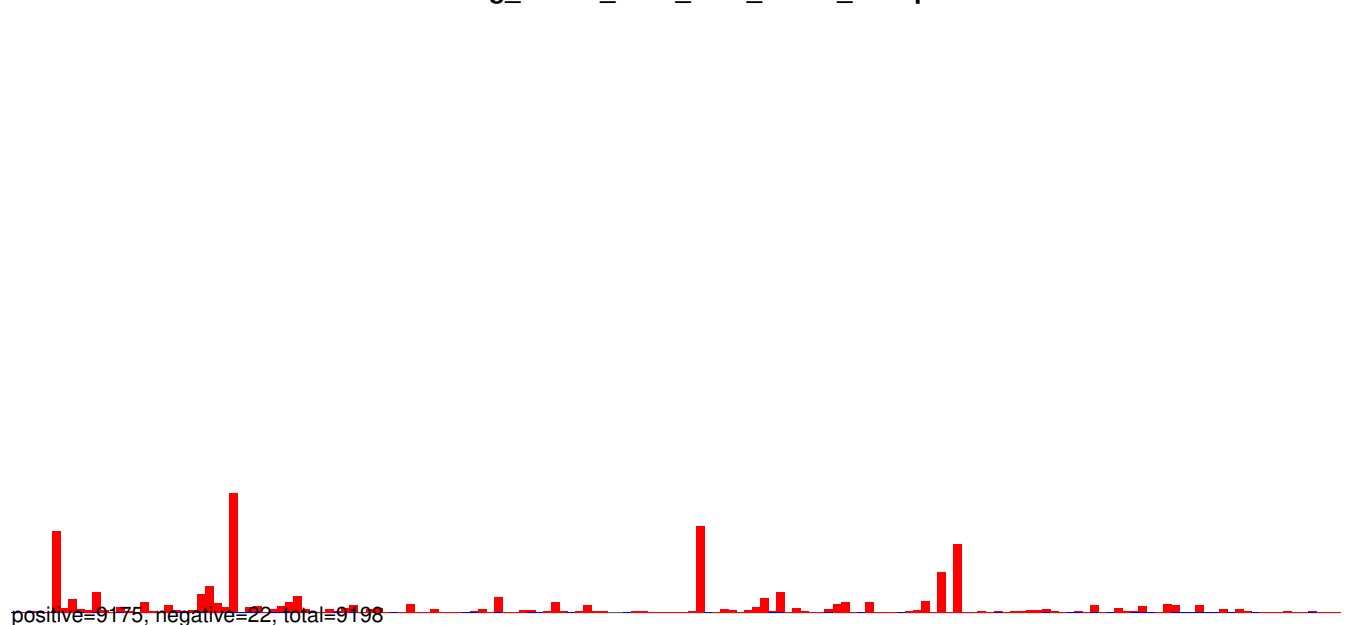


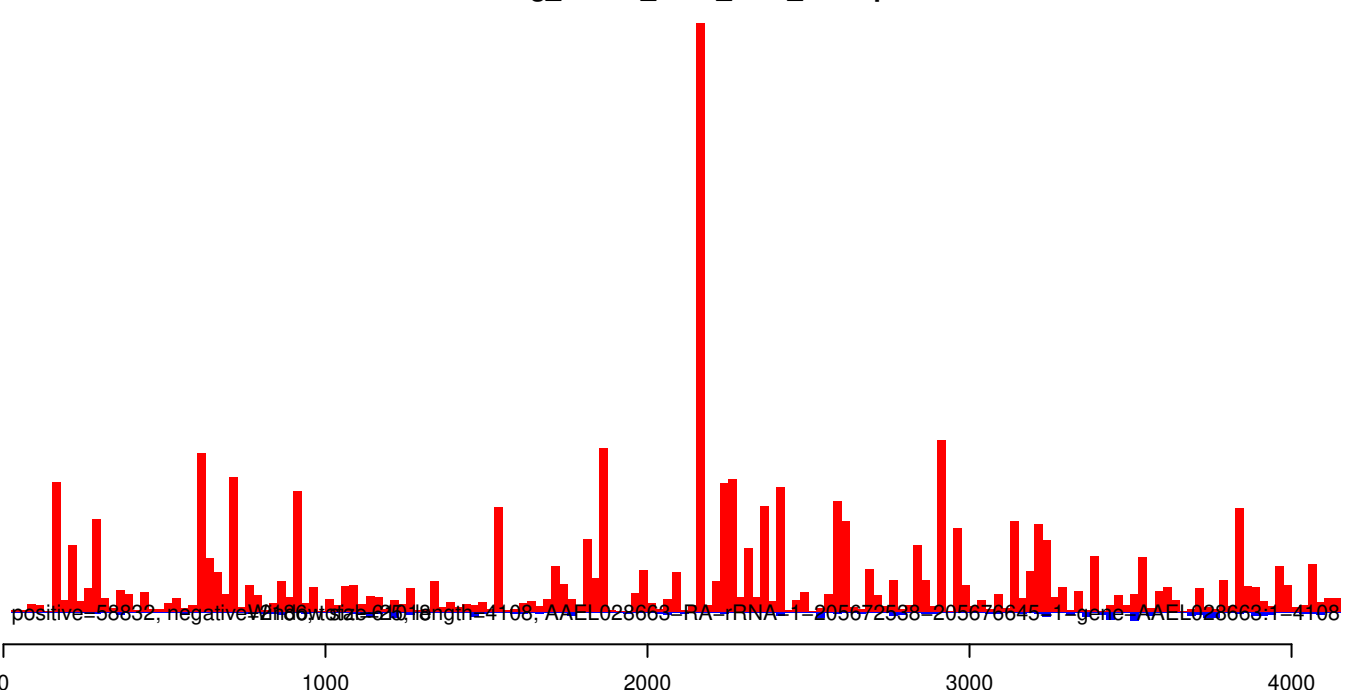
AeAeg_Whole_ZIKV_BM2_GP.18_23.rep



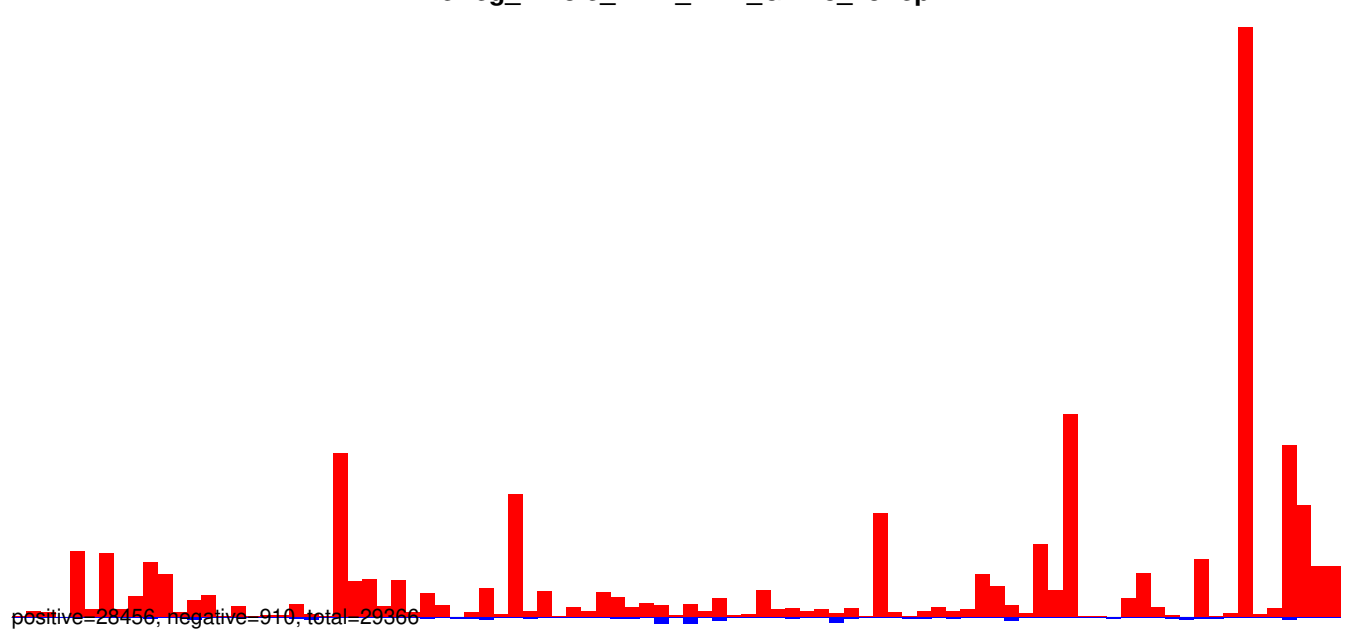
AeAeg_Whole_ZIKV_BM2_GP.24_35.rep



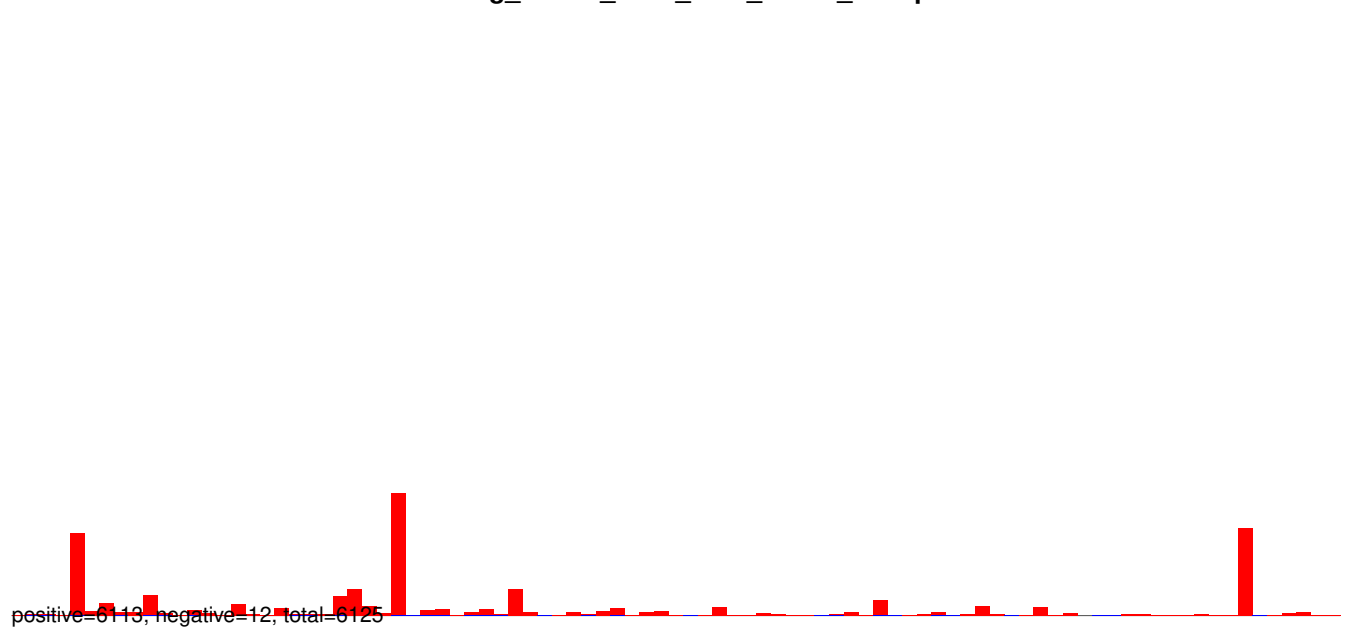
AeAeg_Whole_ZIKV_BM2_GP.rep



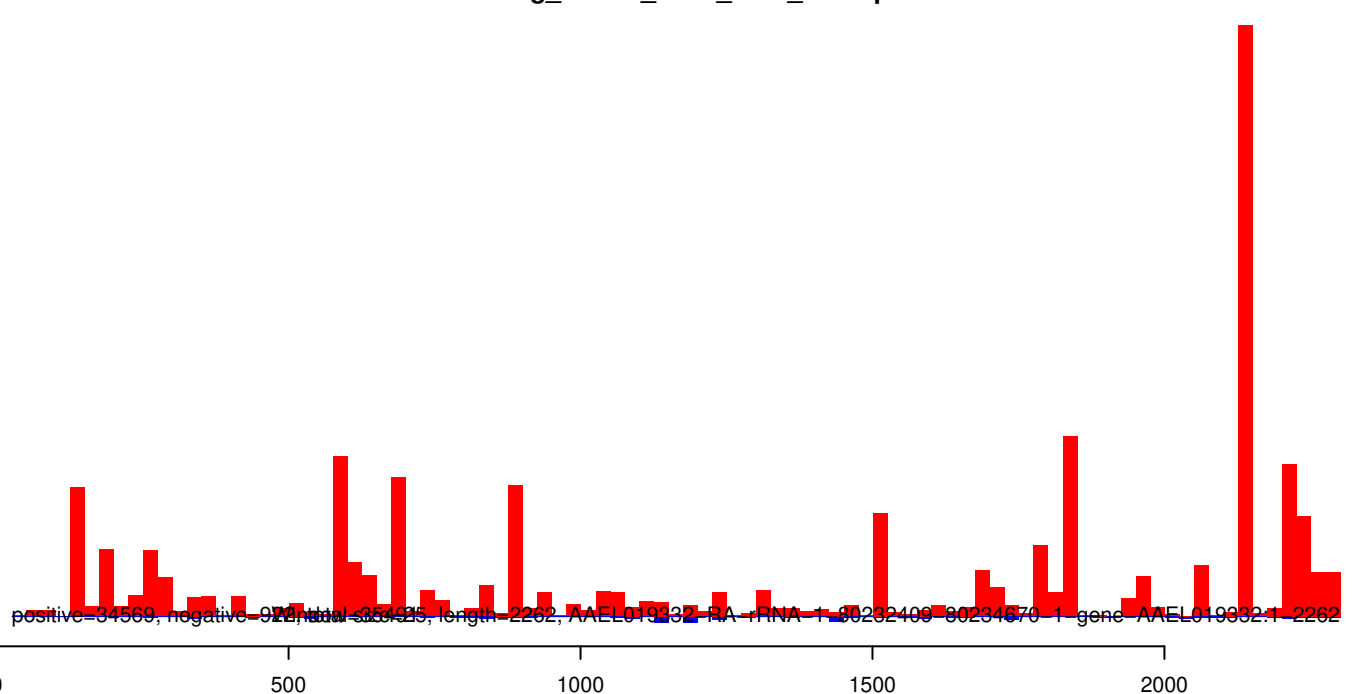
AeAeg_Whole_ZIKV_BM2_GP.18_23.rep



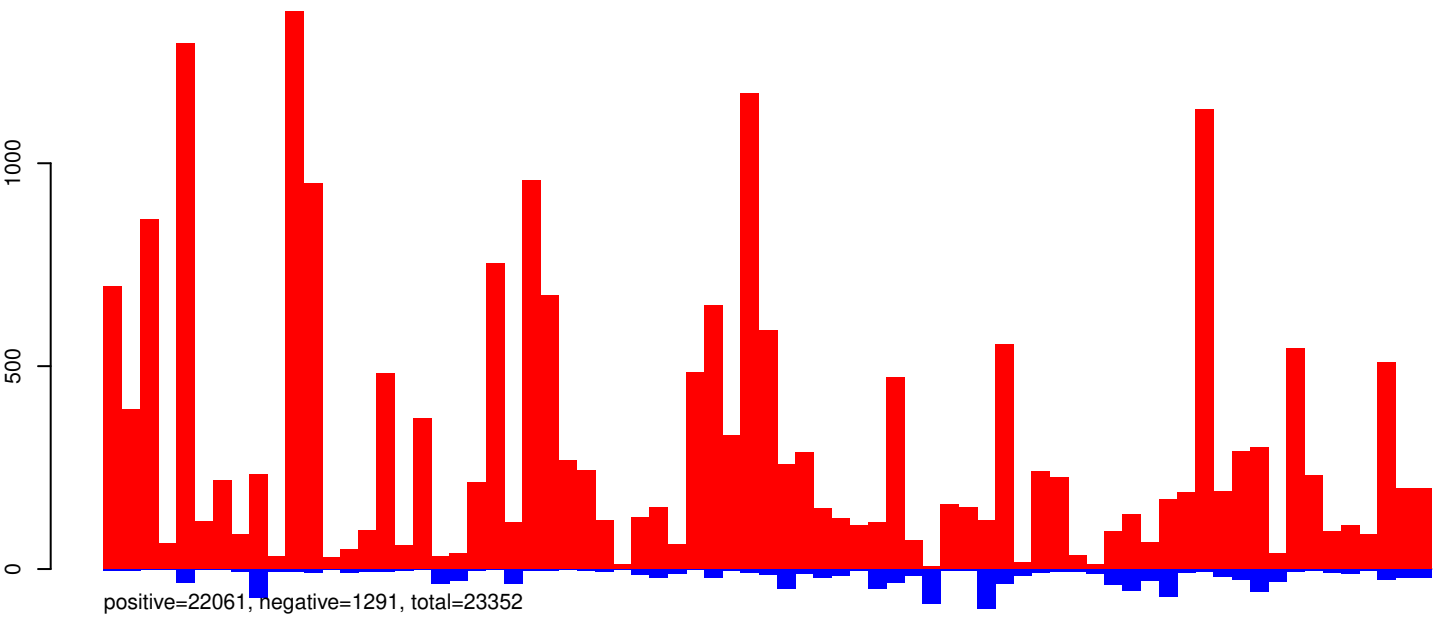
AeAeg_Whole_ZIKV_BM2_GP.24_35.rep



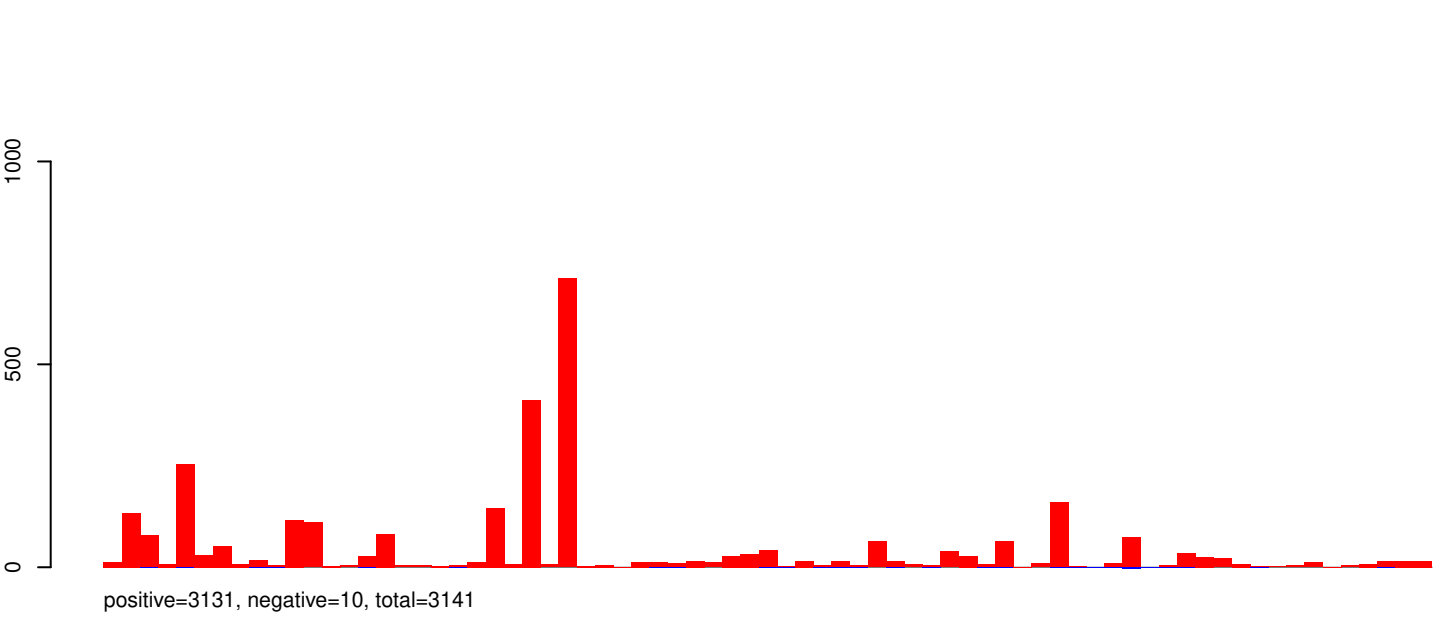
AeAeg_Whole_ZIKV_BM2_GP.rep



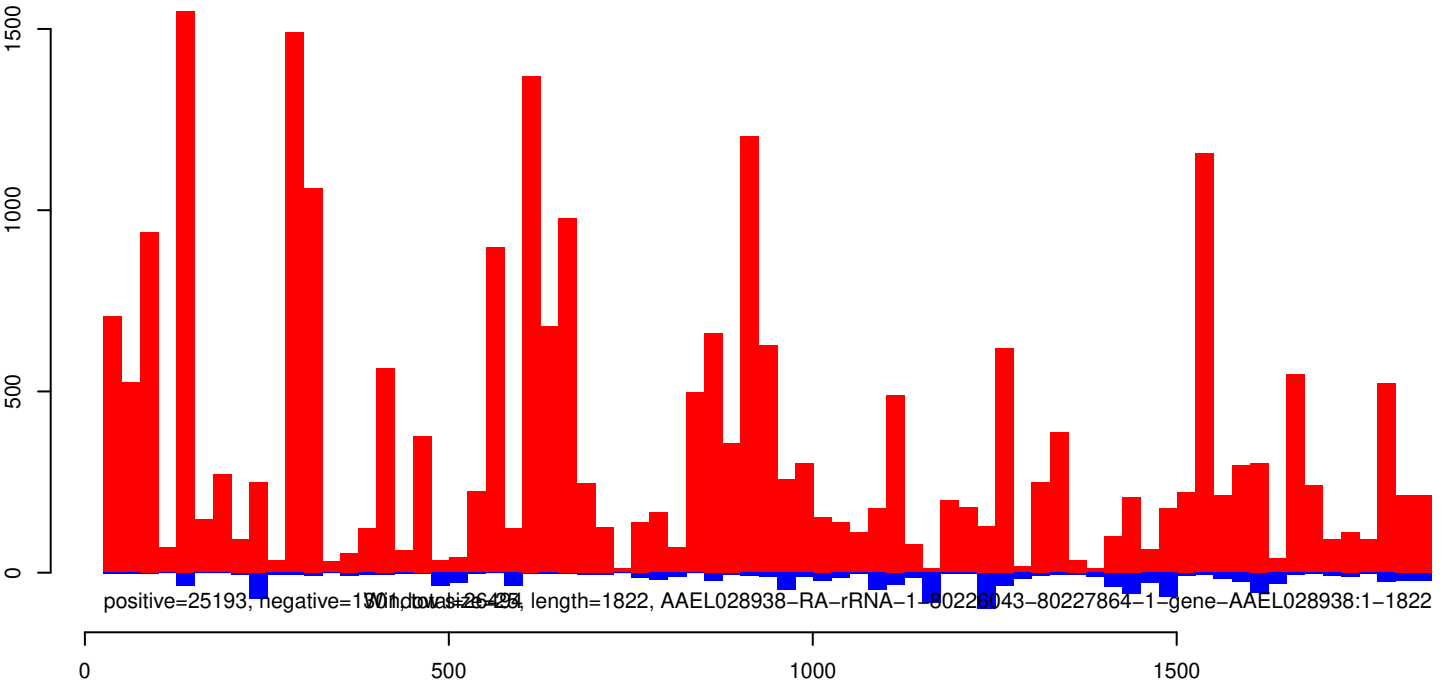
AeAeg_Whole_ZIKV_BM2_GP.18_23.rep



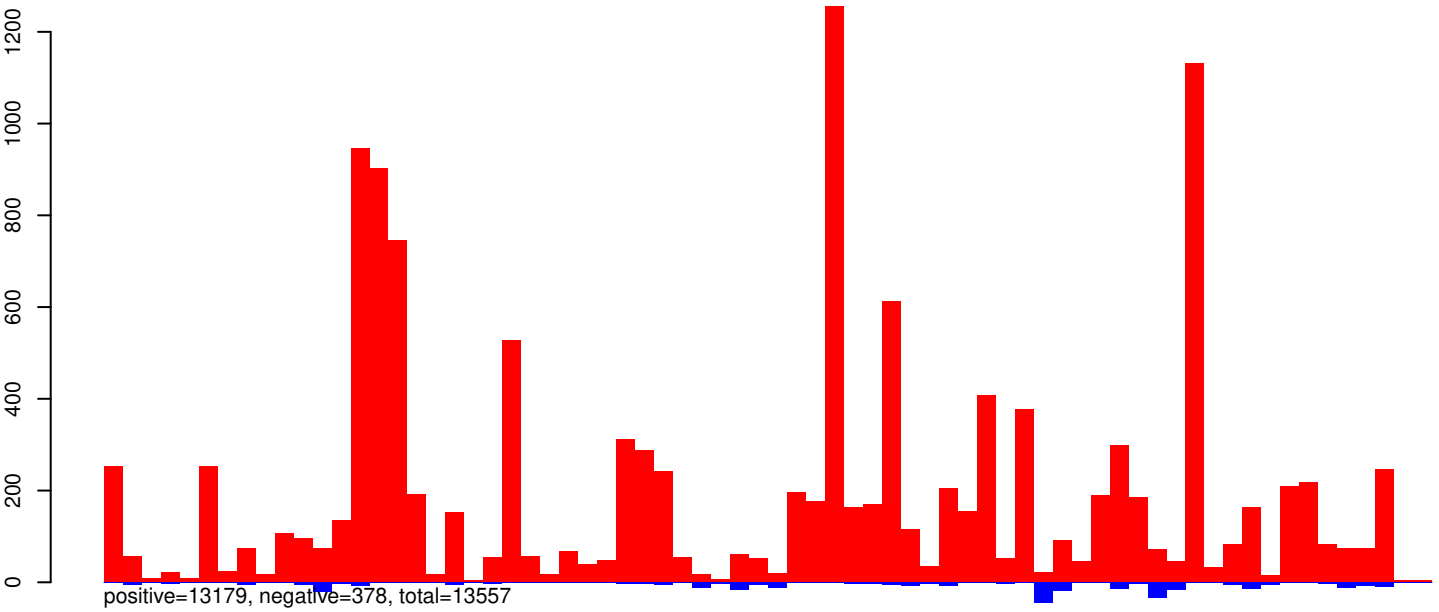
AeAeg_Whole_ZIKV_BM2_GP.24_35.rep



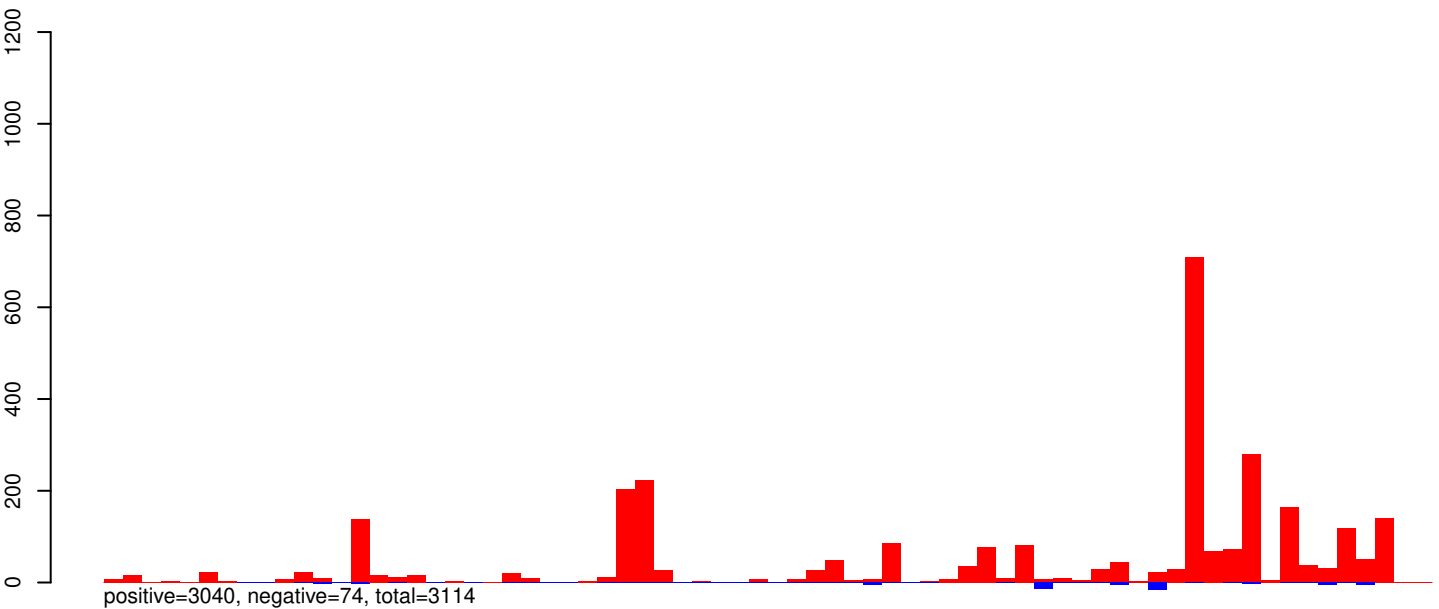
AeAeg_Whole_ZIKV_BM2_GP.rep



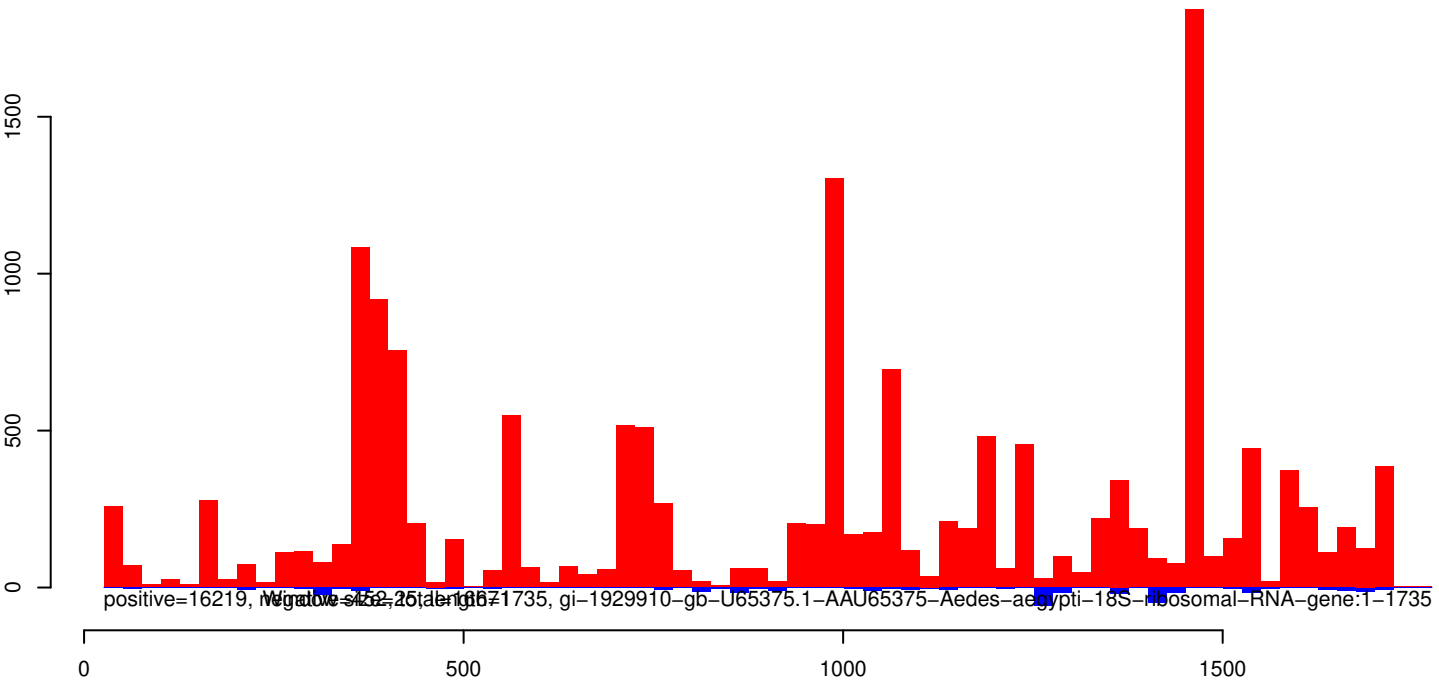
AeAeg_Whole_ZIKV_BM2_GP.18_23.rep



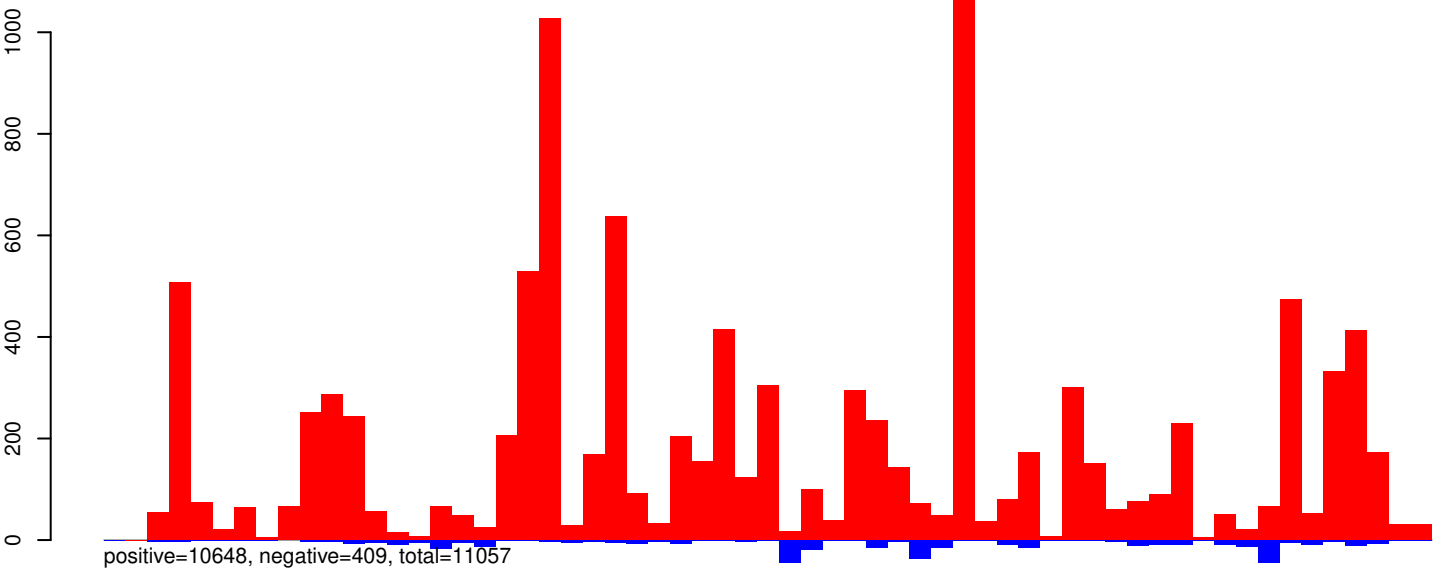
AeAeg_Whole_ZIKV_BM2_GP.24_35.rep



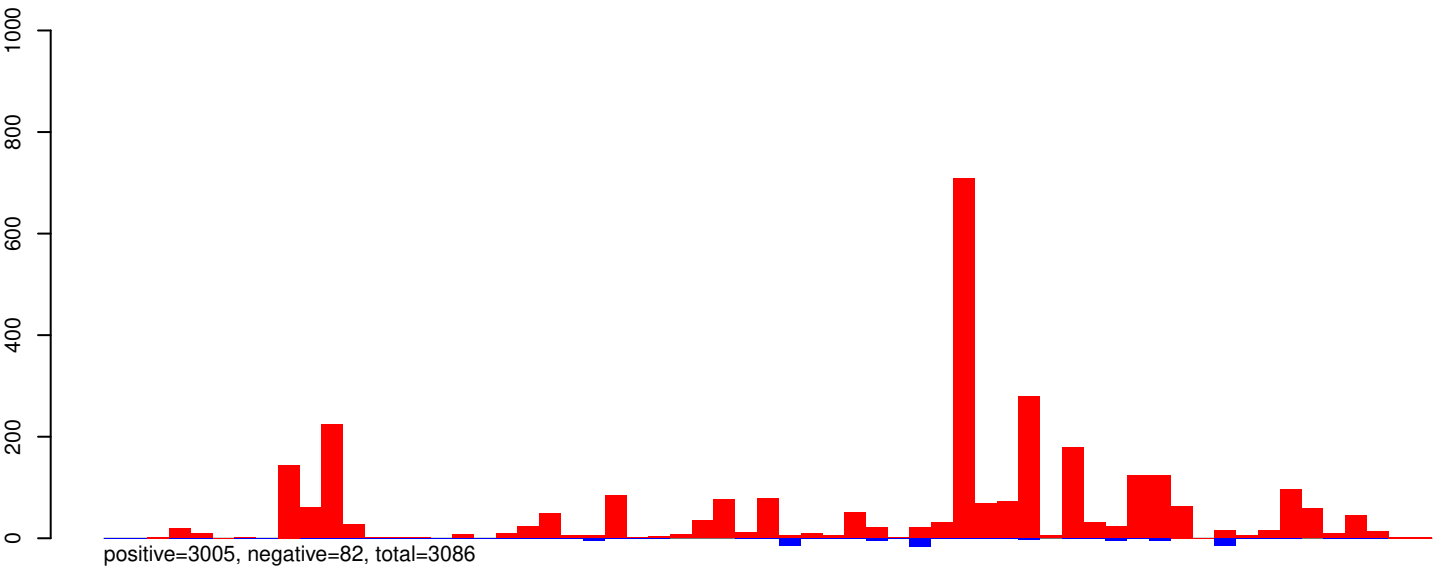
AeAeg_Whole_ZIKV_BM2_GP.rep



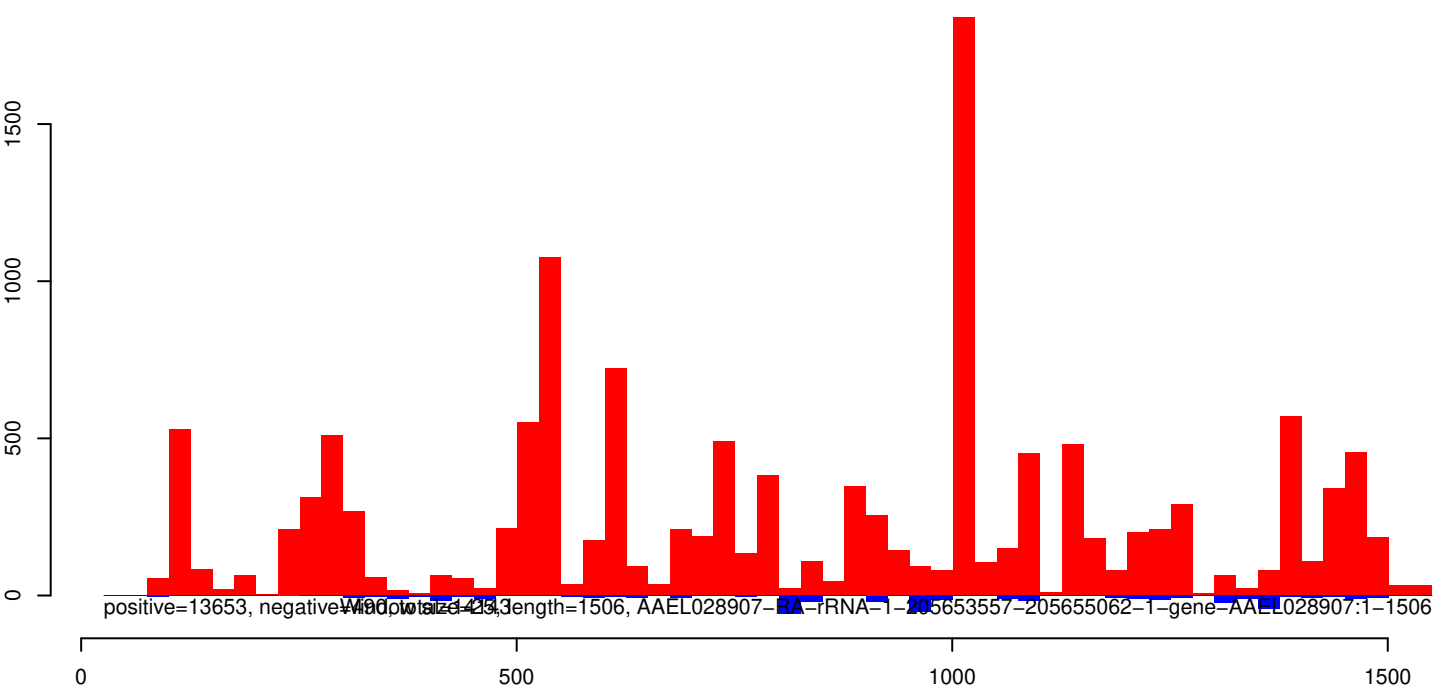
AeAeg_Whole_ZIKV_BM2_GP.18_23.rep



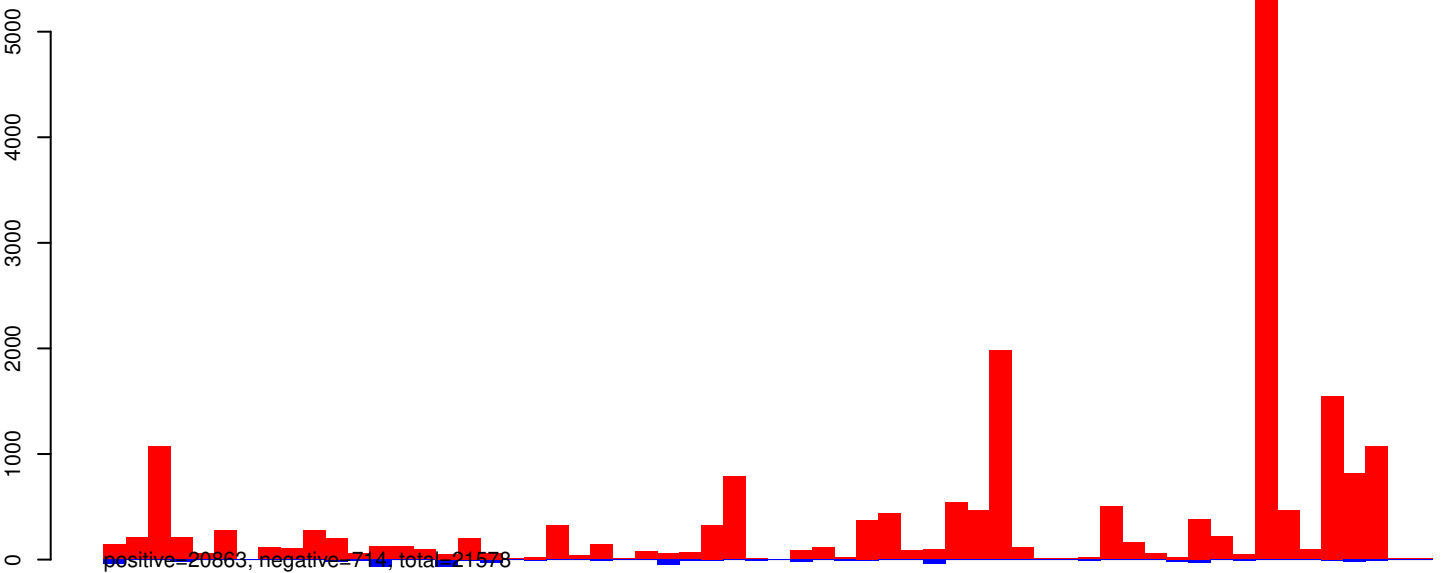
AeAeg_Whole_ZIKV_BM2_GP.24_35.rep



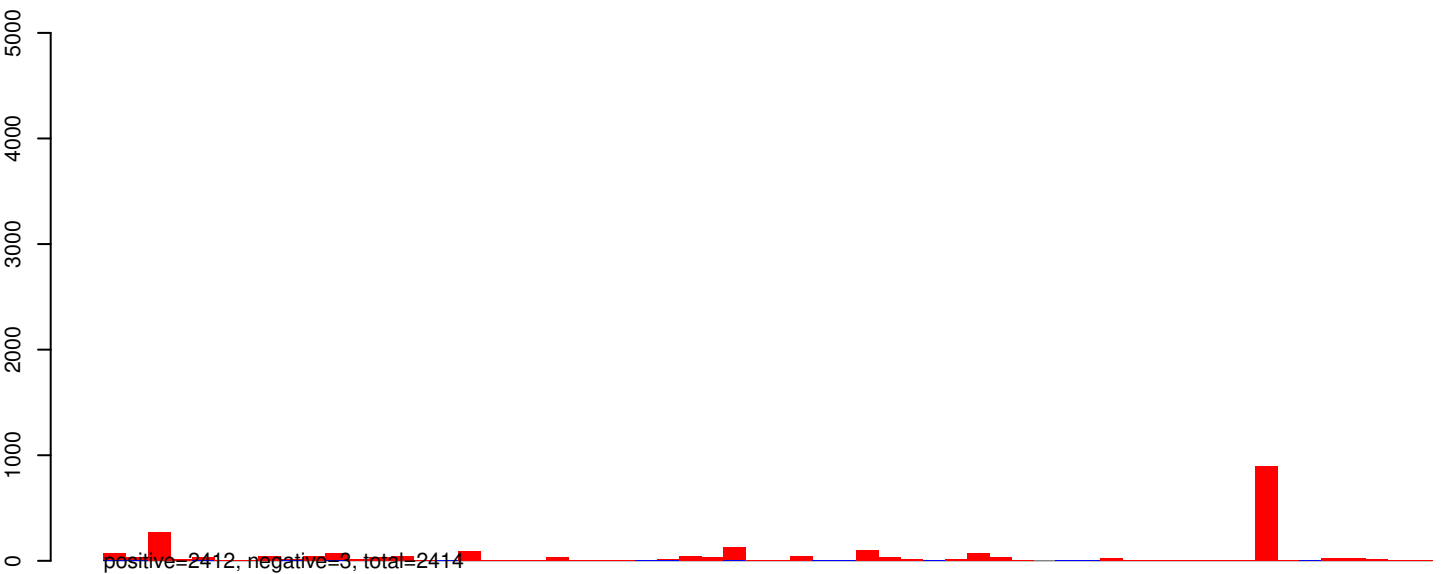
AeAeg_Whole_ZIKV_BM2_GP.rep



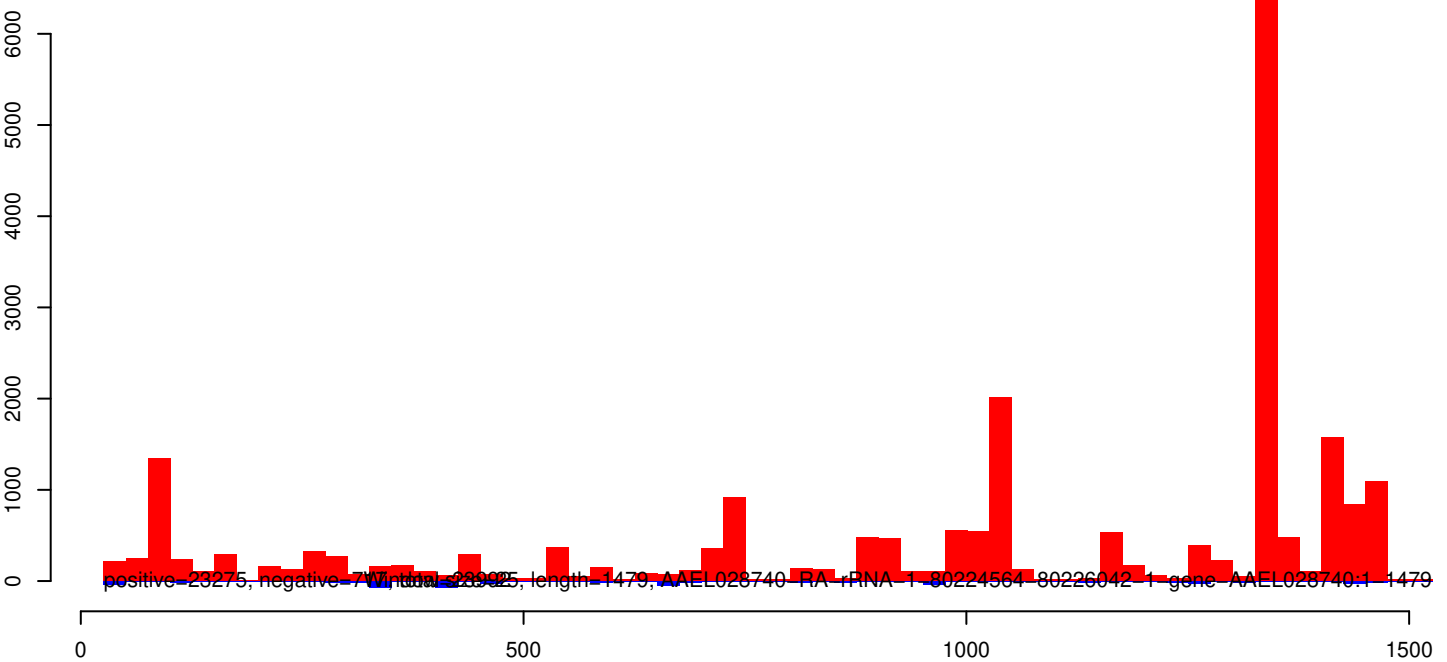
AeAeg_Whole_ZIKV_BM2_GP.18_23.rep



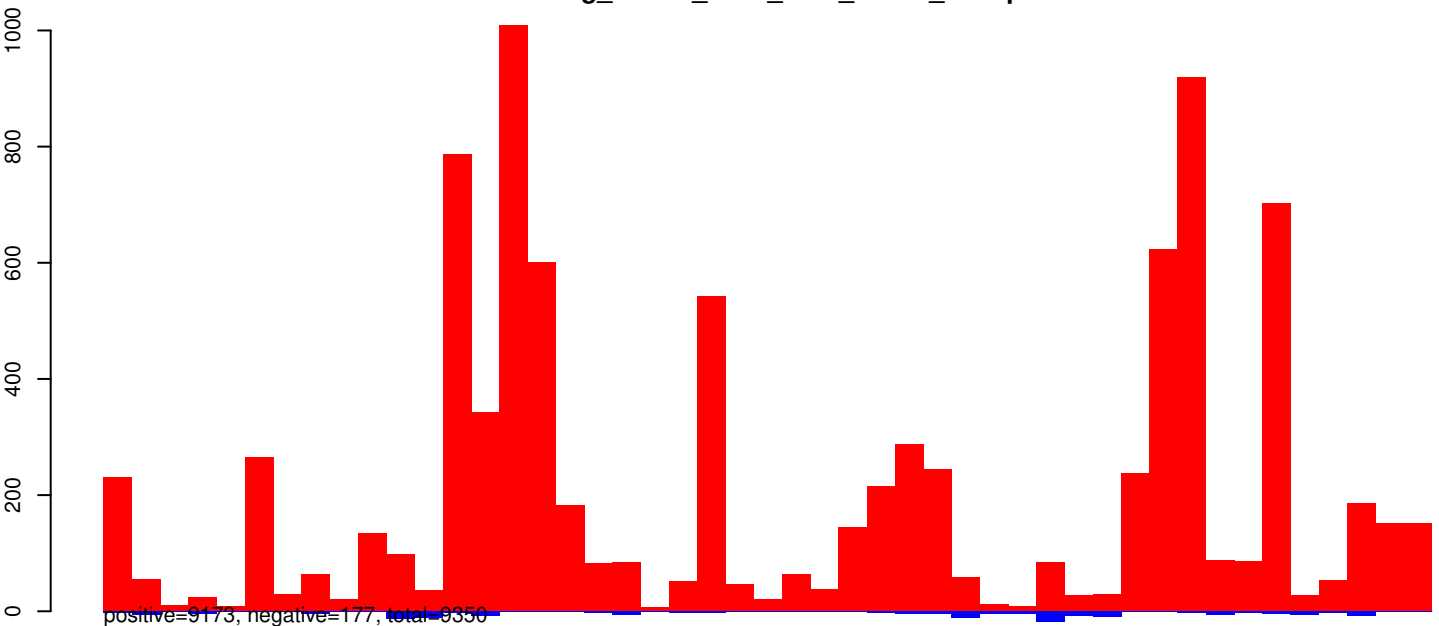
AeAeg_Whole_ZIKV_BM2_GP.24_35.rep



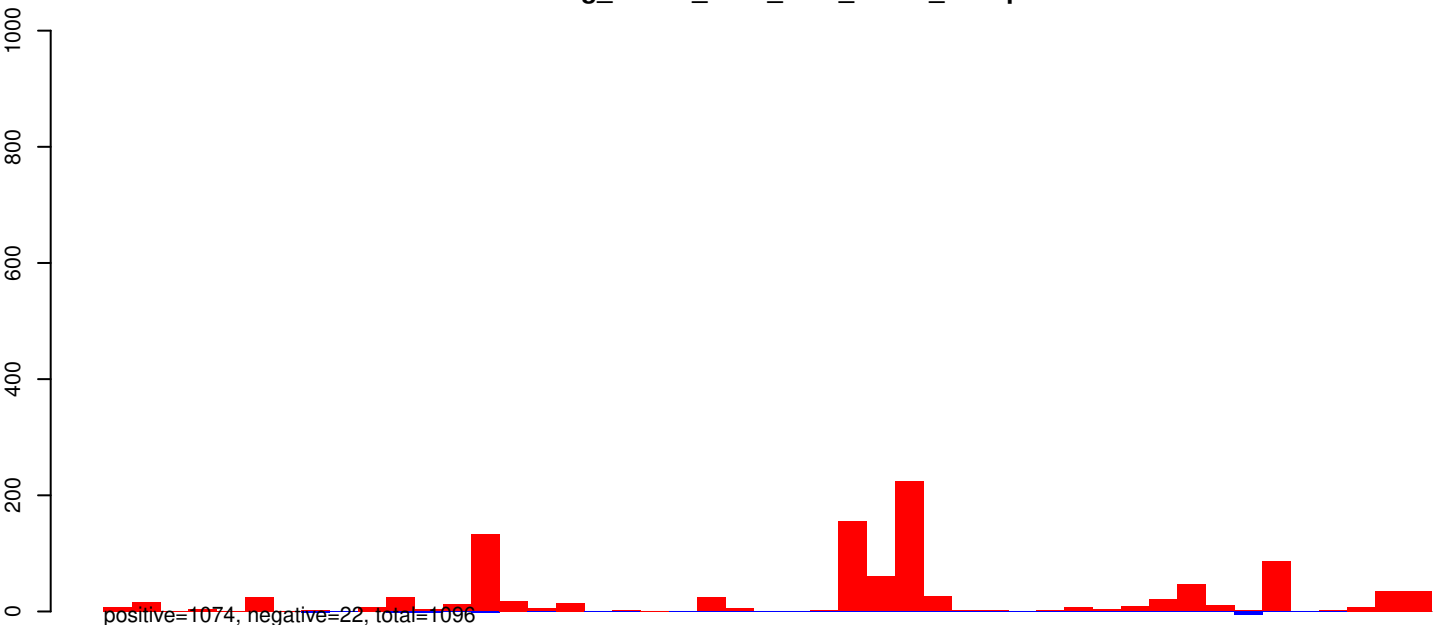
AeAeg_Whole_ZIKV_BM2_GP.rep



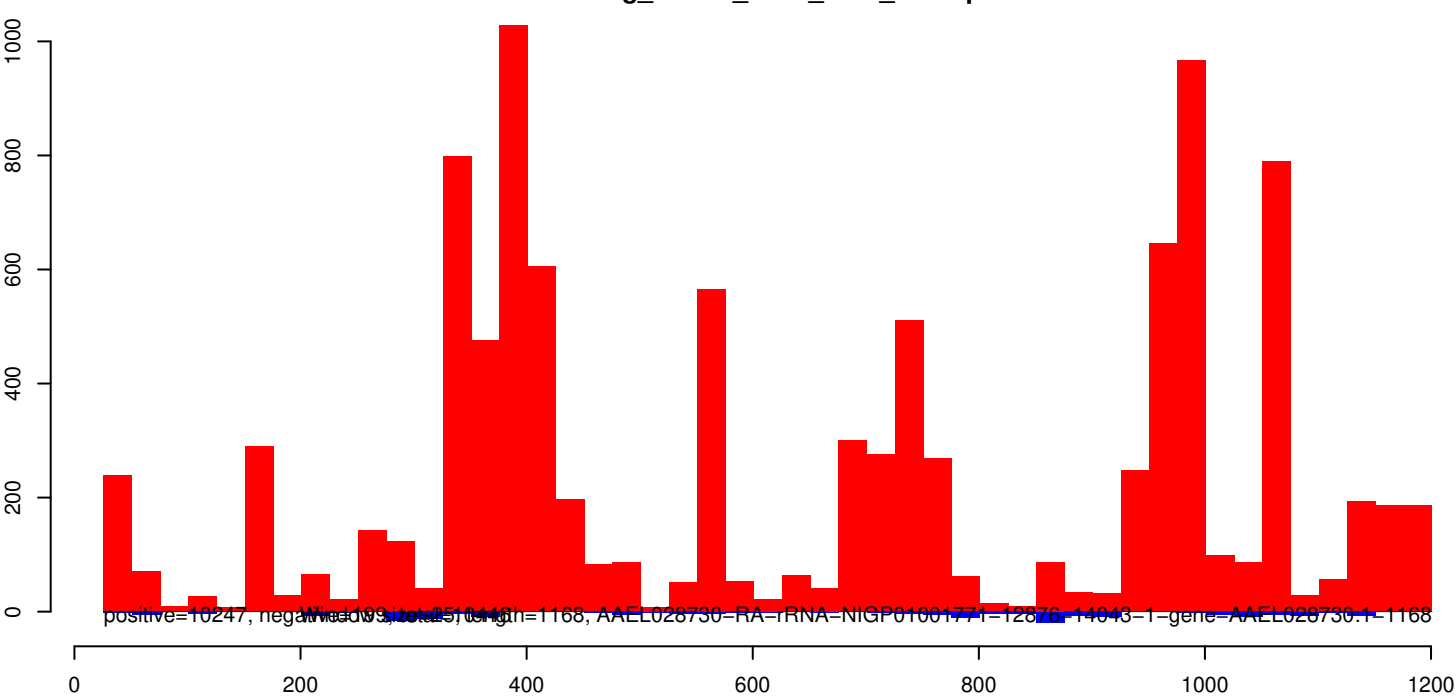
AeAeg_Whole_ZIKV_BM2_GP.18_23.rep



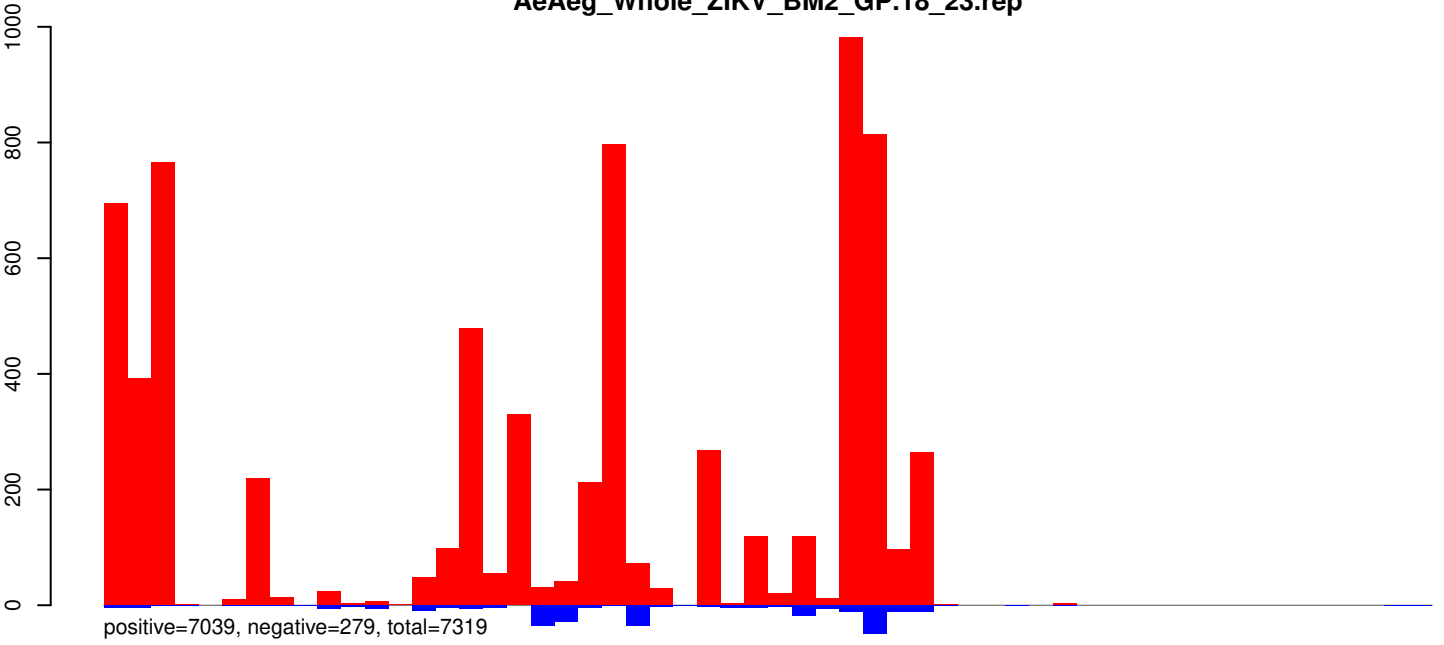
AeAeg_Whole_ZIKV_BM2_GP.24_35.rep



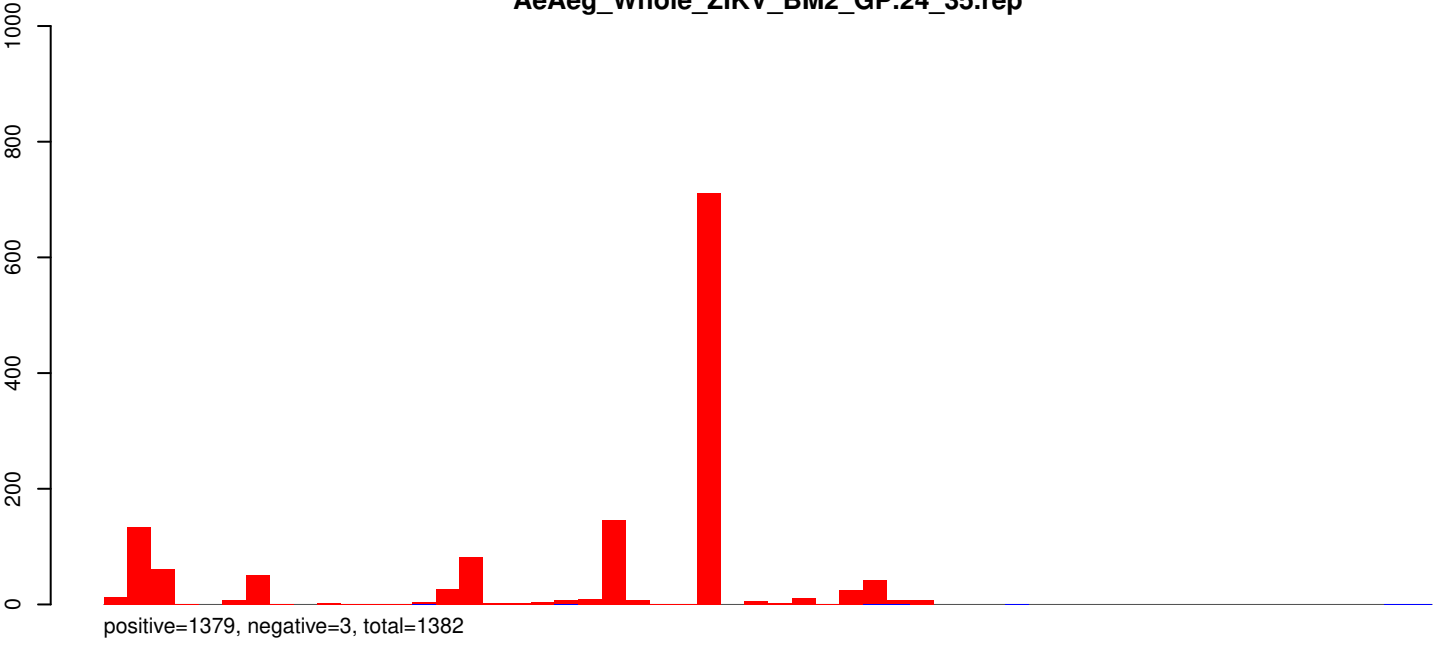
AeAeg_Whole_ZIKV_BM2_GP.rep



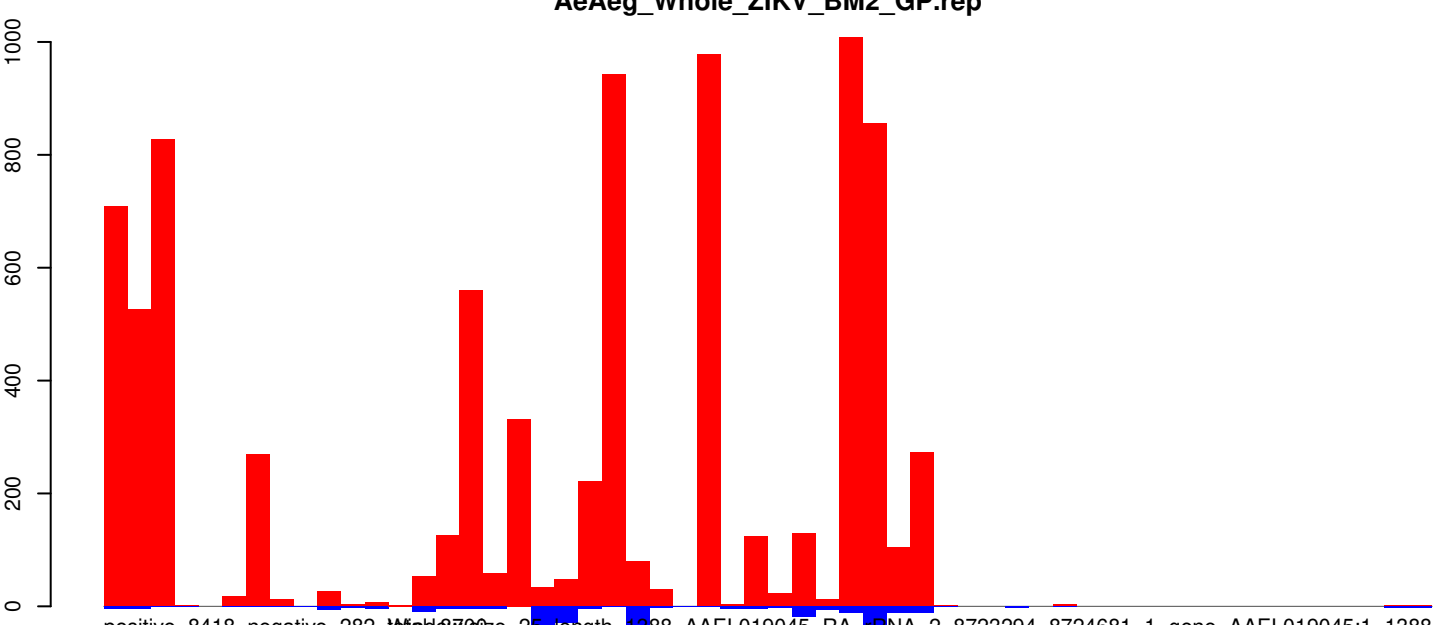
AeAeg_Whole_ZIKV_BM2_GP.18_23.rep



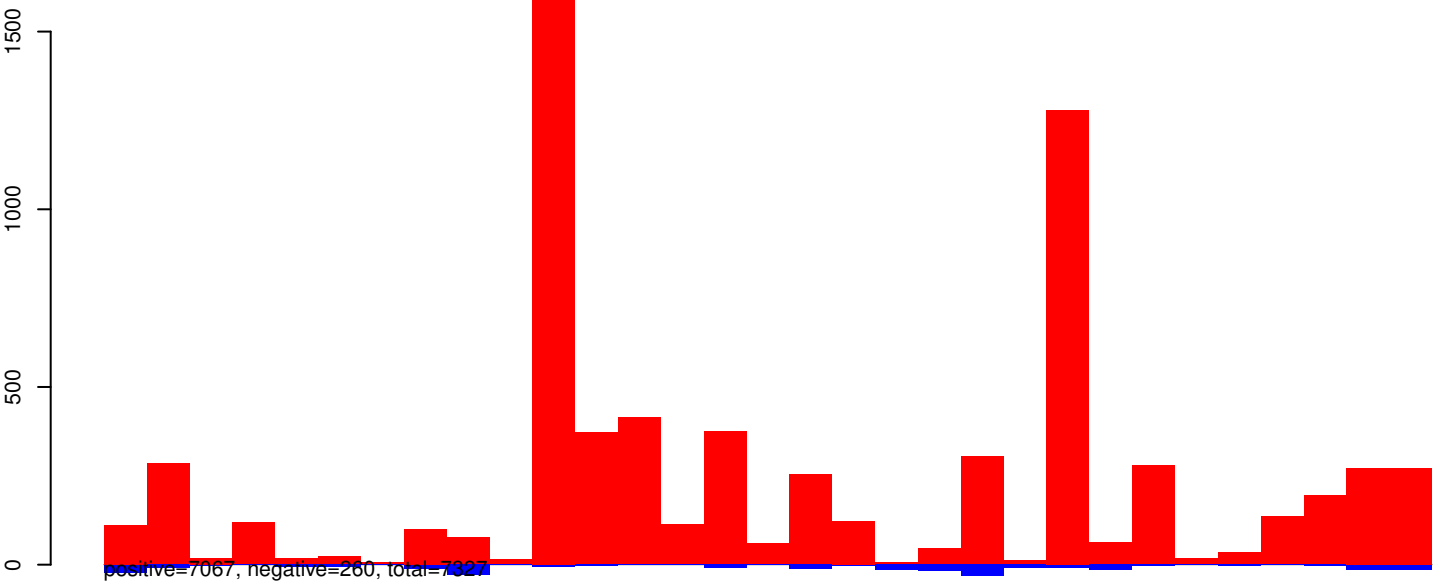
AeAeg_Whole_ZIKV_BM2_GP.24_35.rep



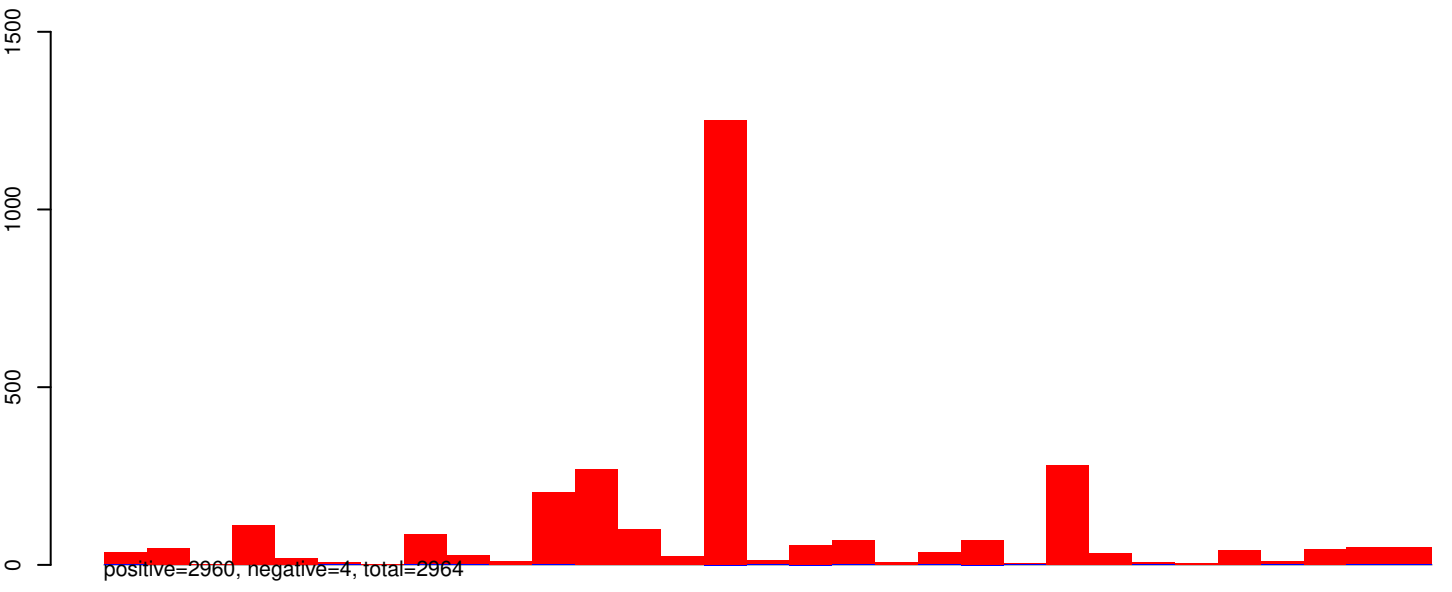
AeAeg_Whole_ZIKV_BM2_GP.rep



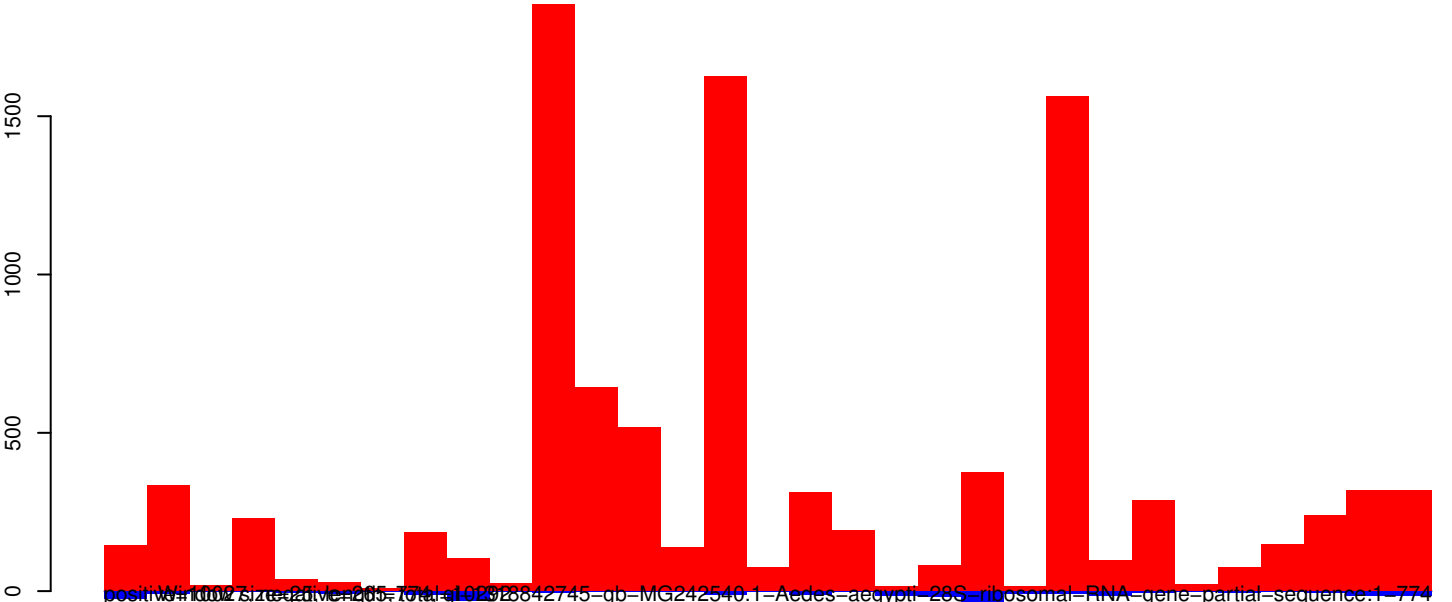
AeAeg_Whole_ZIKV_BM2_GP.18_23.rep



AeAeg_Whole_ZIKV_BM2_GP.24_35.rep

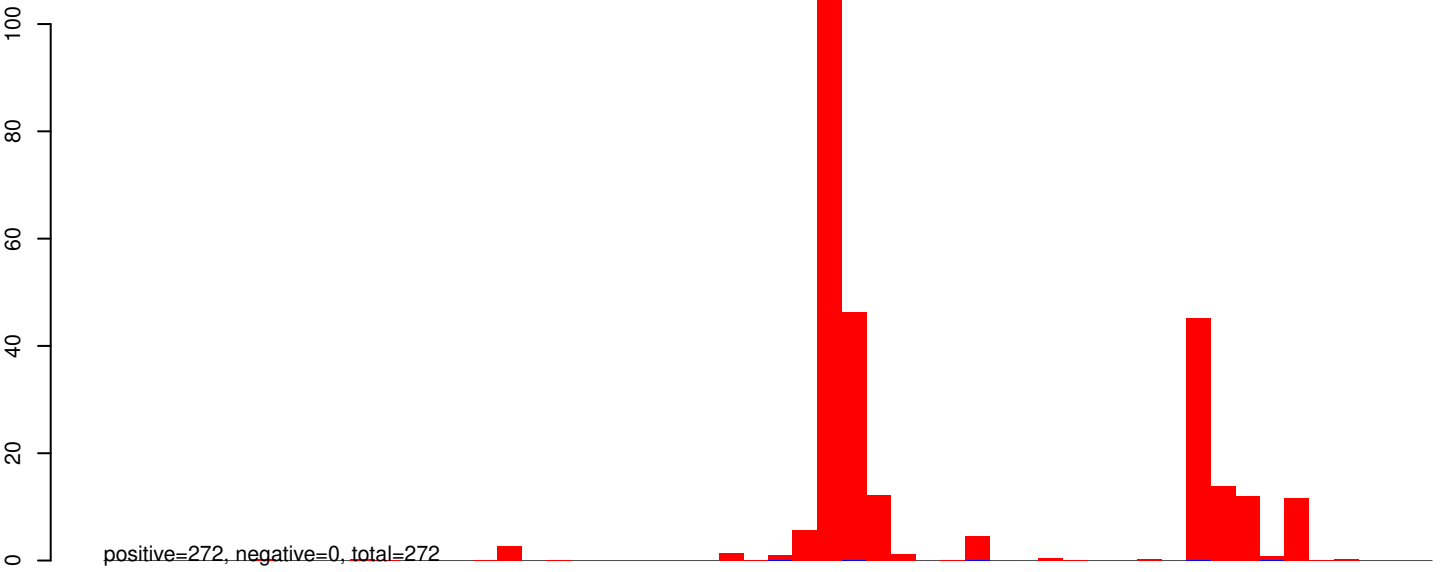


AeAeg_Whole_ZIKV_BM2_GP.rep

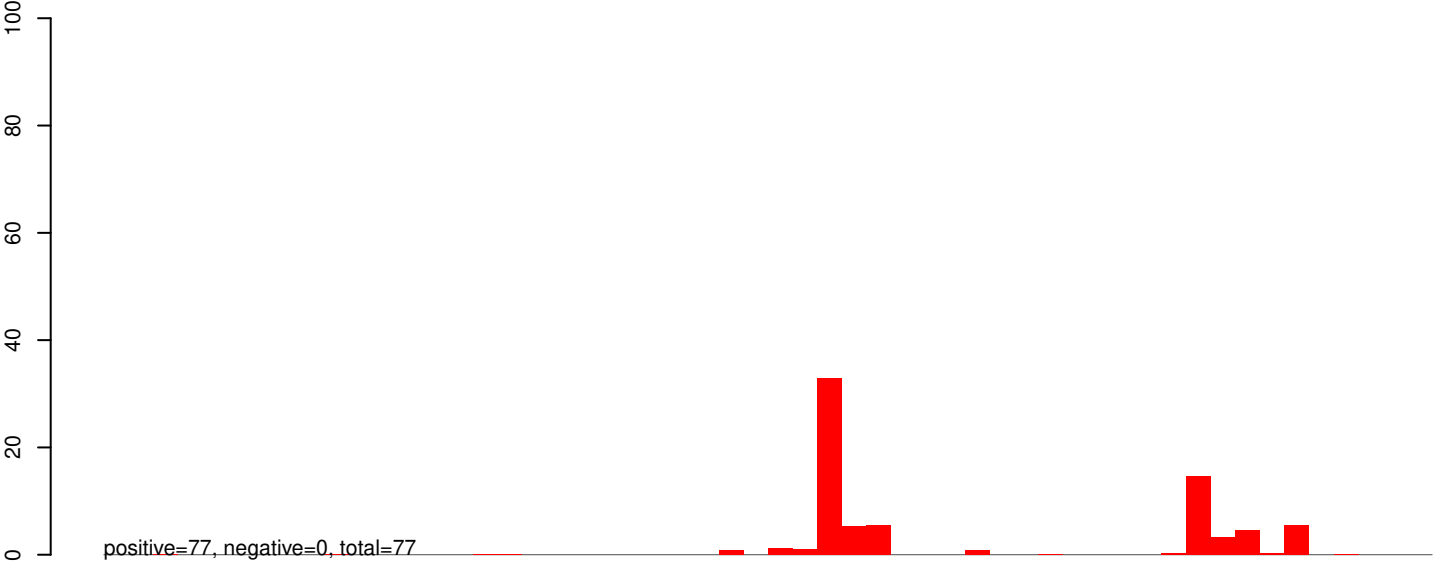


0 200 400 600 800

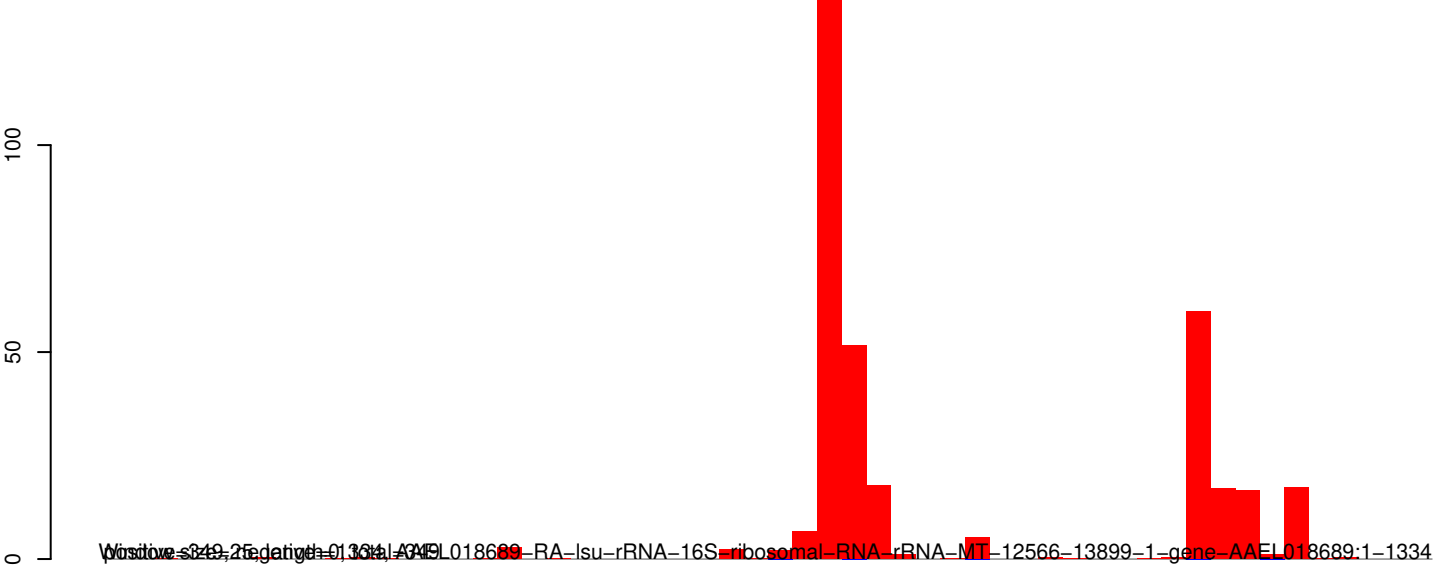
AeAeg_Whole_ZIKV_BM2_GP.18_23.rep



AeAeg_Whole_ZIKV_BM2_GP.24_35.rep

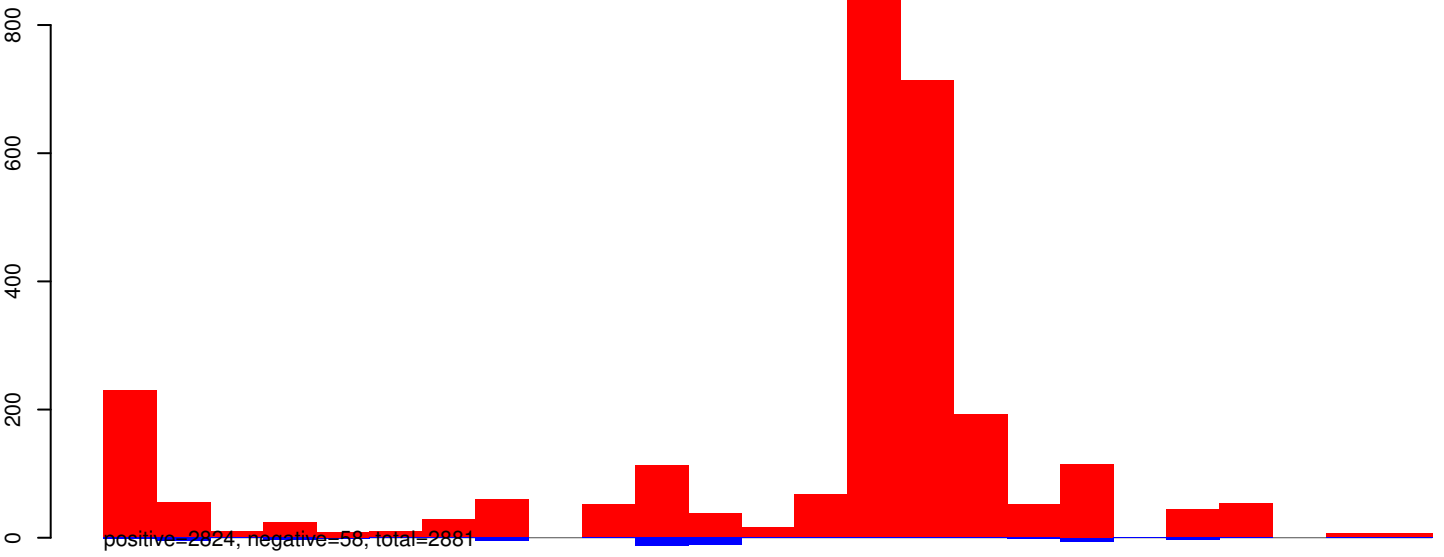


AeAeg_Whole_ZIKV_BM2_GP.rep

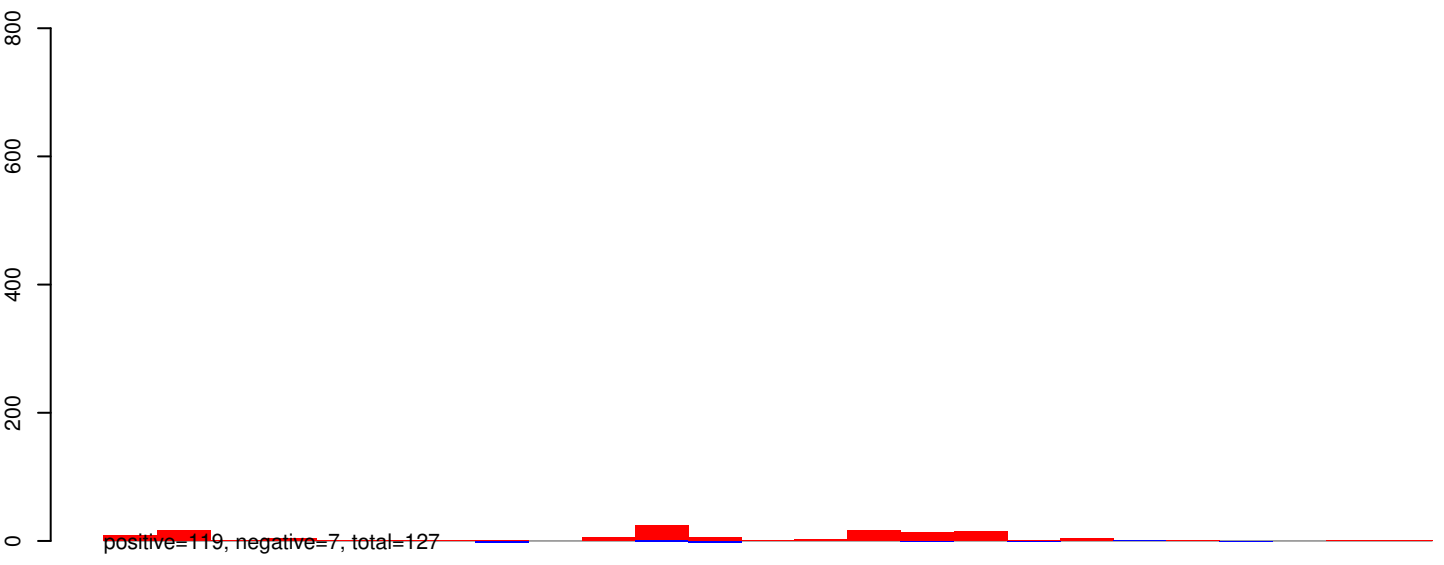


AAEL018689-RA-lsu-rRNA-16S-ribosomal-RNA-rRNA-MT-12566-13899-1-gene-AAEL018689:1-1334

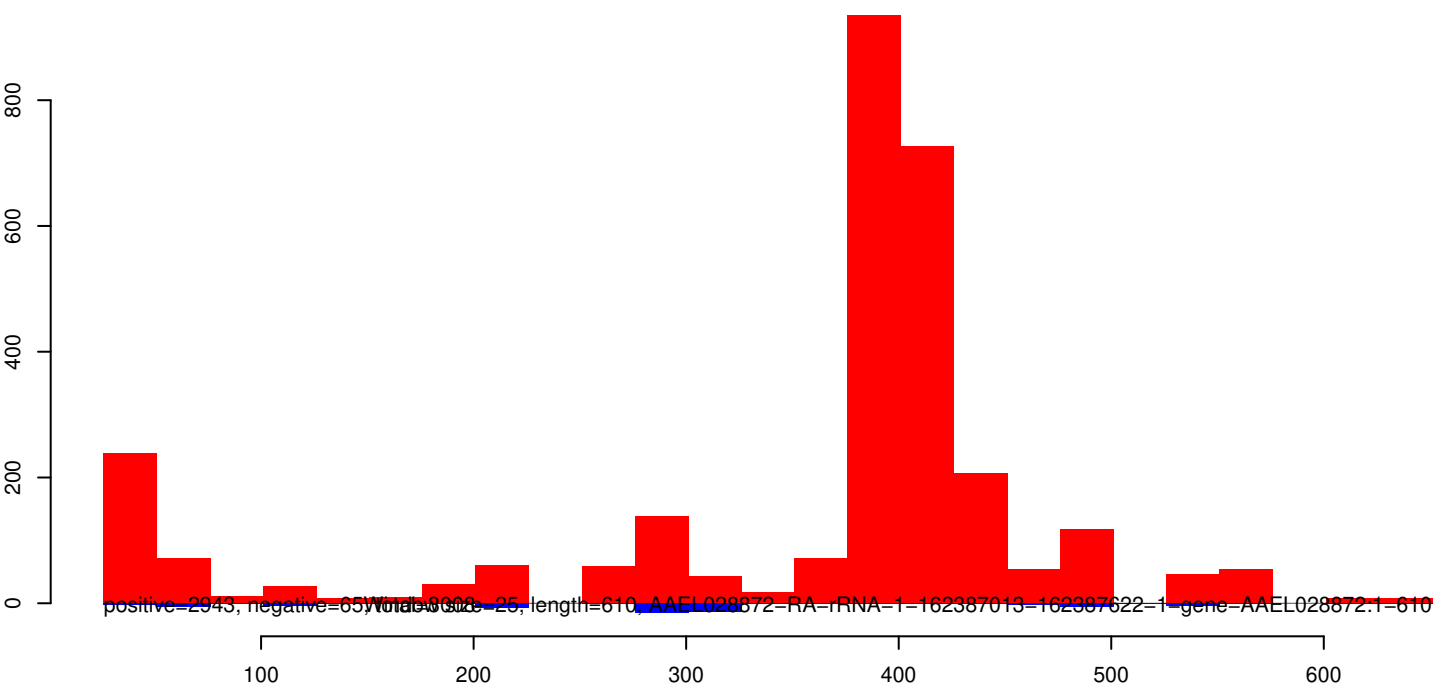
AeAeg_Whole_ZIKV_BM2_GP.18_23.rep



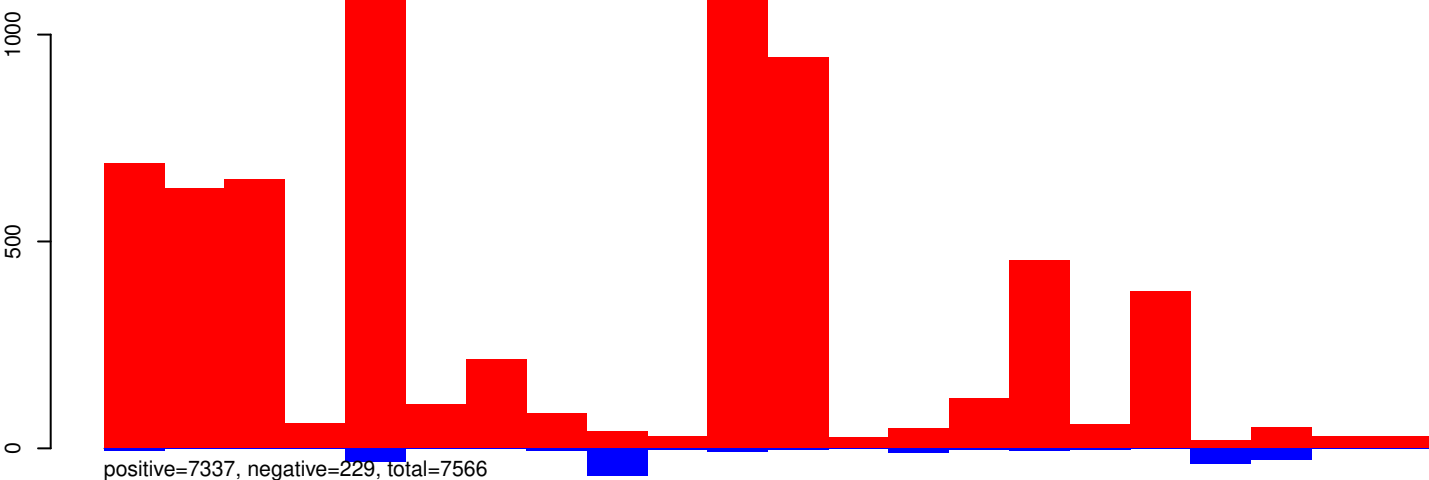
AeAeg_Whole_ZIKV_BM2_GP.24_35.rep



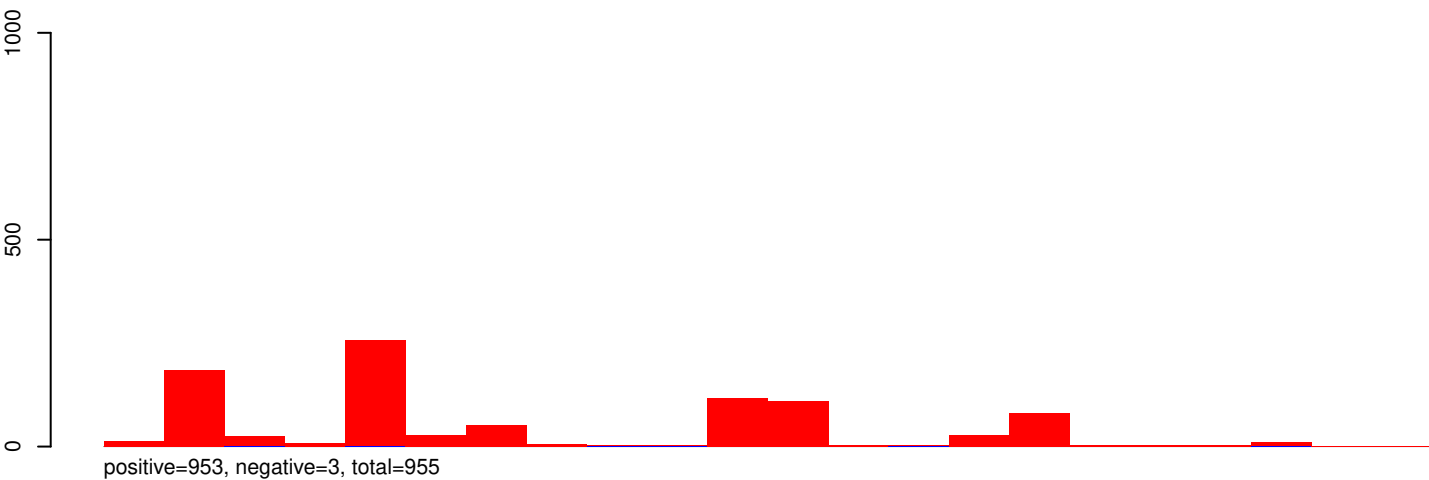
AeAeg_Whole_ZIKV_BM2_GP.rep



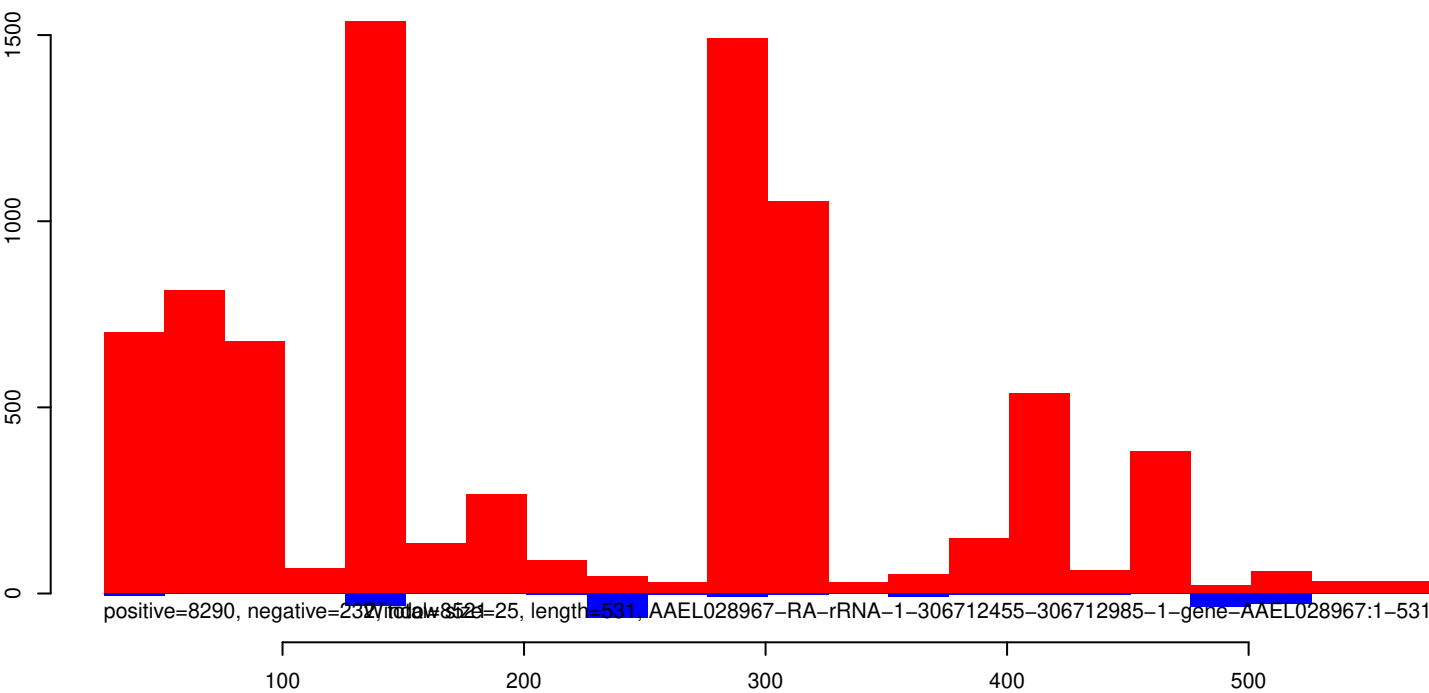
AeAeg_Whole_ZIKV_BM2_GP.18_23.rep



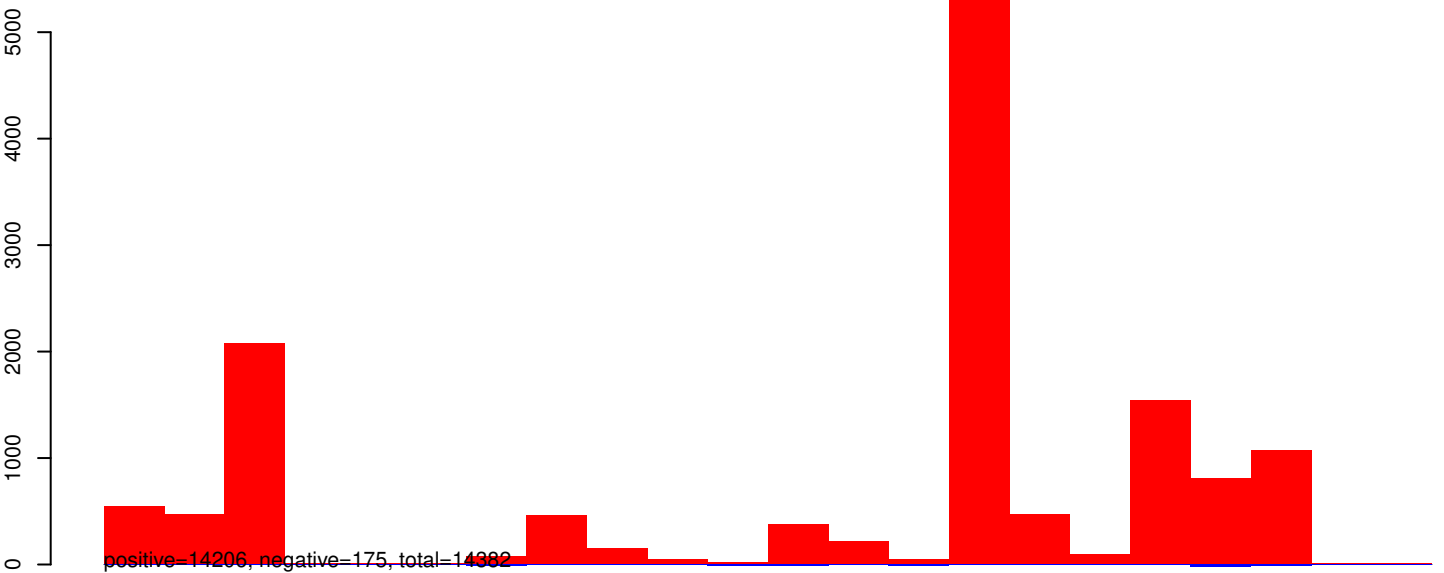
AeAeg_Whole_ZIKV_BM2_GP.24_35.rep



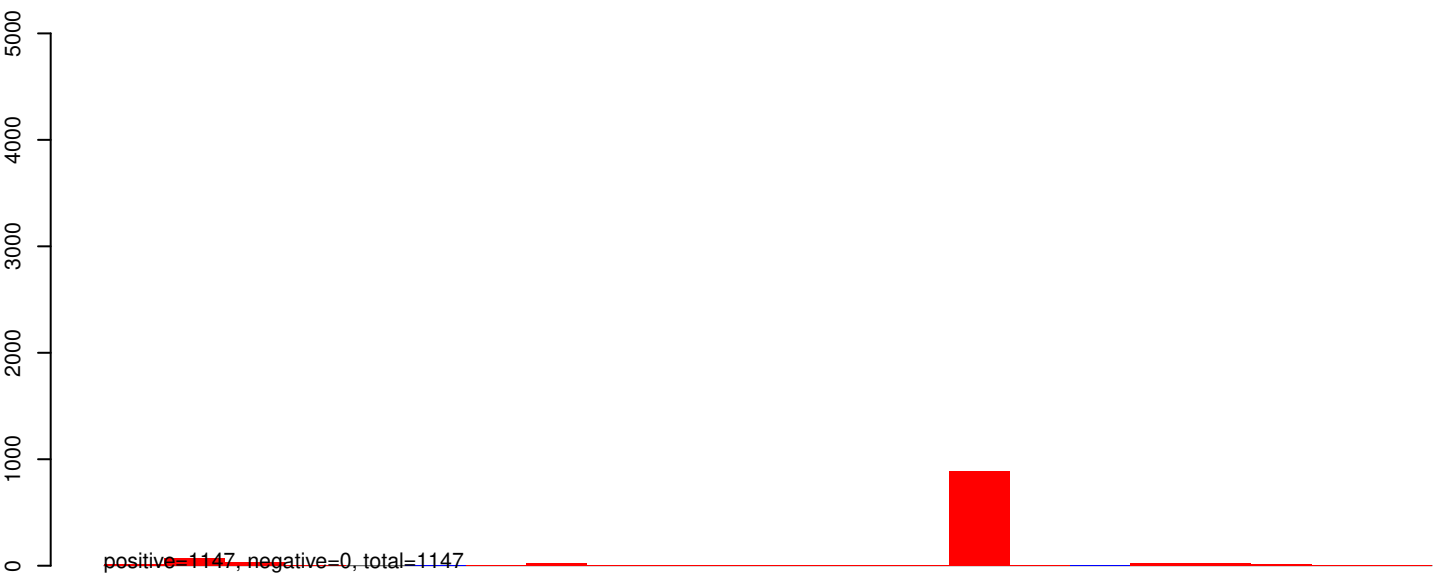
AeAeg_Whole_ZIKV_BM2_GP.rep



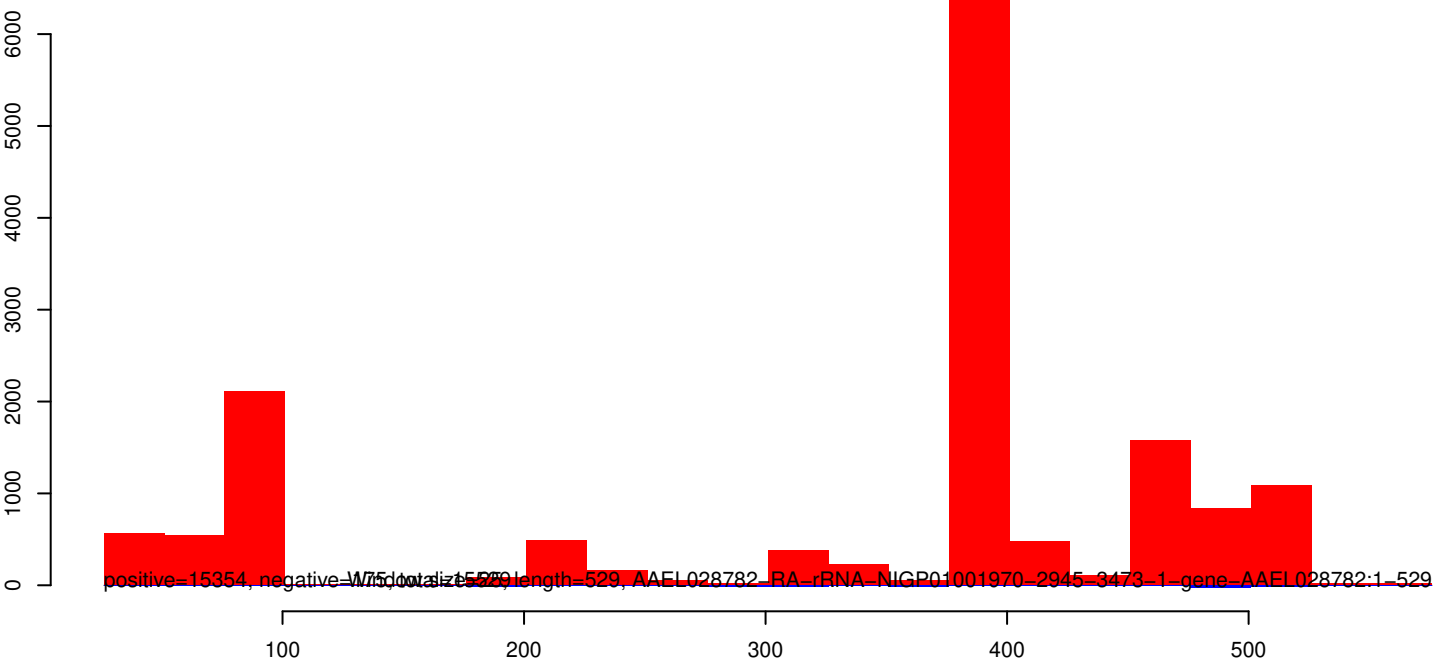
AeAeg_Whole_ZIKV_BM2_GP.18_23.rep



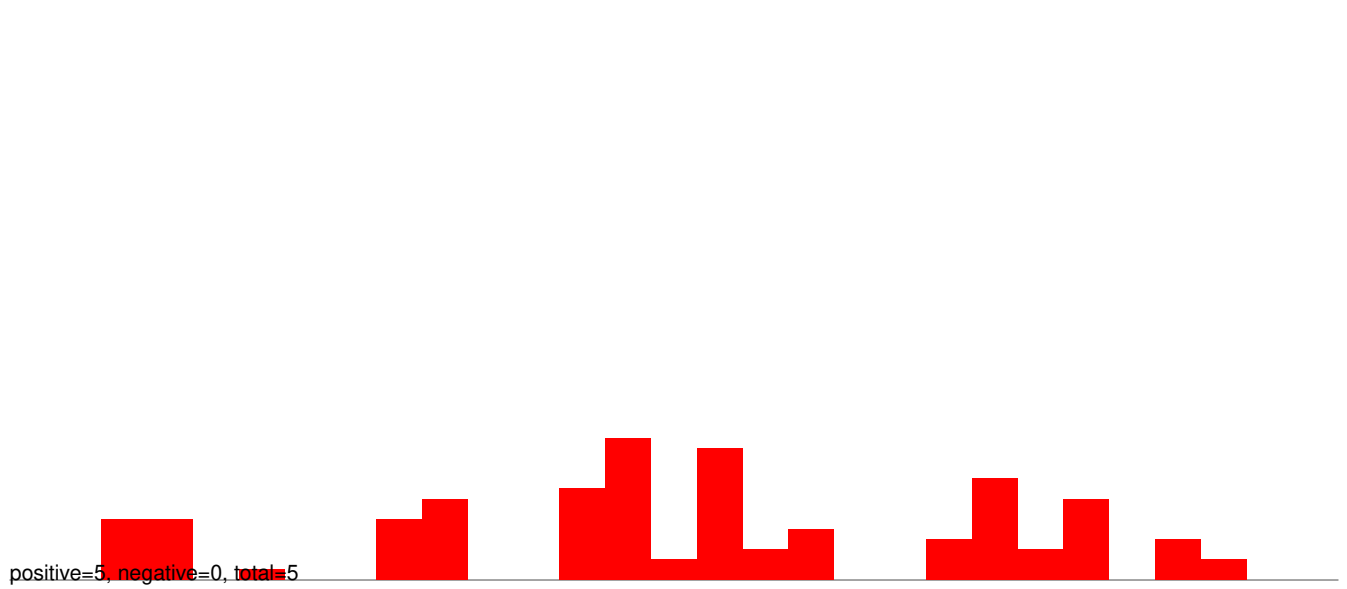
AeAeg_Whole_ZIKV_BM2_GP.24_35.rep



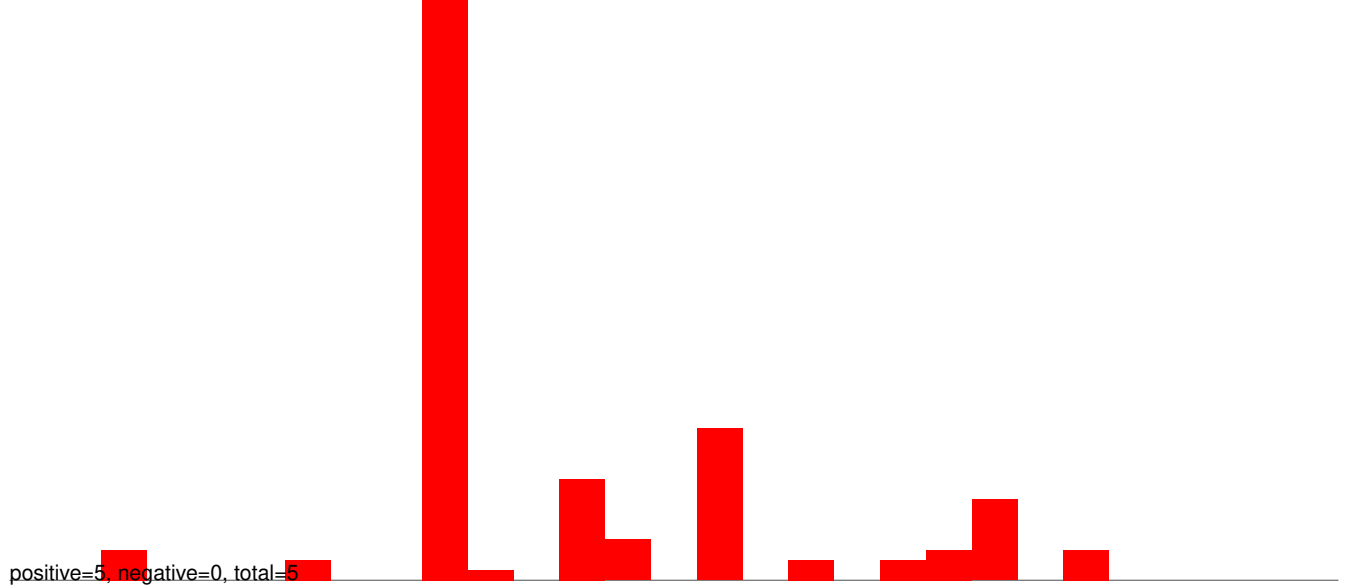
AeAeg_Whole_ZIKV_BM2_GP.rep



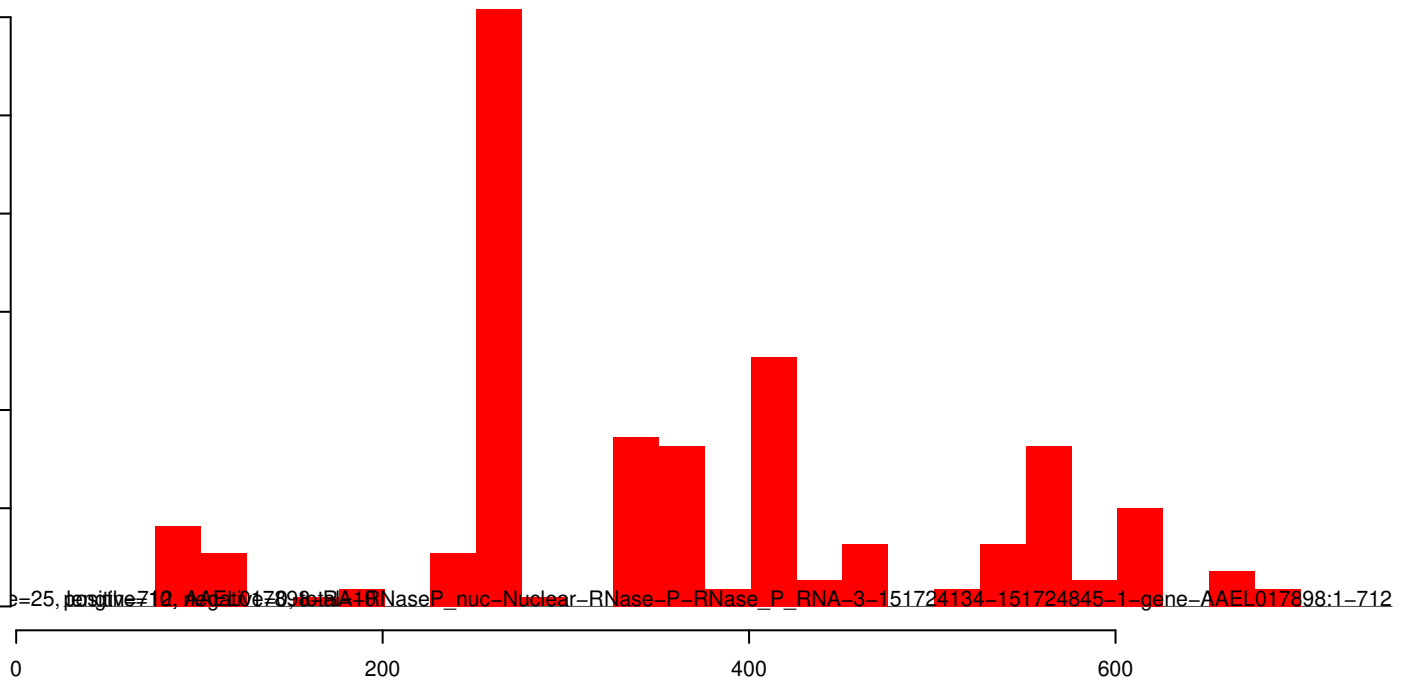
AeAeg_Whole_ZIKV_BM2_GP.18_23.rep



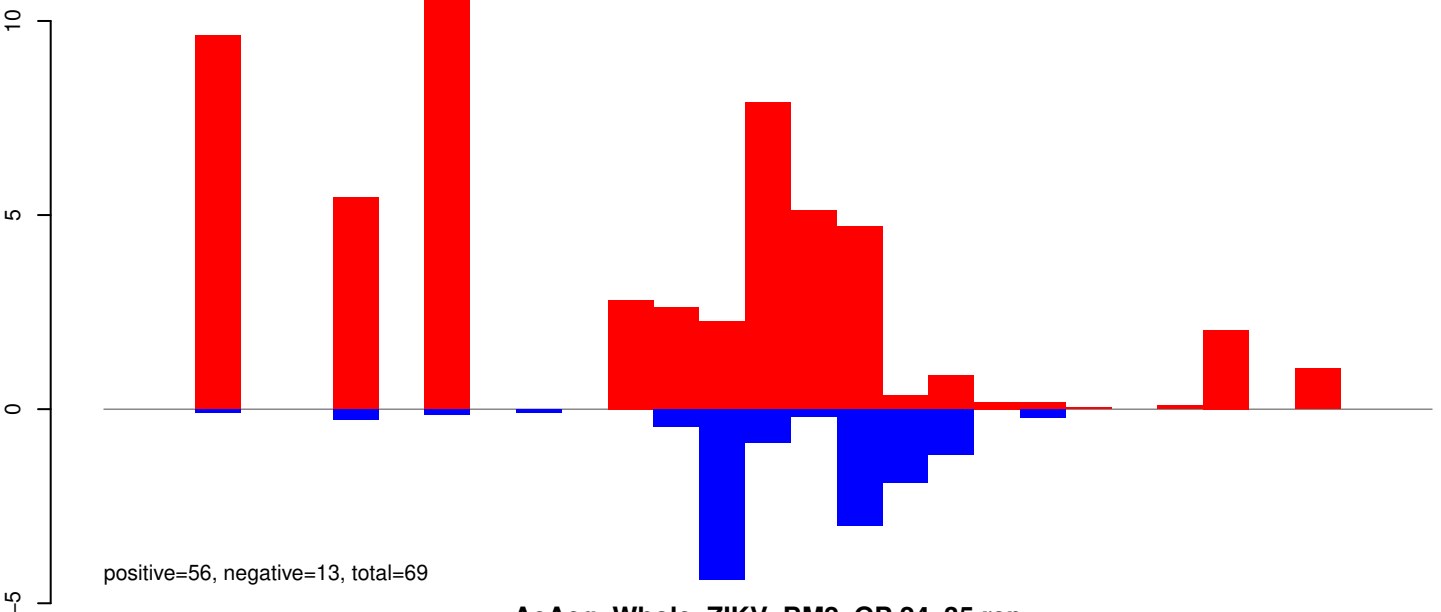
AeAeg_Whole_ZIKV_BM2_GP.24_35.rep



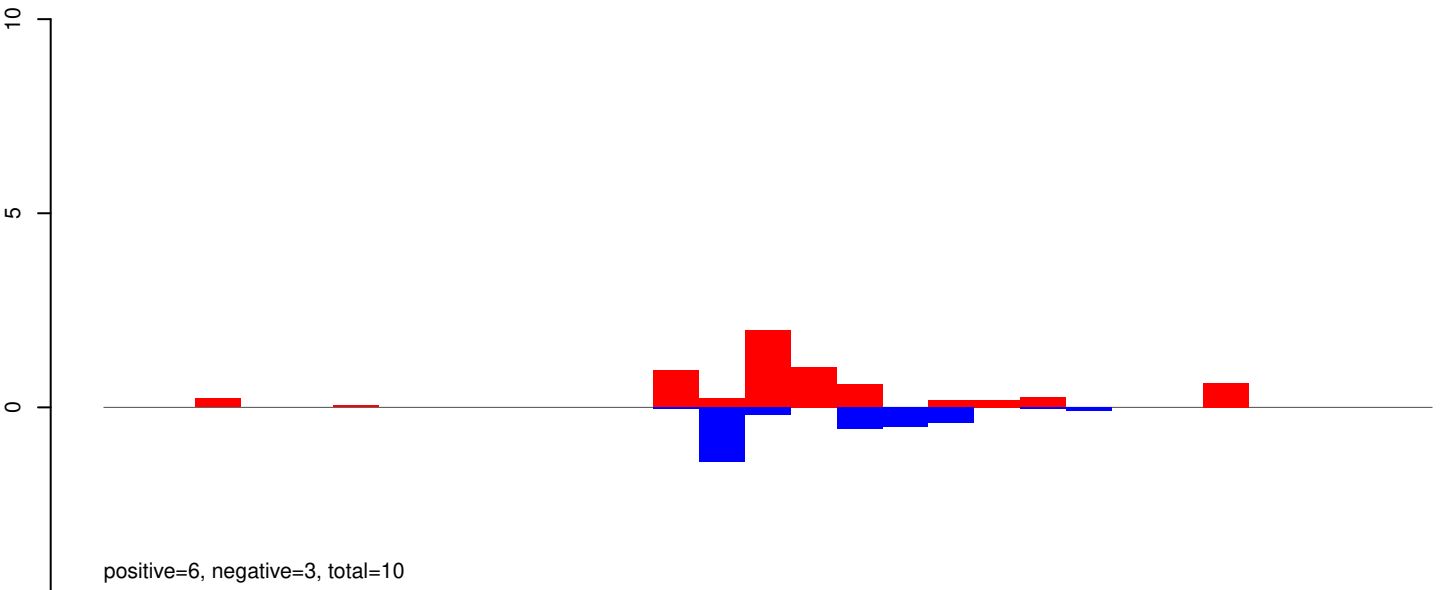
AeAeg_Whole_ZIKV_BM2_GP.rep



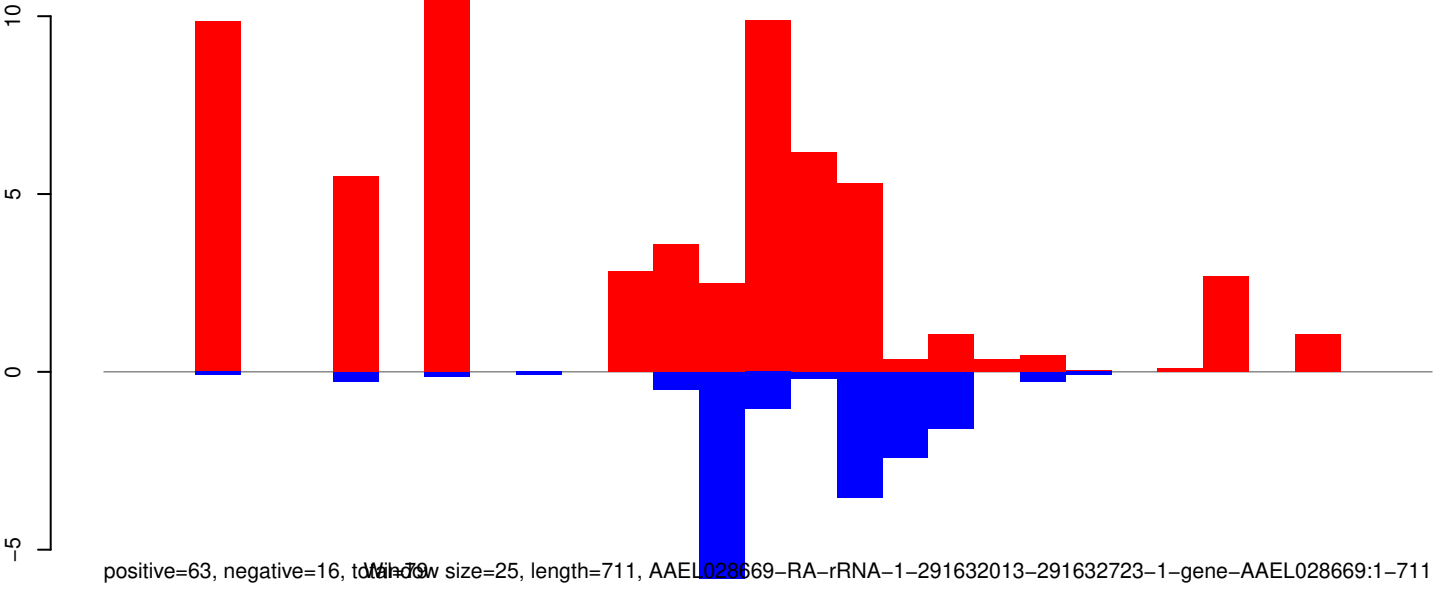
AeAeg_Whole_ZIKV_BM2_GP.18_23.rep



AeAeg_Whole_ZIKV_BM2_GP.24_35.rep

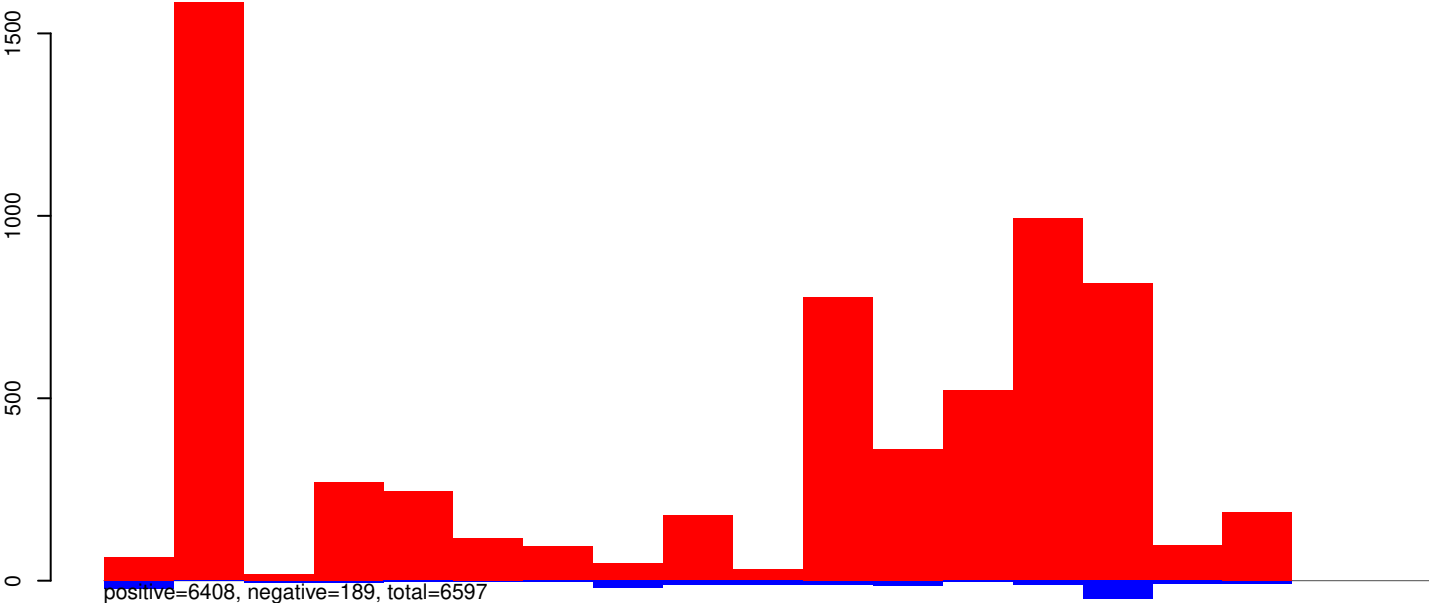


AeAeg_Whole_ZIKV_BM2_GP.rep

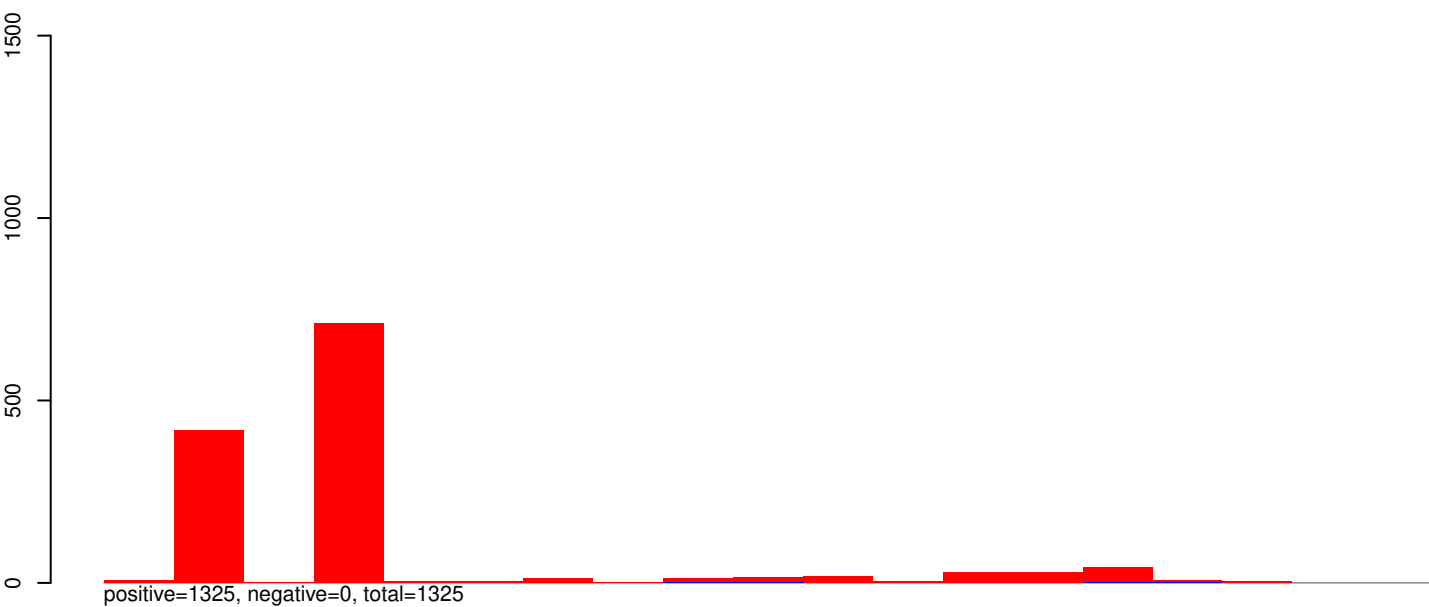


Window size=25, length=711, AAEL028669-RA-rRNA-1-291632013-291632723-1-gene-AAEL028669:1-711

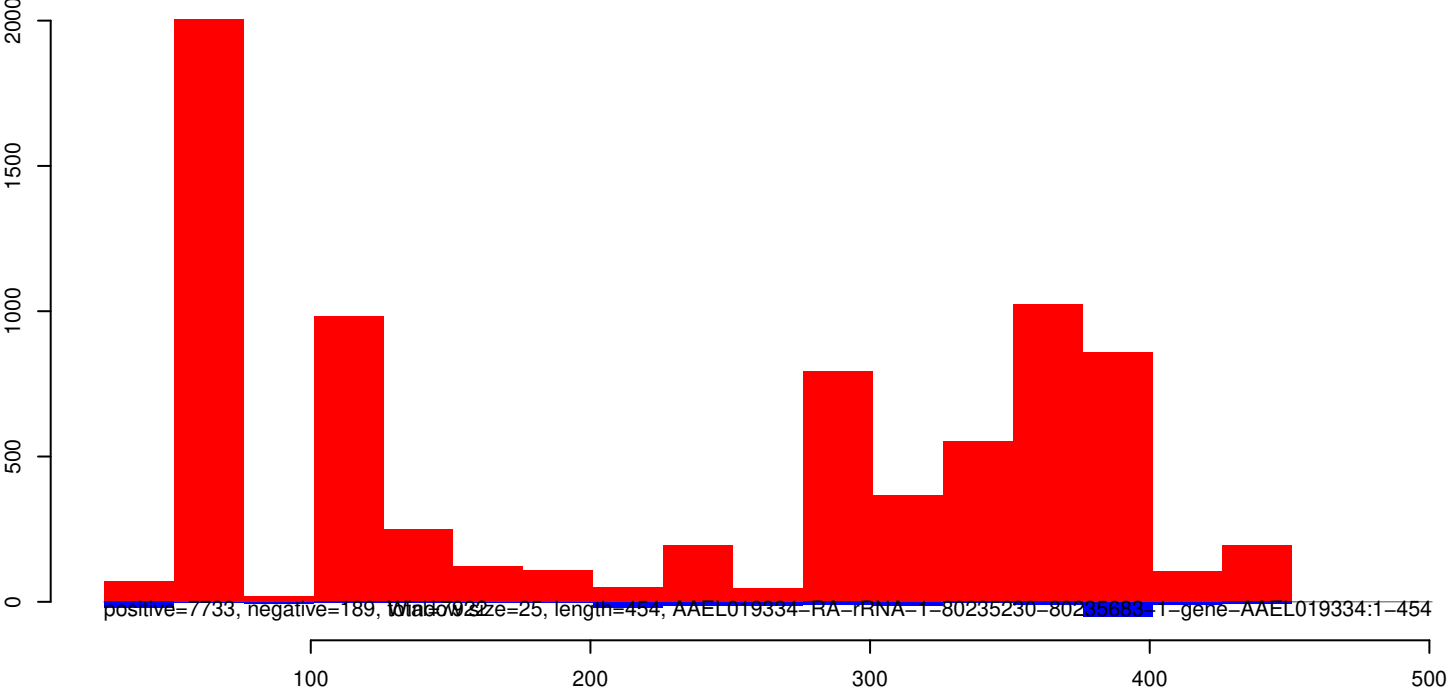
AeAeg_Whole_ZIKV_BM2_GP.18_23.rep



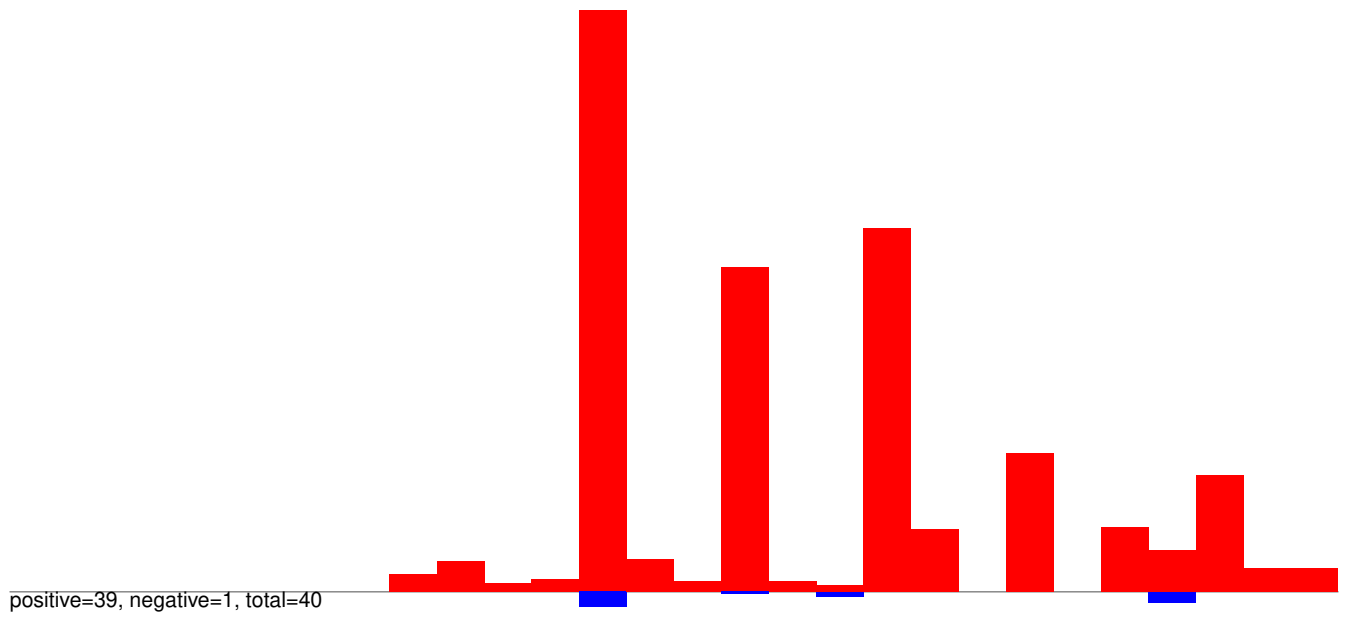
AeAeg_Whole_ZIKV_BM2_GP.24_35.rep



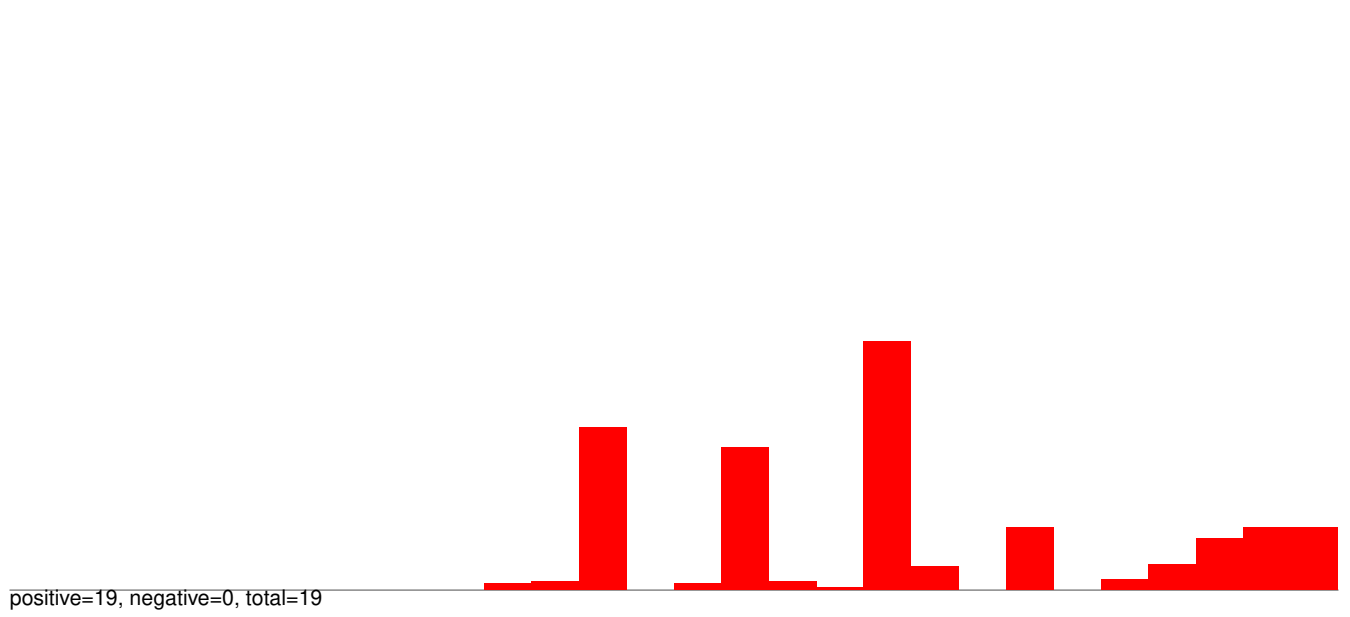
AeAeg_Whole_ZIKV_BM2_GP.rep



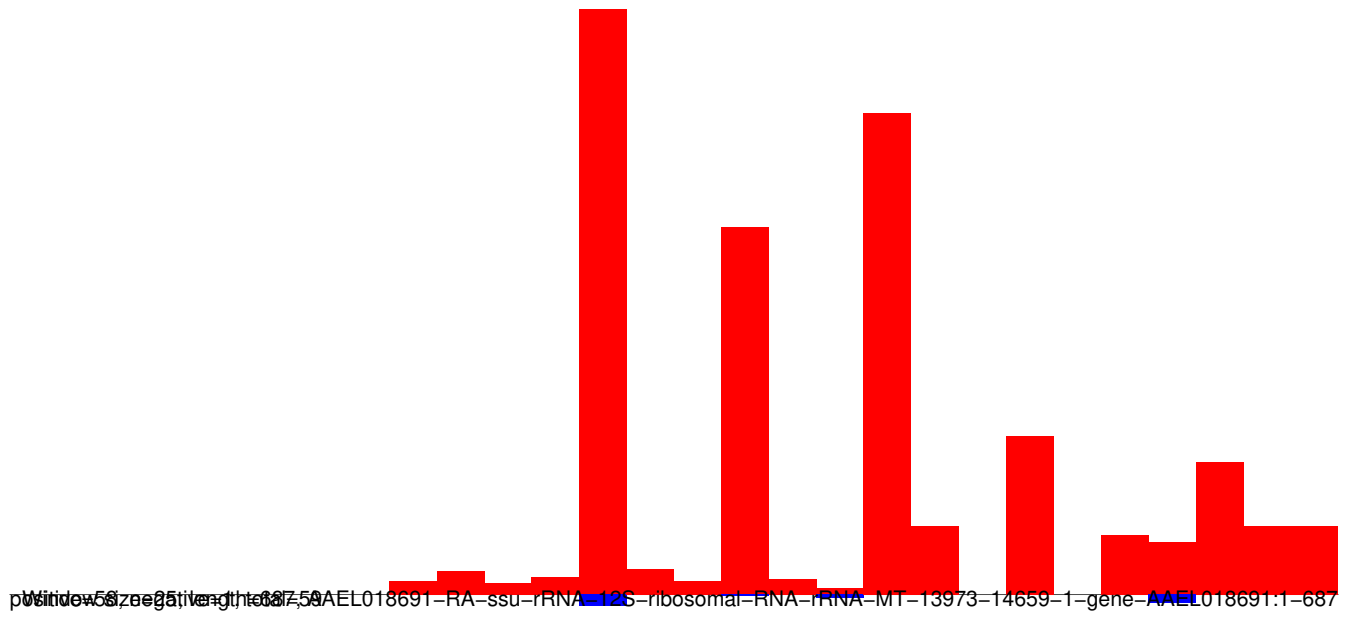
AeAeg_Whole_ZIKV_BM2_GP.18_23.rep



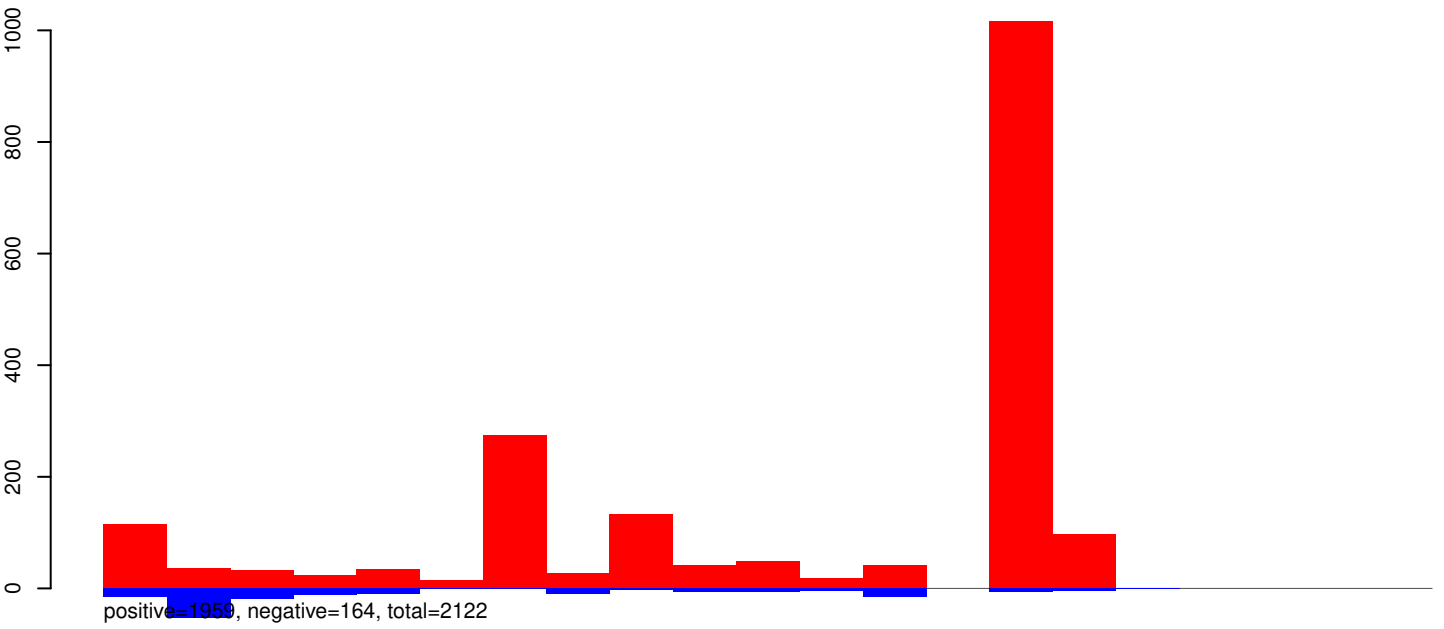
AeAeg_Whole_ZIKV_BM2_GP.24_35.rep



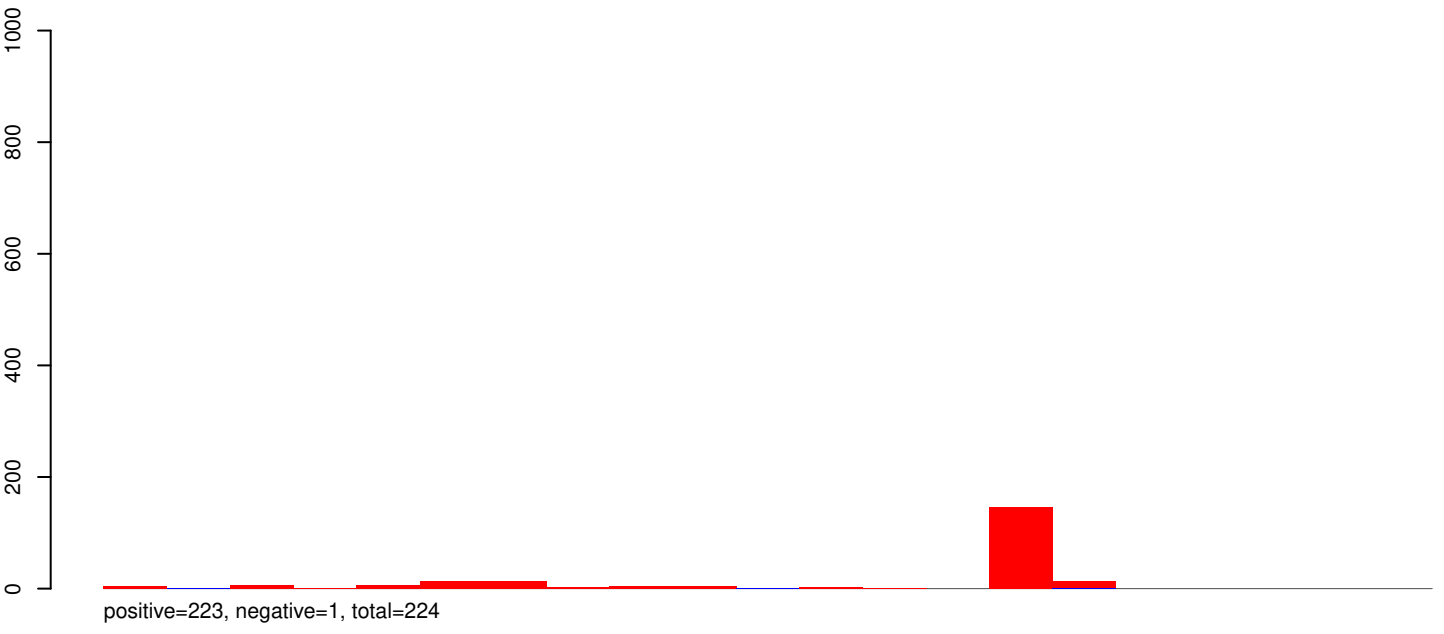
AeAeg_Whole_ZIKV_BM2_GP.rep



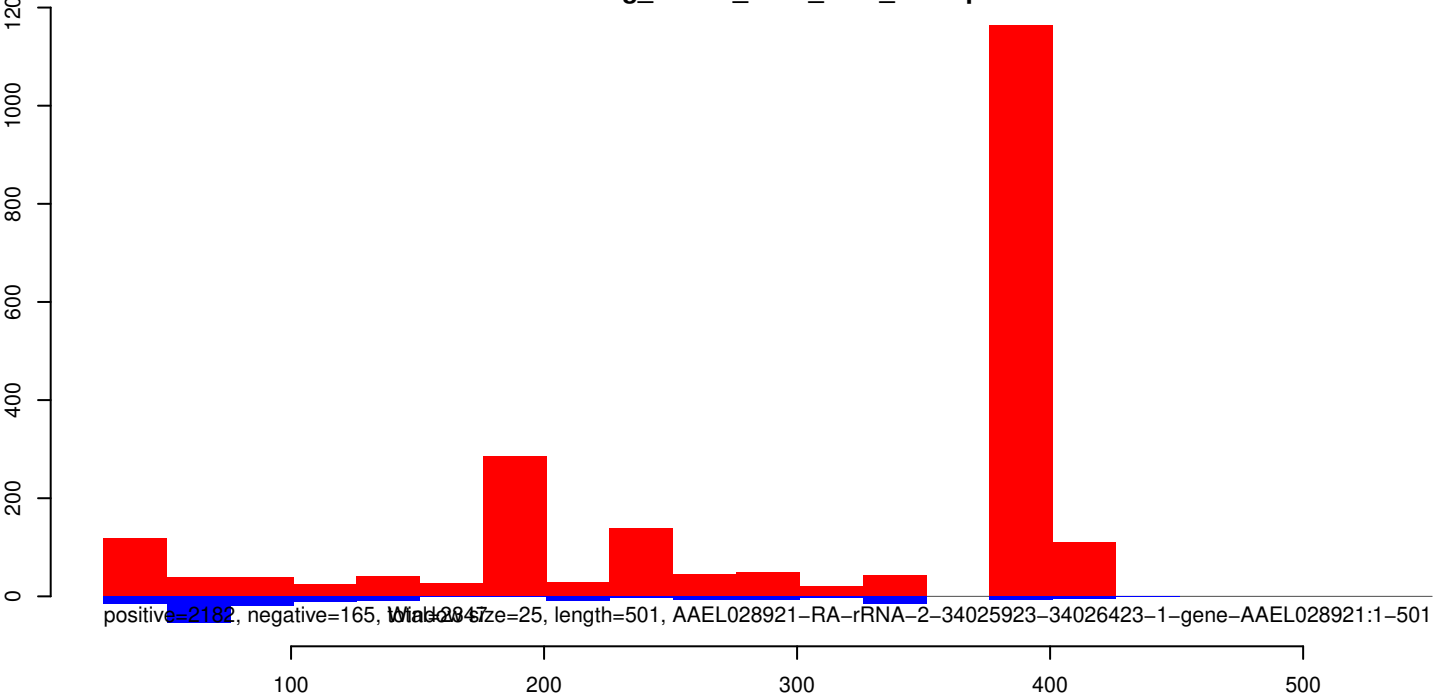
AeAeg_Whole_ZIKV_BM2_GP.18_23.rep



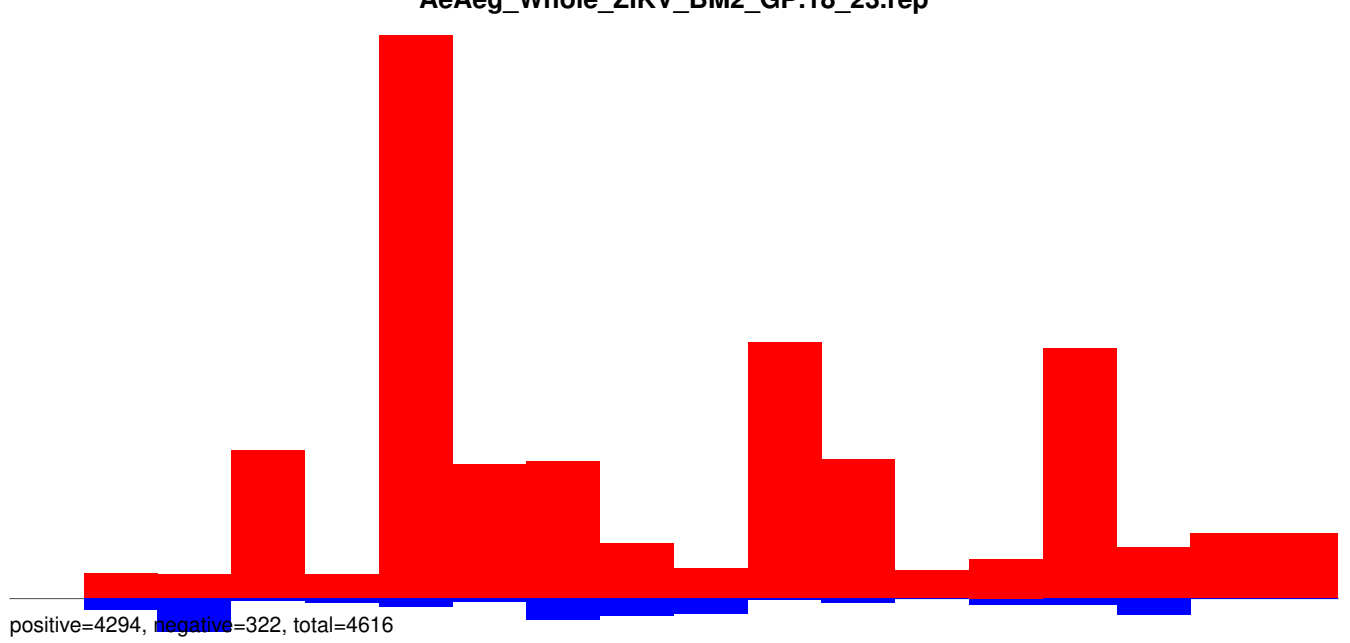
AeAeg_Whole_ZIKV_BM2_GP.24_35.rep



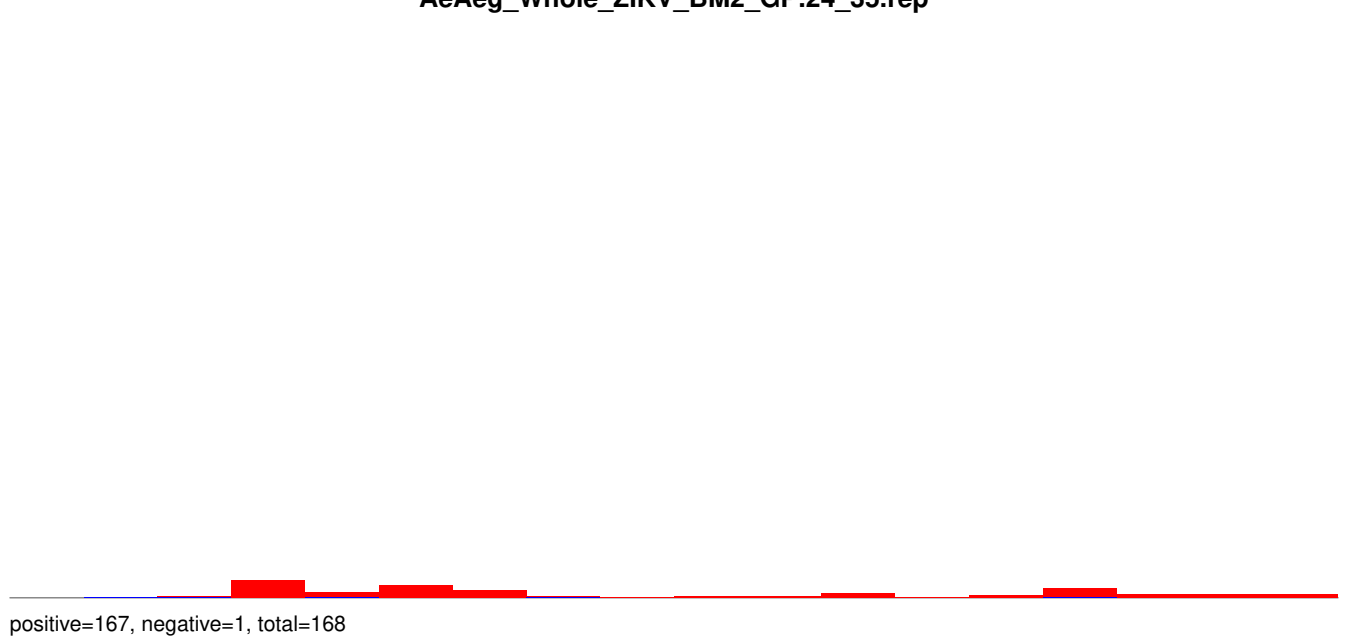
AeAeg_Whole_ZIKV_BM2_GP.rep



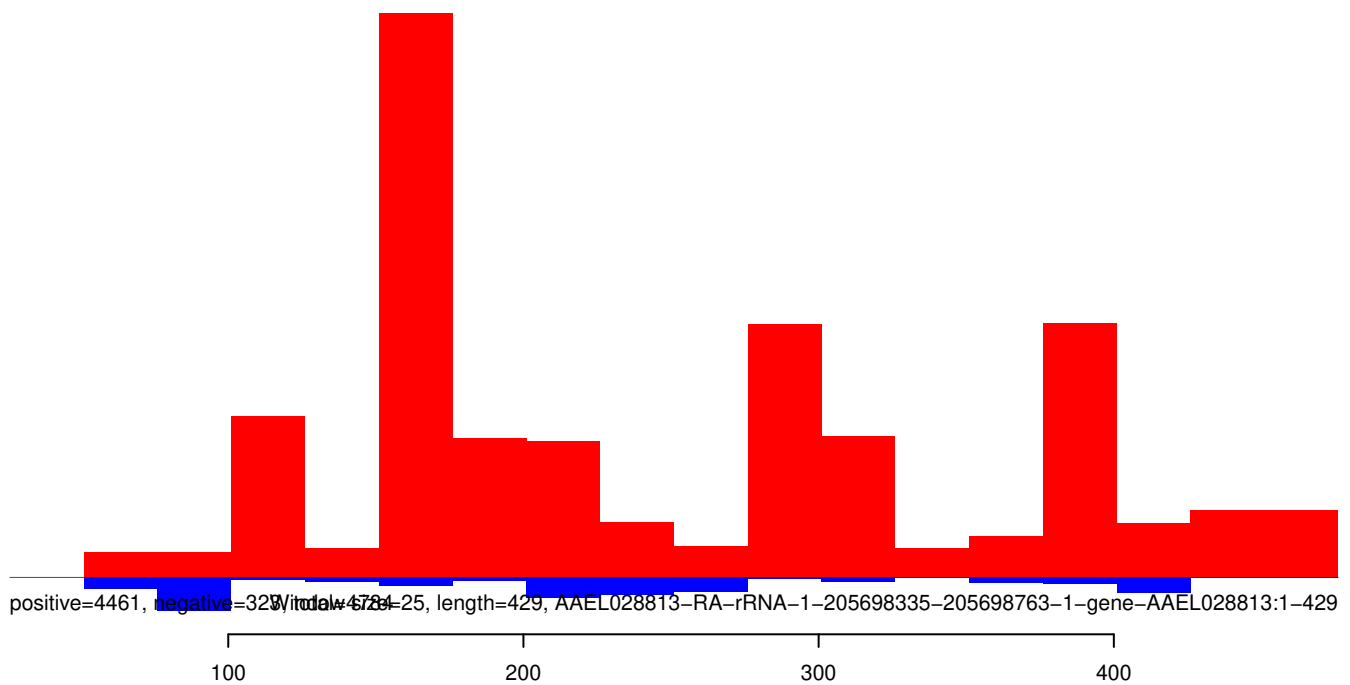
AeAeg_Whole_ZIKV_BM2_GP.18_23.rep



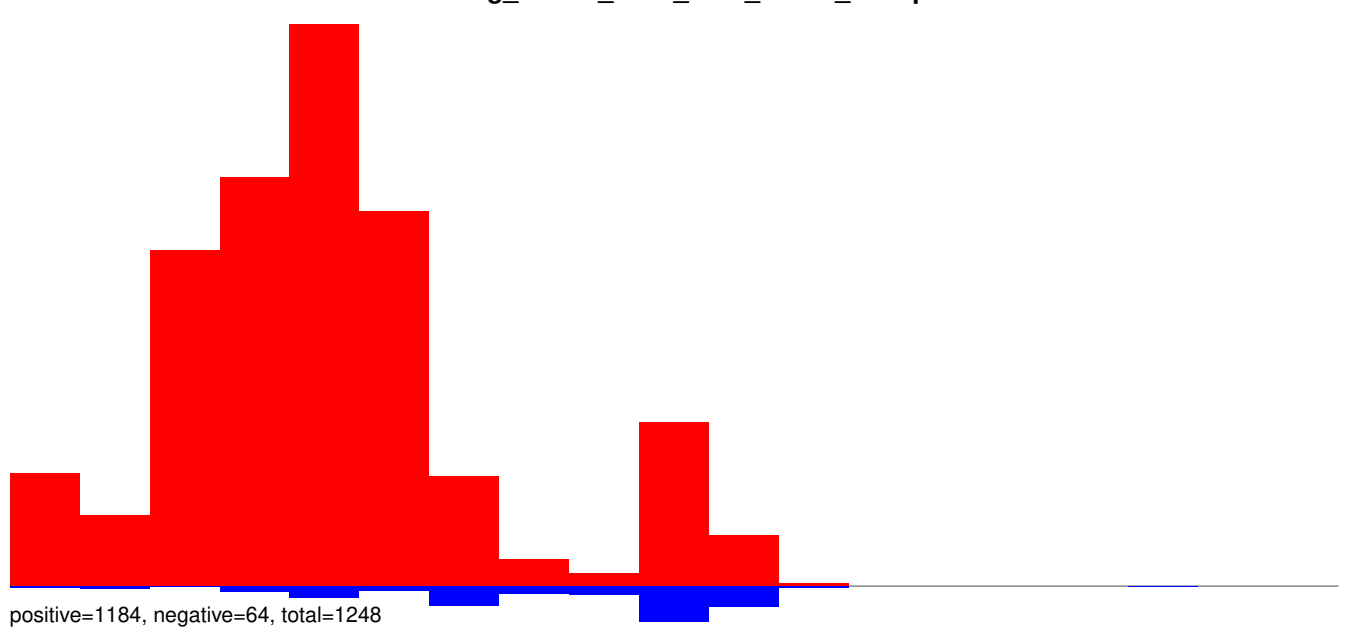
AeAeg_Whole_ZIKV_BM2_GP.24_35.rep



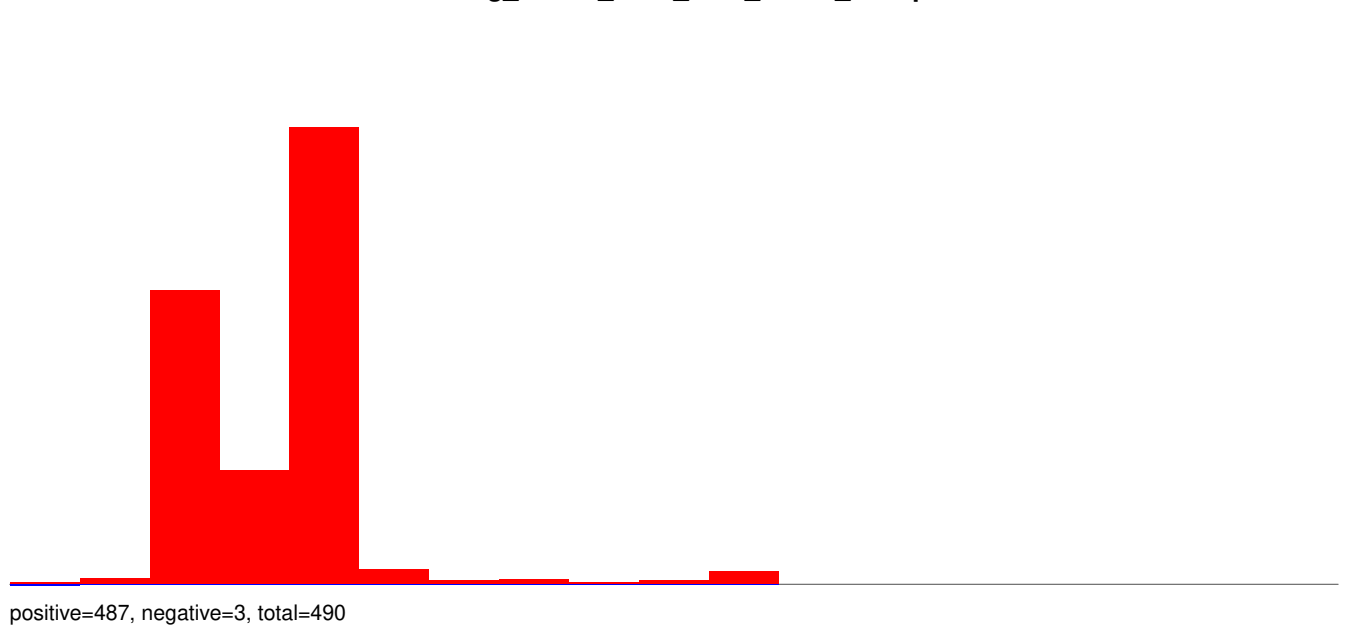
AeAeg_Whole_ZIKV_BM2_GP.rep



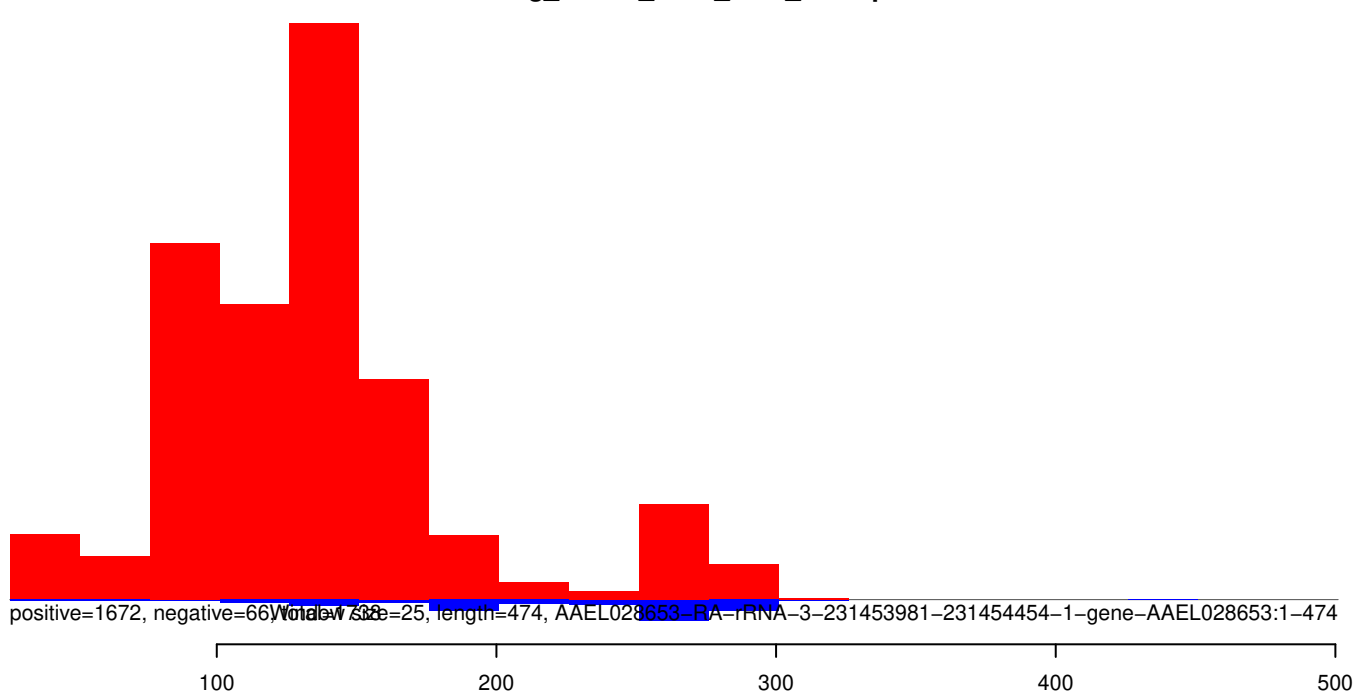
AeAeg_Whole_ZIKV_BM2_GP.18_23.rep



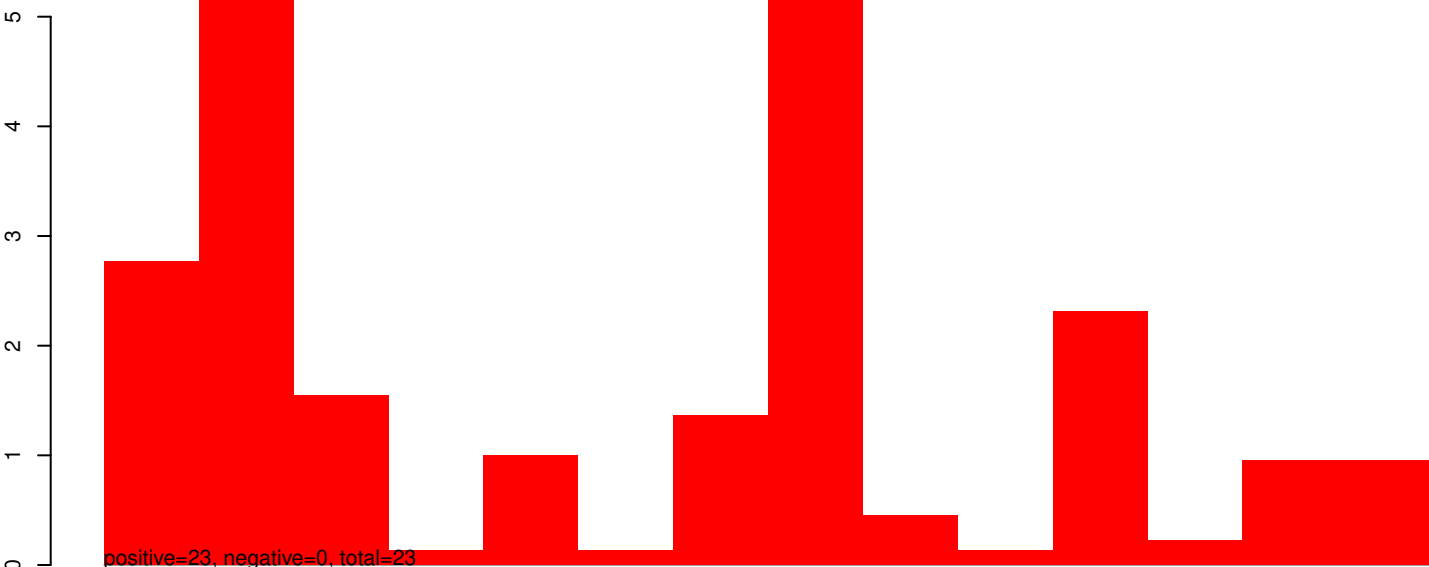
AeAeg_Whole_ZIKV_BM2_GP.24_35.rep



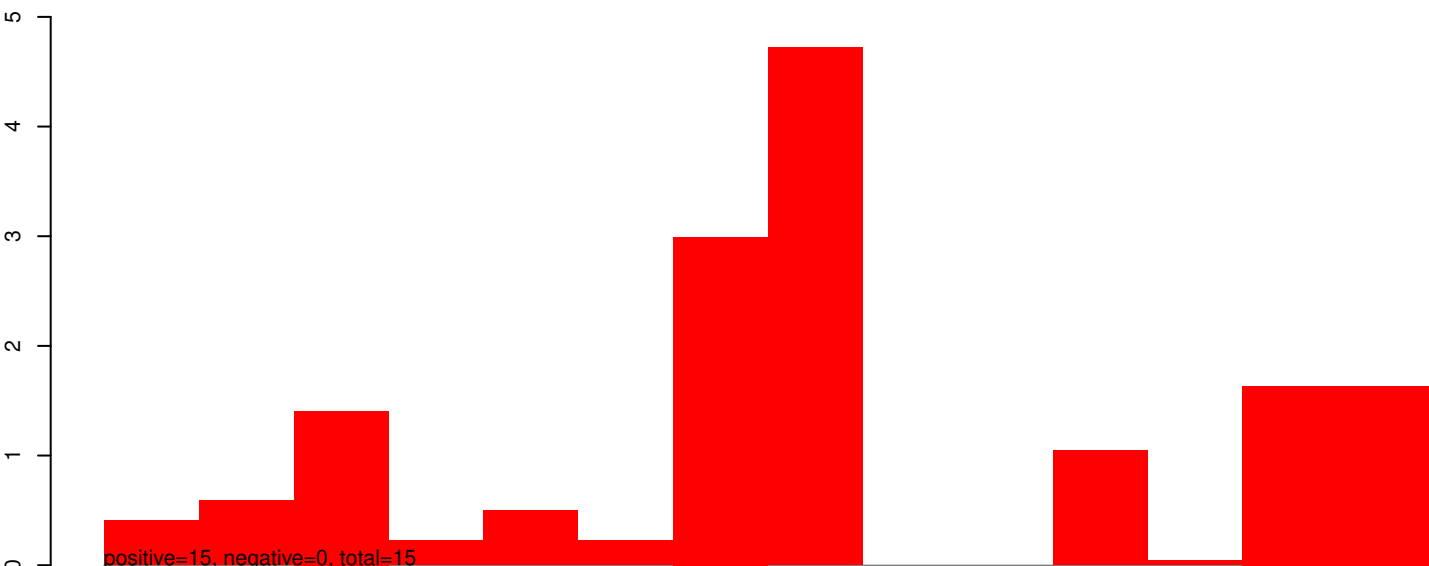
AeAeg_Whole_ZIKV_BM2_GP.rep



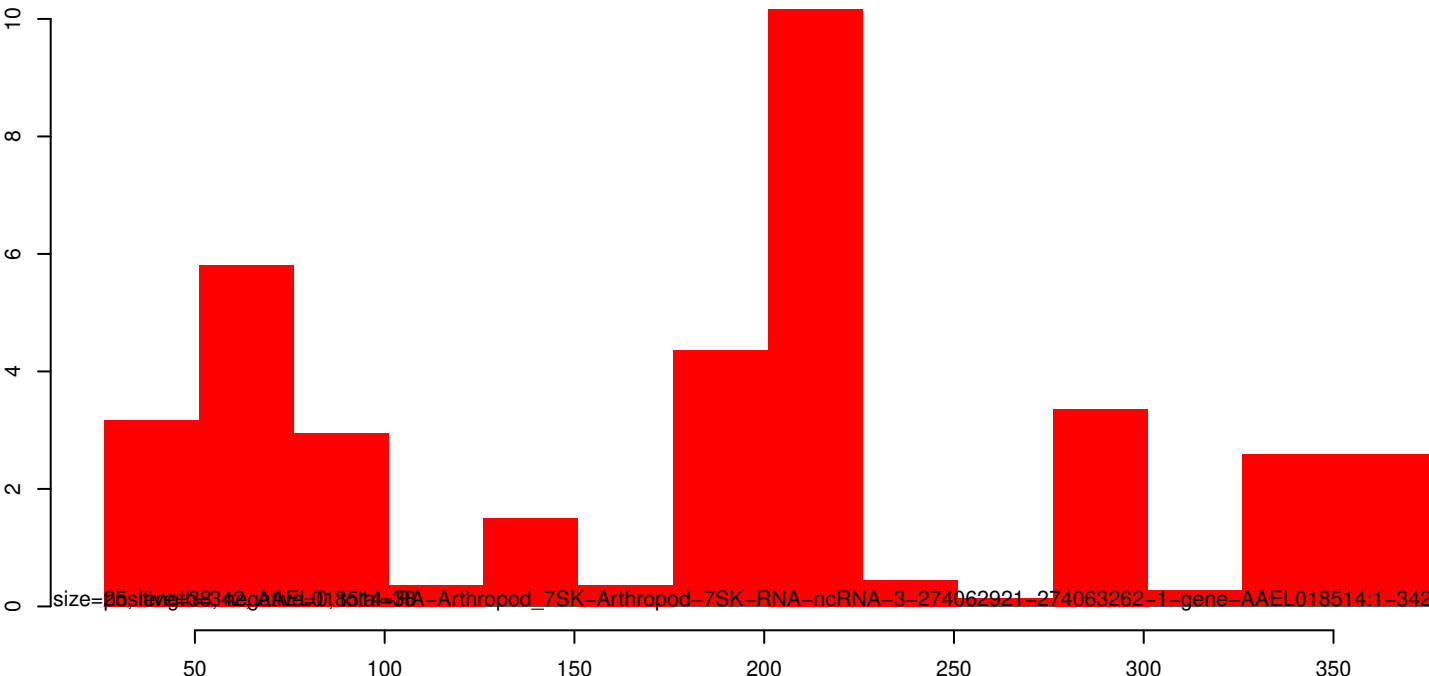
AeAeg_Whole_ZIKV_BM2_GP.18_23.rep



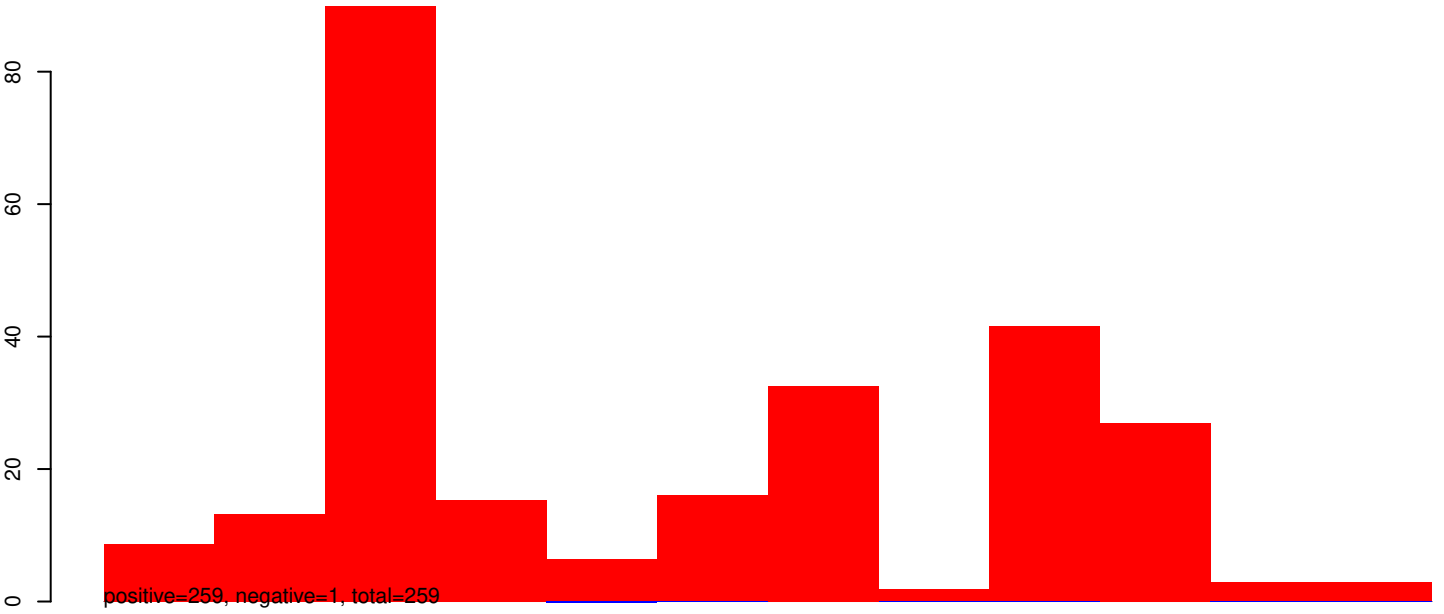
AeAeg_Whole_ZIKV_BM2_GP.24_35.rep



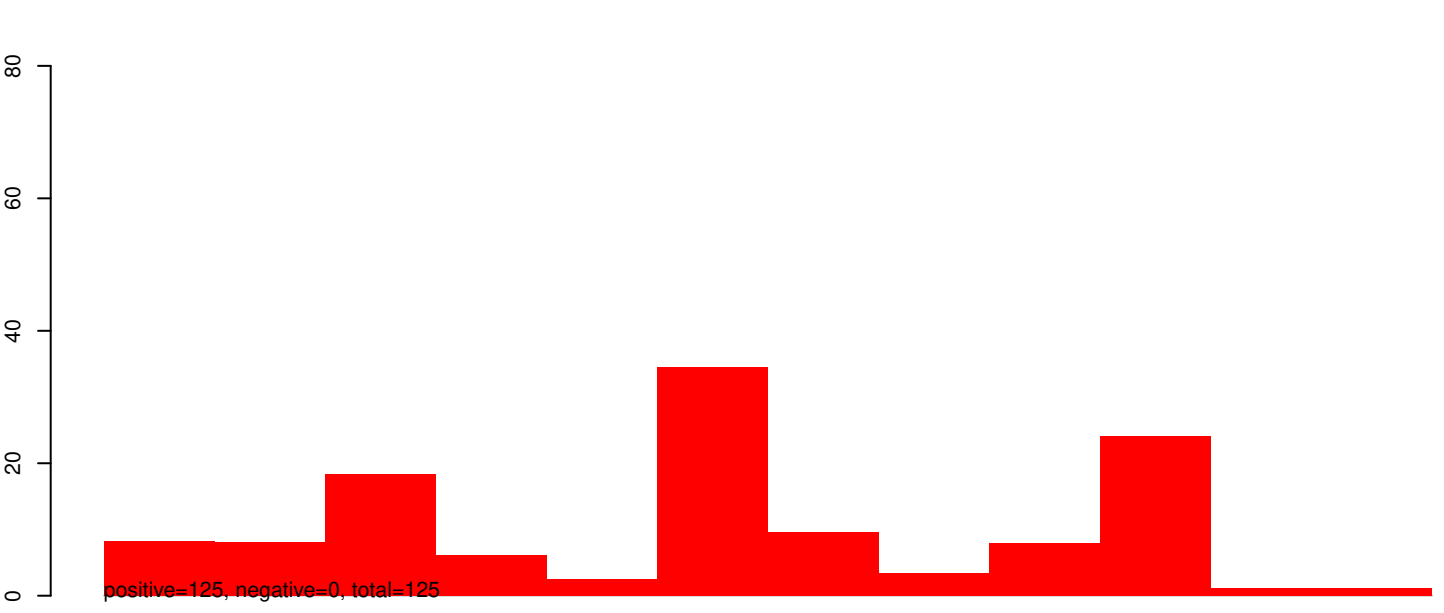
AeAeg_Whole_ZIKV_BM2_GP.rep



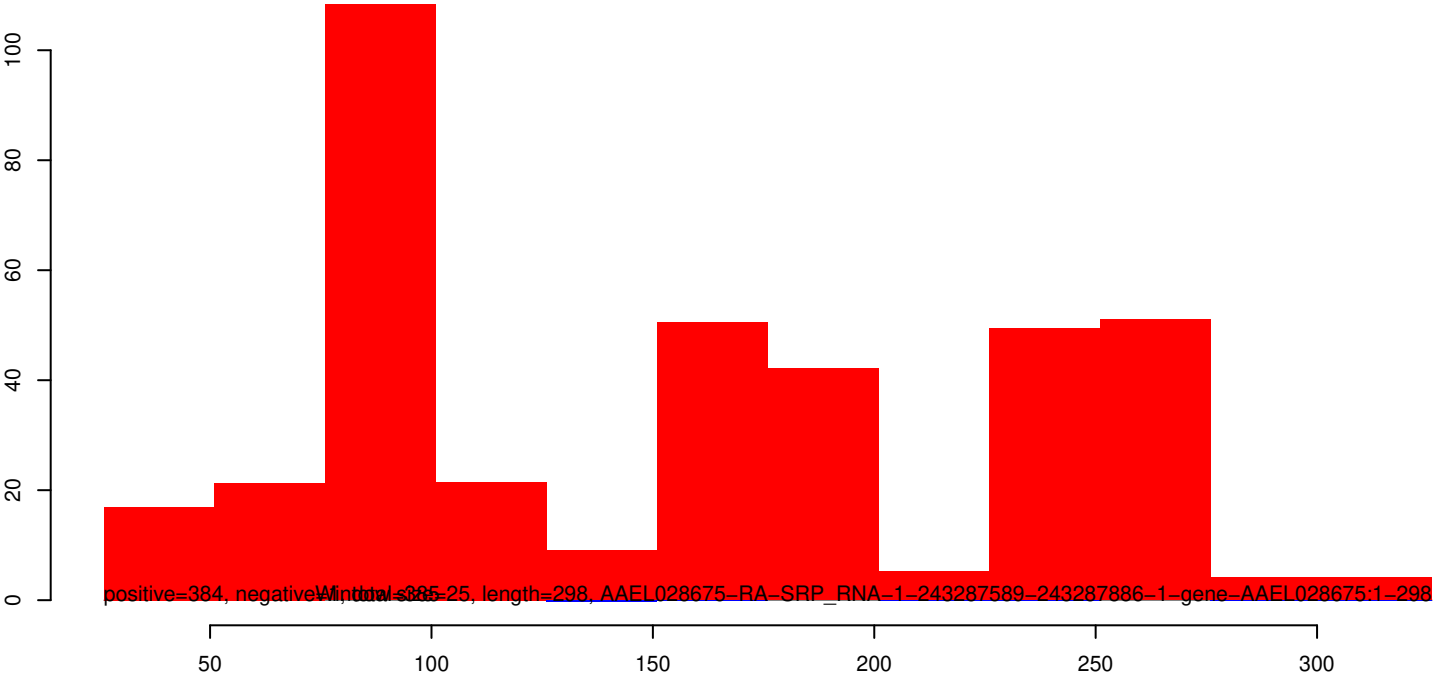
AeAeg_Whole_ZIKV_BM2_GP.18_23.rep



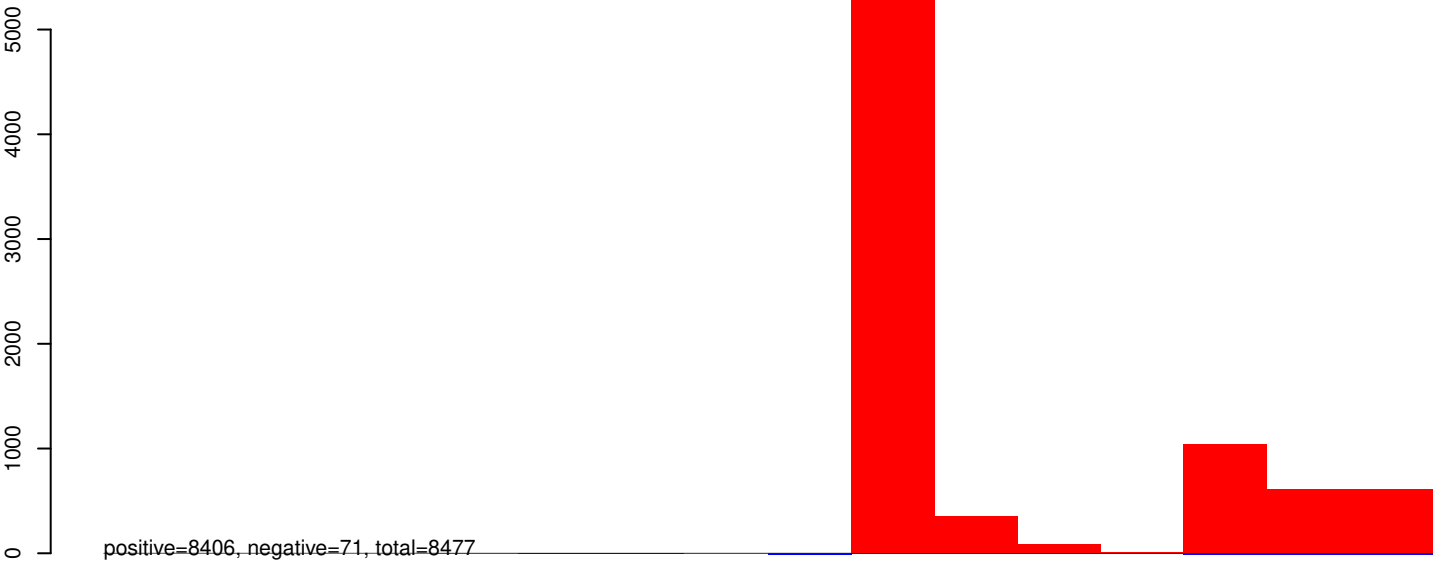
AeAeg_Whole_ZIKV_BM2_GP.24_35.rep



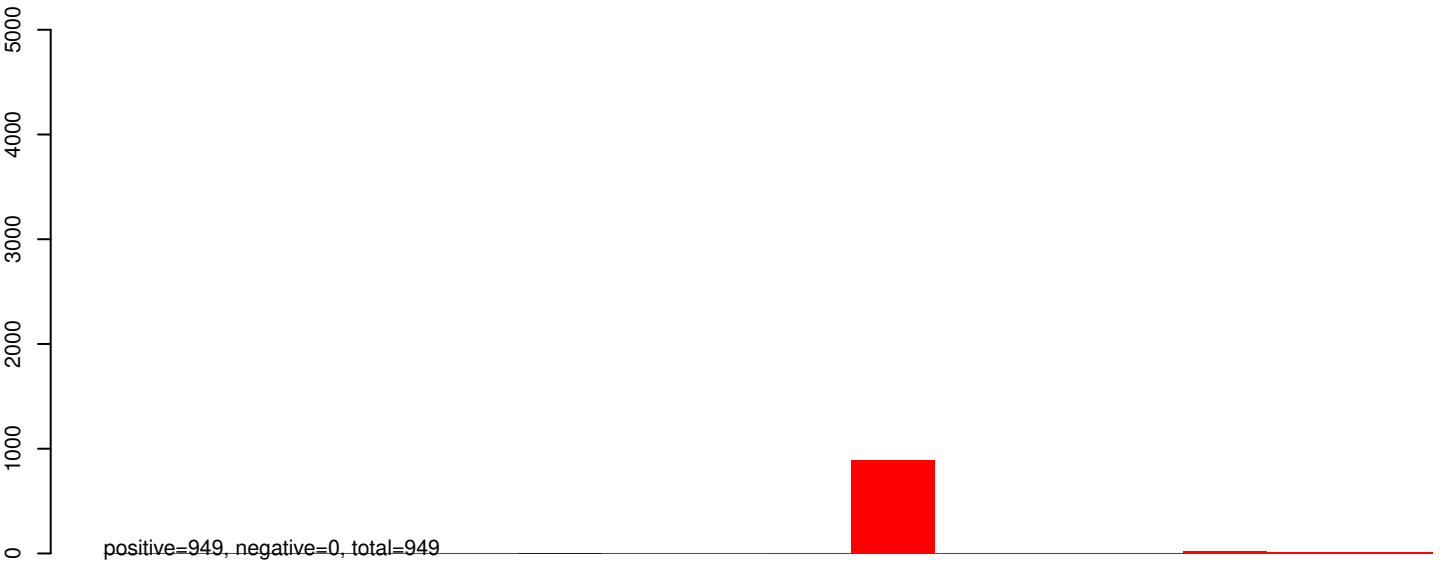
AeAeg_Whole_ZIKV_BM2_GP.rep



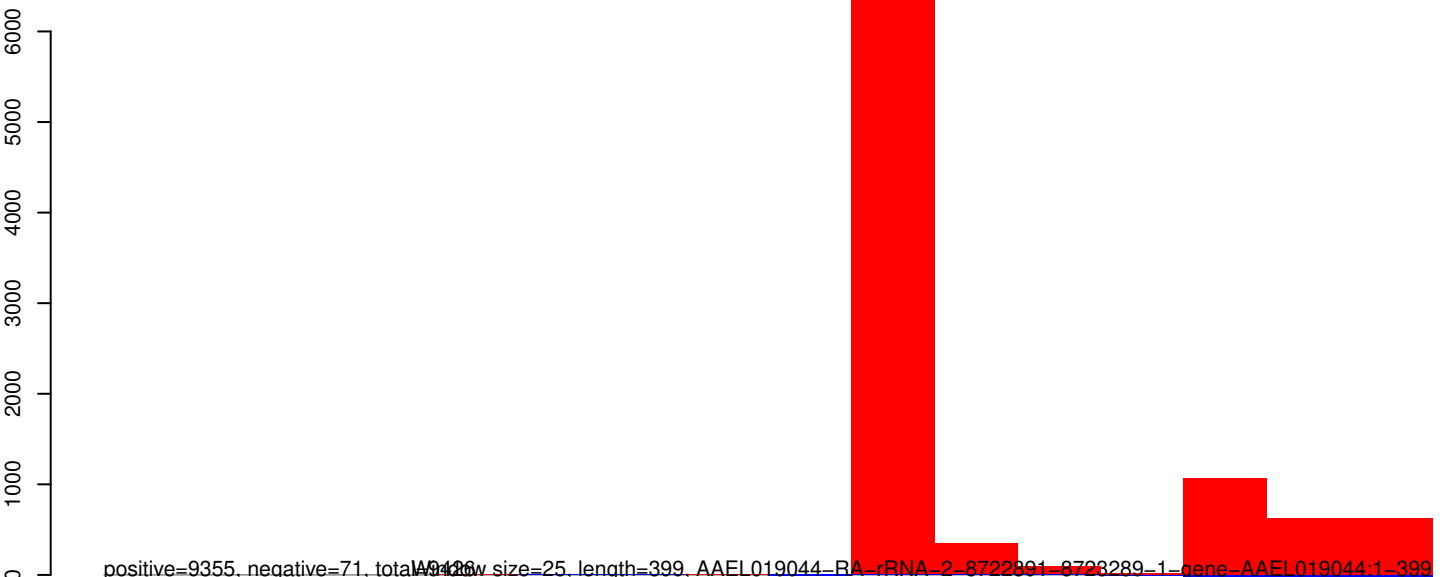
AeAeg_Whole_ZIKV_BM2_GP.18_23.rep



AeAeg_Whole_ZIKV_BM2_GP.24_35.rep

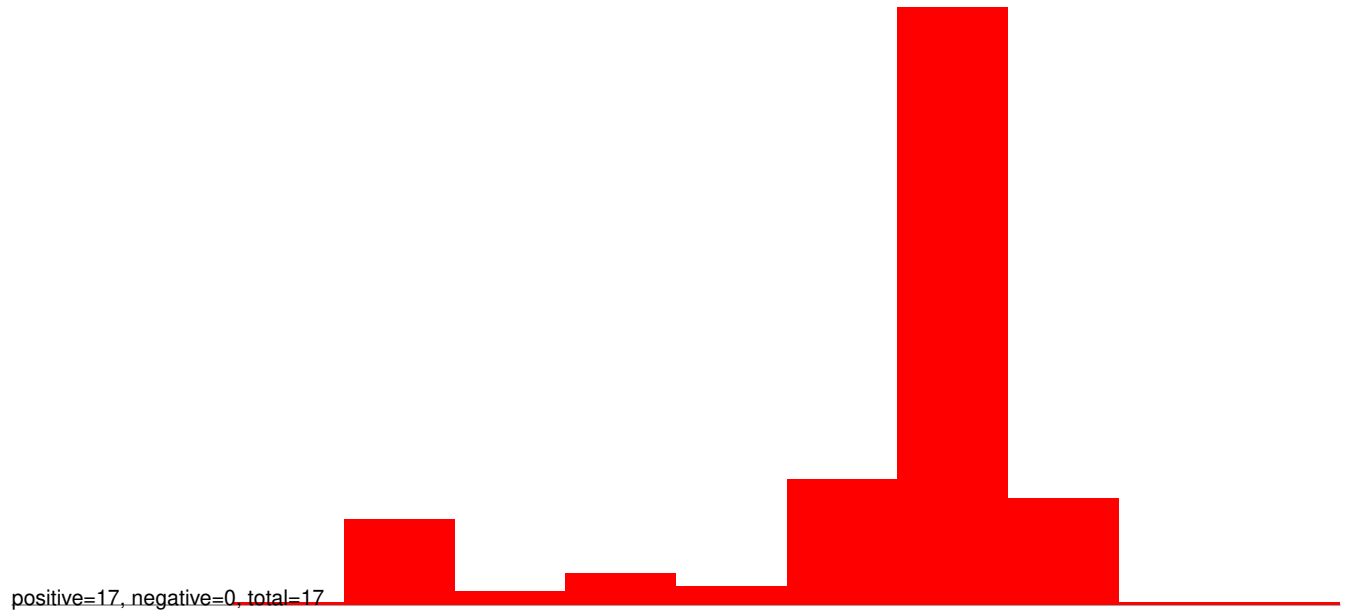


AeAeg_Whole_ZIKV_BM2_GP.rep

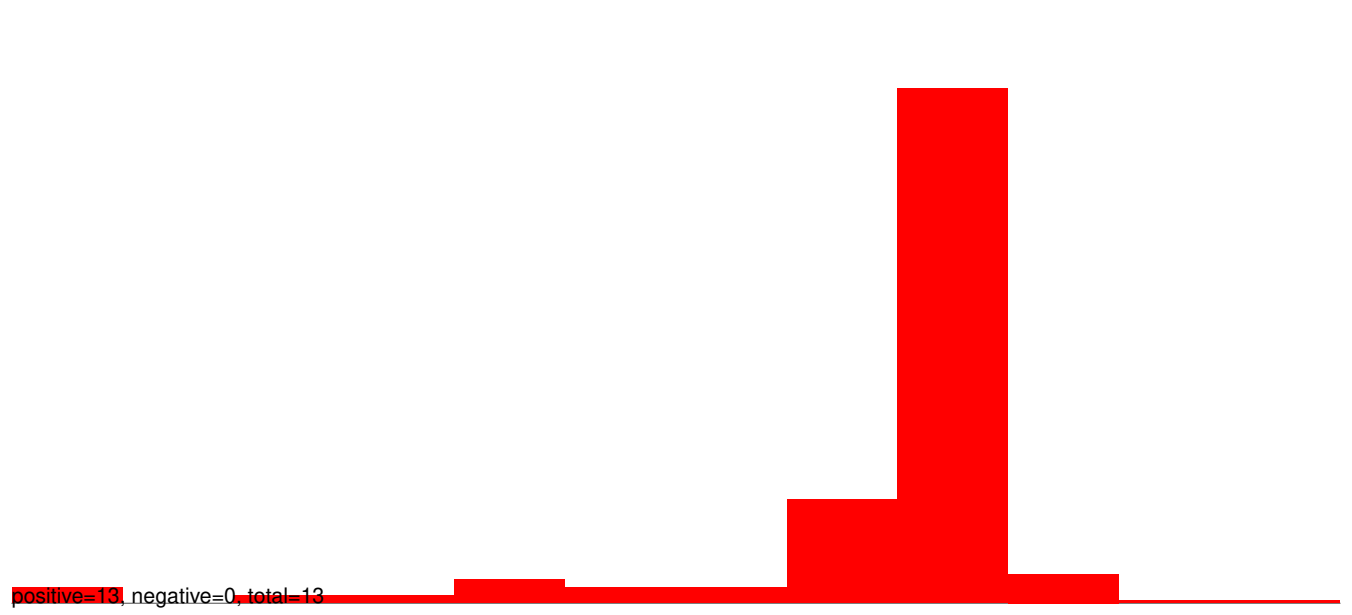


100 200 300 400

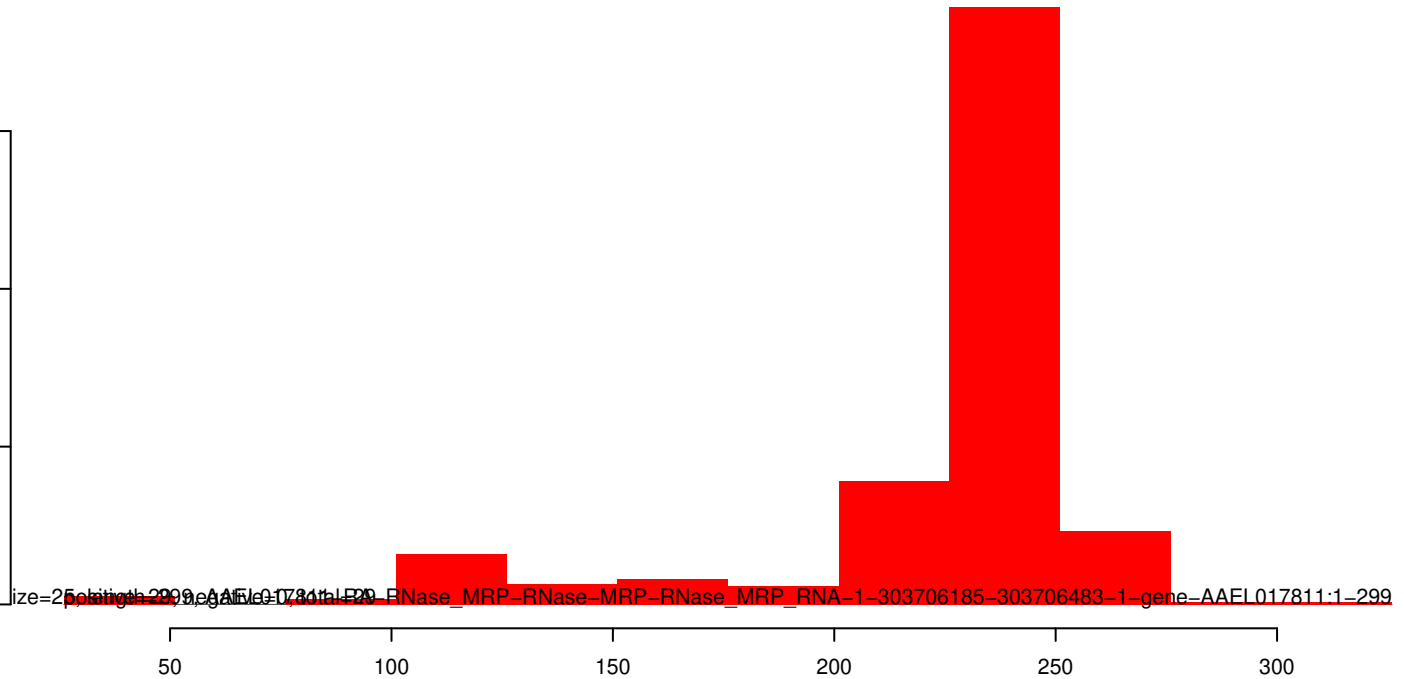
AeAeg_Whole_ZIKV_BM2_GP.18_23.rep



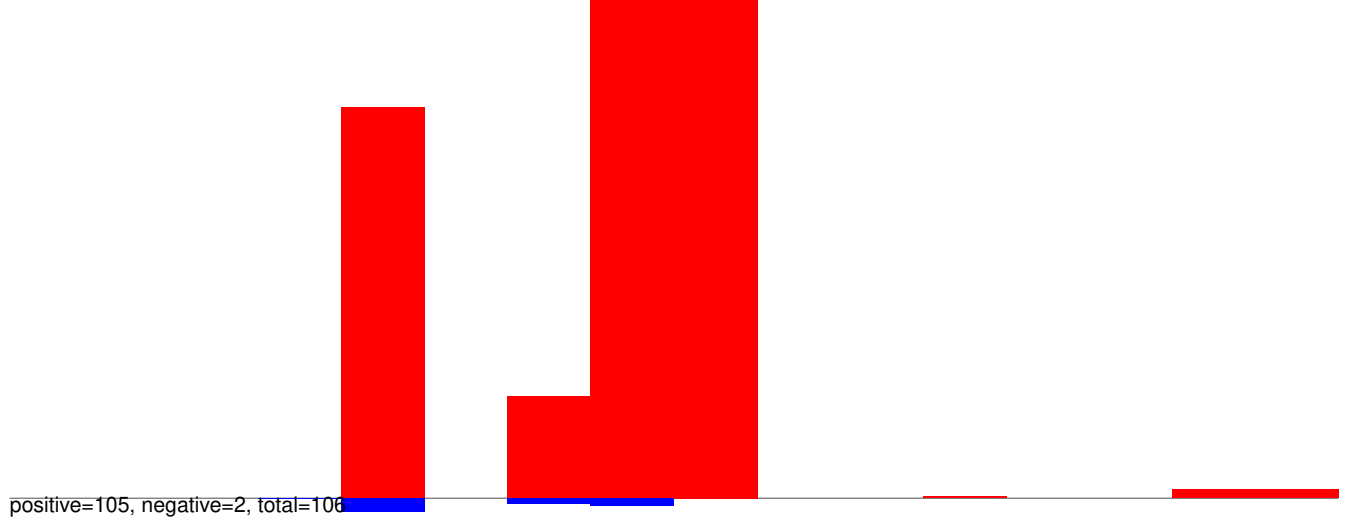
AeAeg_Whole_ZIKV_BM2_GP.24_35.rep



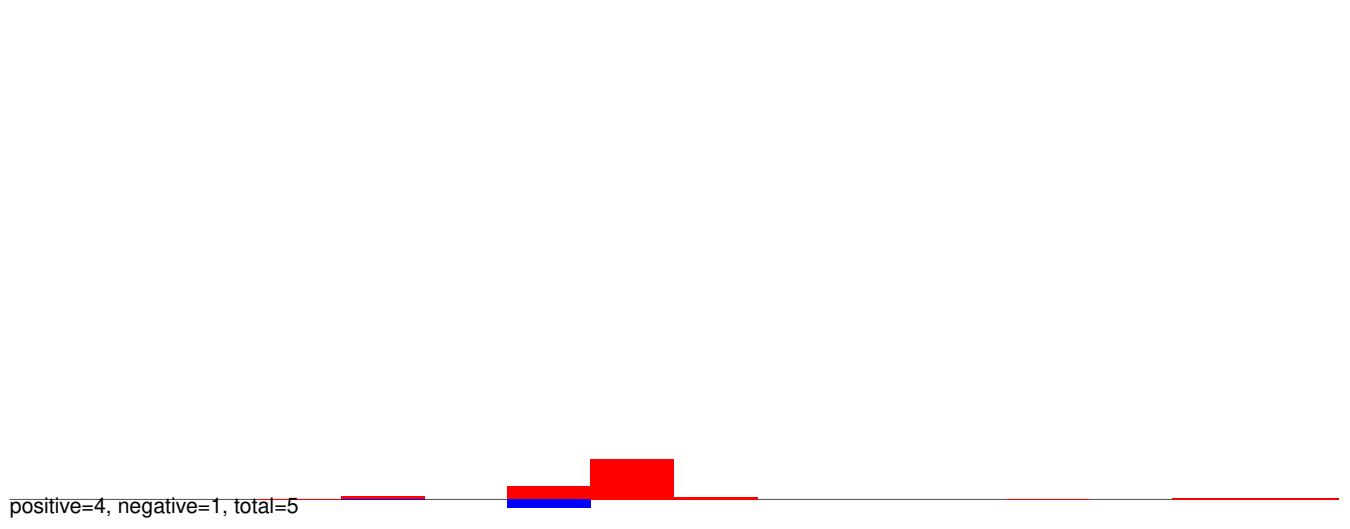
AeAeg_Whole_ZIKV_BM2_GP.rep



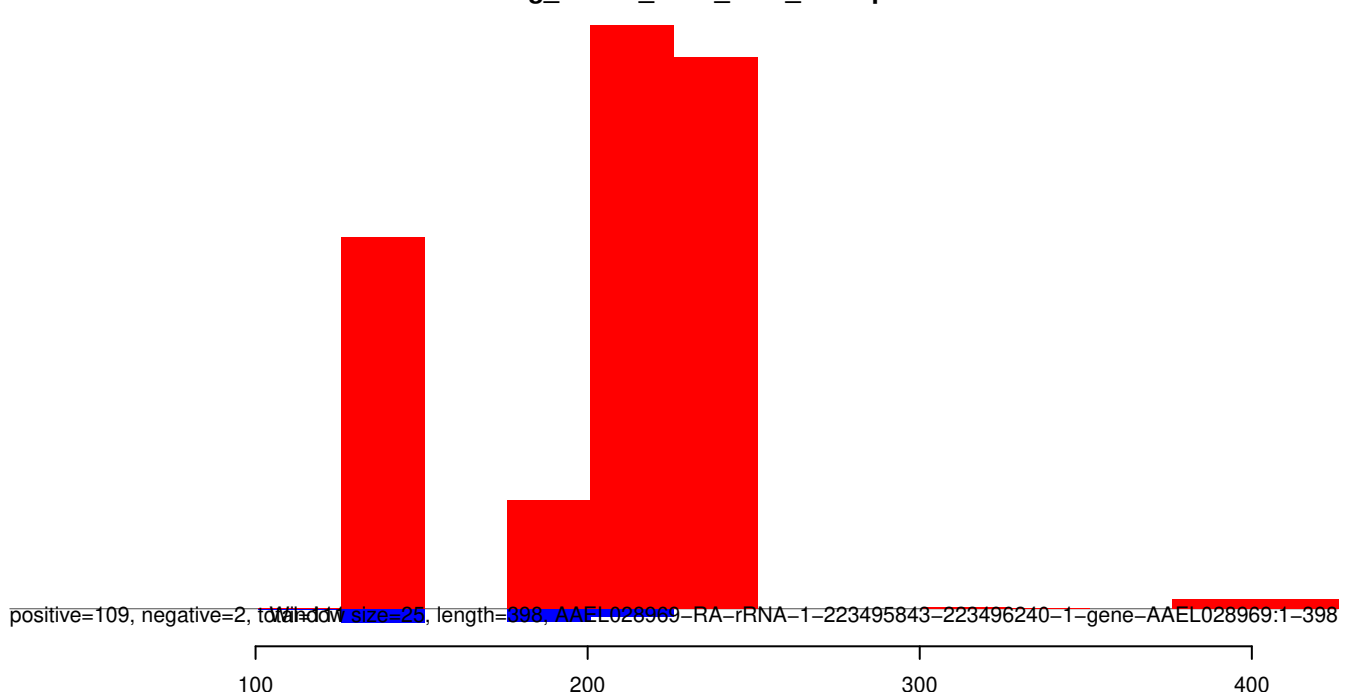
AeAeg_Whole_ZIKV_BM2_GP.18_23.rep



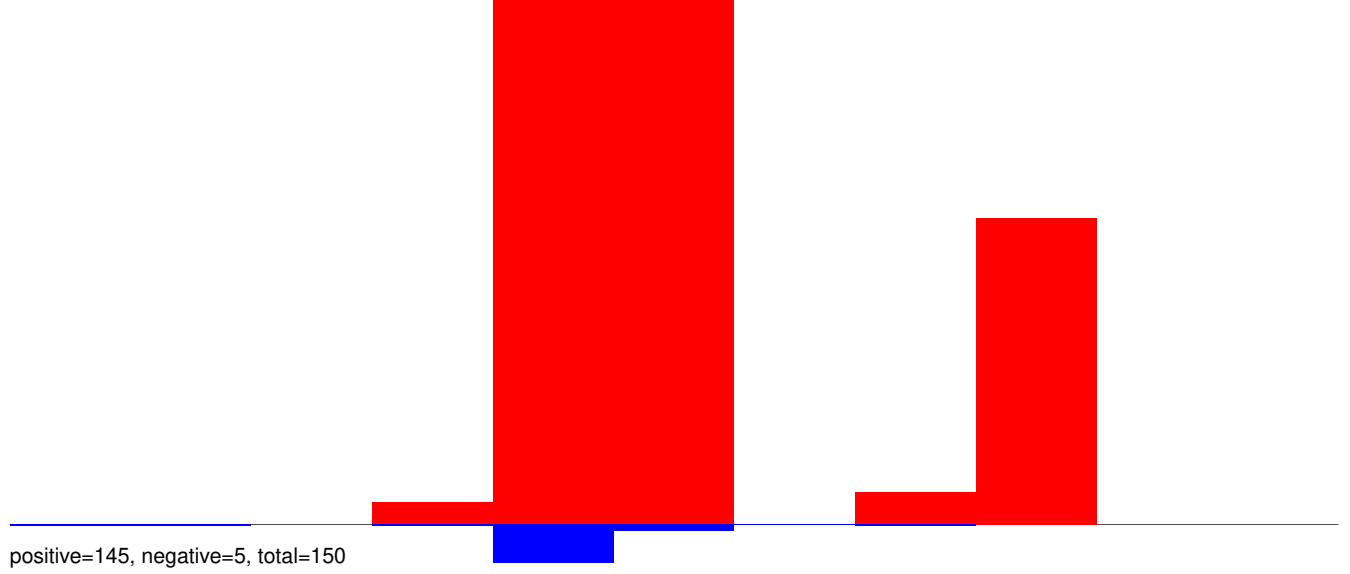
AeAeg_Whole_ZIKV_BM2_GP.24_35.rep



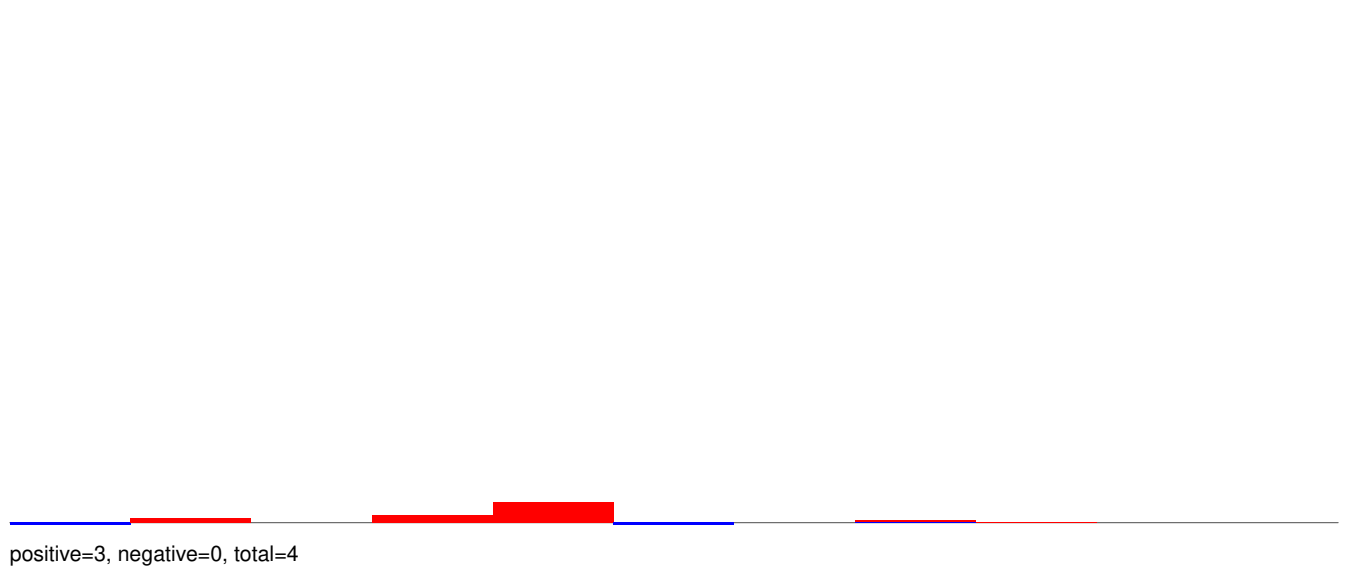
AeAeg_Whole_ZIKV_BM2_GP.rep



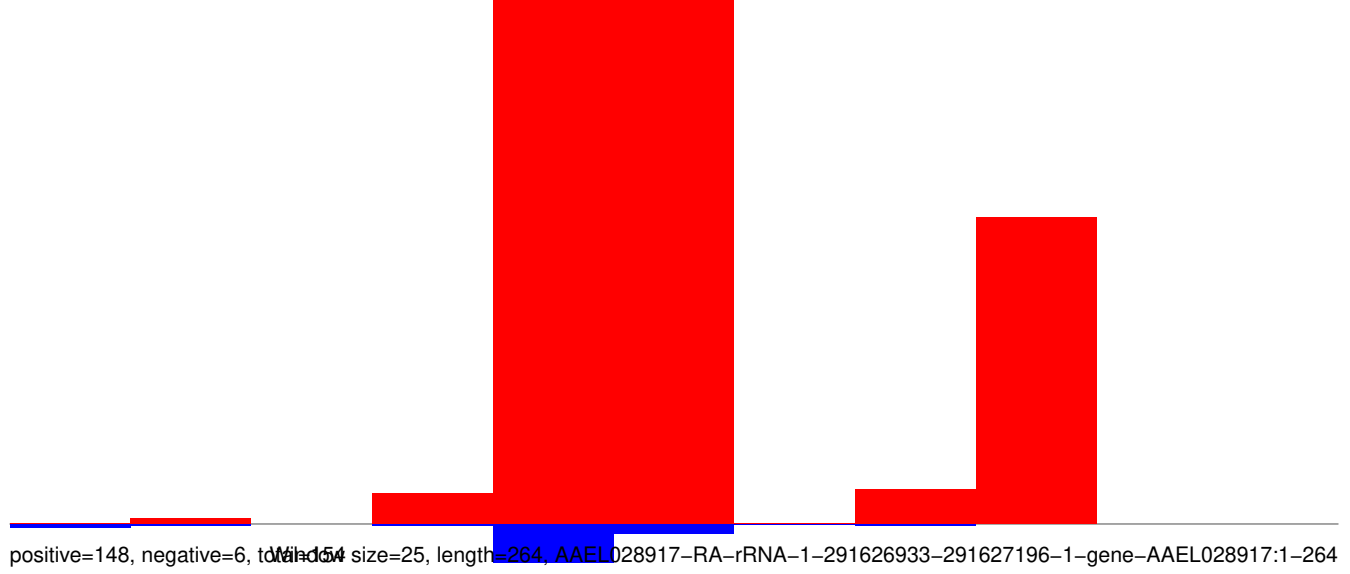
AeAeg_Whole_ZIKV_BM2_GP.18_23.rep



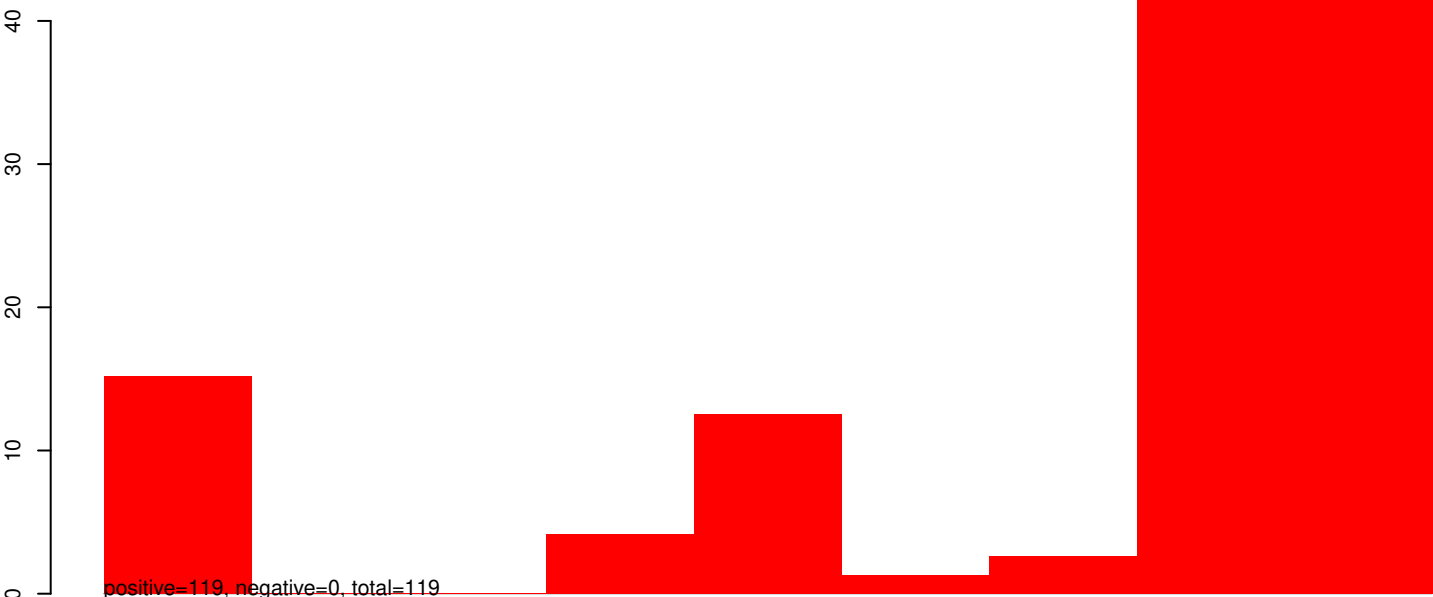
AeAeg_Whole_ZIKV_BM2_GP.24_35.rep



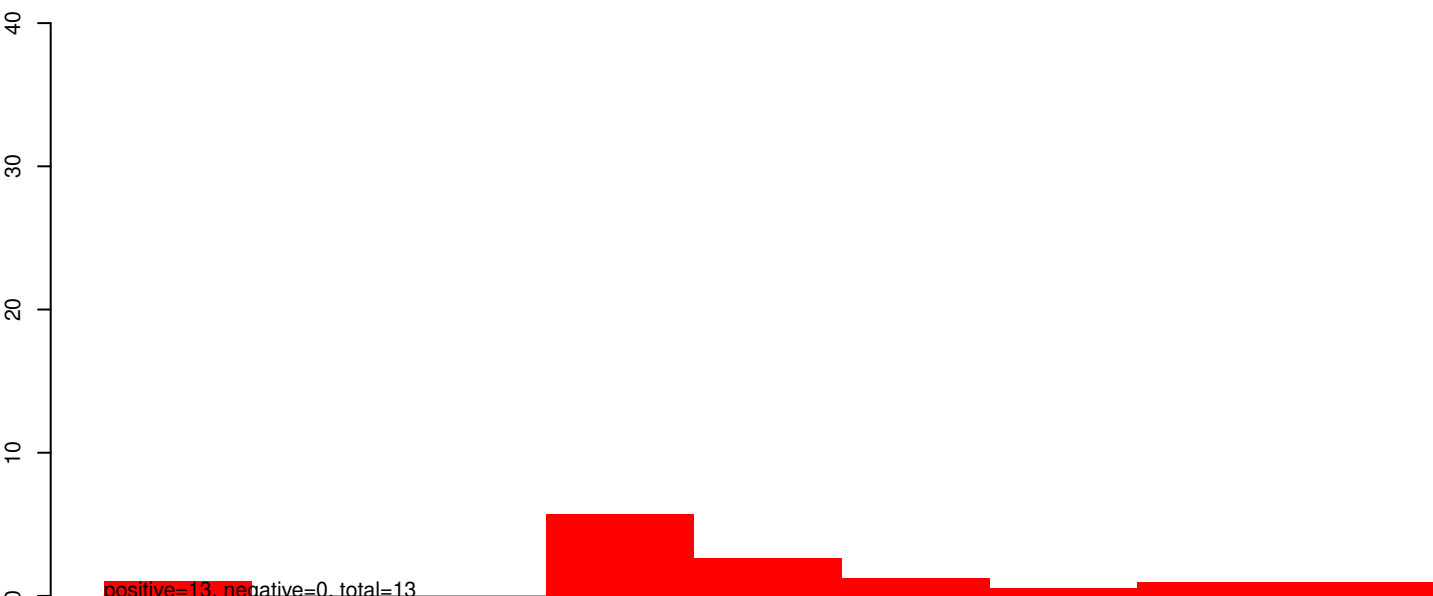
AeAeg_Whole_ZIKV_BM2_GP.rep



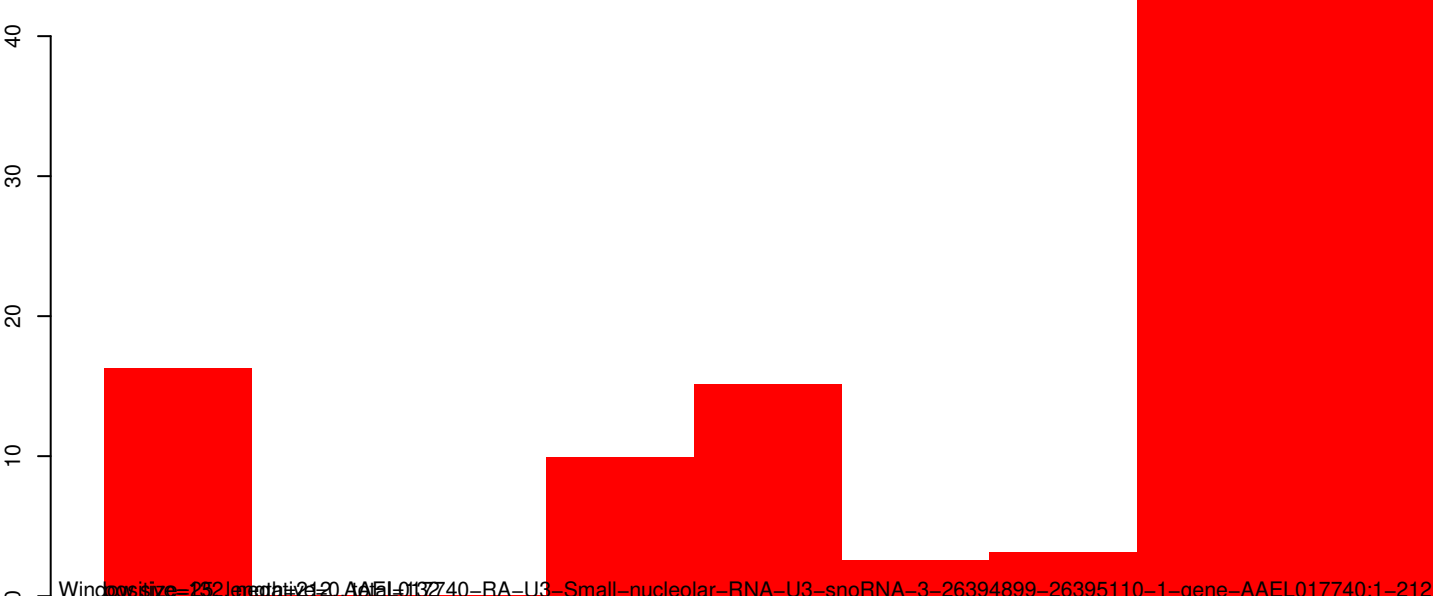
AeAeg_Whole_ZIKV_BM2_GP.18_23.rep



AeAeg_Whole_ZIKV_BM2_GP.24_35.rep

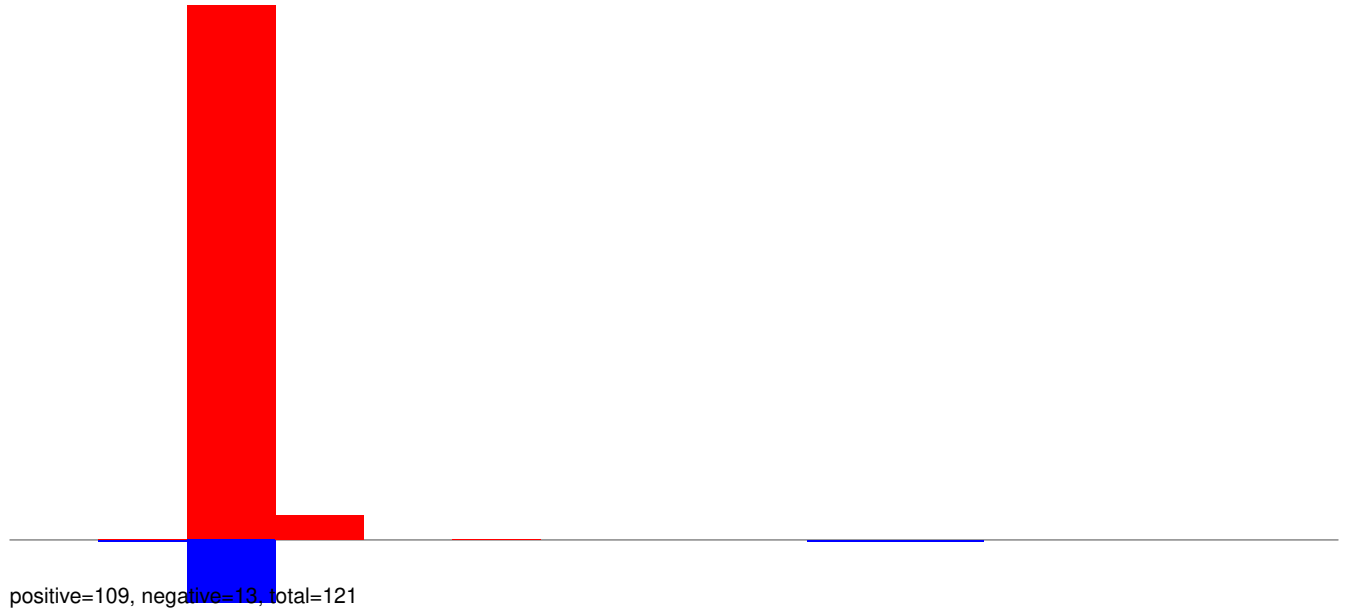


AeAeg_Whole_ZIKV_BM2_GP.rep

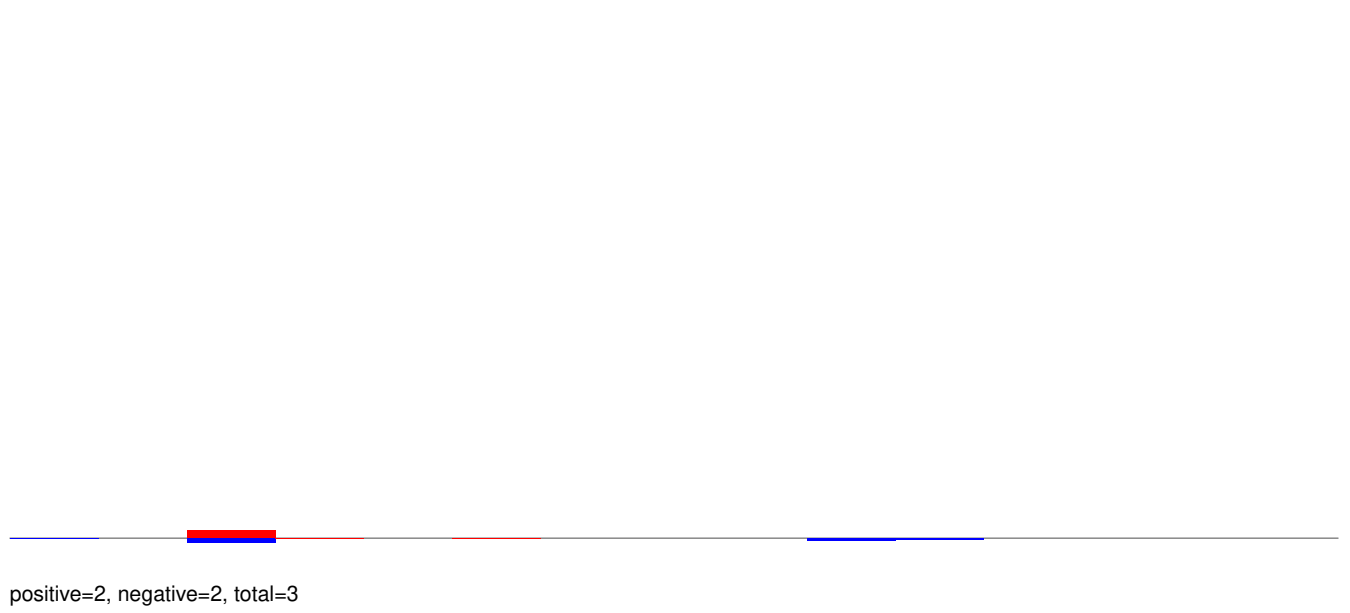


Window size=25, length=25, AAEL017740-RA-U3-Small-nucleolar-RNA-U3-snoRNA-3-26394899-26395110-1-gene-AAEL017740:1-212

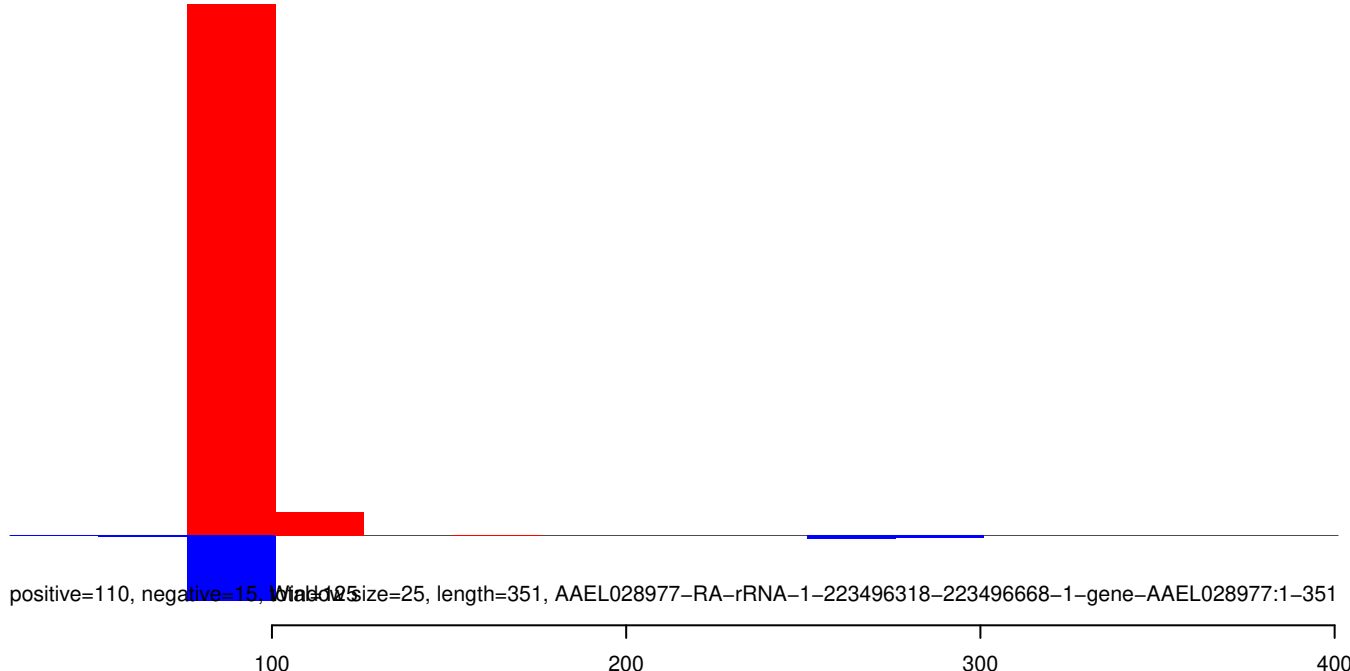
AeAeg_Whole_ZIKV_BM2_GP.18_23.rep



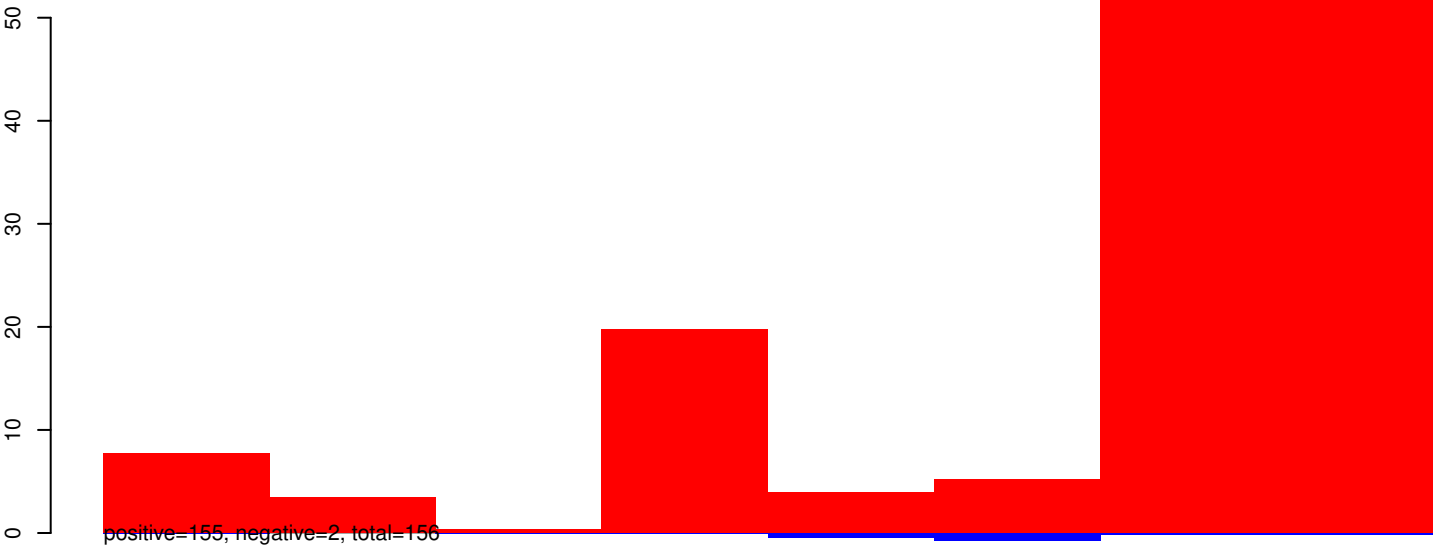
AeAeg_Whole_ZIKV_BM2_GP.24_35.rep



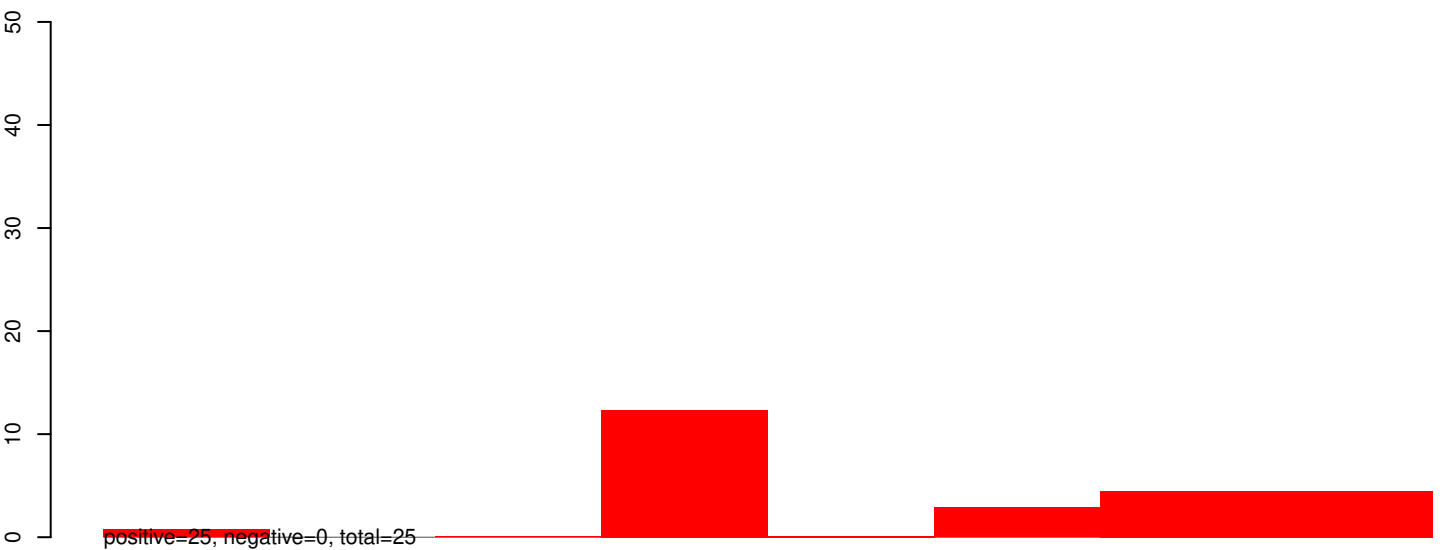
AeAeg_Whole_ZIKV_BM2_GP.rep



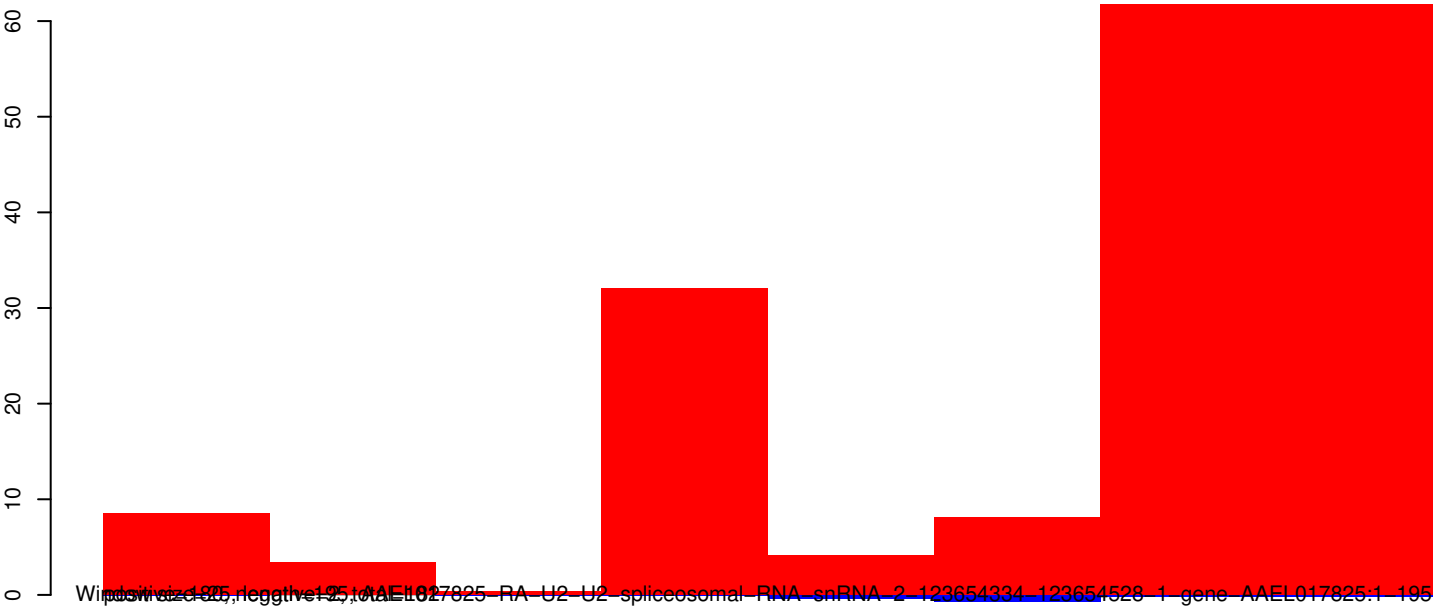
AeAeg_Whole_ZIKV_BM2_GP.18_23.rep



AeAeg_Whole_ZIKV_BM2_GP.24_35.rep

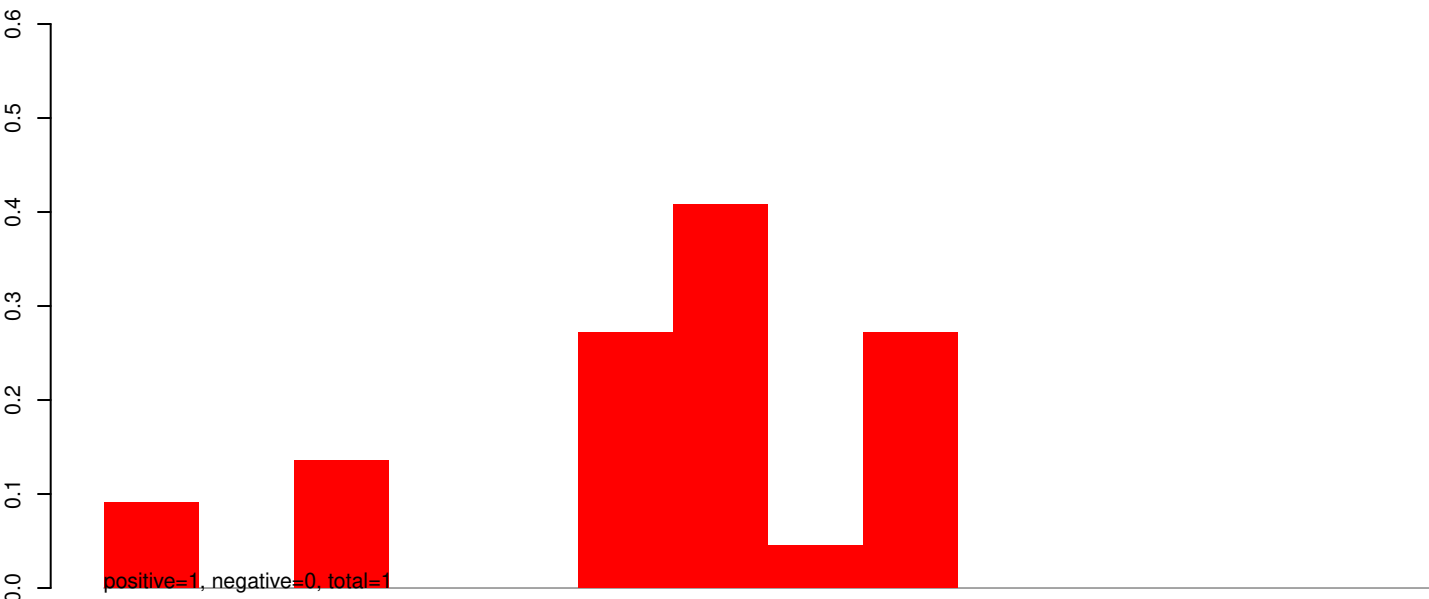


AeAeg_Whole_ZIKV_BM2_GP.rep

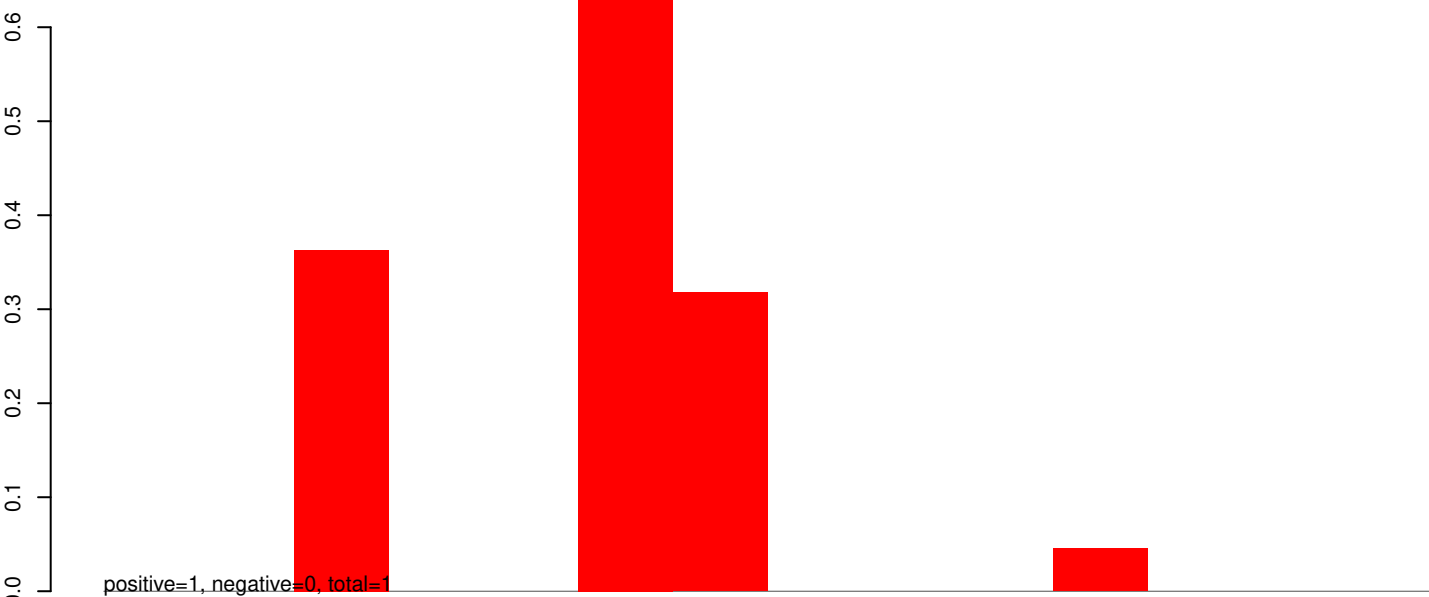


Window size=25, negative=2, total=127, AAEL017825-RA-U2-U2-spliceosomal-RNA-snRNA-2-123654334-123654528-1-gene-AAEL017825:1-195

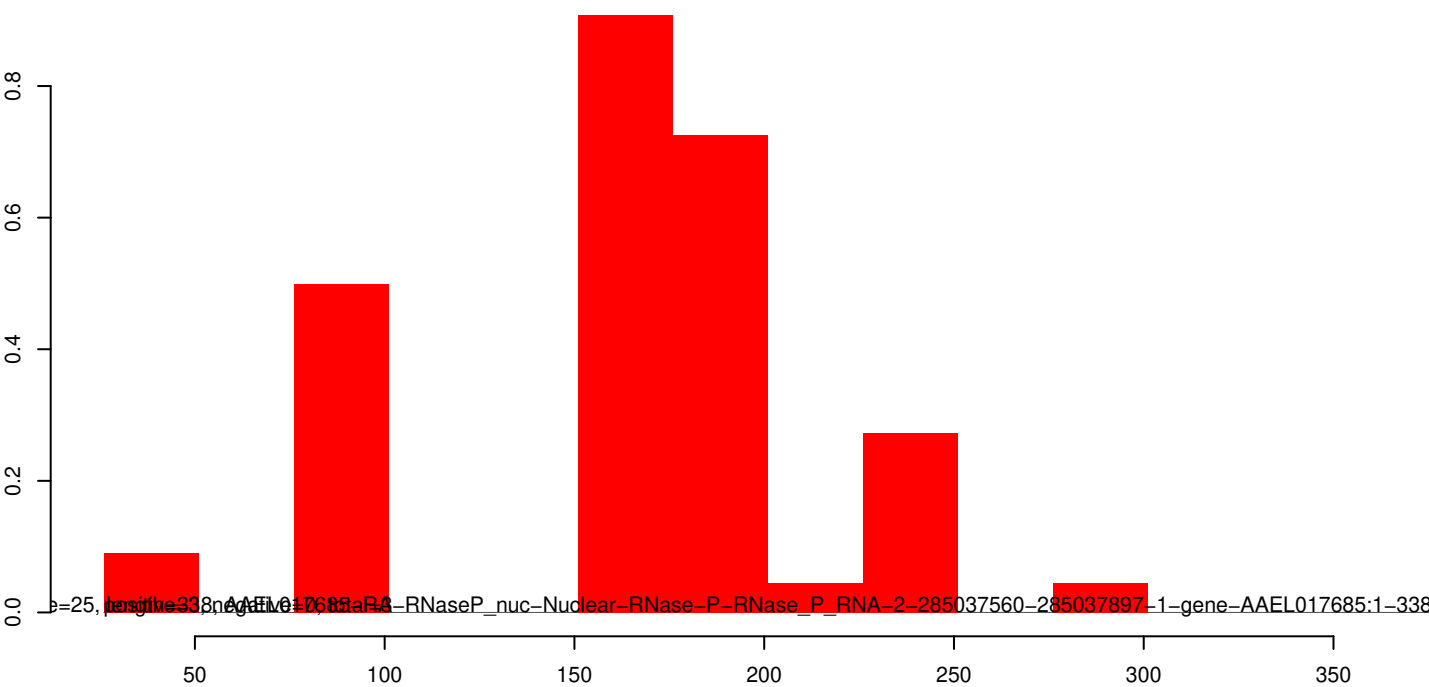
AeAeg_Whole_ZIKV_BM2_GP.18_23.rep



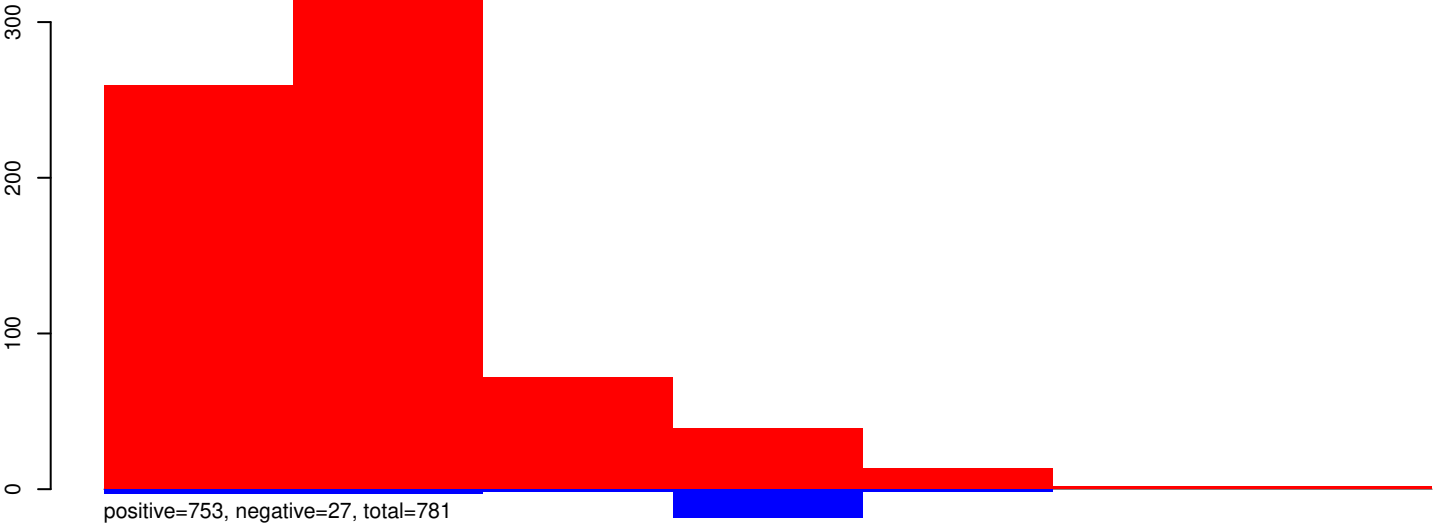
AeAeg_Whole_ZIKV_BM2_GP.24_35.rep



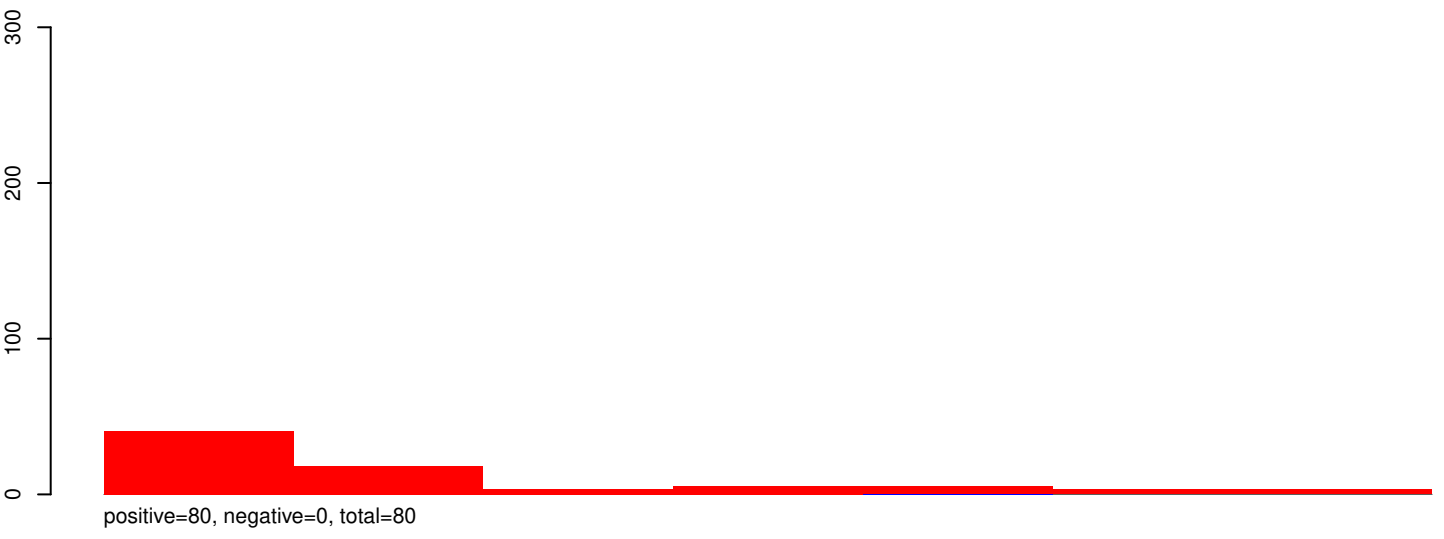
AeAeg_Whole_ZIKV_BM2_GP.rep



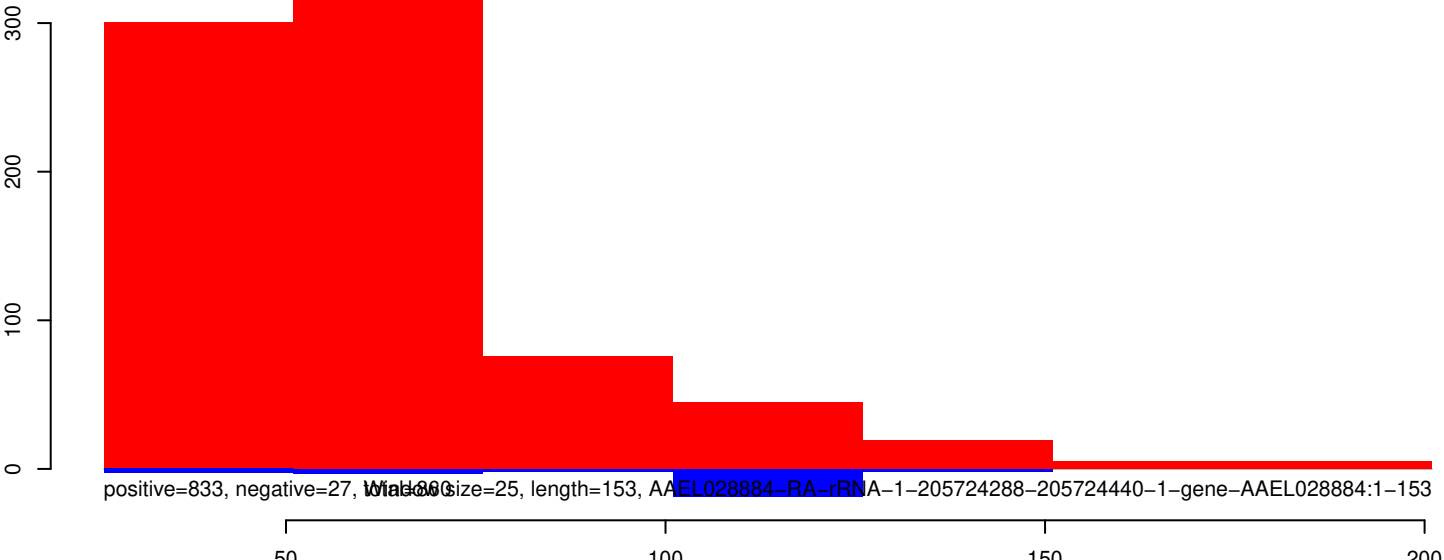
AeAeg_Whole_ZIKV_BM2_GP.18_23.rep



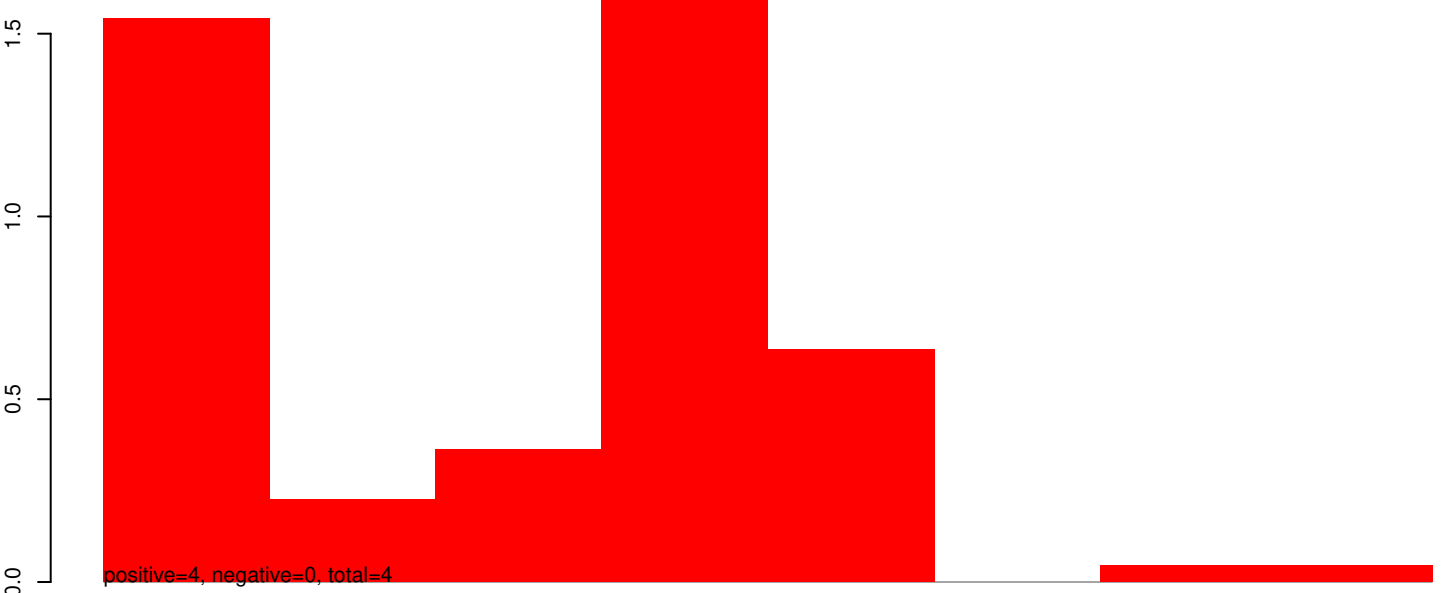
AeAeg_Whole_ZIKV_BM2_GP.24_35.rep



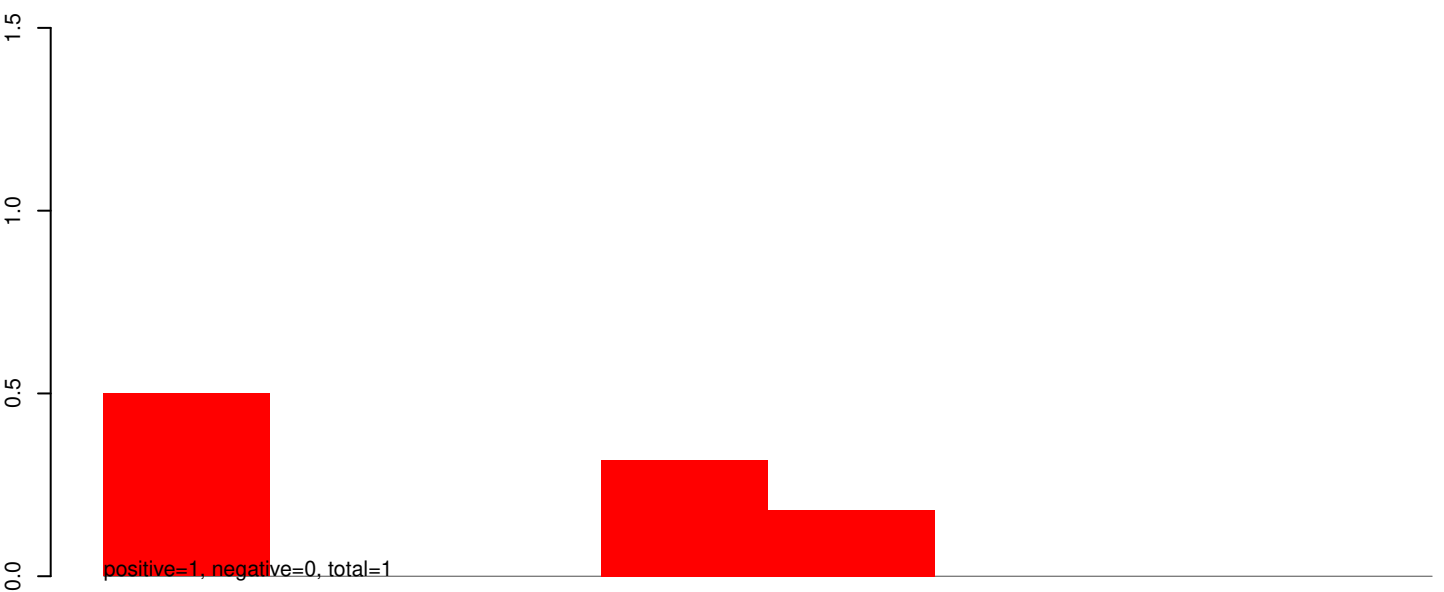
AeAeg_Whole_ZIKV_BM2_GP.rep



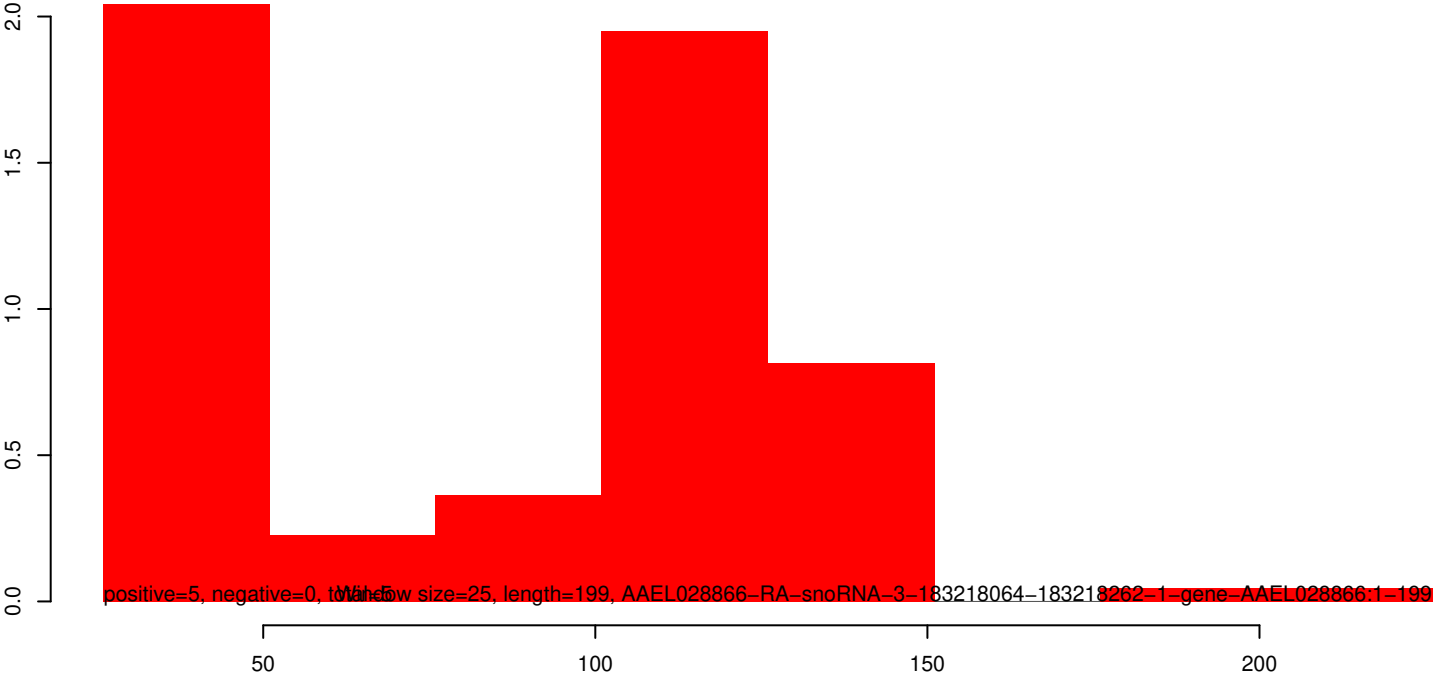
AeAeg_Whole_ZIKV_BM2_GP.18_23.rep



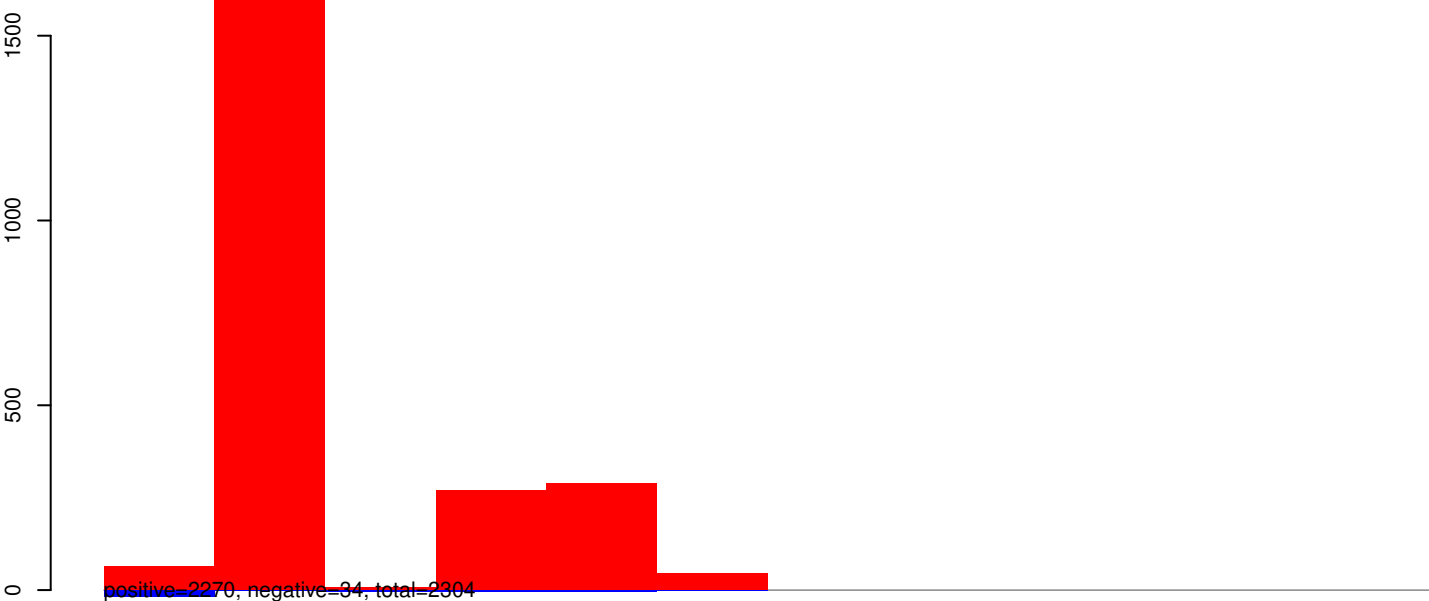
AeAeg_Whole_ZIKV_BM2_GP.24_35.rep



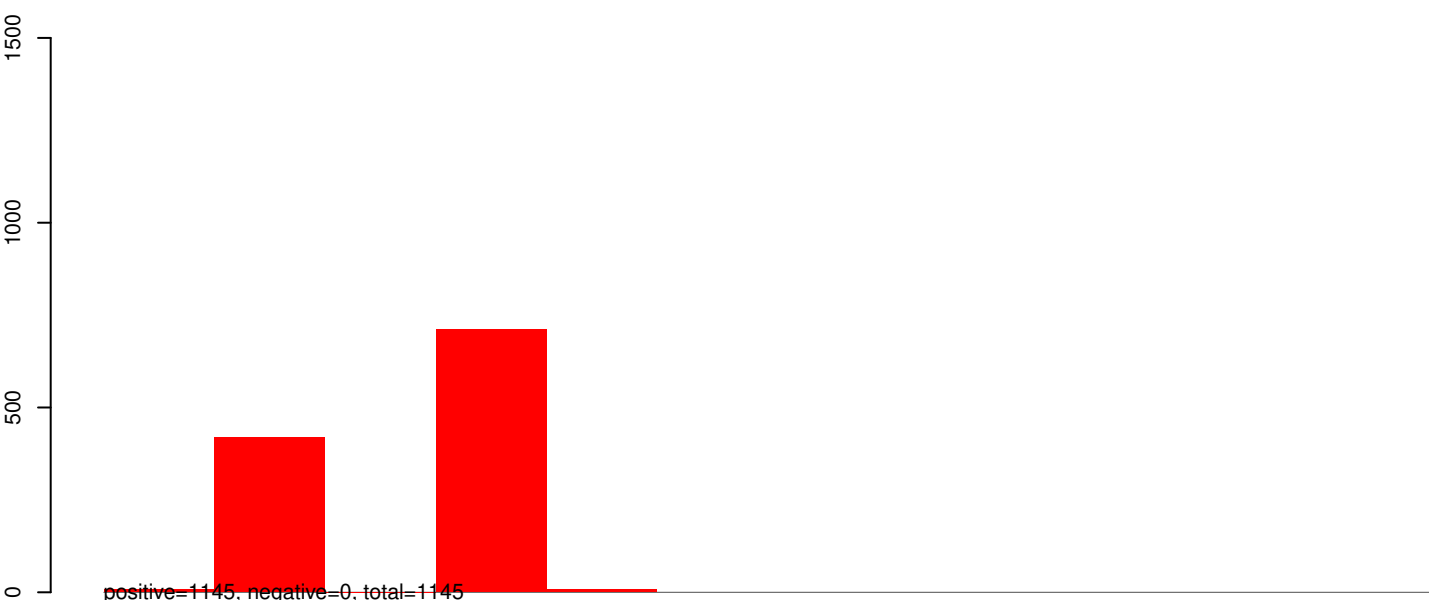
AeAeg_Whole_ZIKV_BM2_GP.rep



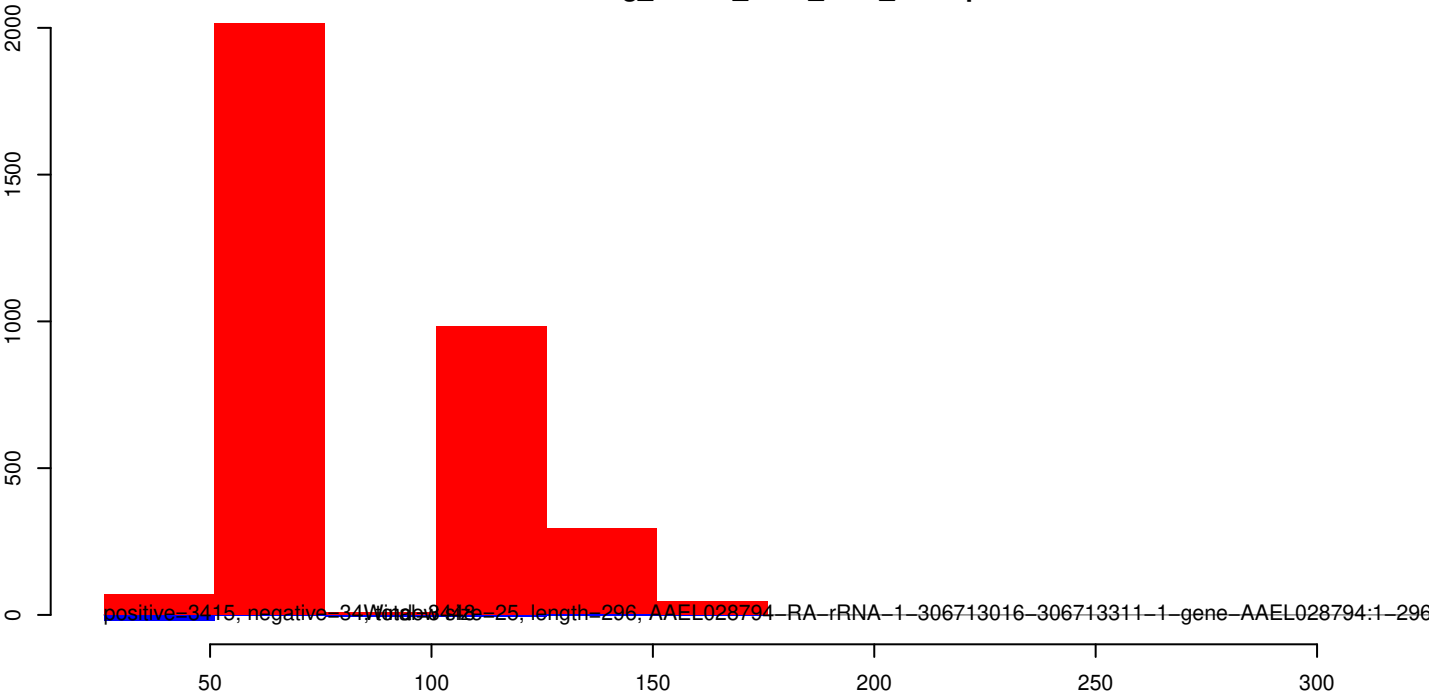
AeAeg_Whole_ZIKV_BM2_GP.18_23.rep



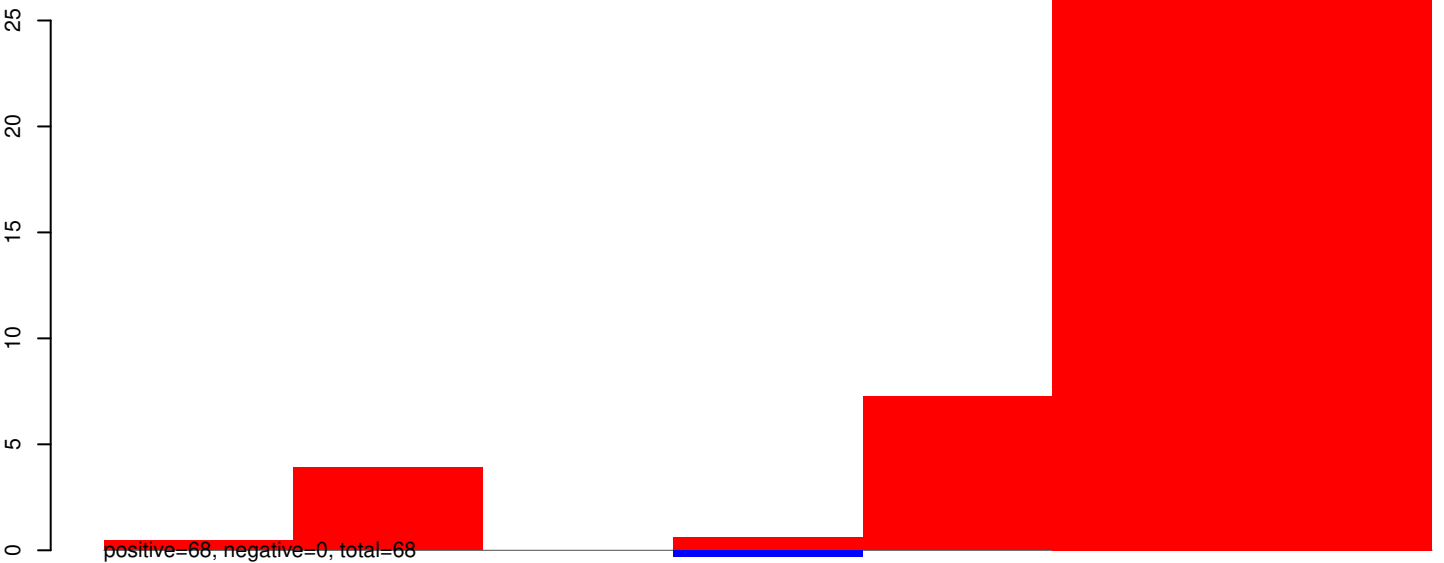
AeAeg_Whole_ZIKV_BM2_GP.24_35.rep



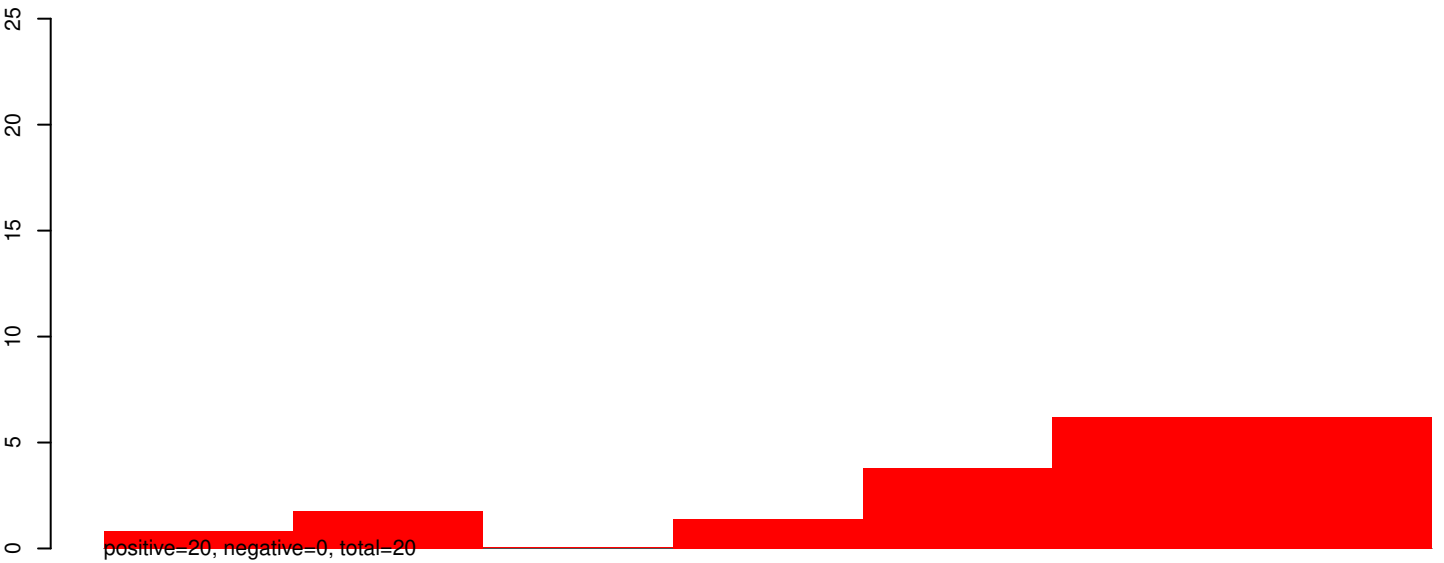
AeAeg_Whole_ZIKV_BM2_GP.rep



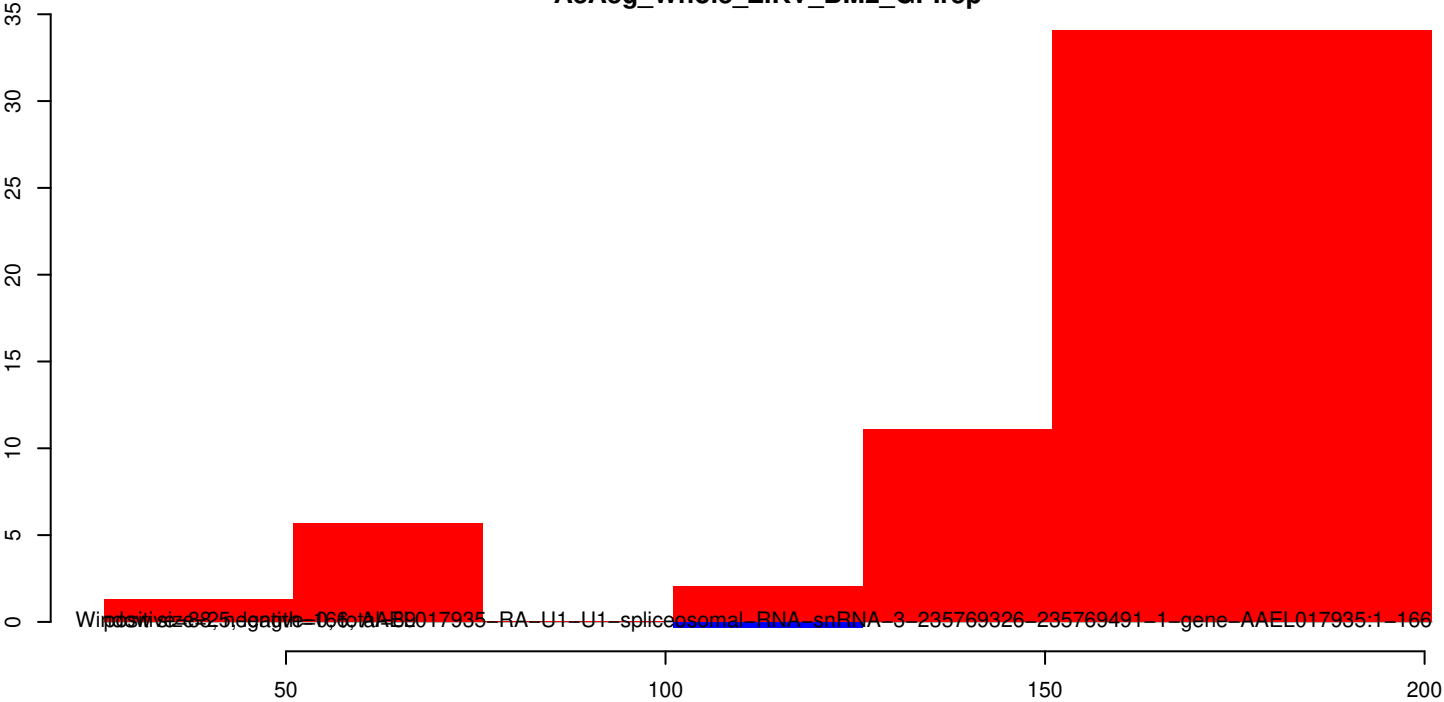
AeAeg_Whole_ZIKV_BM2_GP.18_23.rep



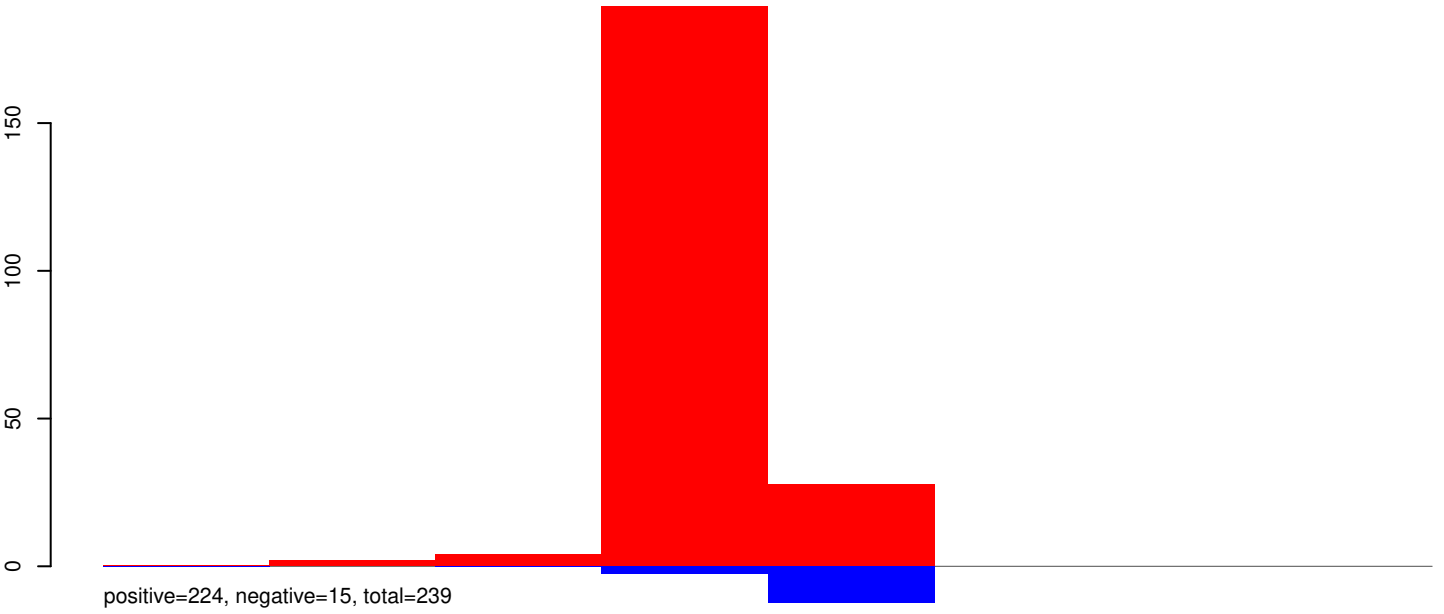
AeAeg_Whole_ZIKV_BM2_GP.24_35.rep



AeAeg_Whole_ZIKV_BM2_GP.rep



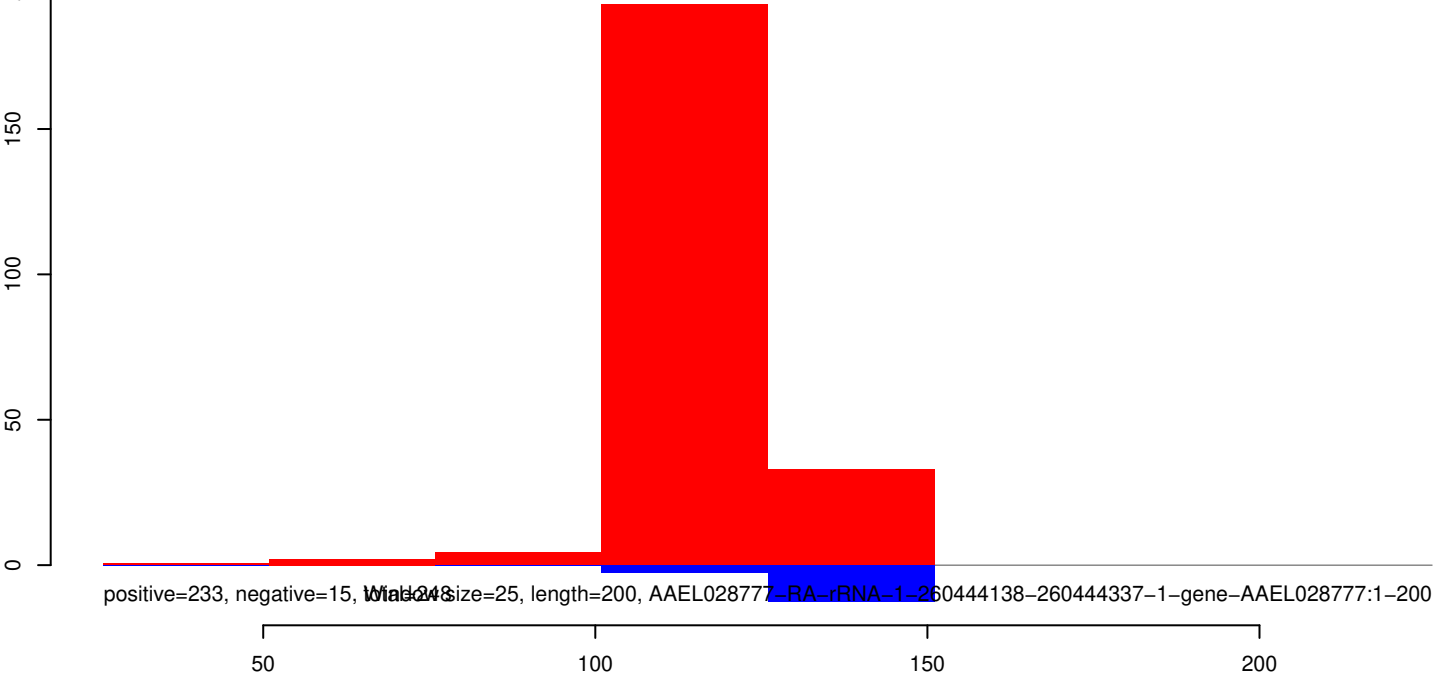
AeAeg_Whole_ZIKV_BM2_GP.18_23.rep



AeAeg_Whole_ZIKV_BM2_GP.24_35.rep

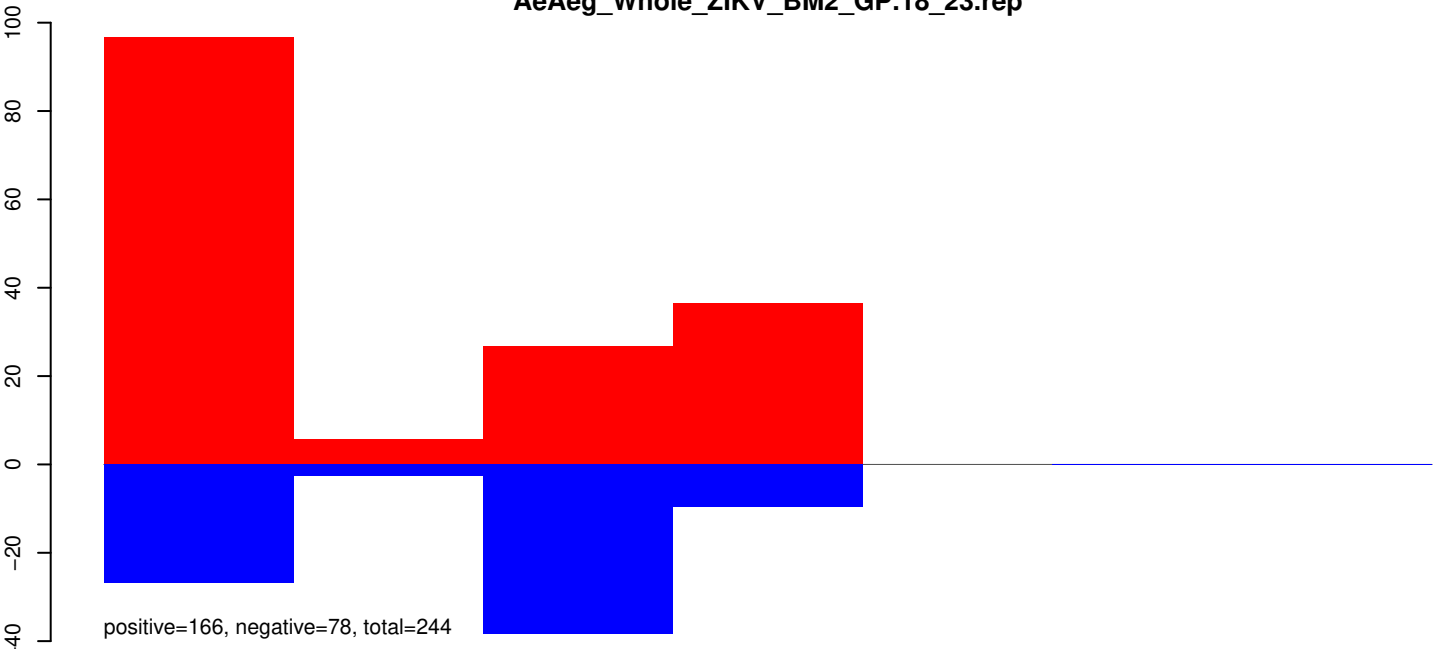


AeAeg_Whole_ZIKV_BM2_GP.rep

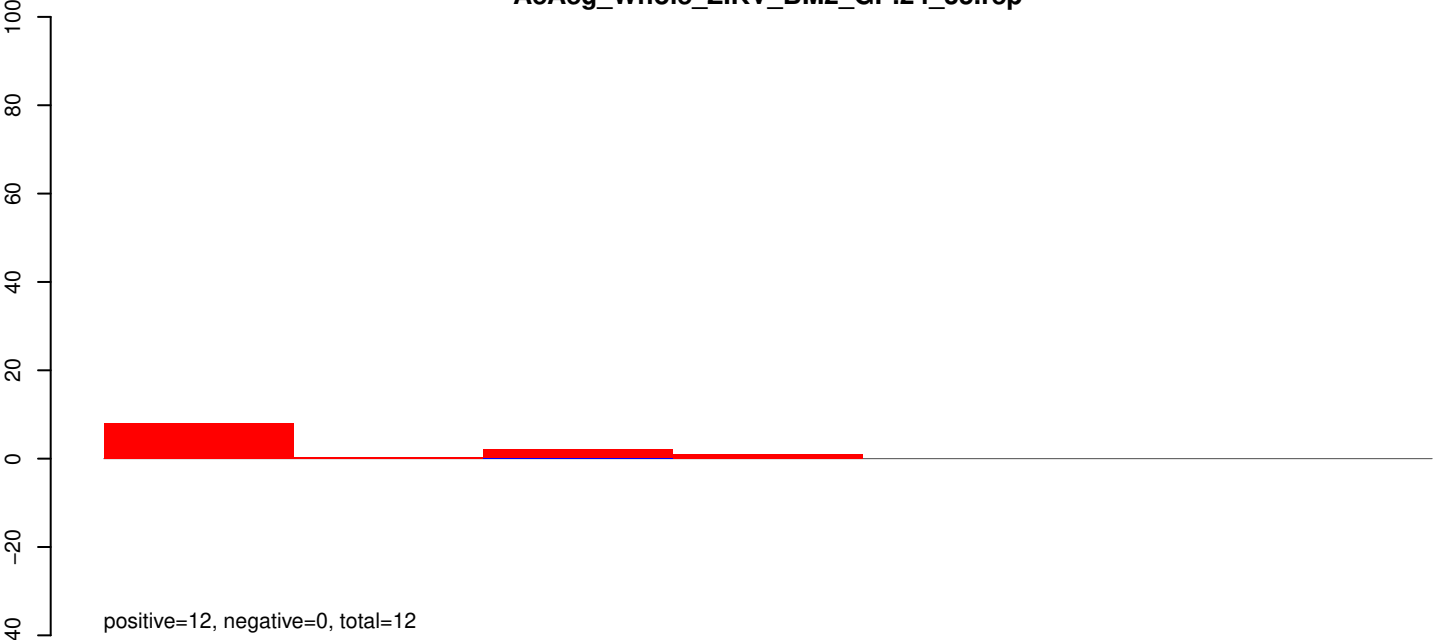


Window size=25, length=200, AAEL028777-RA-rRNA-1-260444138-260444337-1-gene-AAEL028777:1-200

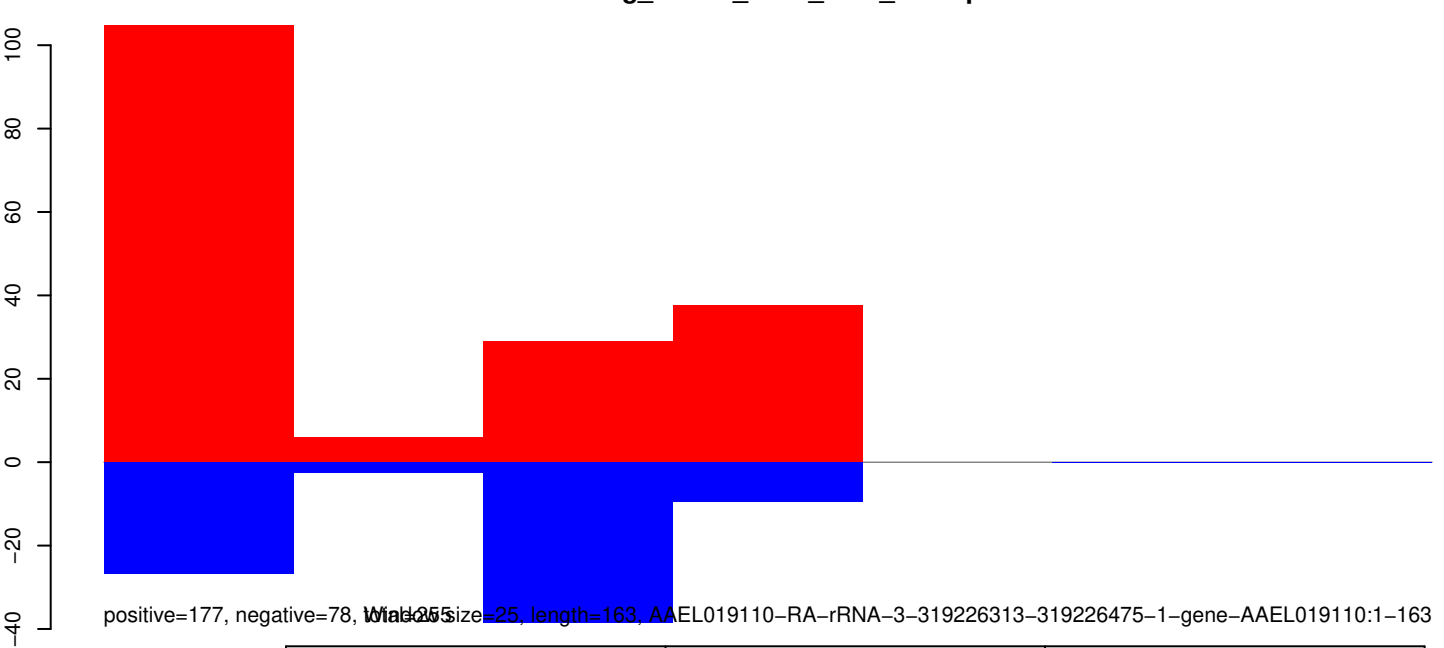
AeAeg_Whole_ZIKV_BM2_GP.18_23.rep



AeAeg_Whole_ZIKV_BM2_GP.24_35.rep

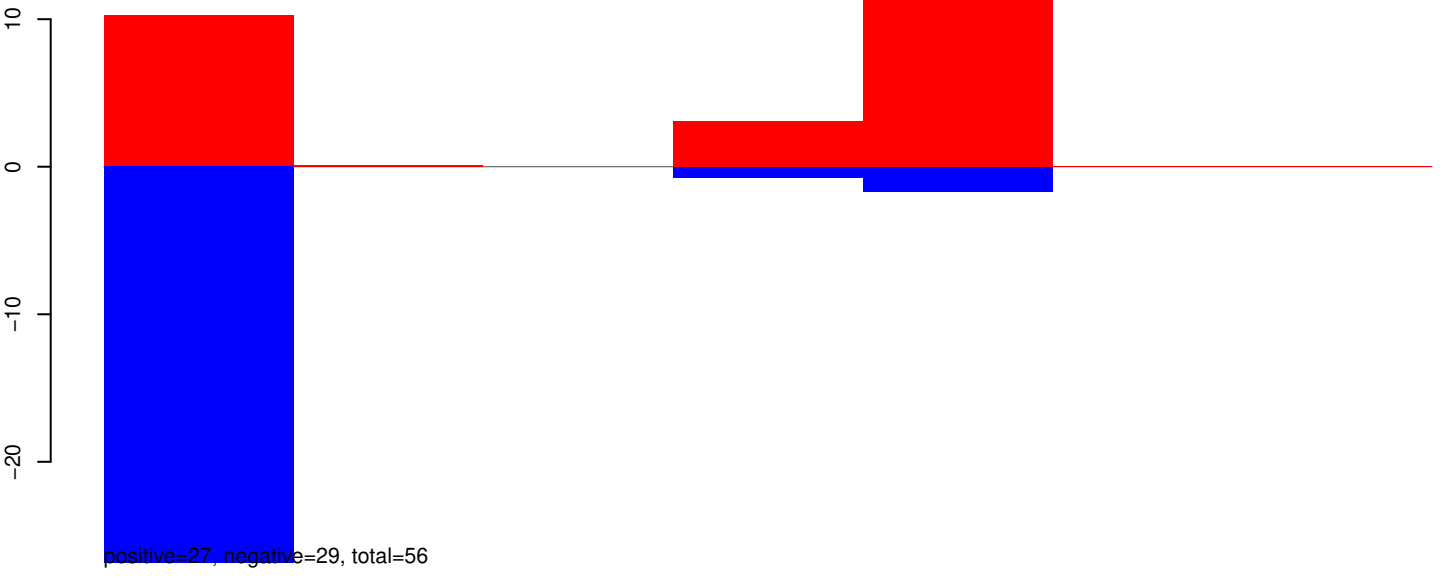


AeAeg_Whole_ZIKV_BM2_GP.rep



AAEL019110-RA-rRNA-3-319226313-319226475-1-gene-AAEL019110:1-163

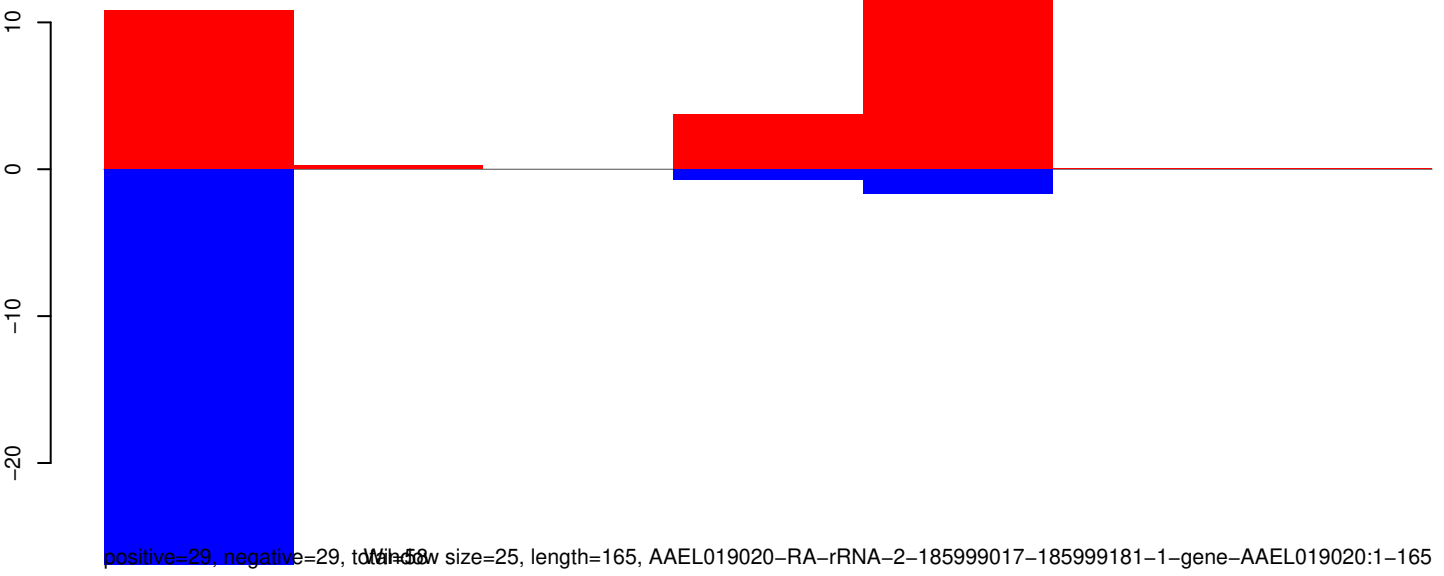
AeAeg_Whole_ZIKV_BM2_GP.18_23.rep



AeAeg_Whole_ZIKV_BM2_GP.24_35.rep

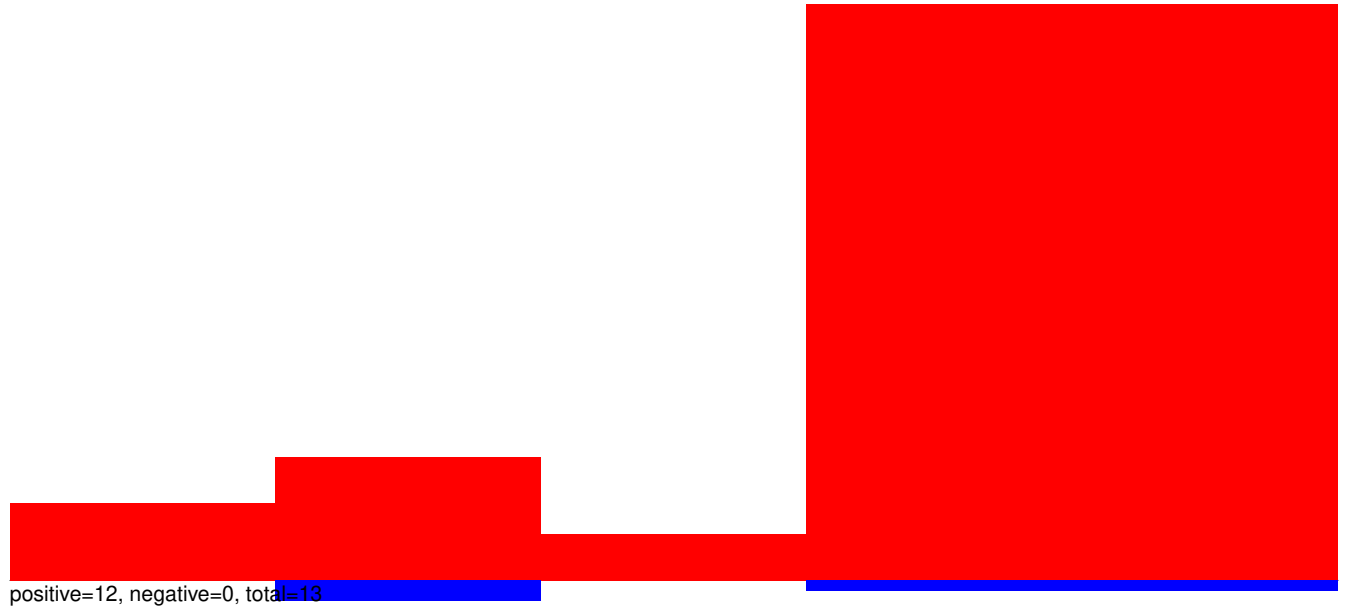


AeAeg_Whole_ZIKV_BM2_GP.rep

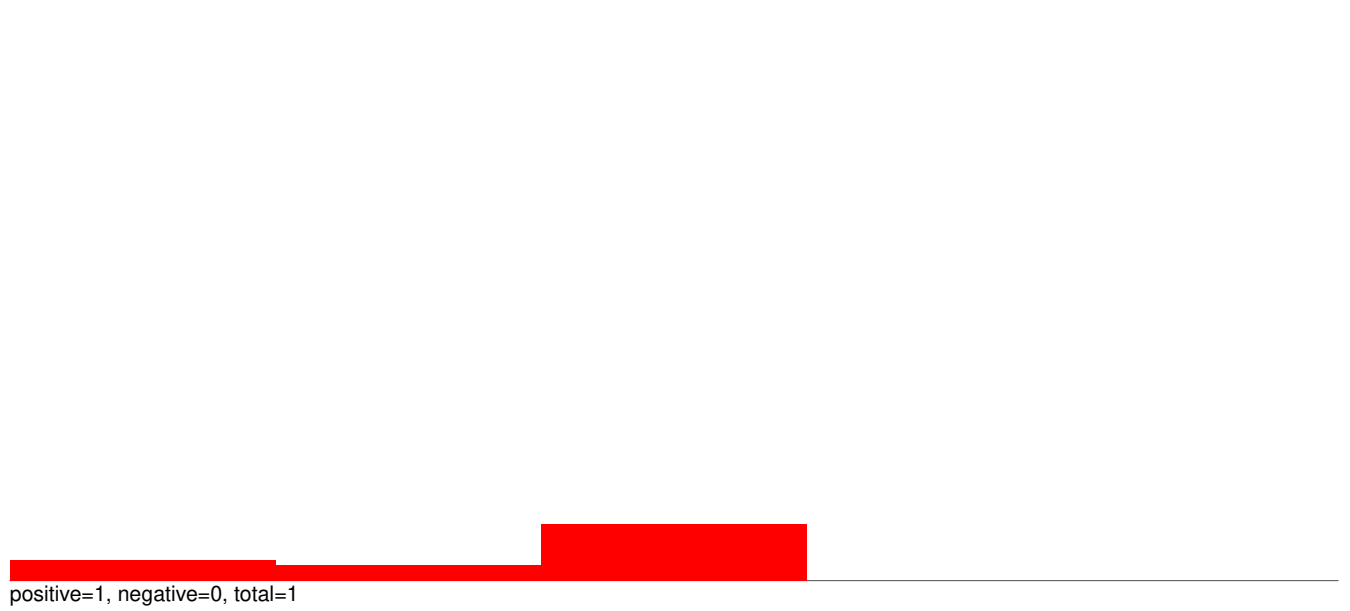


Window size=25, length=165, AAEL019020-RA-rRNA-2-185999017-185999181-1-gene-AAEL019020:1-165

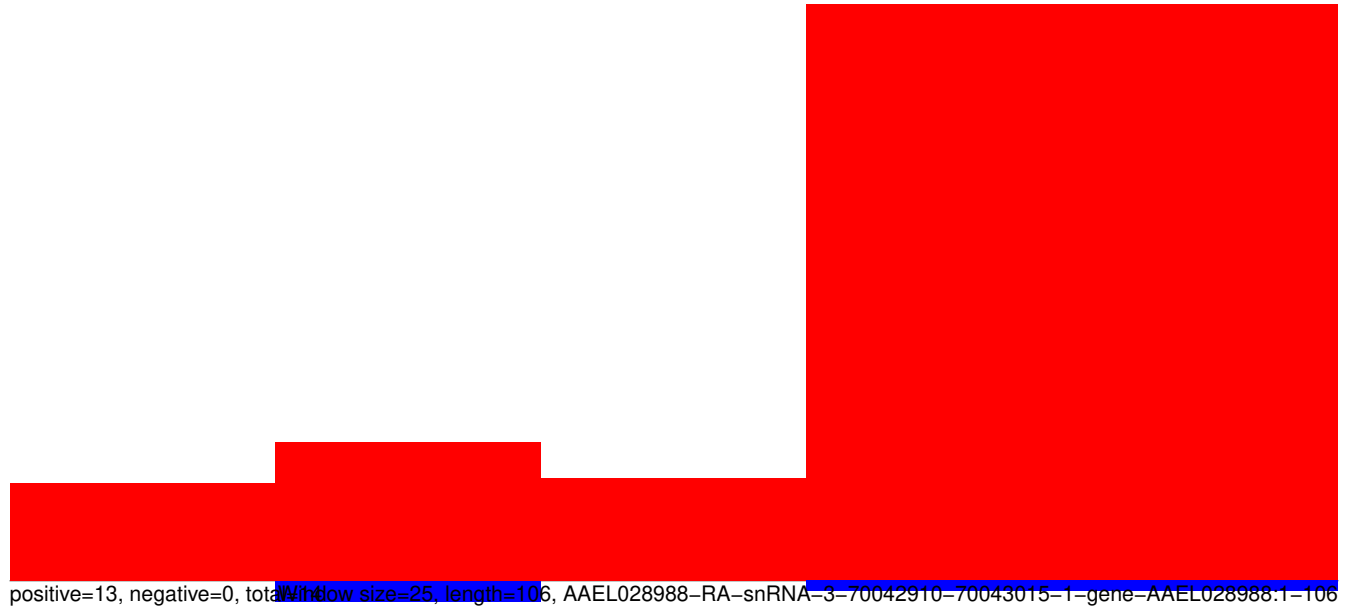
AeAeg_Whole_ZIKV_BM2_GP.18_23.rep



AeAeg_Whole_ZIKV_BM2_GP.24_35.rep

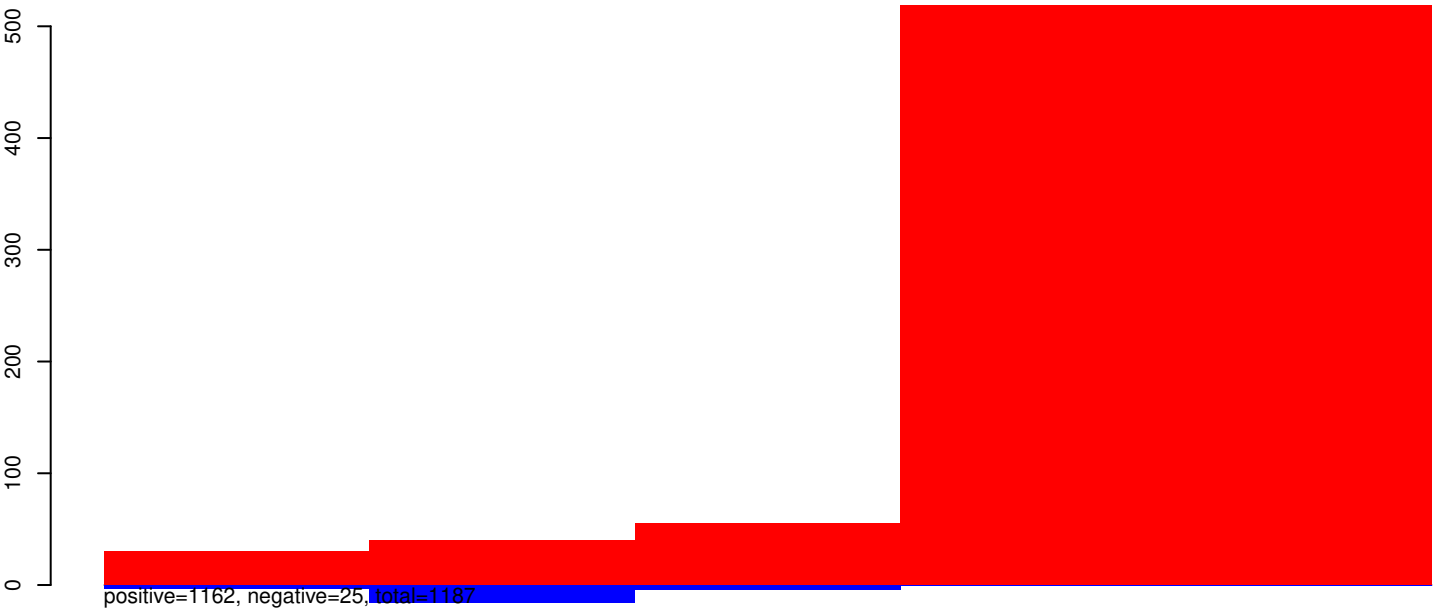


AeAeg_Whole_ZIKV_BM2_GP.rep

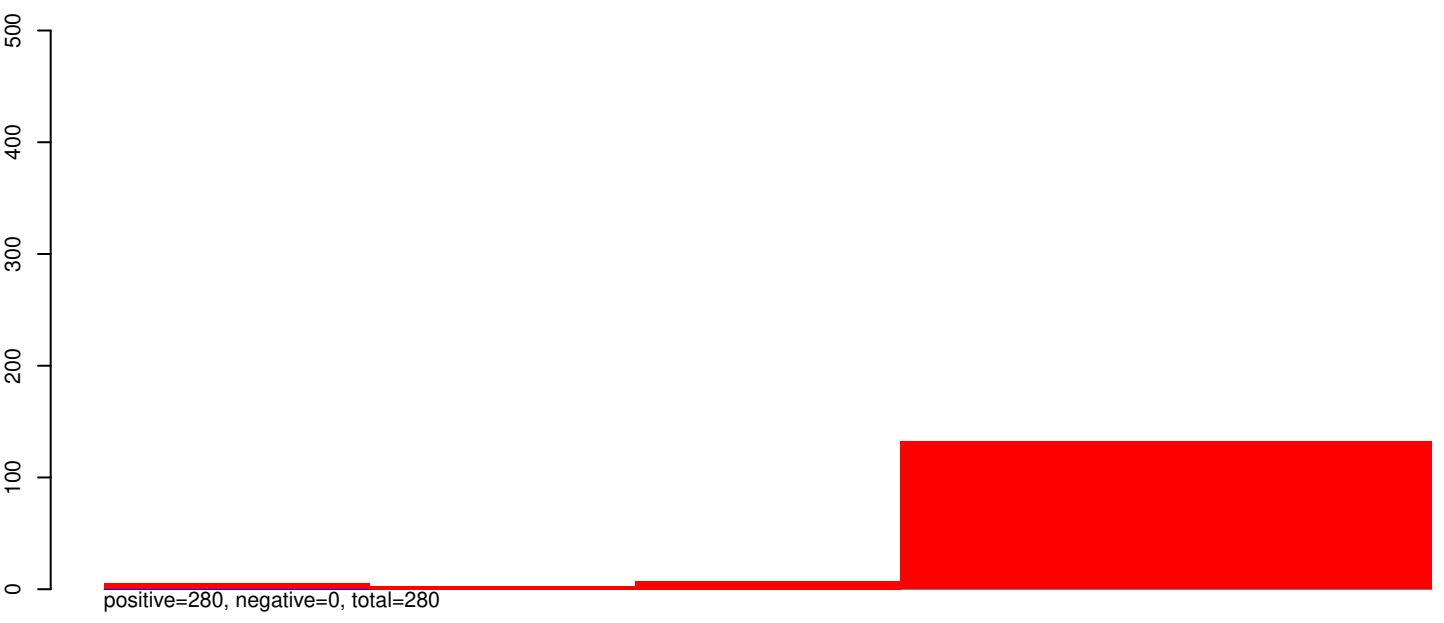


Window size=25, length=16, AAEL028988-RA-snrRNA-3-70042910-70043015-1-gene-AAEL028988.1-106

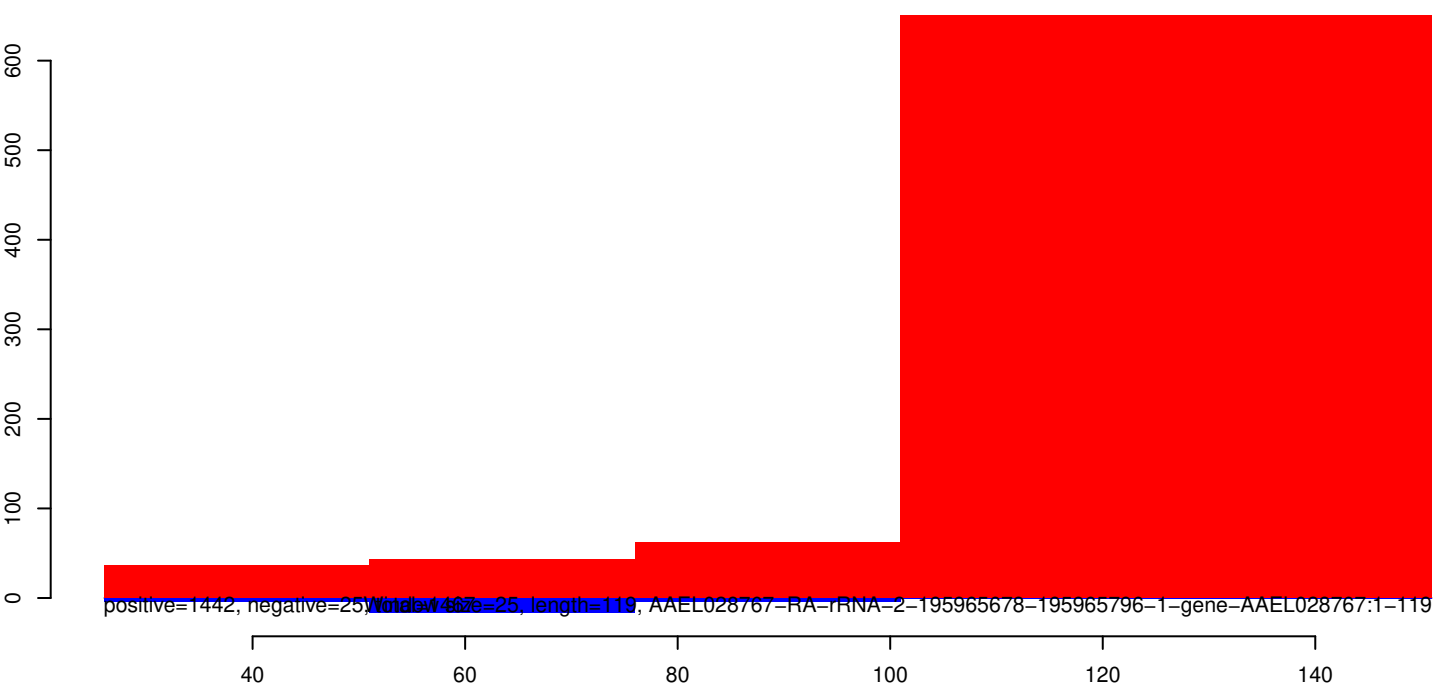
AeAeg_Whole_ZIKV_BM2_GP.18_23.rep



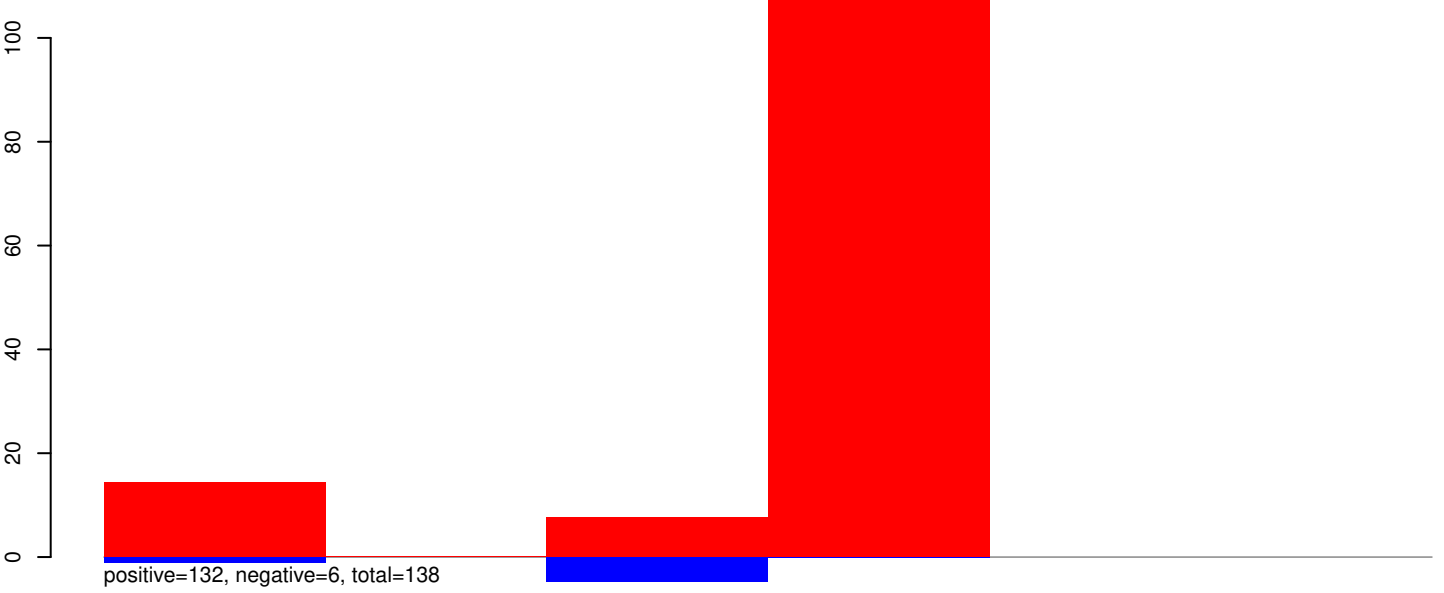
AeAeg_Whole_ZIKV_BM2_GP.24_35.rep



AeAeg_Whole_ZIKV_BM2_GP.rep



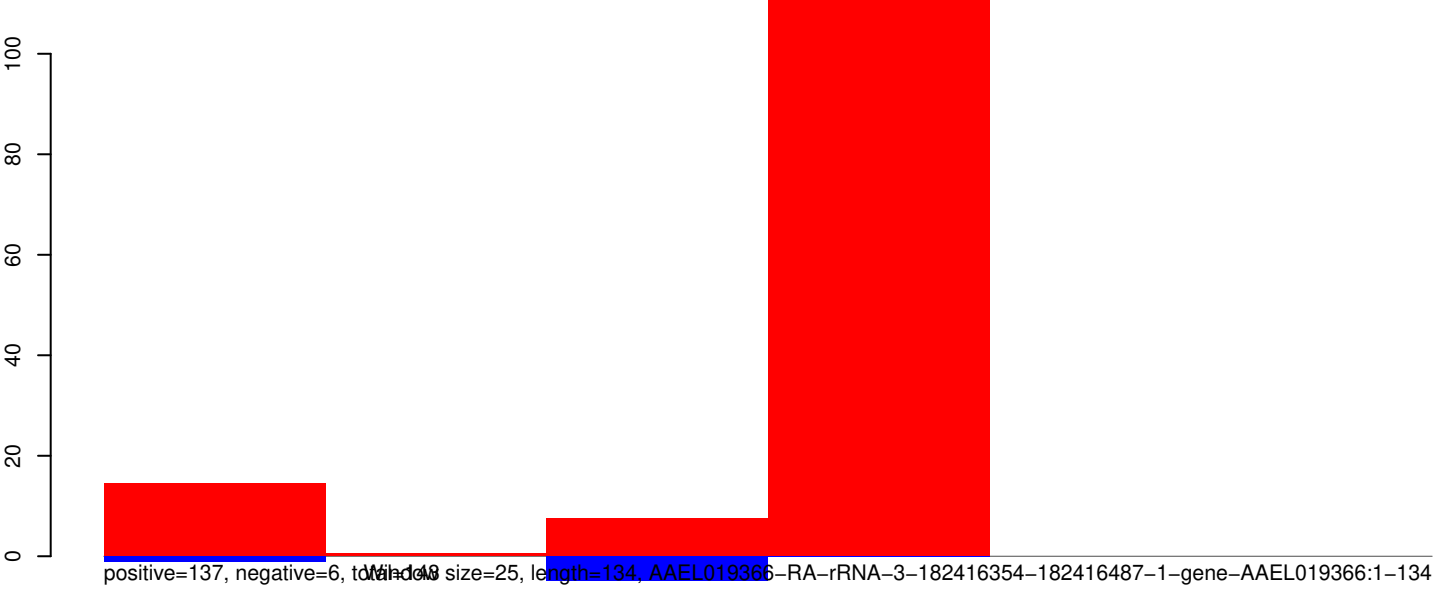
AeAeg_Whole_ZIKV_BM2_GP.18_23.rep



AeAeg_Whole_ZIKV_BM2_GP.24_35.rep



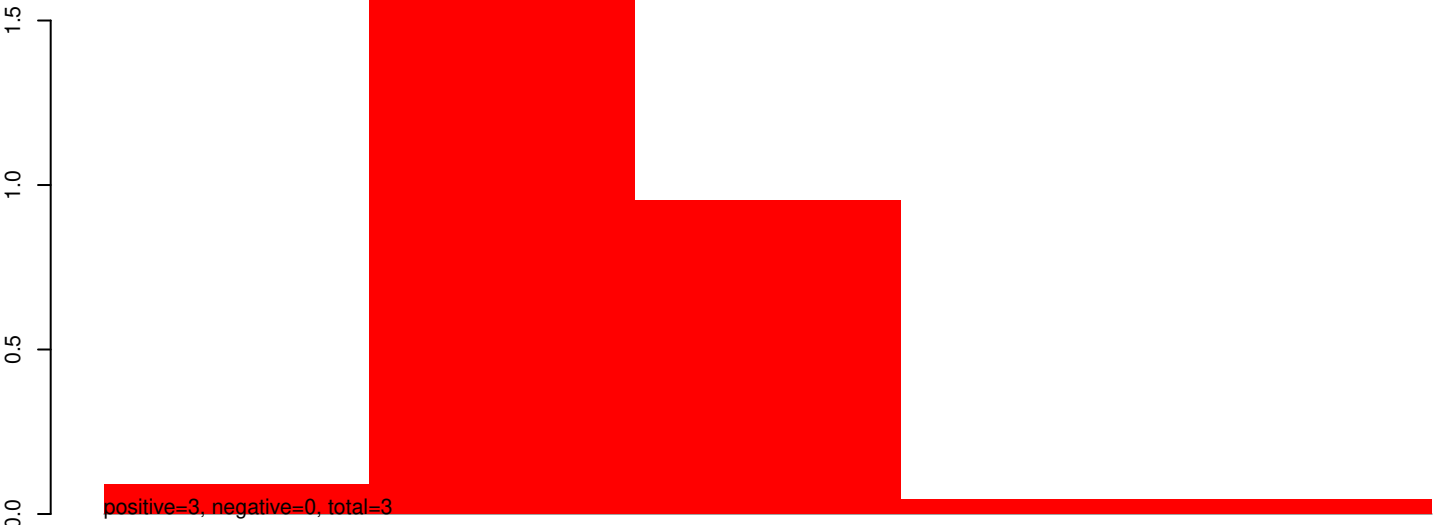
AeAeg_Whole_ZIKV_BM2_GP.rep



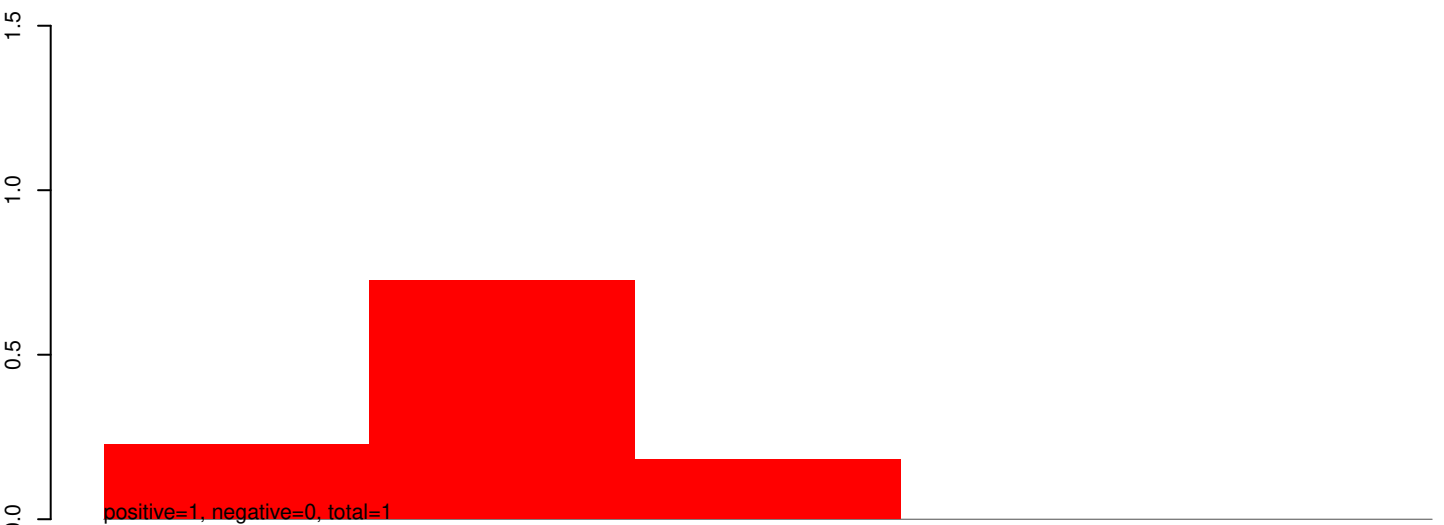
Window size=25, length=134, AAEL019366-RA-rRNA-3-182416354-182416487-1-gene-AAEL019366:1-134

50 100 150

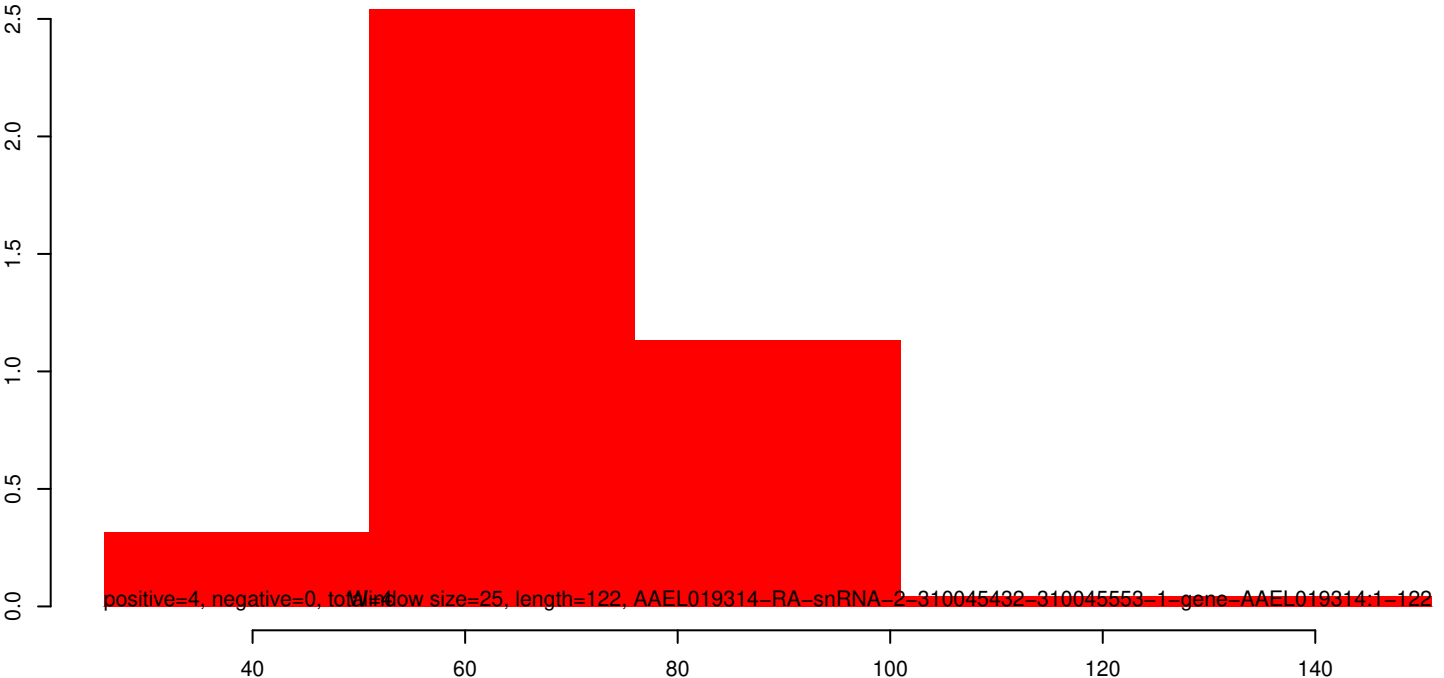
AeAeg_Whole_ZIKV_BM2_GP.18_23.rep



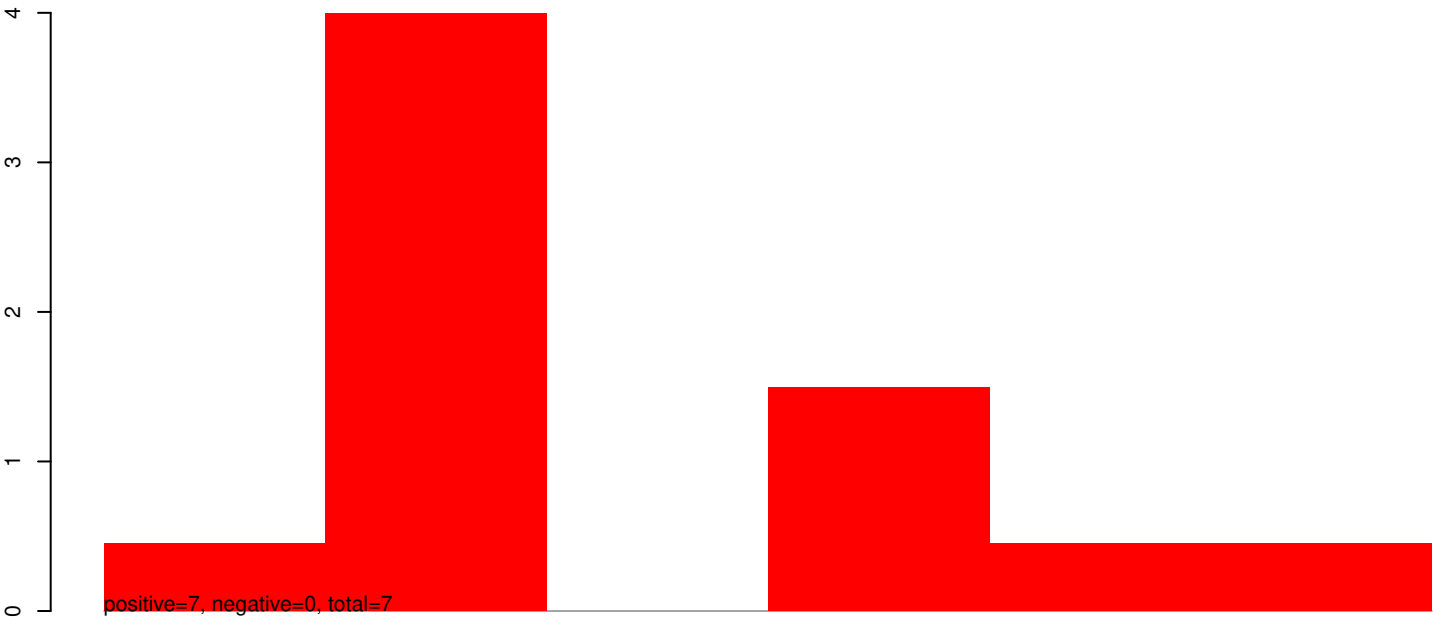
AeAeg_Whole_ZIKV_BM2_GP.24_35.rep



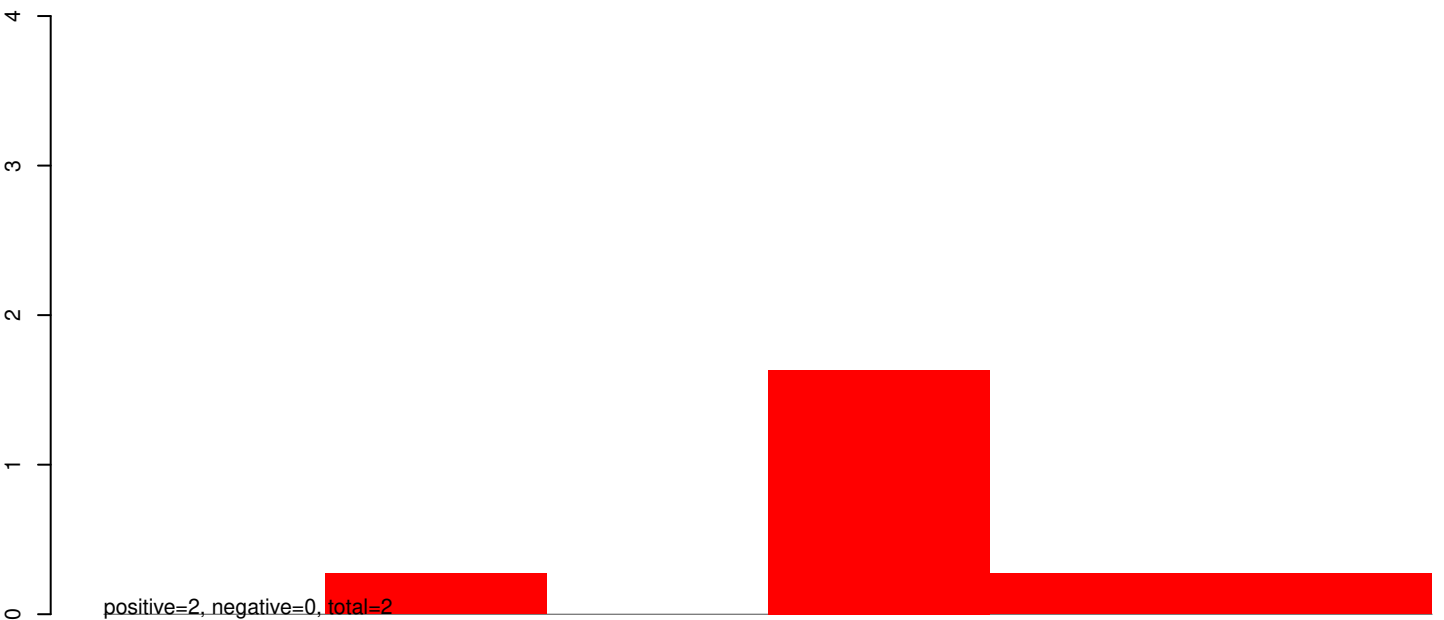
AeAeg_Whole_ZIKV_BM2_GP.rep



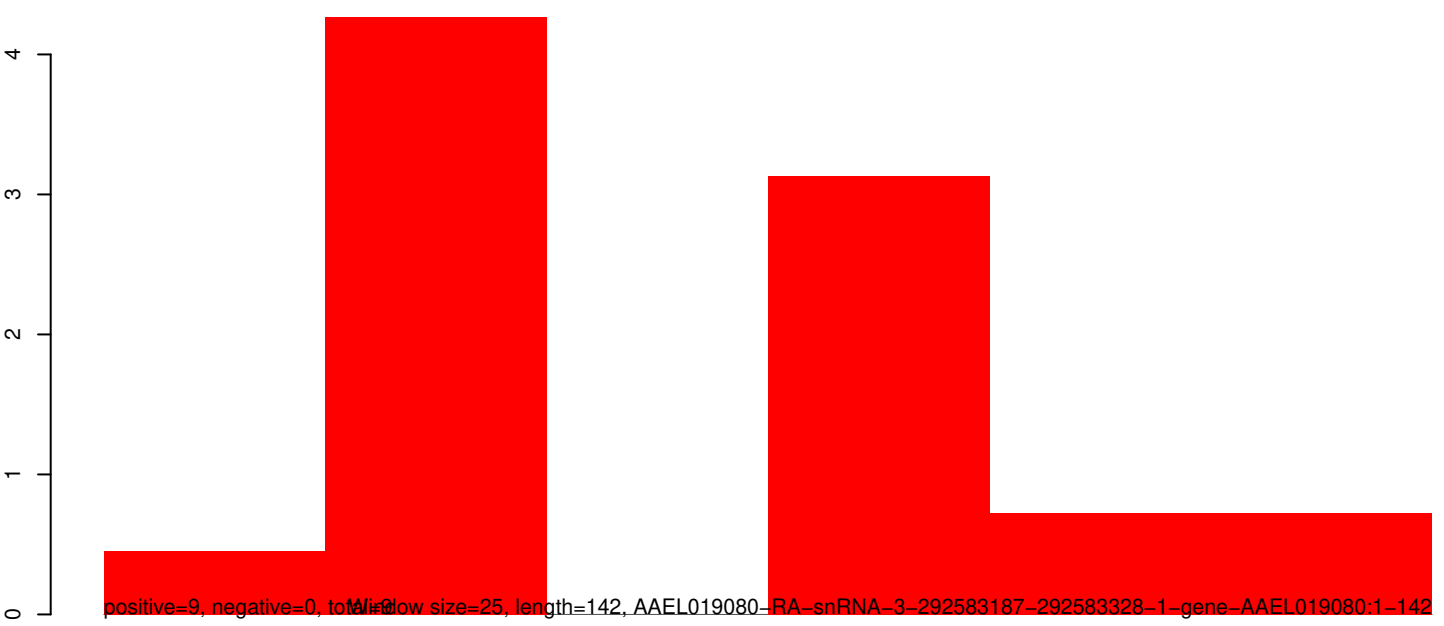
AeAeg_Whole_ZIKV_BM2_GP.18_23.rep



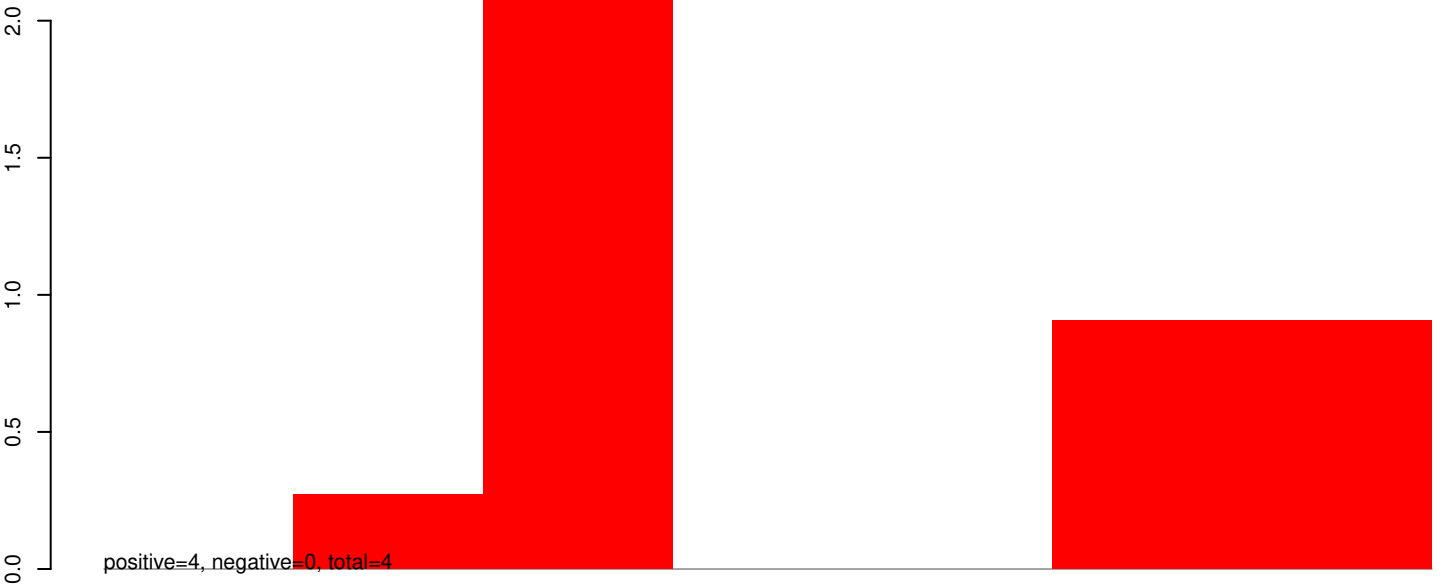
AeAeg_Whole_ZIKV_BM2_GP.24_35.rep



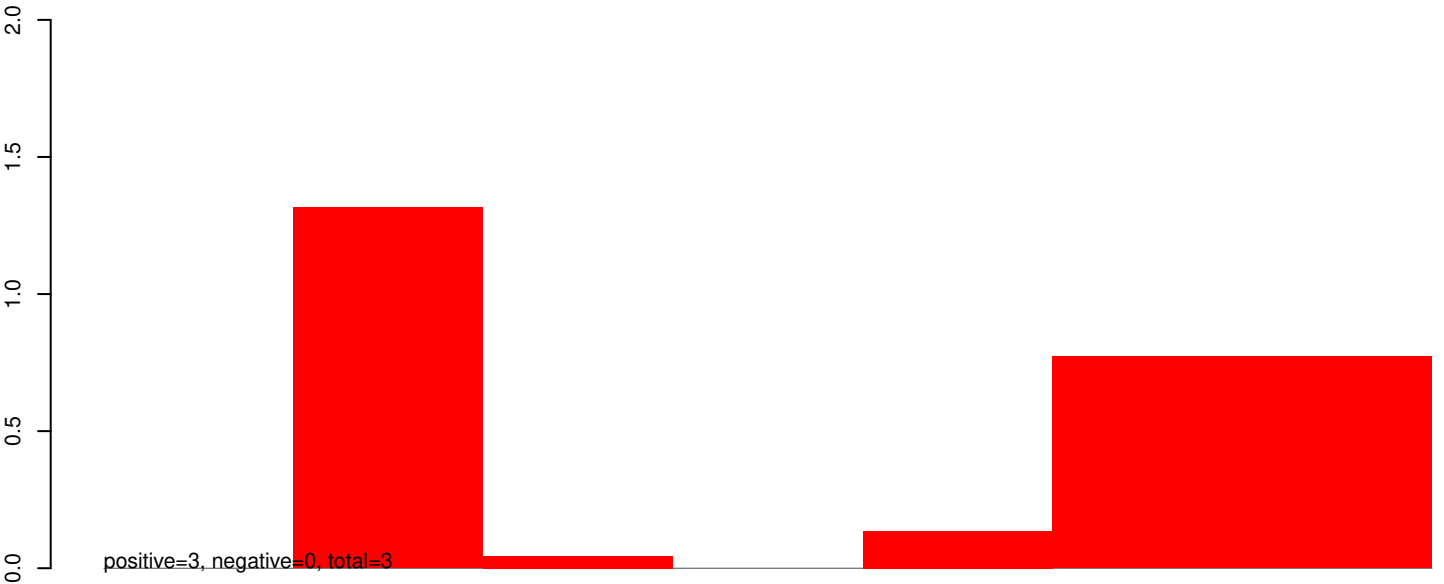
AeAeg_Whole_ZIKV_BM2_GP.rep



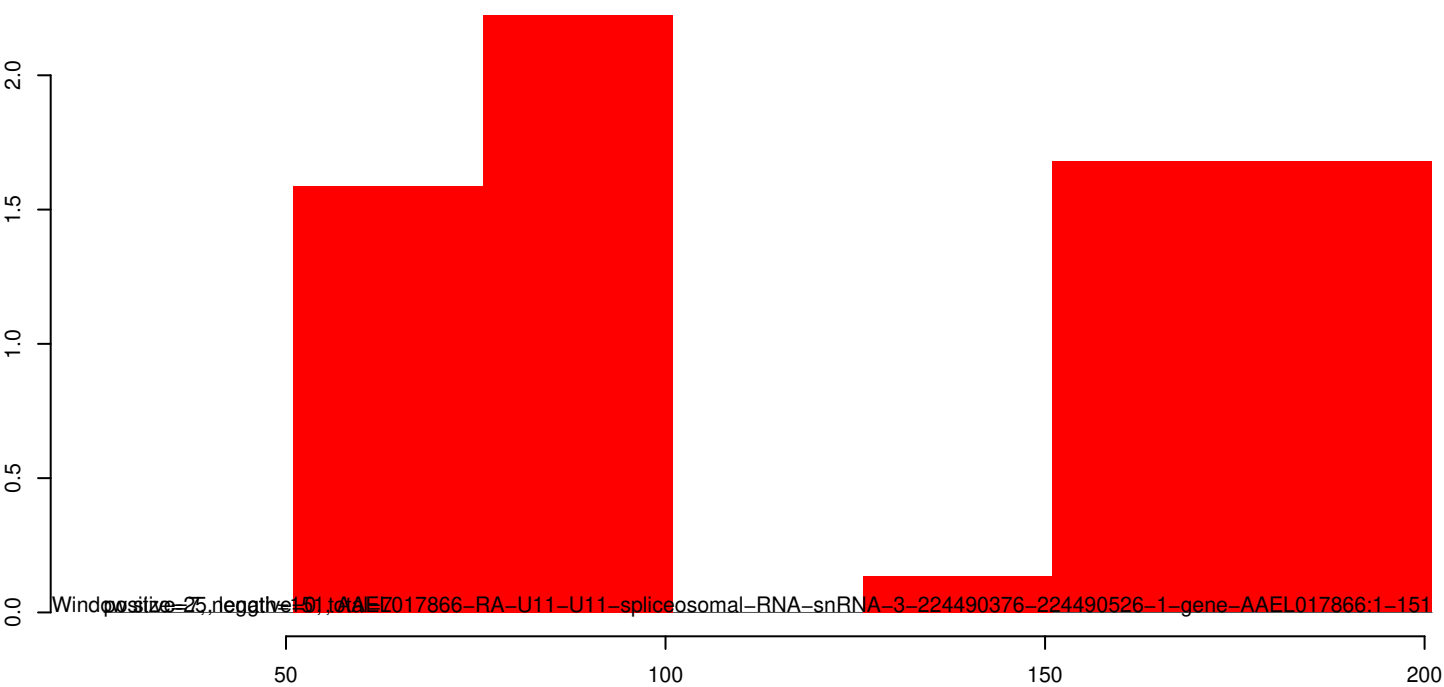
AeAeg_Whole_ZIKV_BM2_GP.18_23.rep



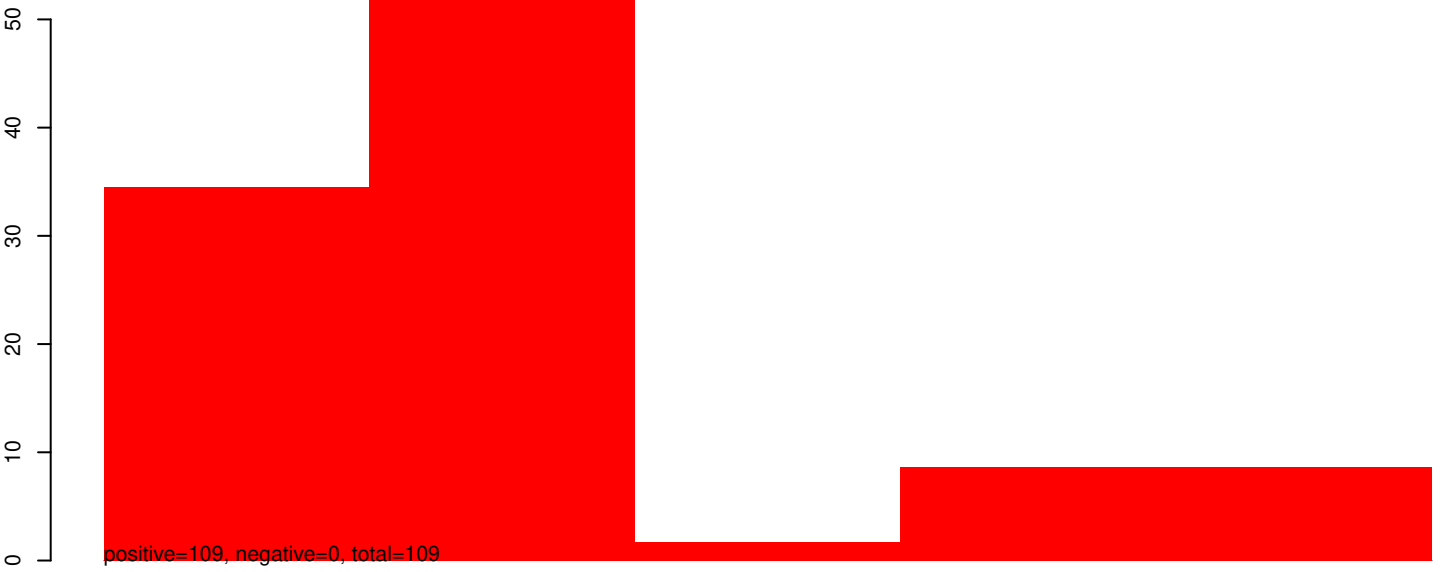
AeAeg_Whole_ZIKV_BM2_GP.24_35.rep



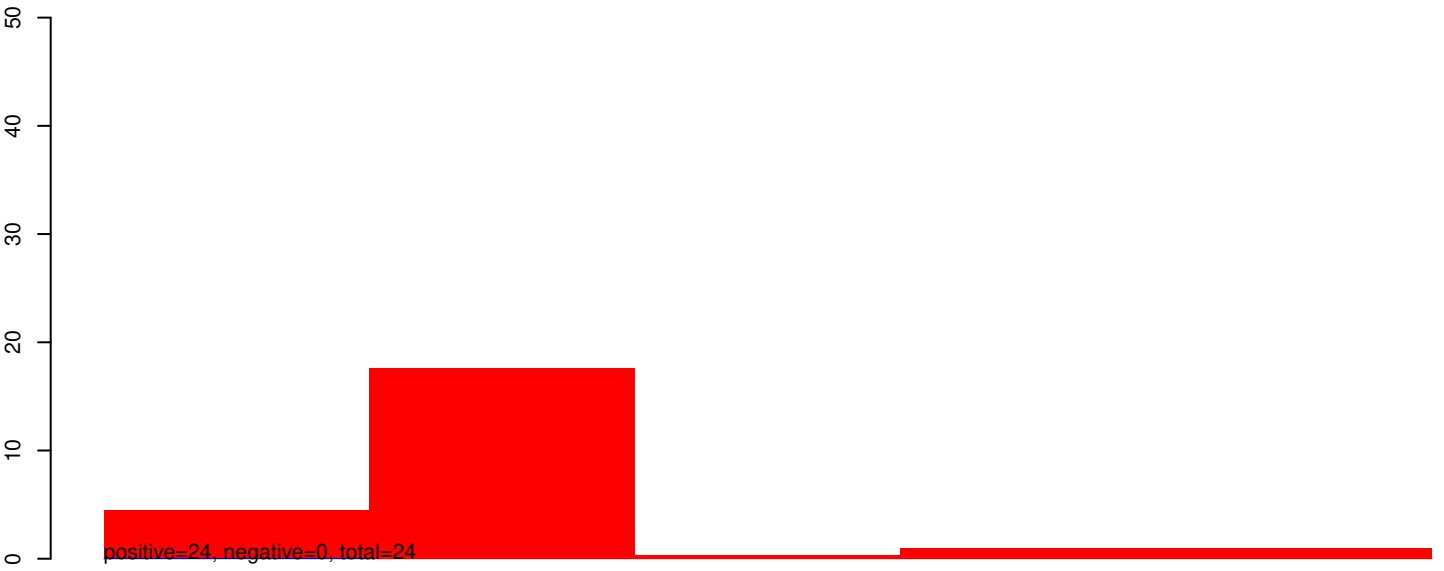
AeAeg_Whole_ZIKV_BM2_GP.rep



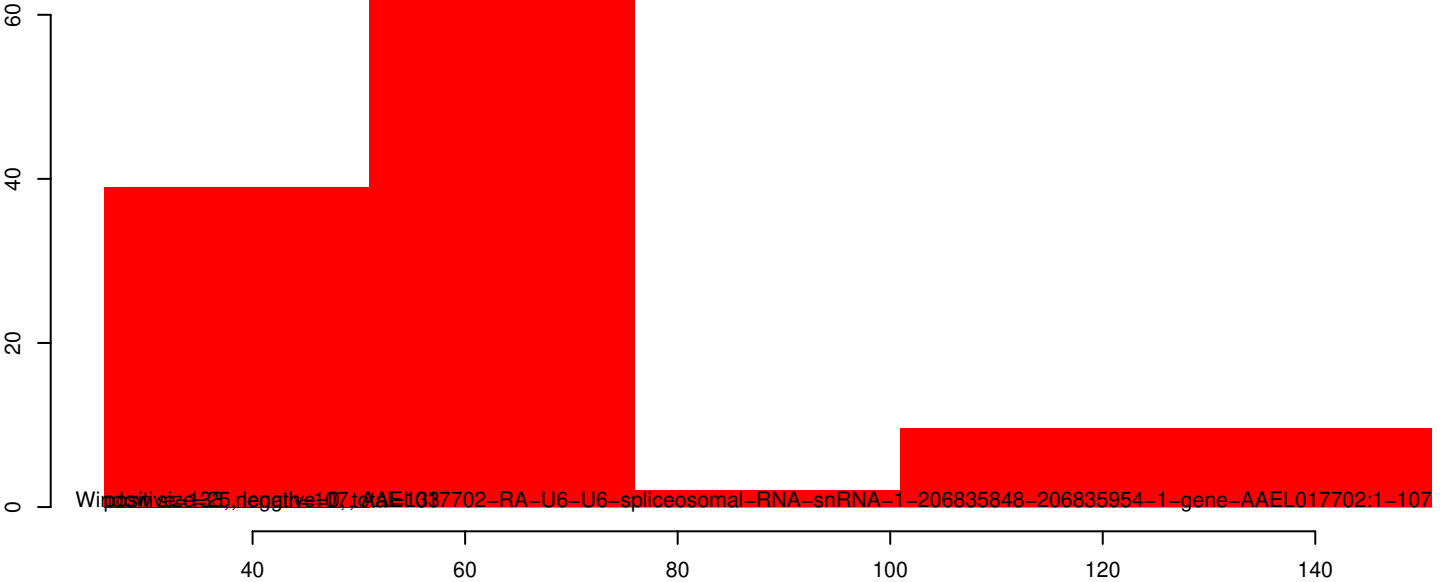
AeAeg_Whole_ZIKV_BM2_GP.18_23.rep



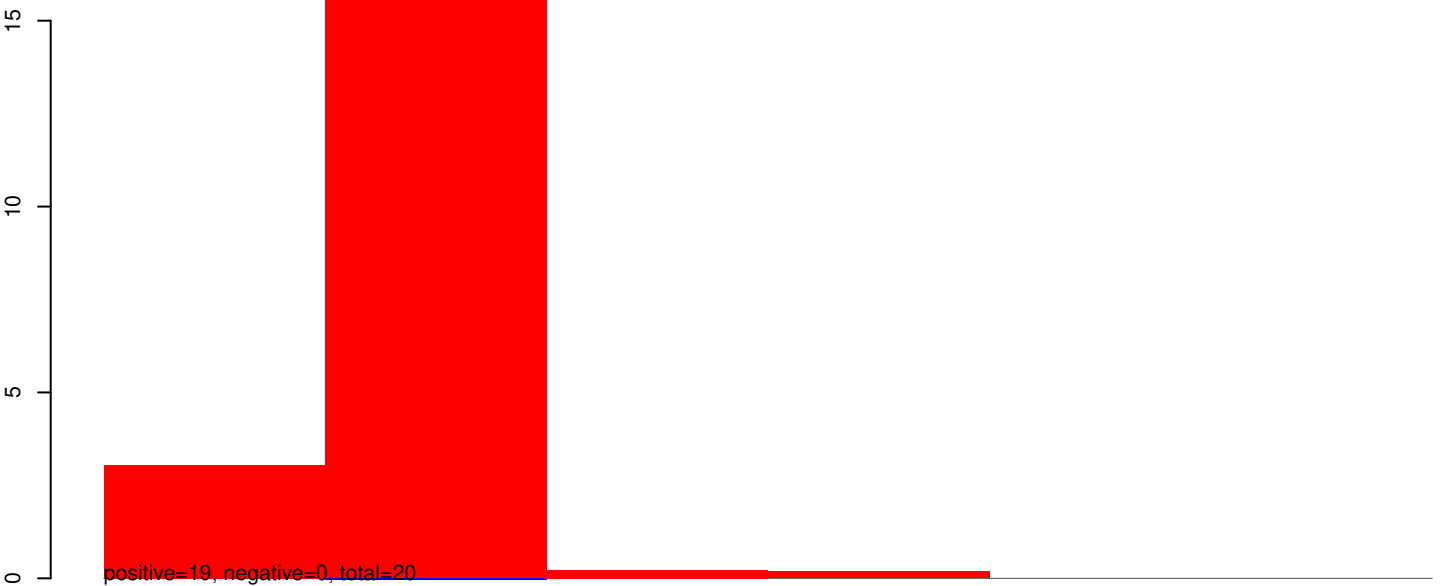
AeAeg_Whole_ZIKV_BM2_GP.24_35.rep



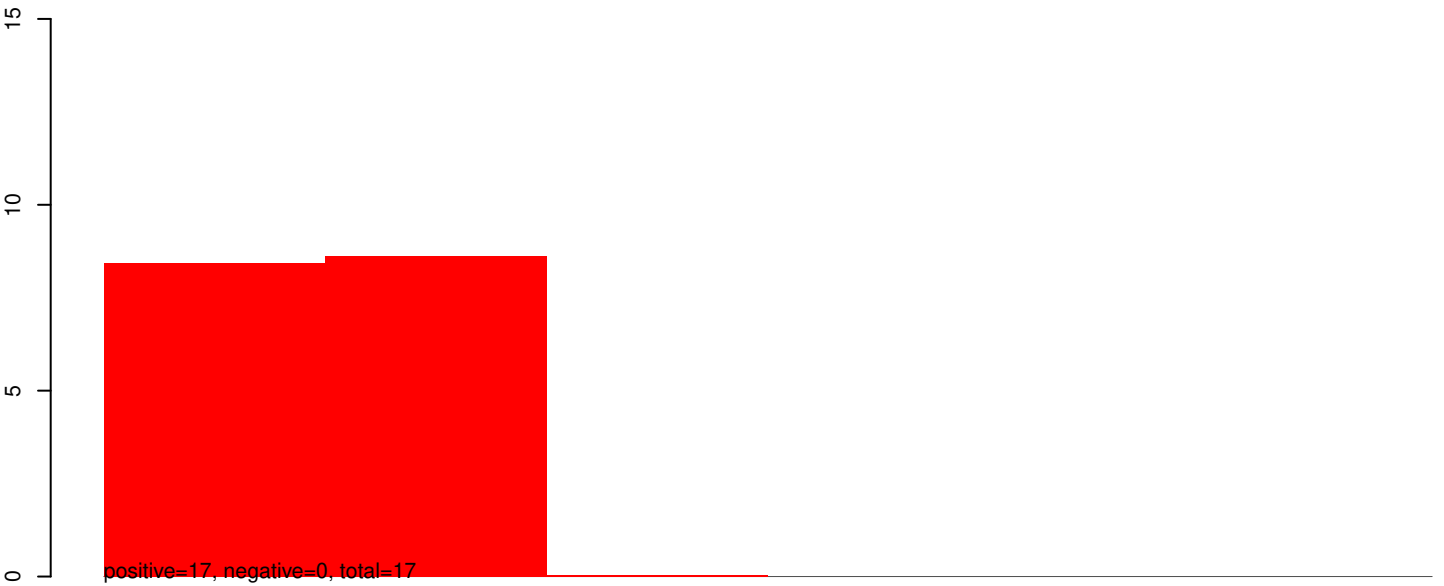
AeAeg_Whole_ZIKV_BM2_GP.rep



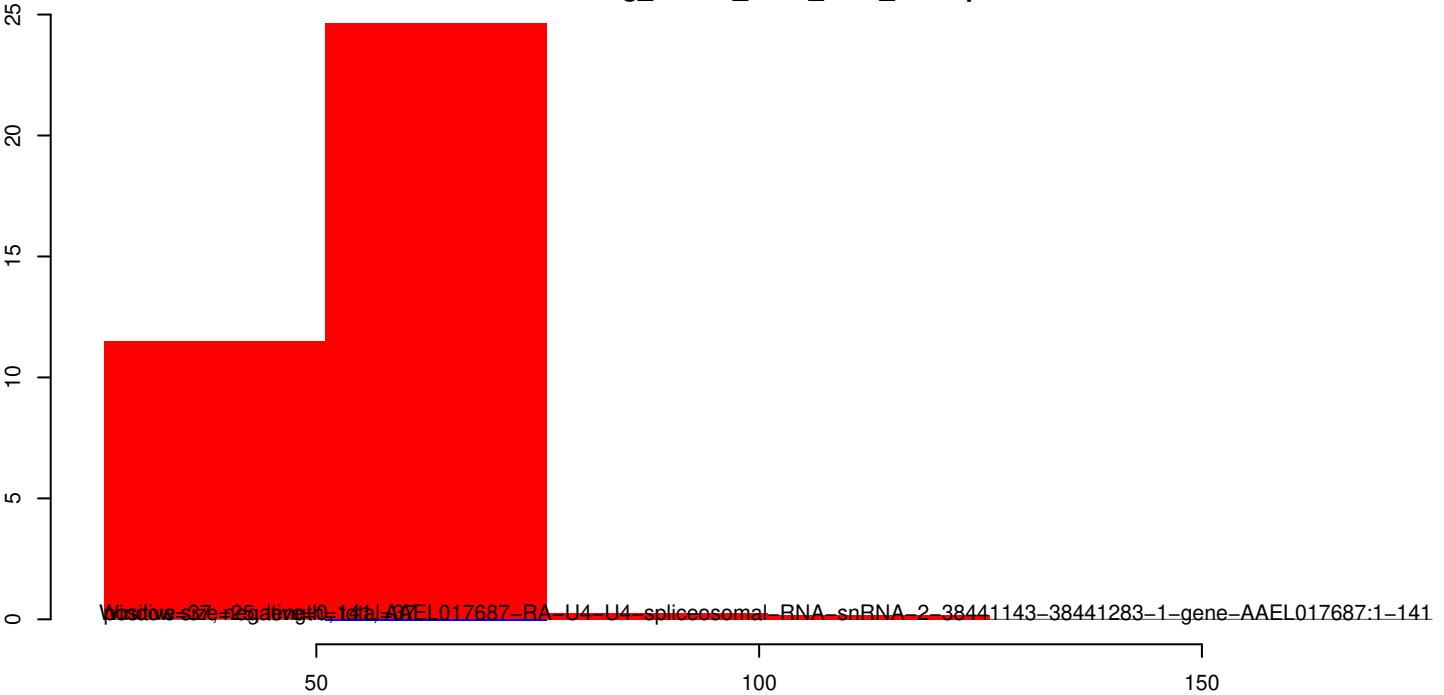
AeAeg_Whole_ZIKV_BM2_GP.18_23.rep



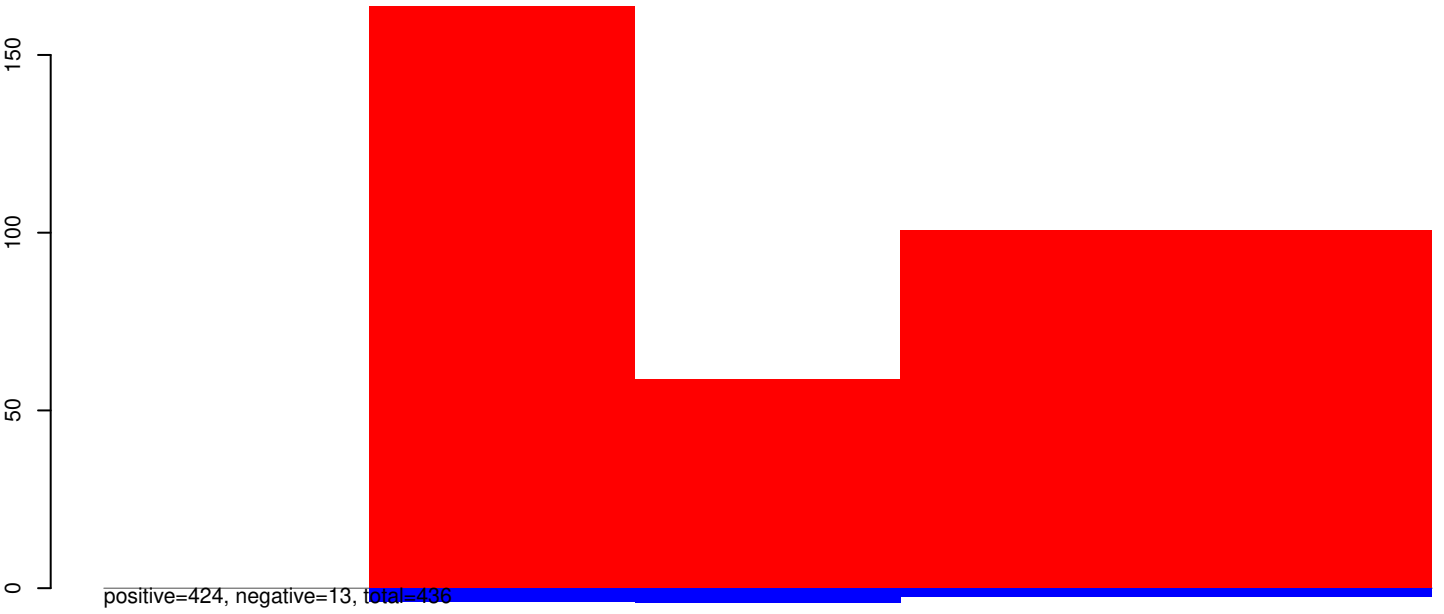
AeAeg_Whole_ZIKV_BM2_GP.24_35.rep



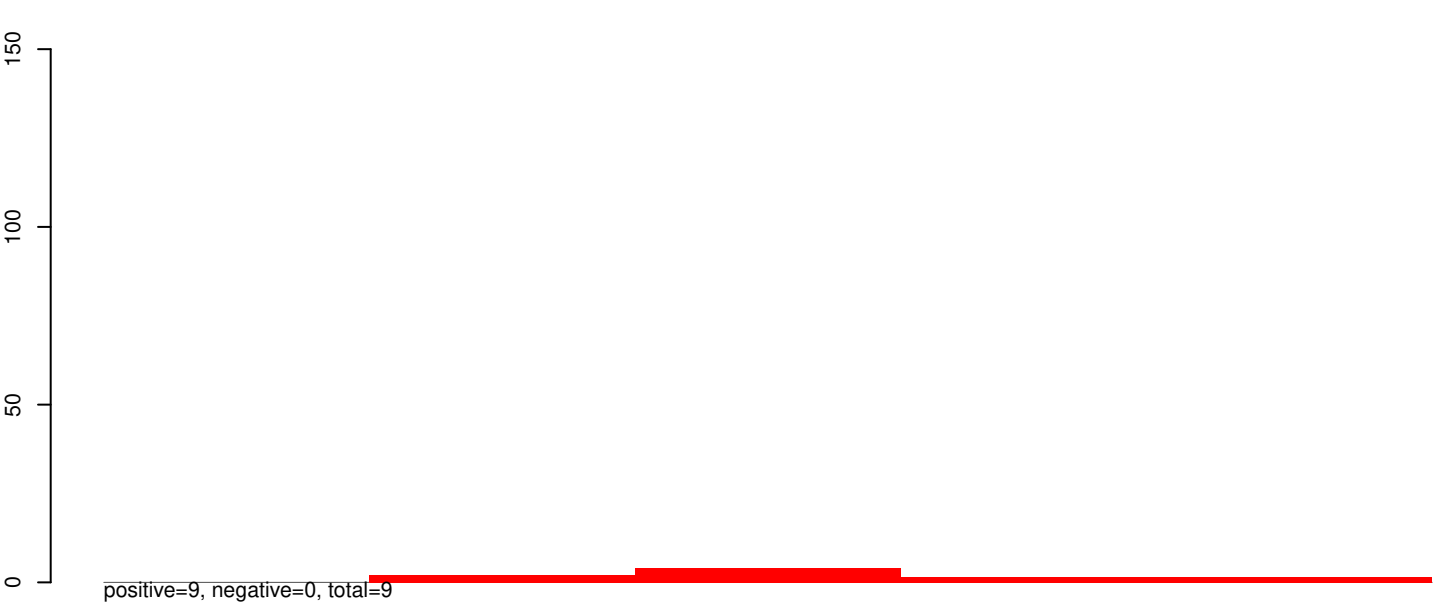
AeAeg_Whole_ZIKV_BM2_GP.rep



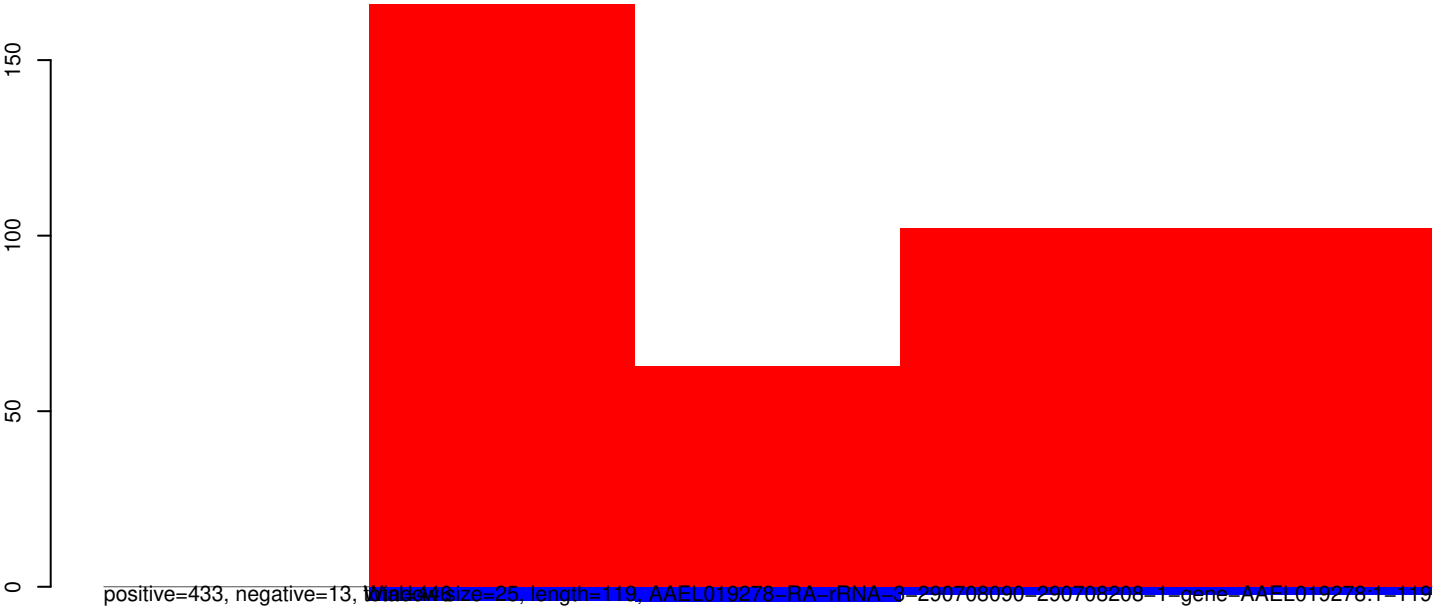
AeAeg_Whole_ZIKV_BM2_GP.18_23.rep



AeAeg_Whole_ZIKV_BM2_GP.24_35.rep

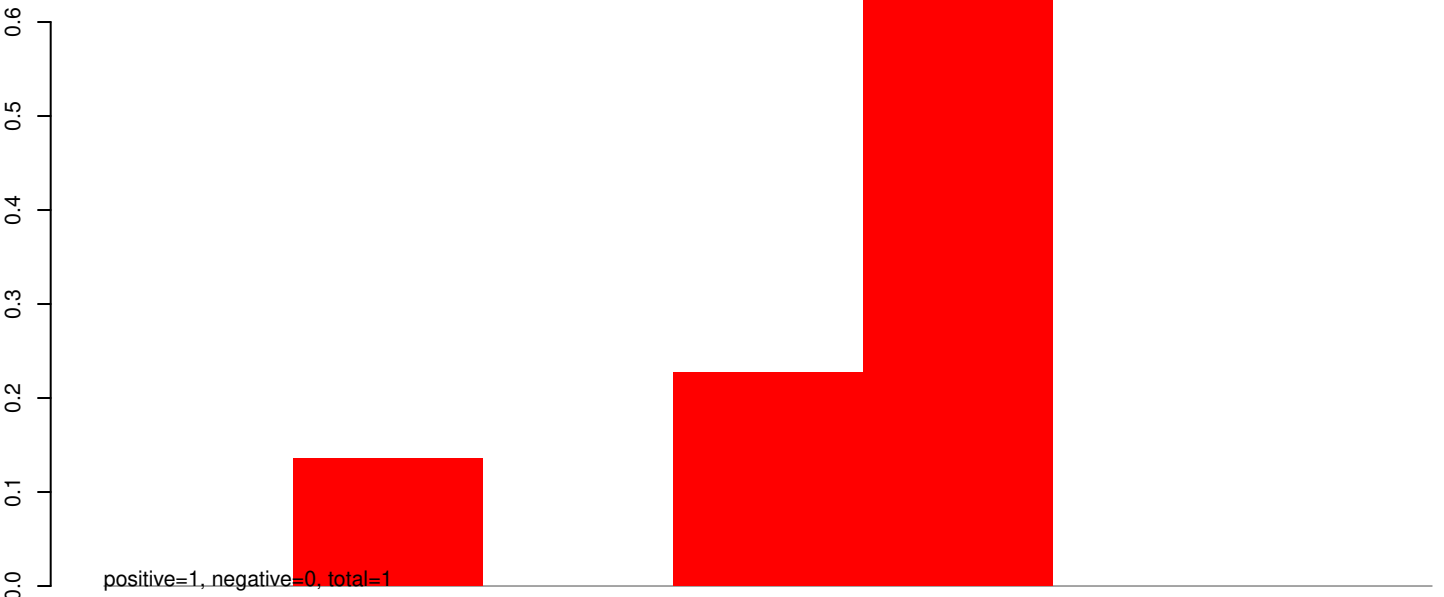


AeAeg_Whole_ZIKV_BM2_GP.rep

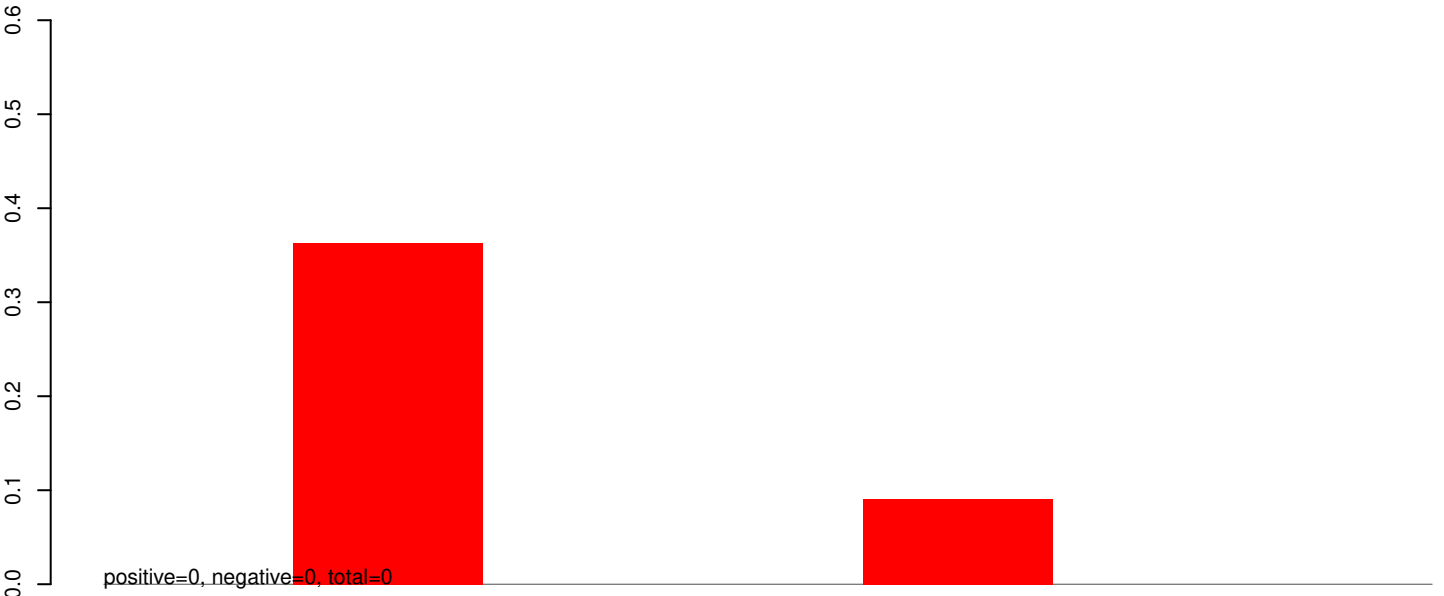


40 60 80 100 120 140

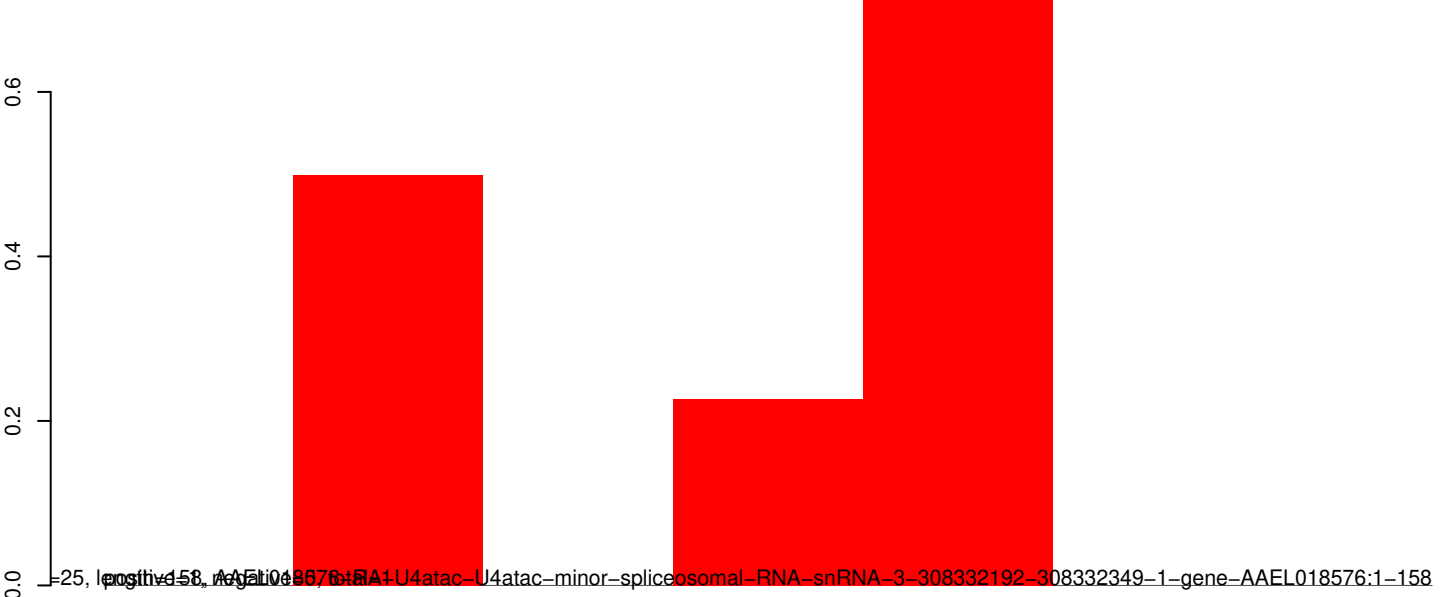
AeAeg_Whole_ZIKV_BM2_GP.18_23.rep



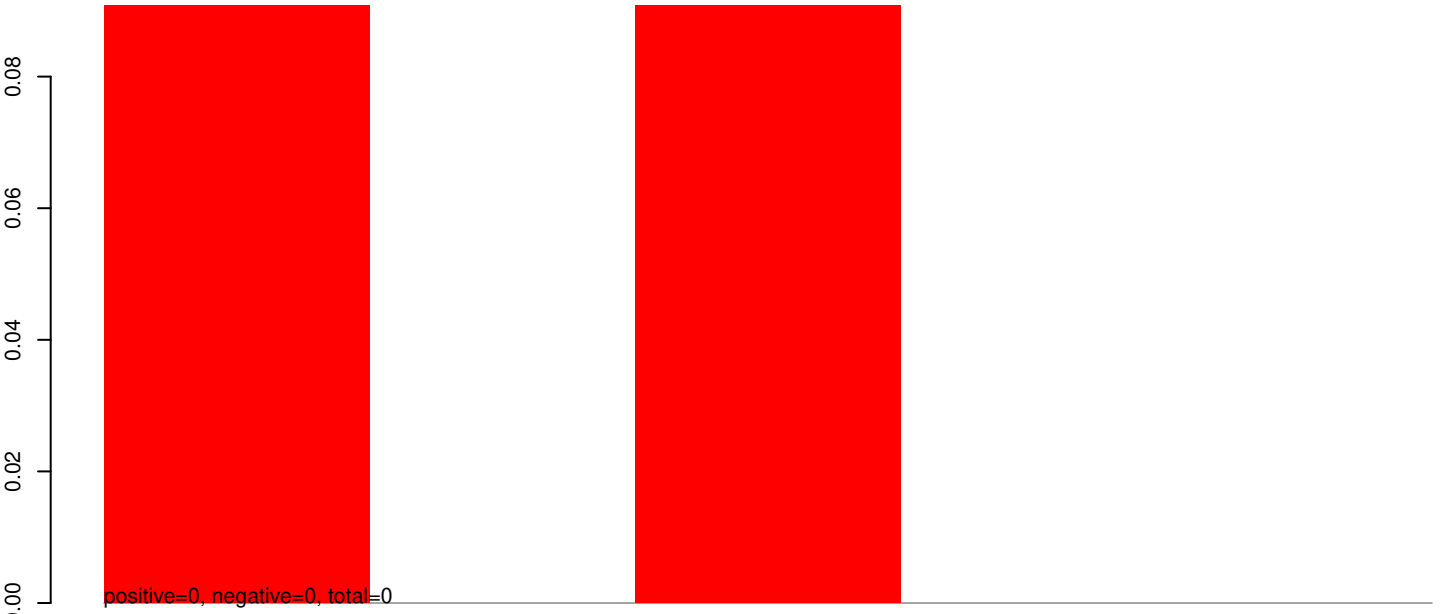
AeAeg_Whole_ZIKV_BM2_GP.24_35.rep



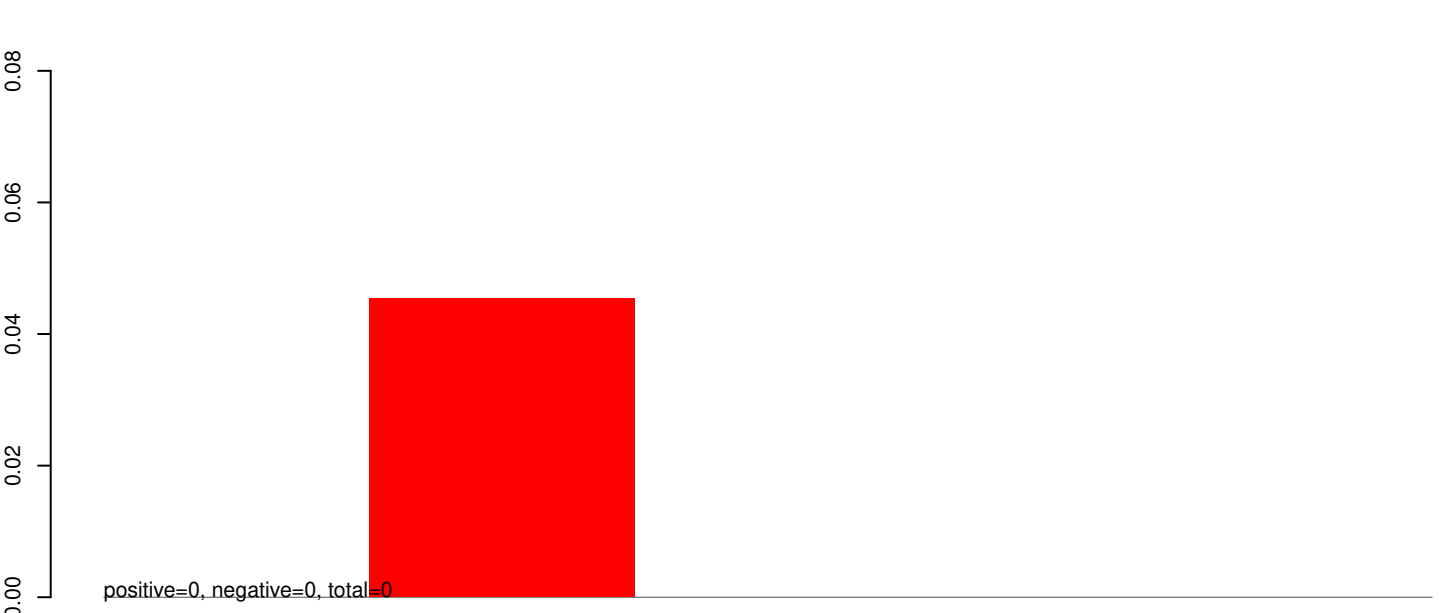
AeAeg_Whole_ZIKV_BM2_GP.rep



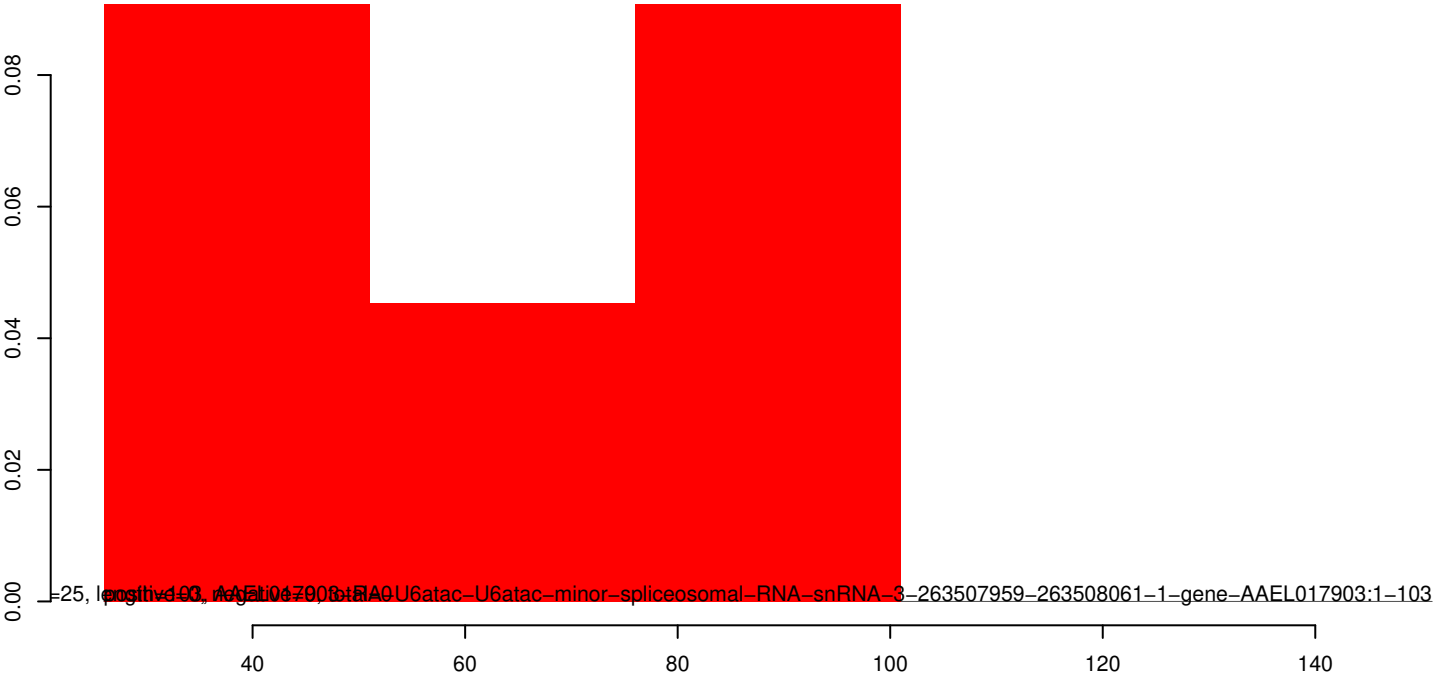
AeAeg_Whole_ZIKV_BM2_GP.18_23.rep



AeAeg_Whole_ZIKV_BM2_GP.24_35.rep



AeAeg_Whole_ZIKV_BM2_GP.rep

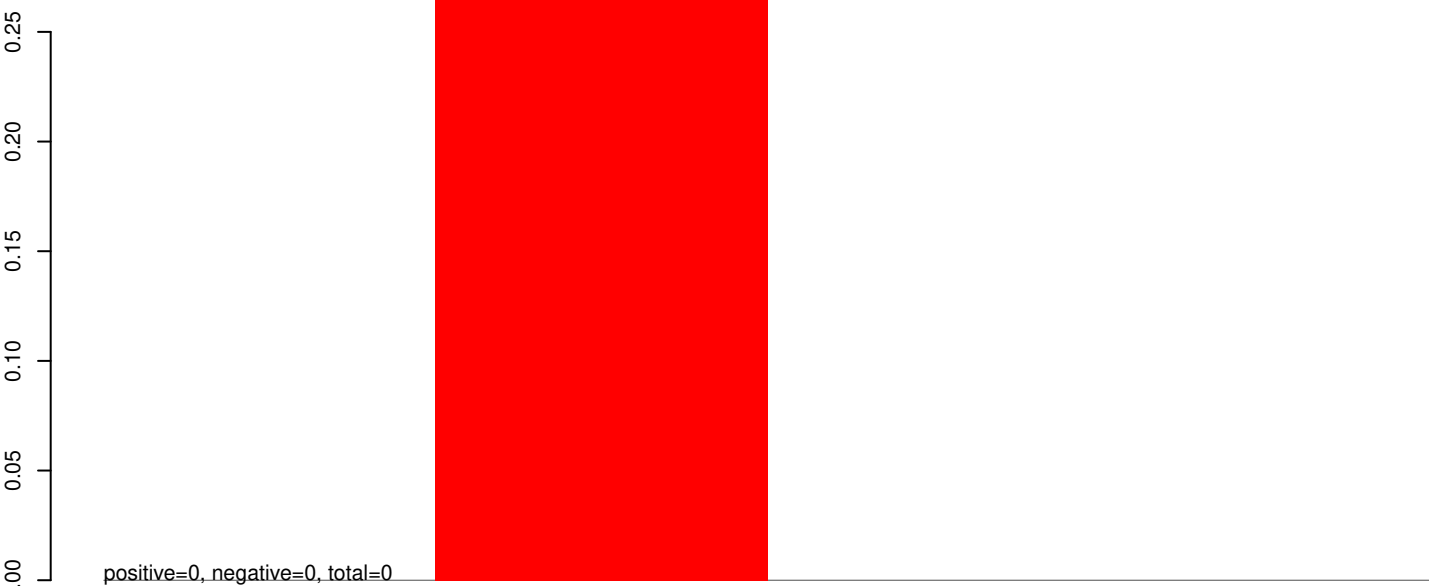


-25, length=93, type=047906:RNA-U6atac-U6atac-minor-spliceosomal-RNA-snRNA-3-263507959-263508061-1-gene-AAEL017903:1-103

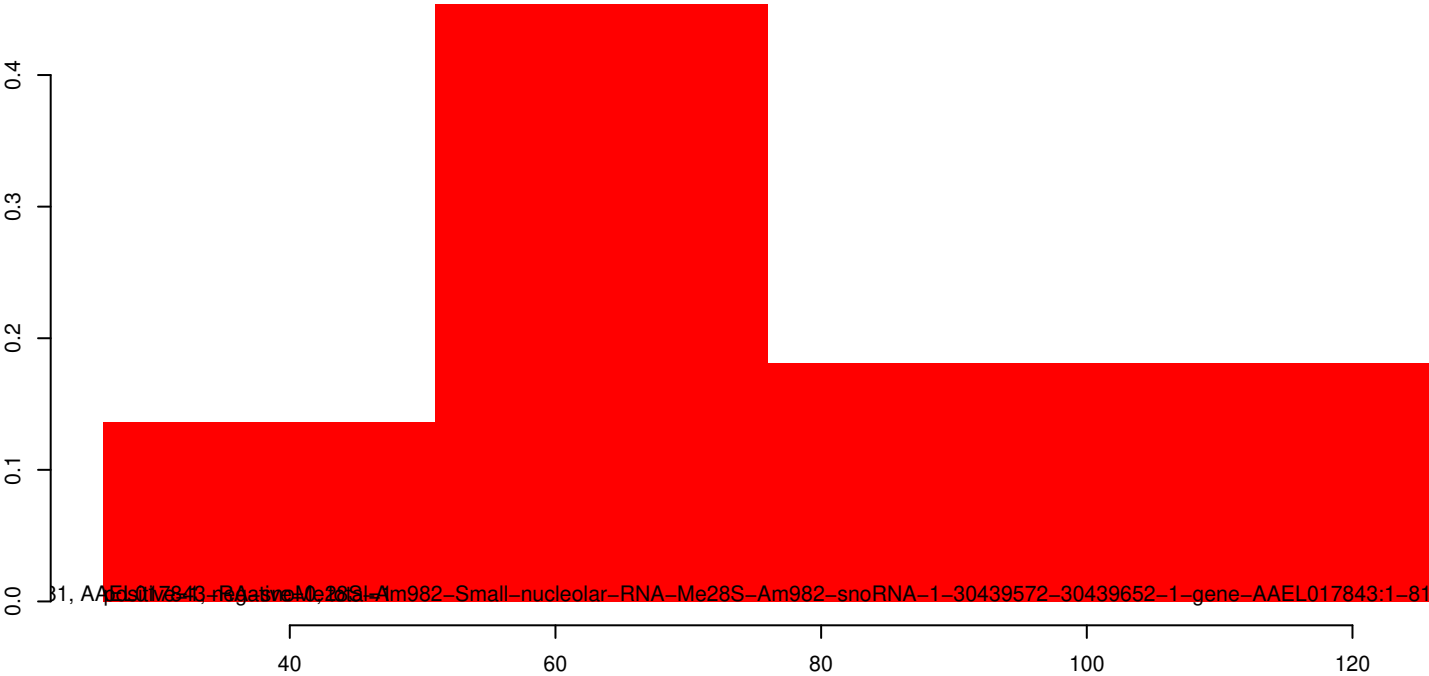
AeAeg_Whole_ZIKV_BM2_GP.18_23.rep



AeAeg_Whole_ZIKV_BM2_GP.24_35.rep



AeAeg_Whole_ZIKV_BM2_GP.rep



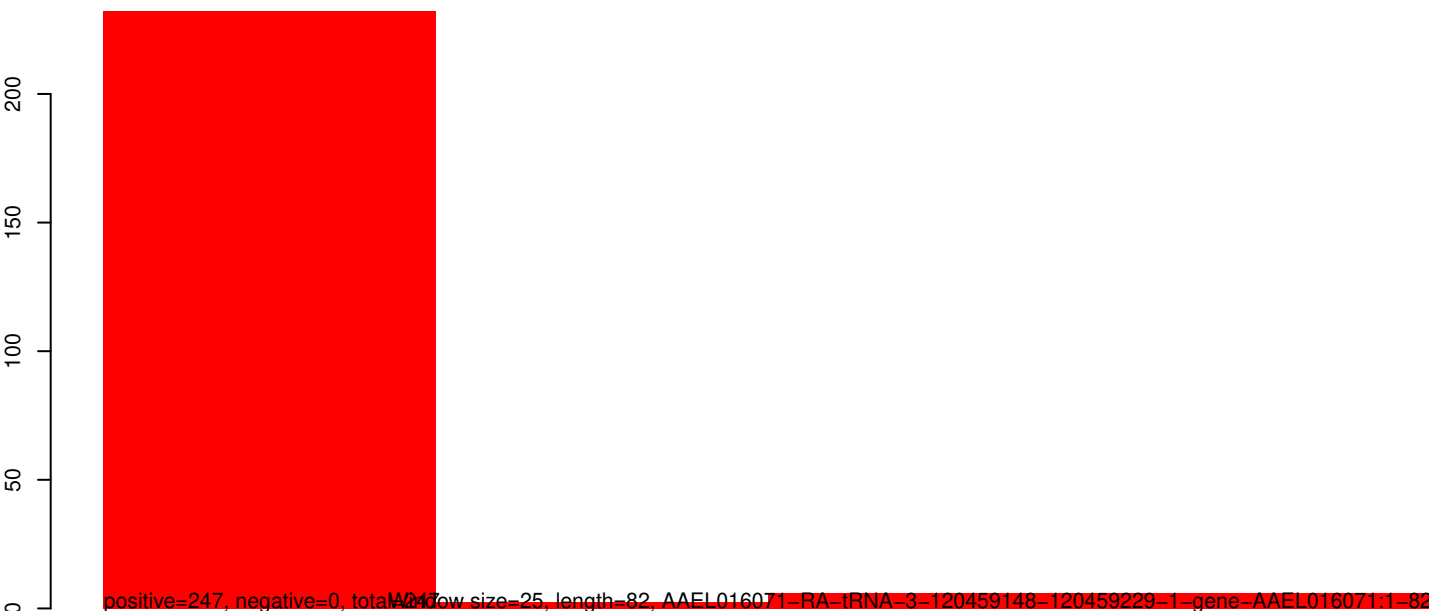
AeAeg_Whole_ZIKV_BM2_GP.18_23.rep



AeAeg_Whole_ZIKV_BM2_GP.24_35.rep

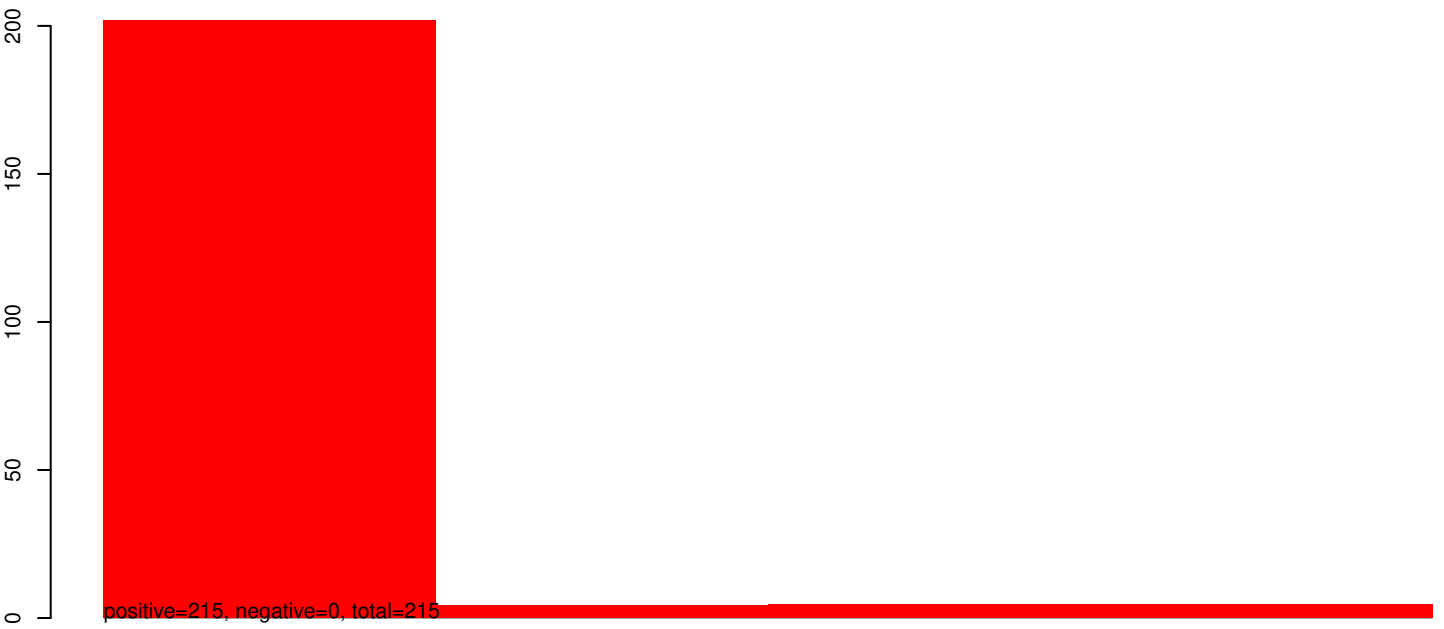


AeAeg_Whole_ZIKV_BM2_GP.rep

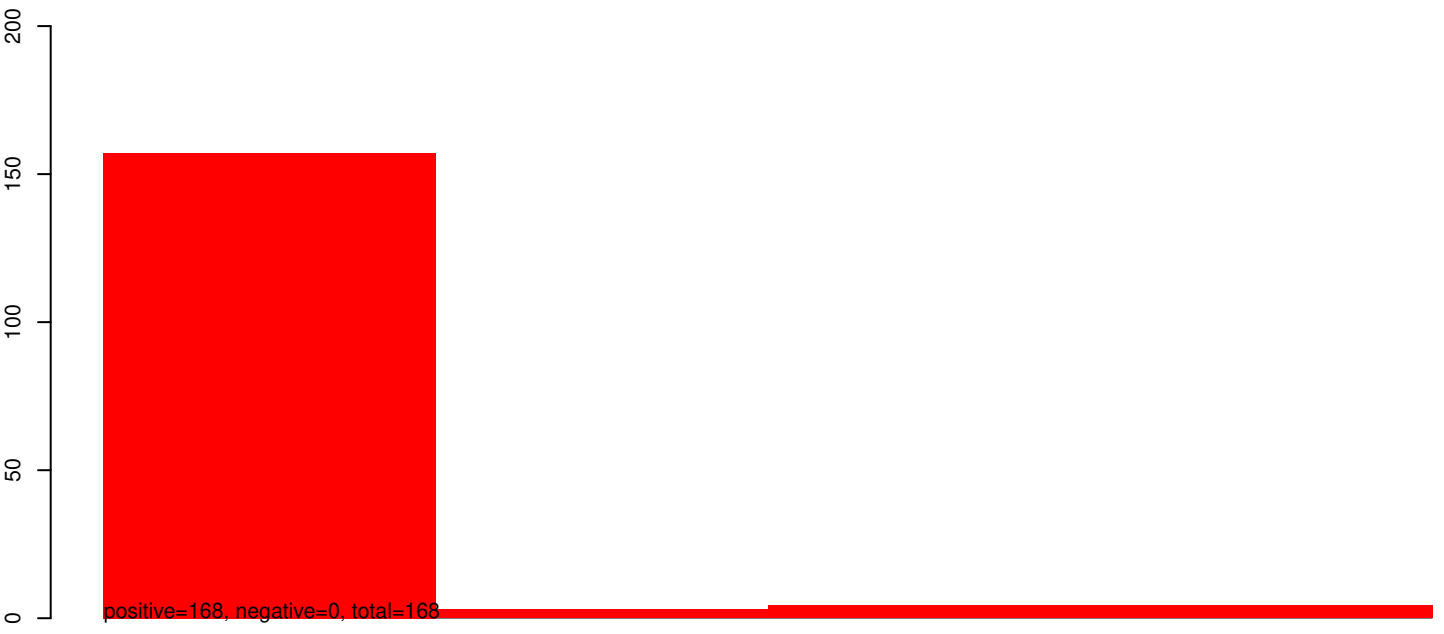


40 60 80 100 120
AAEL016071-RA-IRNA-3-120459148-120459229-1-gene-AAEL016071:1-82

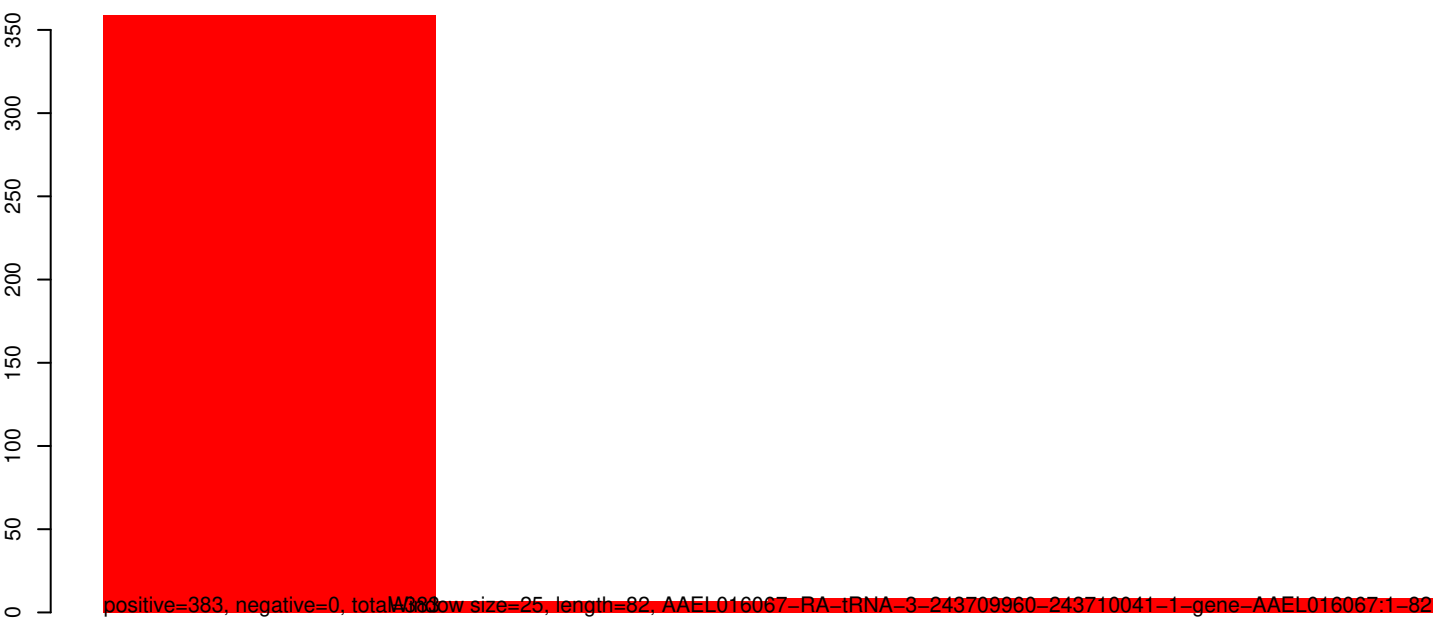
AeAeg_Whole_ZIKV_BM2_GP.18_23.rep



AeAeg_Whole_ZIKV_BM2_GP.24_35.rep

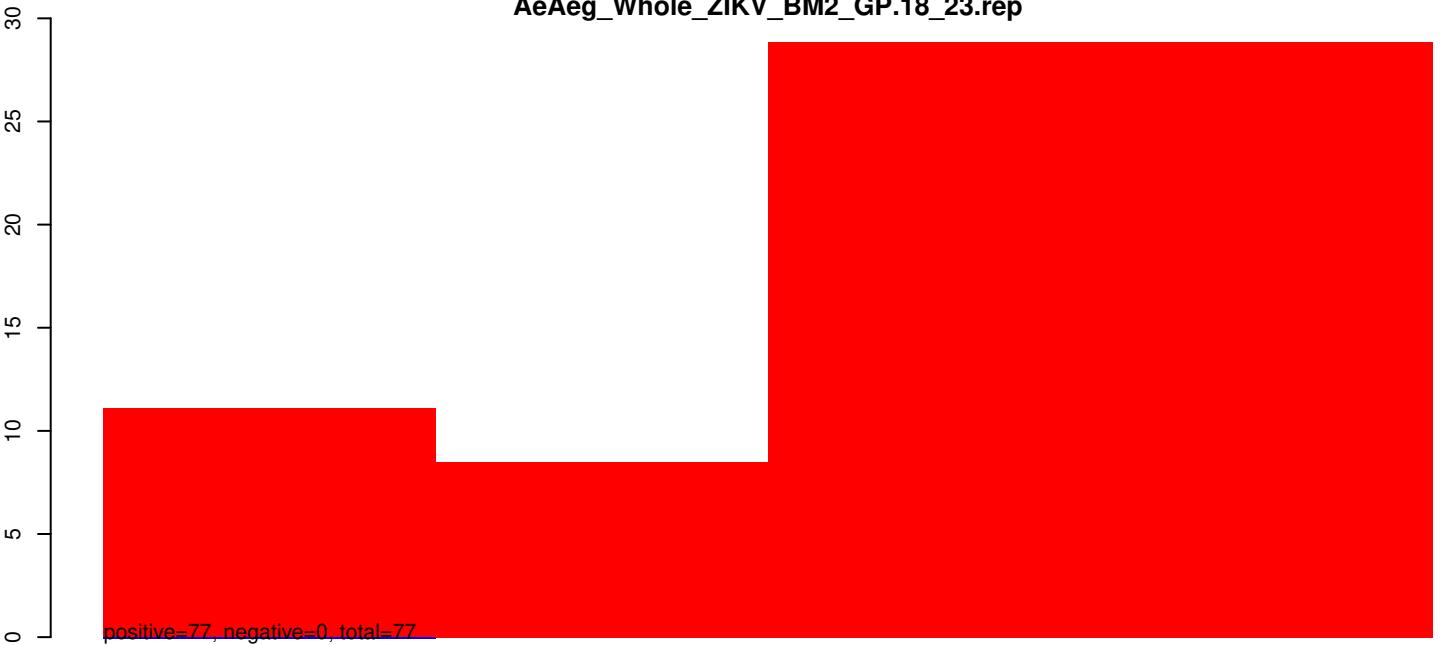


AeAeg_Whole_ZIKV_BM2_GP.rep

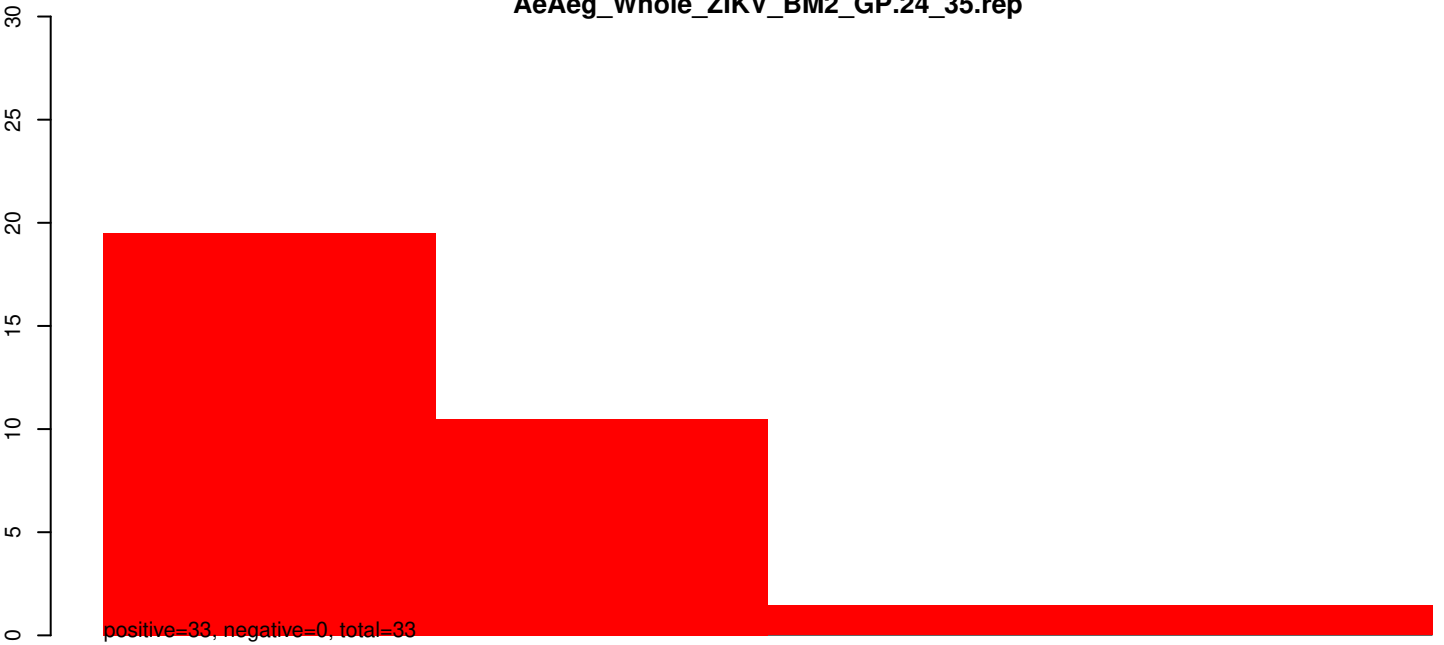


40 60 80 100 120

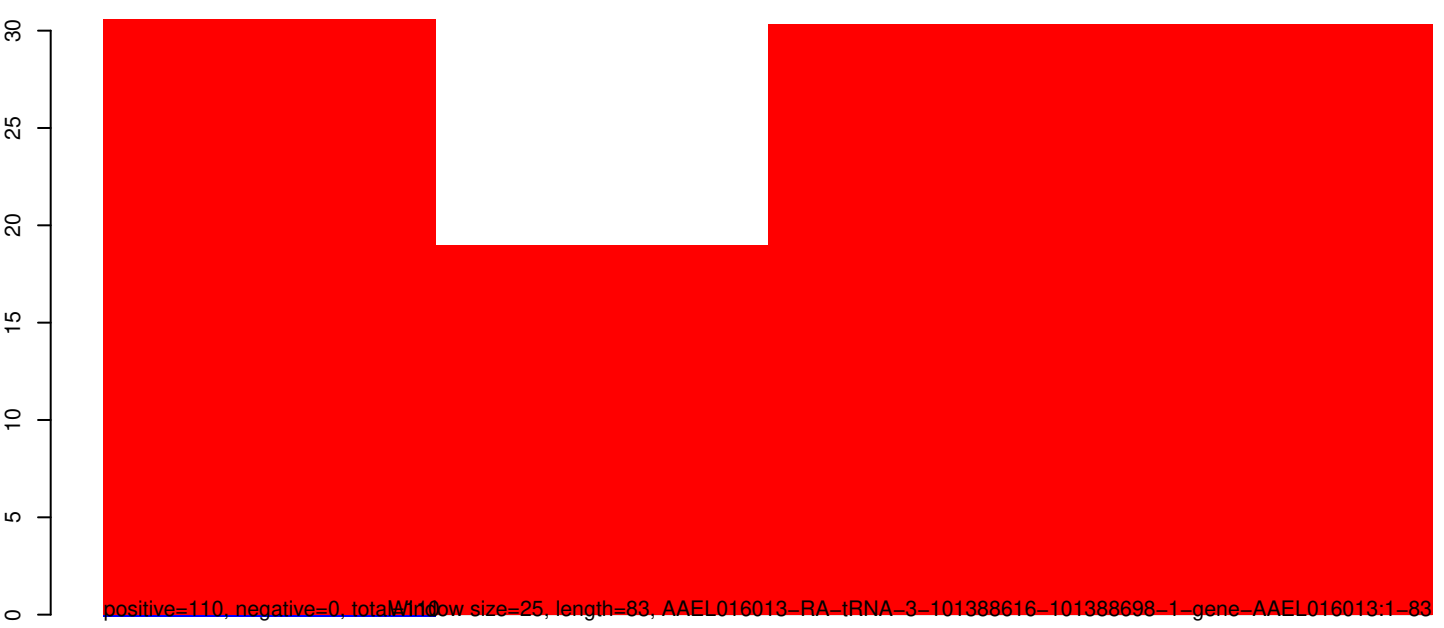
AeAeg_Whole_ZIKV_BM2_GP.18_23.rep



AeAeg_Whole_ZIKV_BM2_GP.24_35.rep

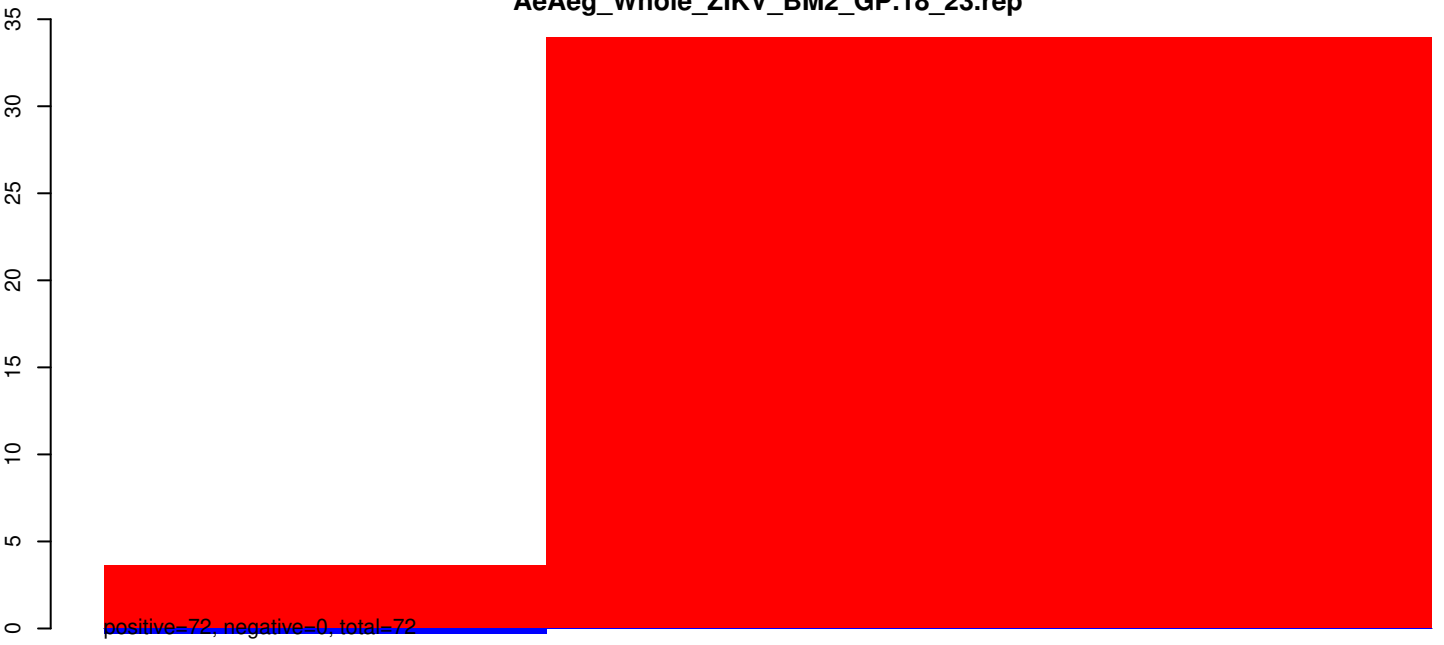


AeAeg_Whole_ZIKV_BM2_GP.rep

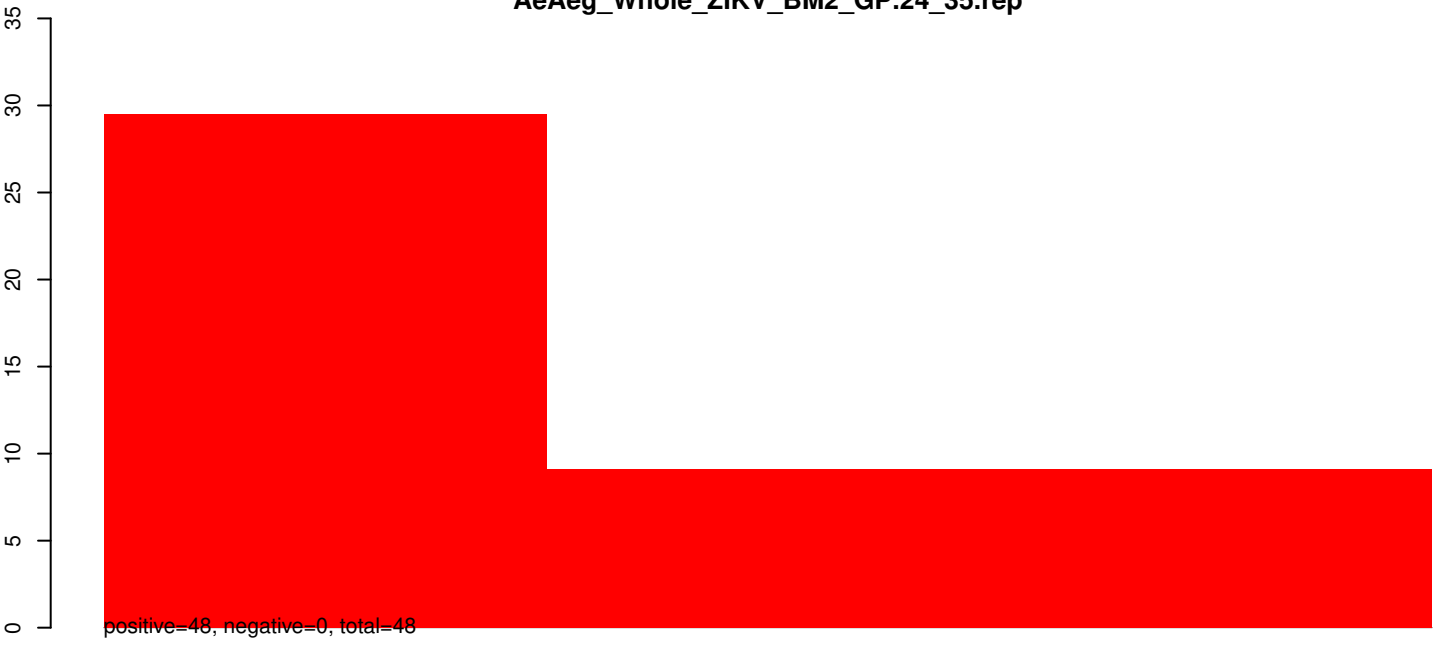


Window size=25, length=83, AAEL016013-RA-tRNA-3-101388616-101388698-1-gene-AAEL016013:1-83

AeAeg_Whole_ZIKV_BM2_GP.18_23.rep



AeAeg_Whole_ZIKV_BM2_GP.24_35.rep

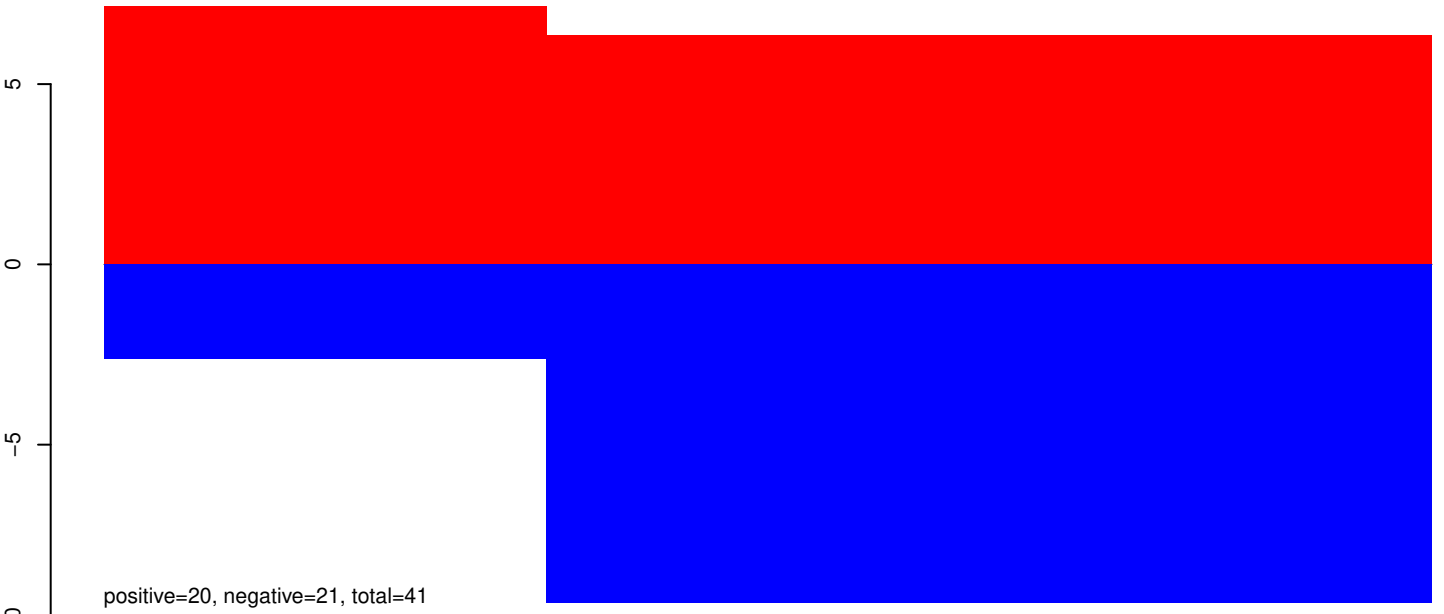


AeAeg_Whole_ZIKV_BM2_GP.rep



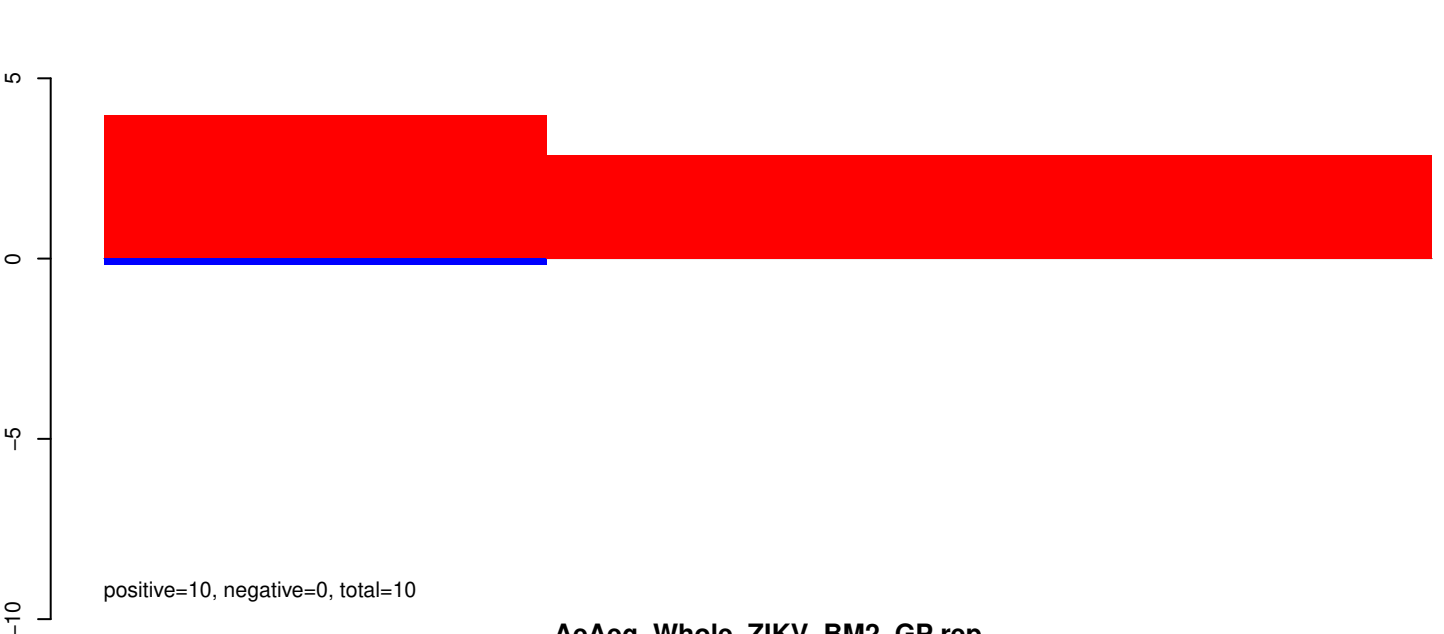
Window size=25, length=72, AAEL028990-RA-tRNA-2-422623477-422623548-1-gene-AAEL028990:1-72

AeAeg_Whole_ZIKV_BM2_GP.18_23.rep



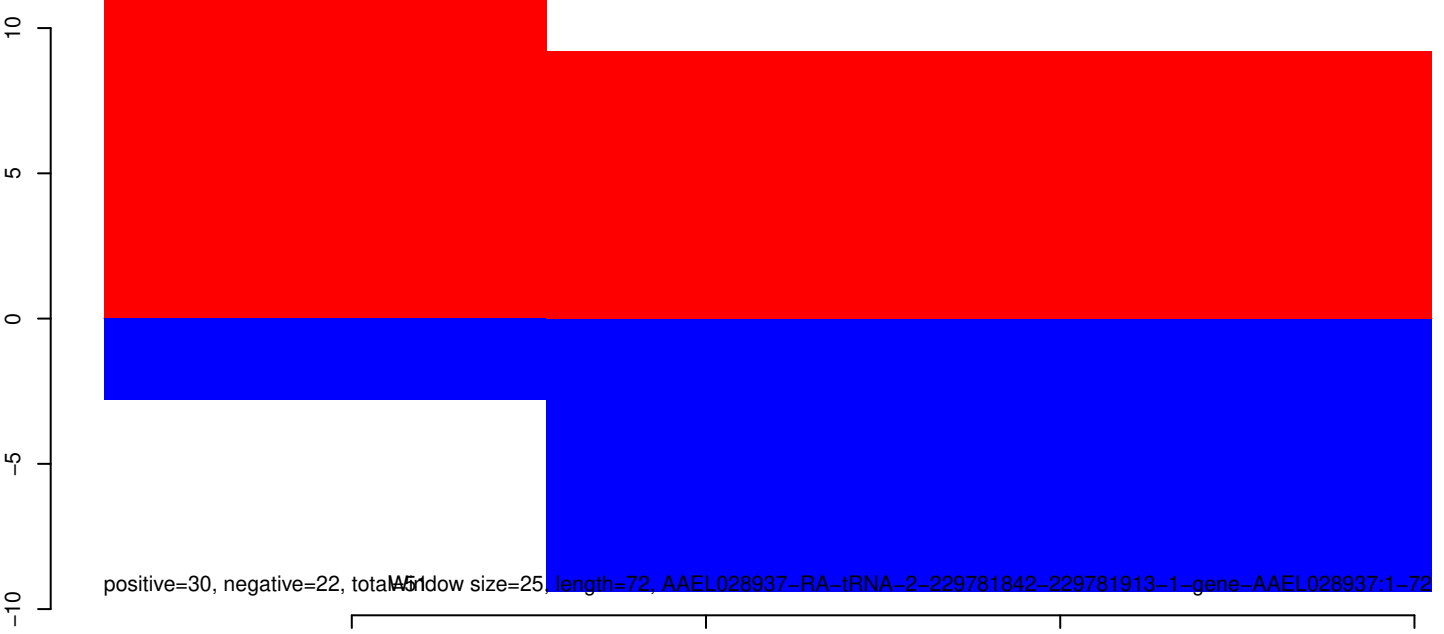
positive=20, negative=21, total=41

AeAeg_Whole_ZIKV_BM2_GP.24_35.rep



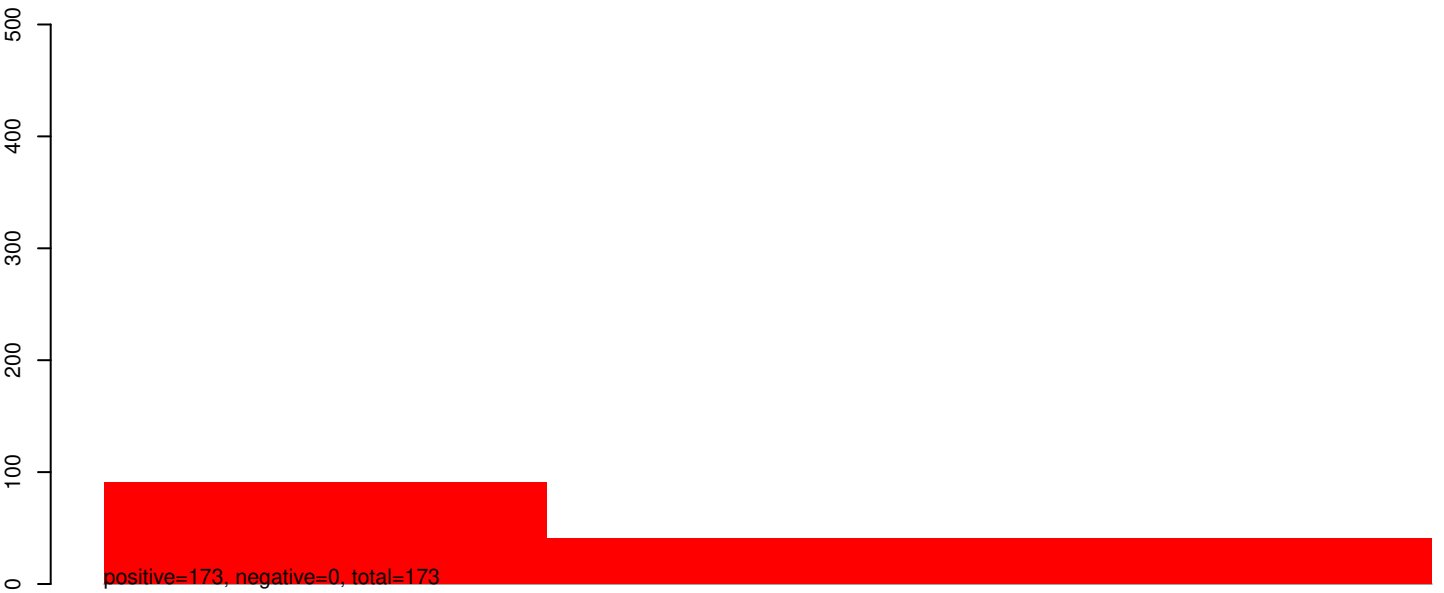
positive=10, negative=0, total=10

AeAeg_Whole_ZIKV_BM2_GP.rep

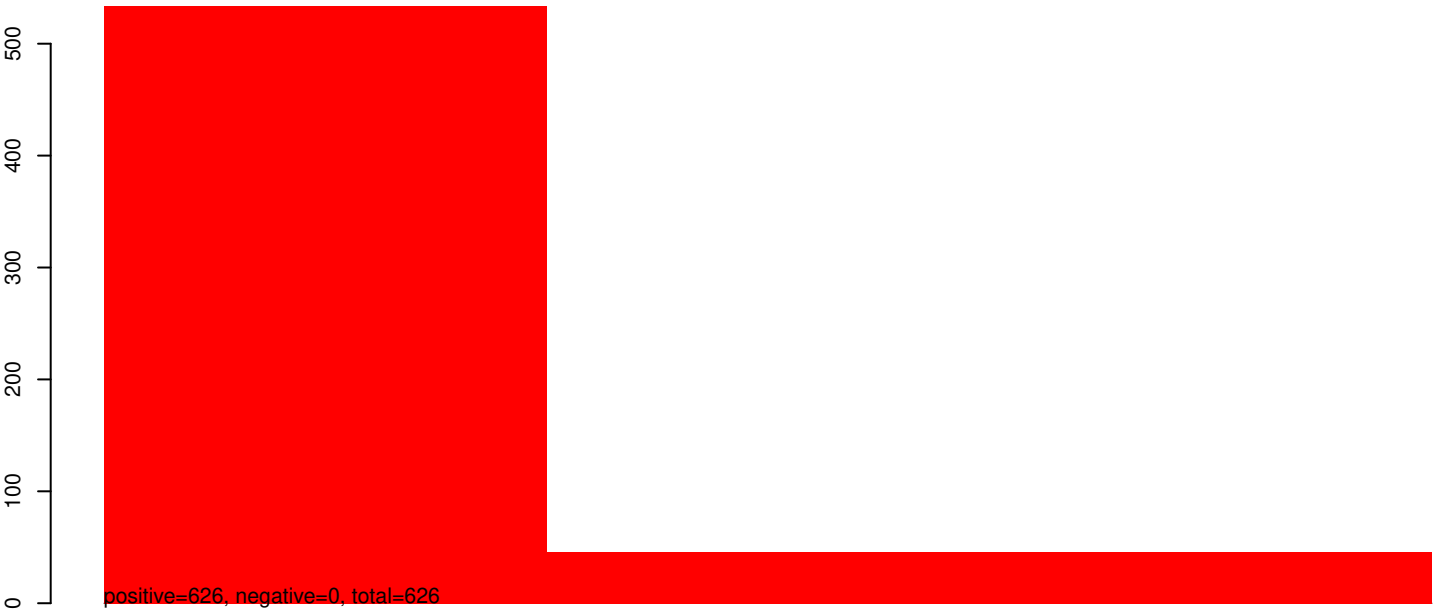


positive=30, negative=22, total=51, window size=25, length=72, AAEL028937-RA-irNA-2-229781842-229781913-1-gene-AAEL028937:1-72

AeAeg_Whole_ZIKV_BM2_GP.18_23.rep



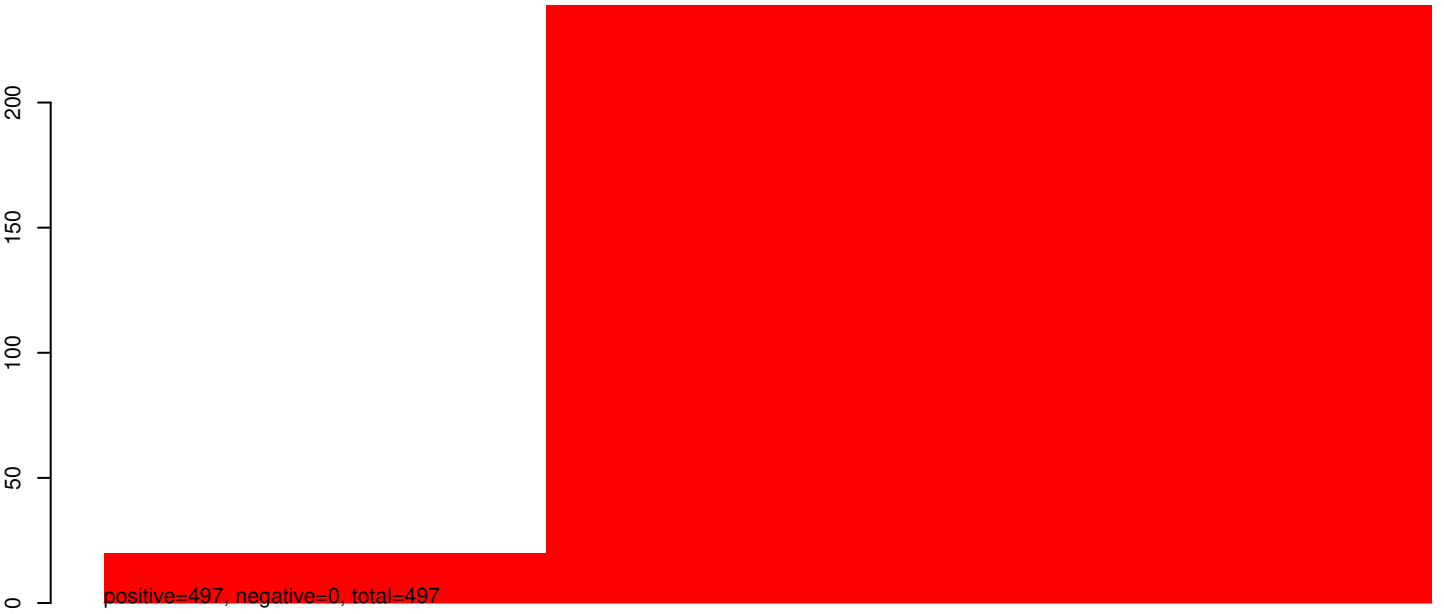
AeAeg_Whole_ZIKV_BM2_GP.24_35.rep



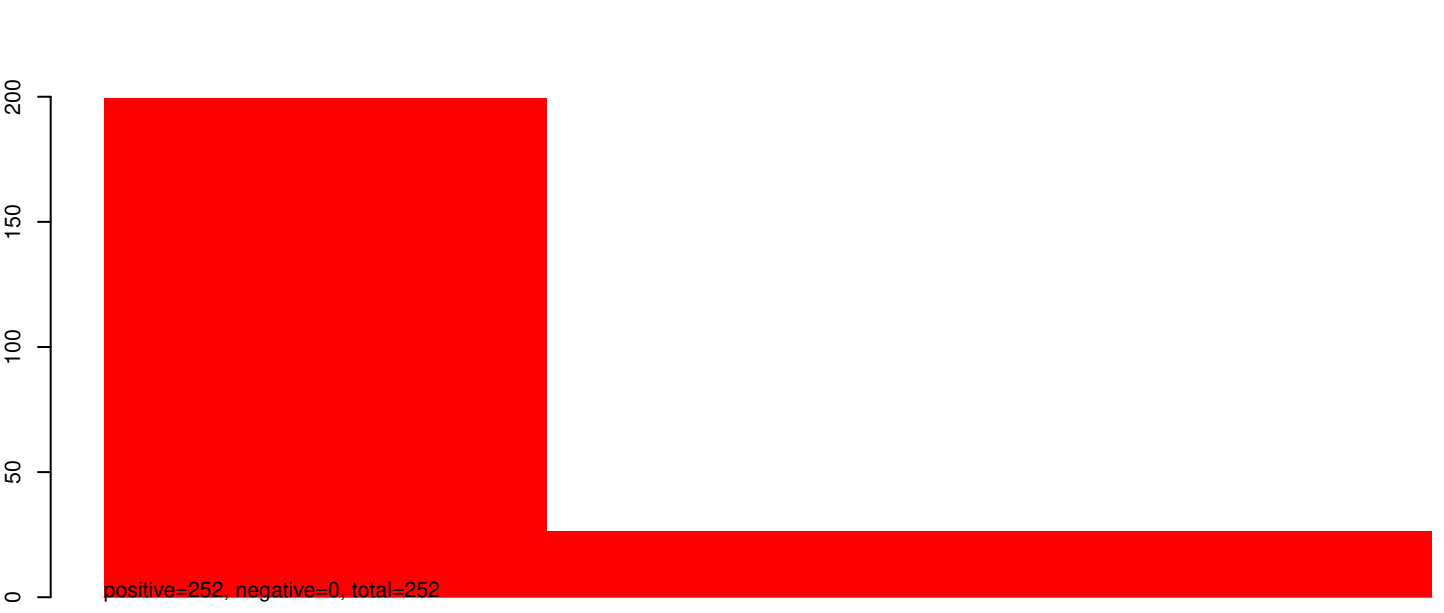
AeAeg_Whole_ZIKV_BM2_GP.rep



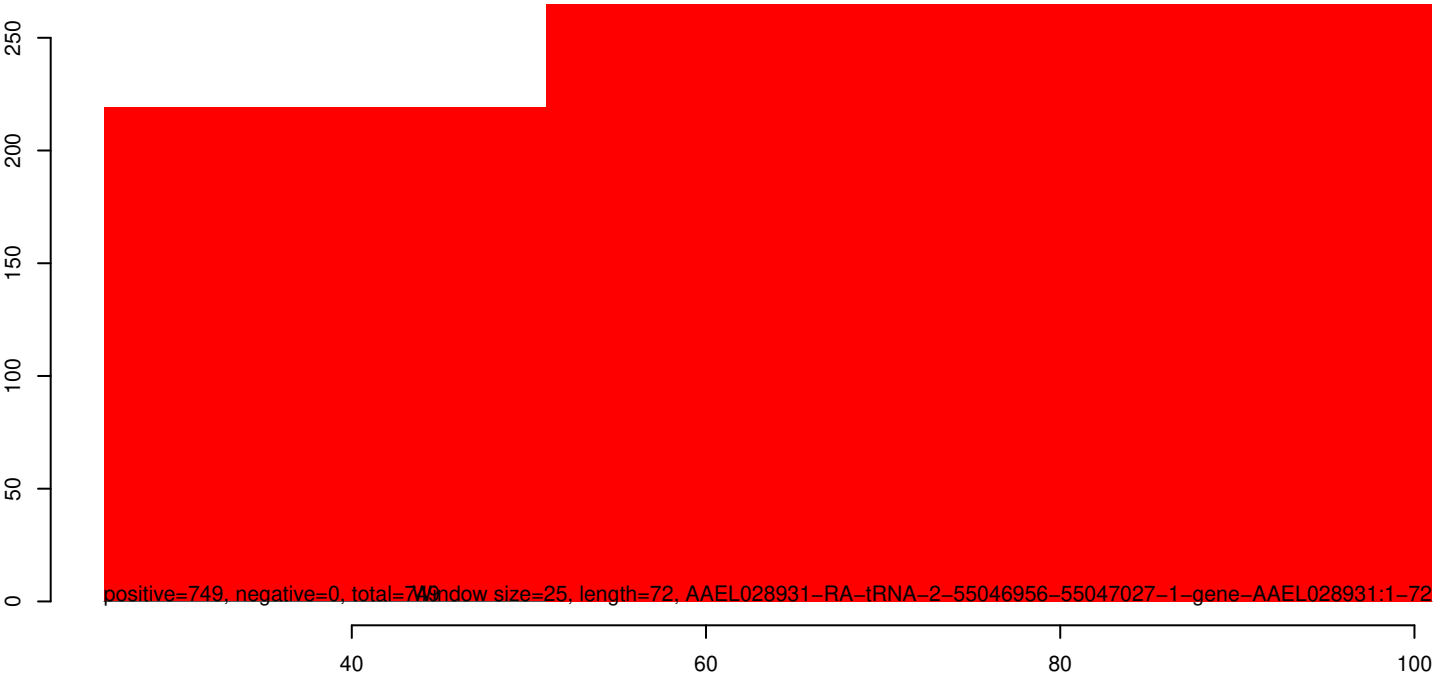
AeAeg_Whole_ZIKV_BM2_GP.18_23.rep



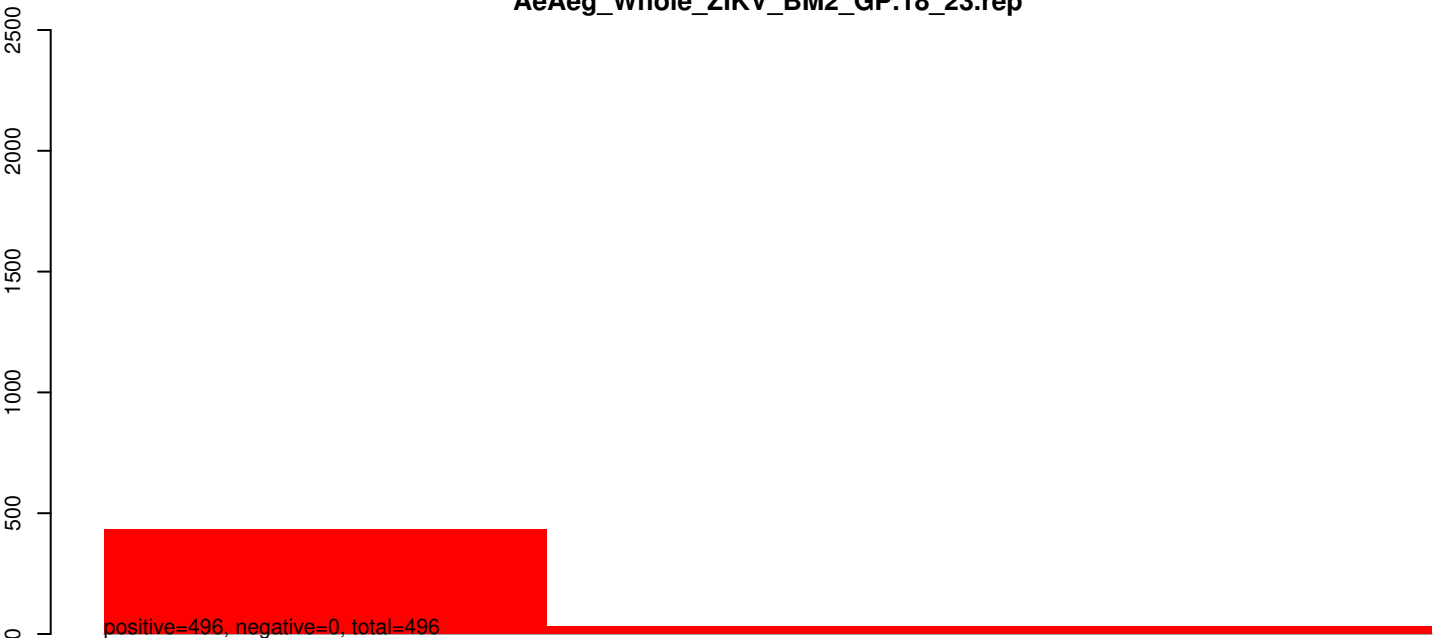
AeAeg_Whole_ZIKV_BM2_GP.24_35.rep



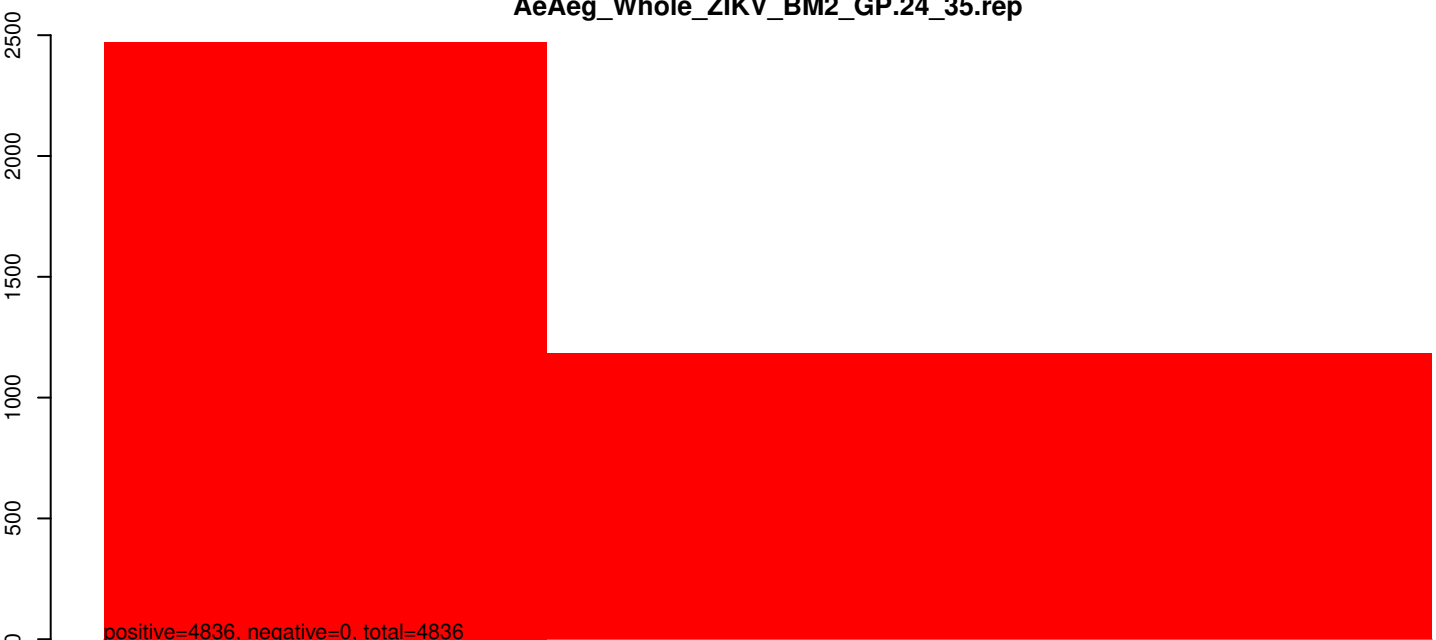
AeAeg_Whole_ZIKV_BM2_GP.rep



AeAeg_Whole_ZIKV_BM2_GP.18_23.rep



AeAeg_Whole_ZIKV_BM2_GP.24_35.rep



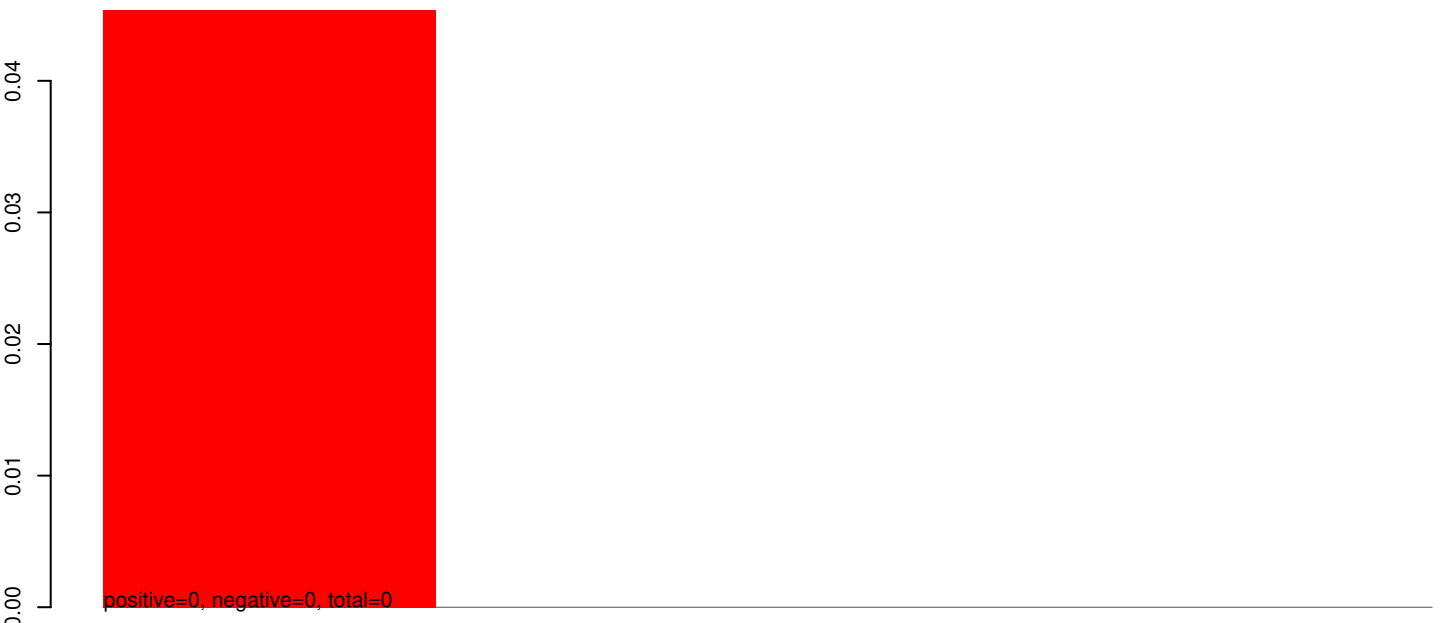
AeAeg_Whole_ZIKV_BM2_GP.rep



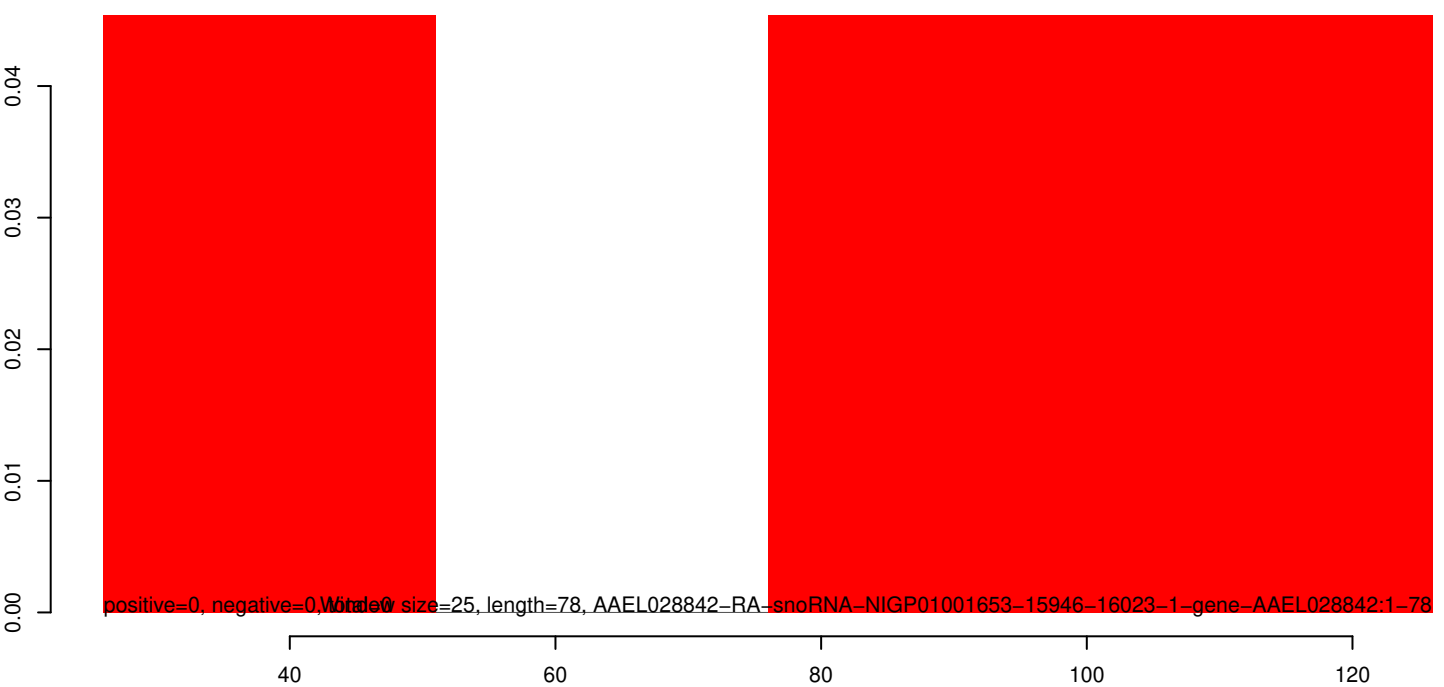
AeAeg_Whole_ZIKV_BM2_GP.18_23.rep



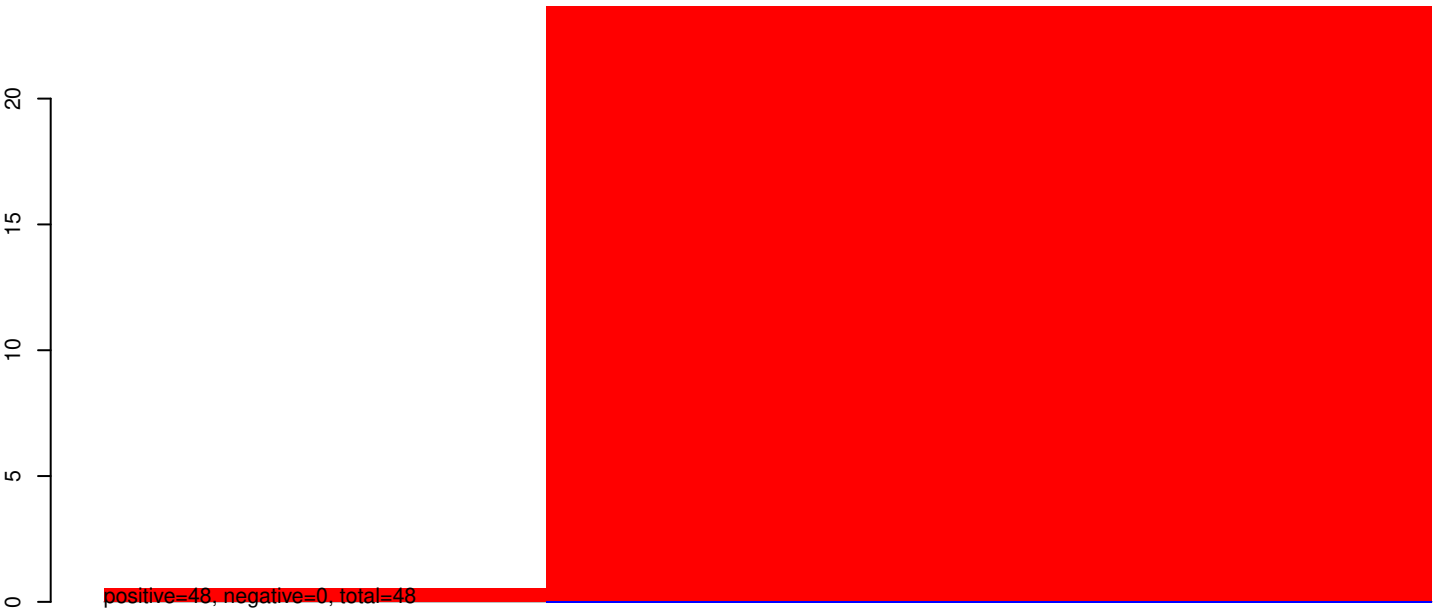
AeAeg_Whole_ZIKV_BM2_GP.24_35.rep



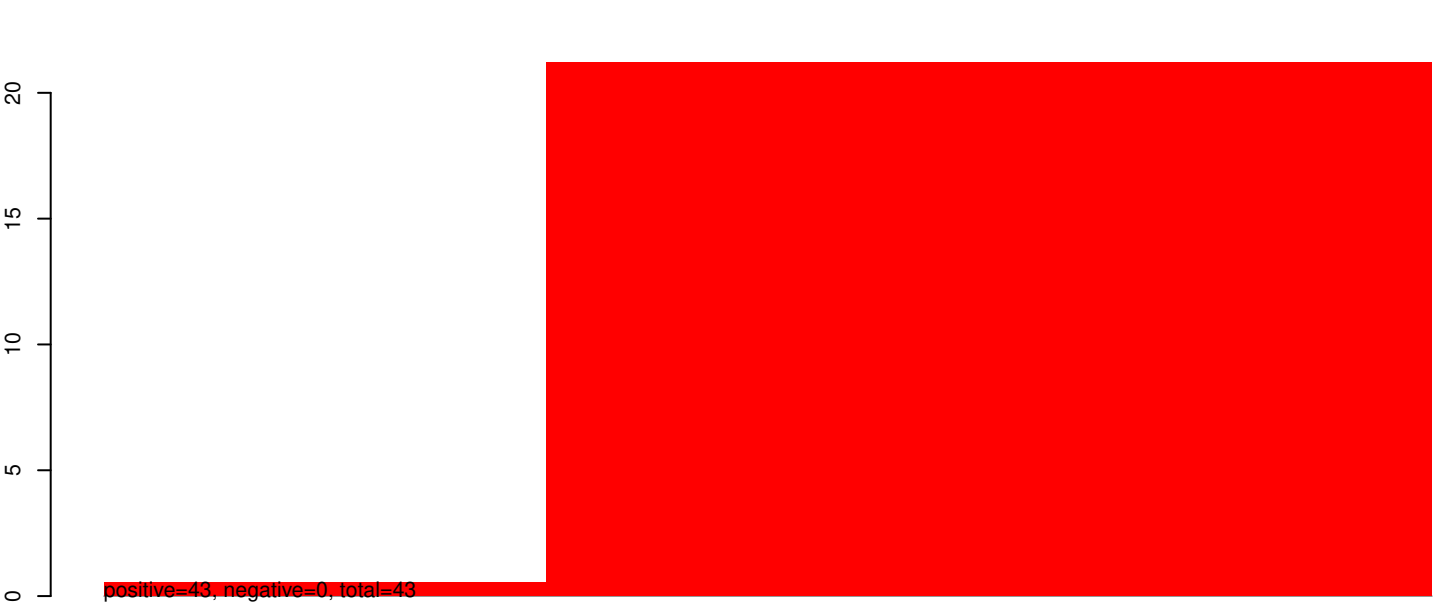
AeAeg_Whole_ZIKV_BM2_GP.rep



AeAeg_Whole_ZIKV_BM2_GP.18_23.rep



AeAeg_Whole_ZIKV_BM2_GP.24_35.rep



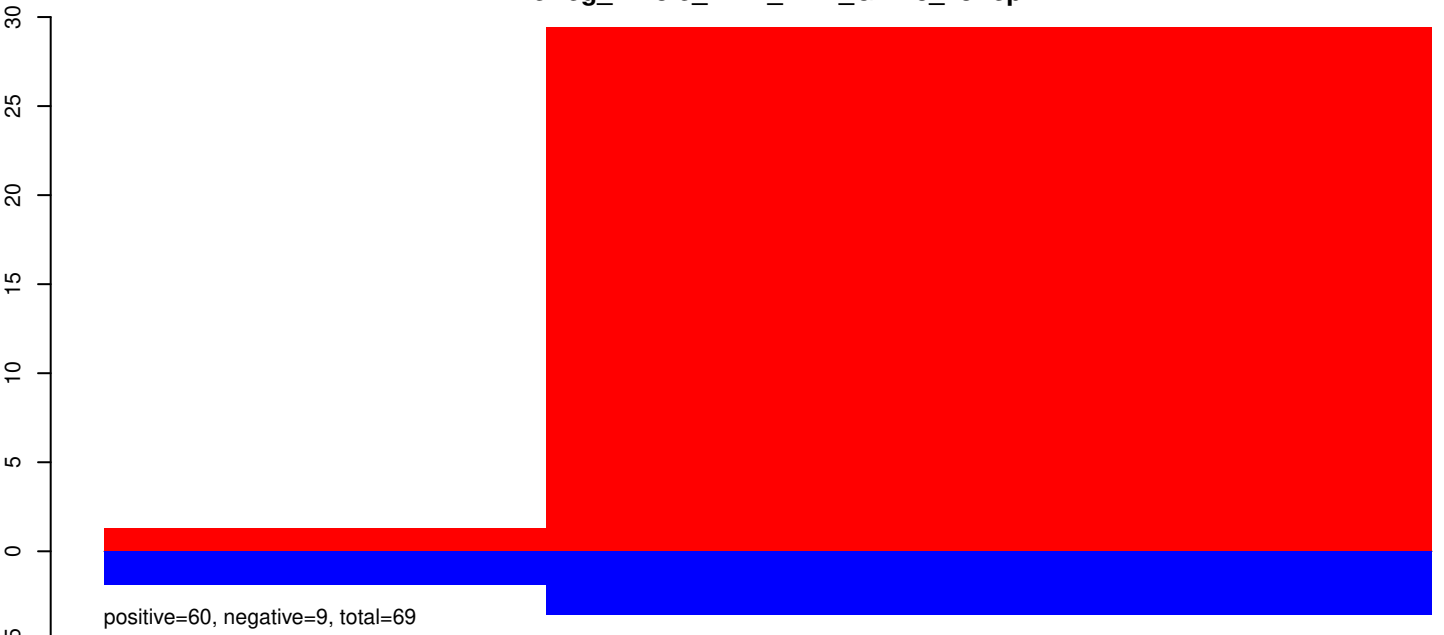
AeAeg_Whole_ZIKV_BM2_GP.rep



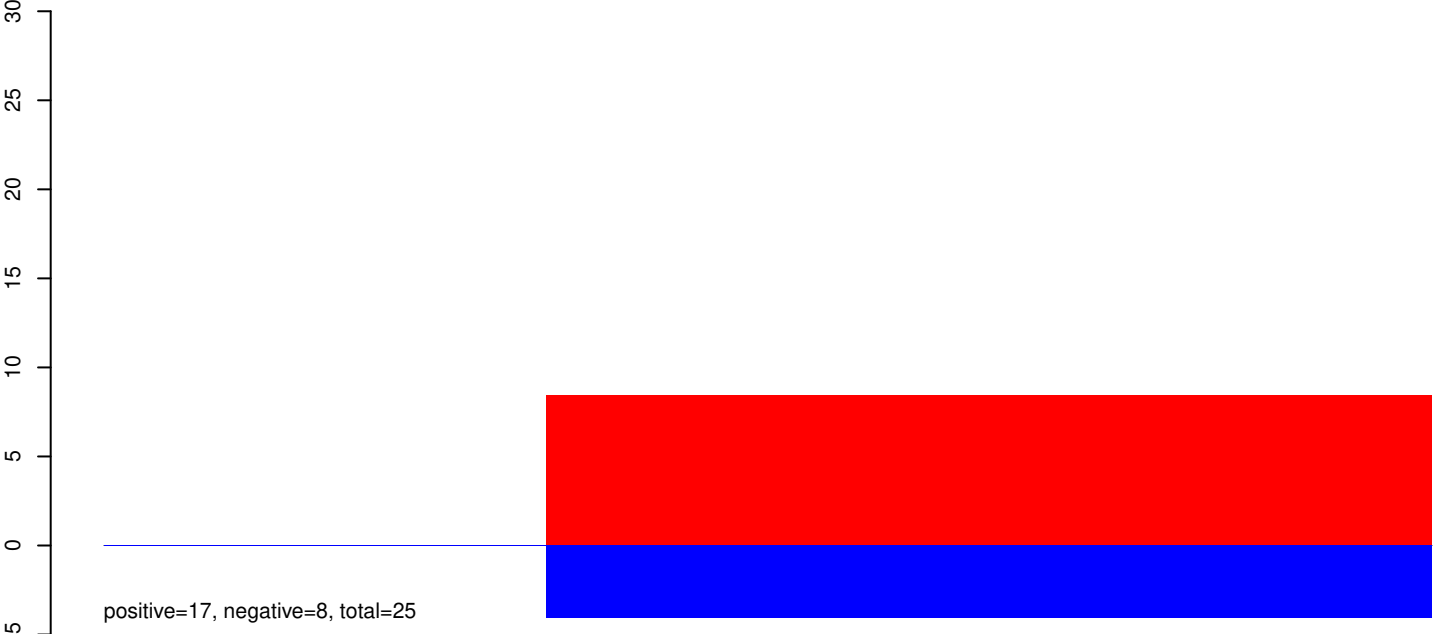
Window size=25, length=73, AAEL028693-RA-tRNA-3-100605474-100605546-1-gene-AAEL028693:1-73

40 60 80 100

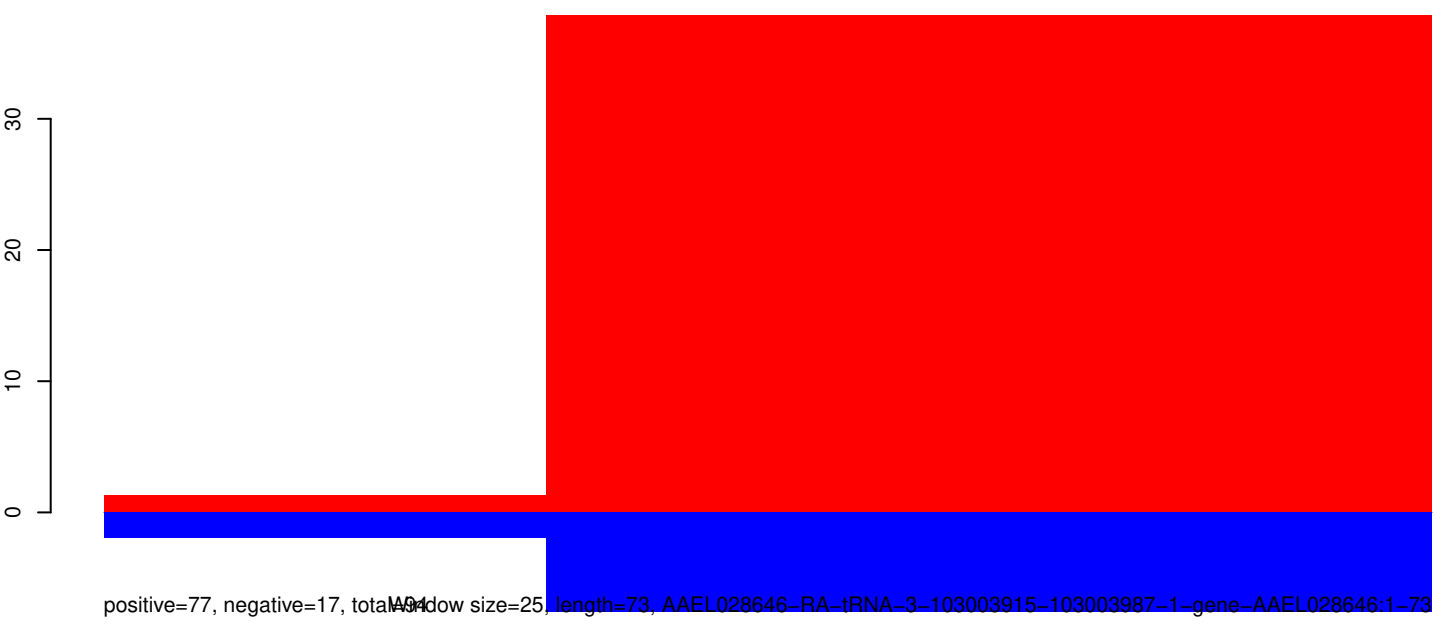
AeAeg_Whole_ZIKV_BM2_GP.18_23.rep



AeAeg_Whole_ZIKV_BM2_GP.24_35.rep

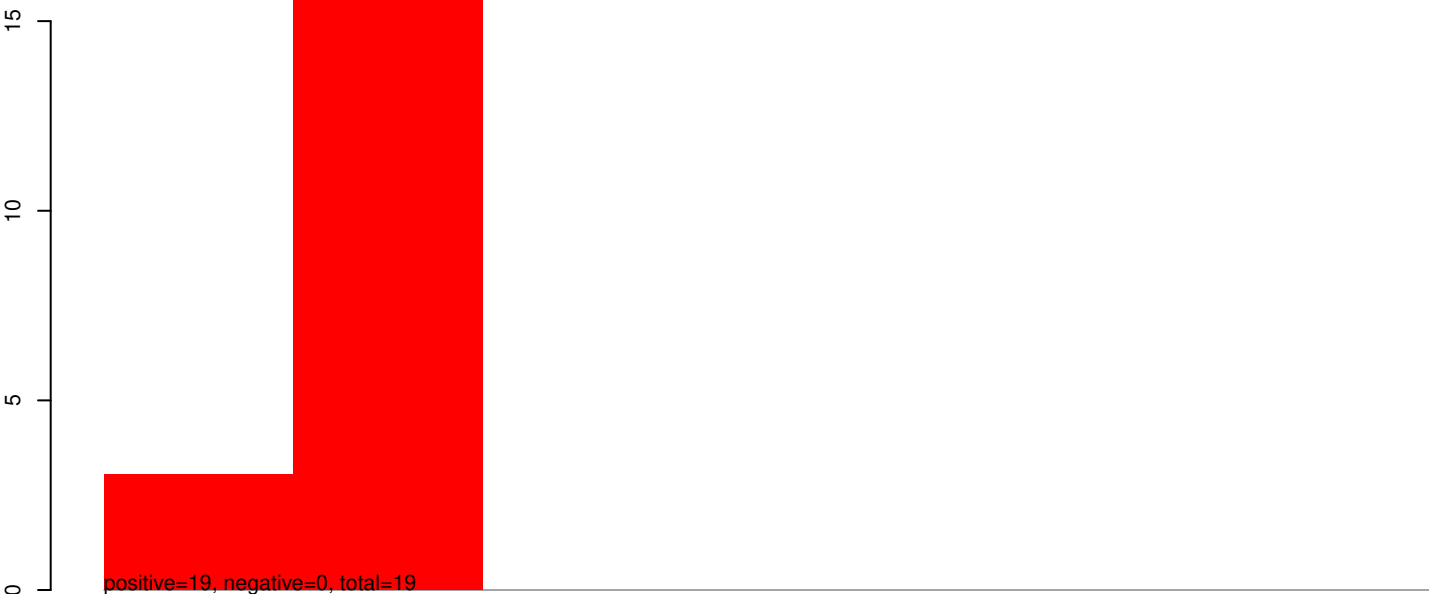


AeAeg_Whole_ZIKV_BM2_GP.rep

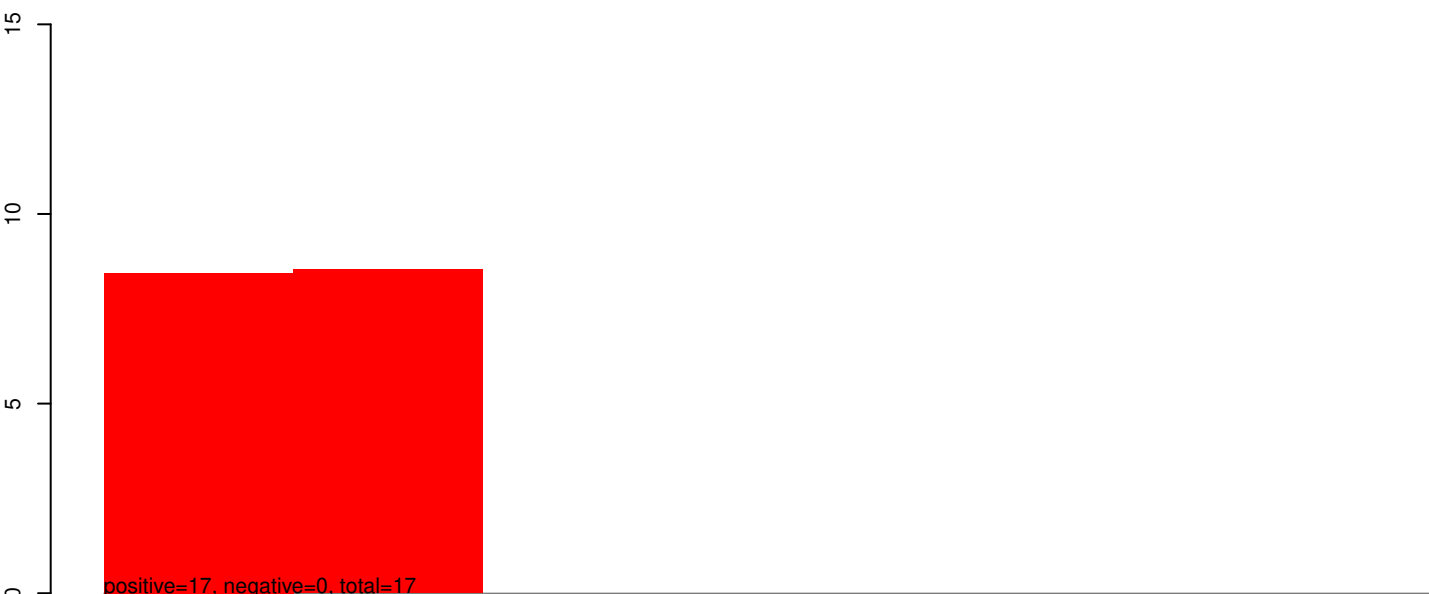


Window size=25, length=73, AAEL028646-RA-irna-3-103003915-103003987-1-gene-AAEL028646:1-73

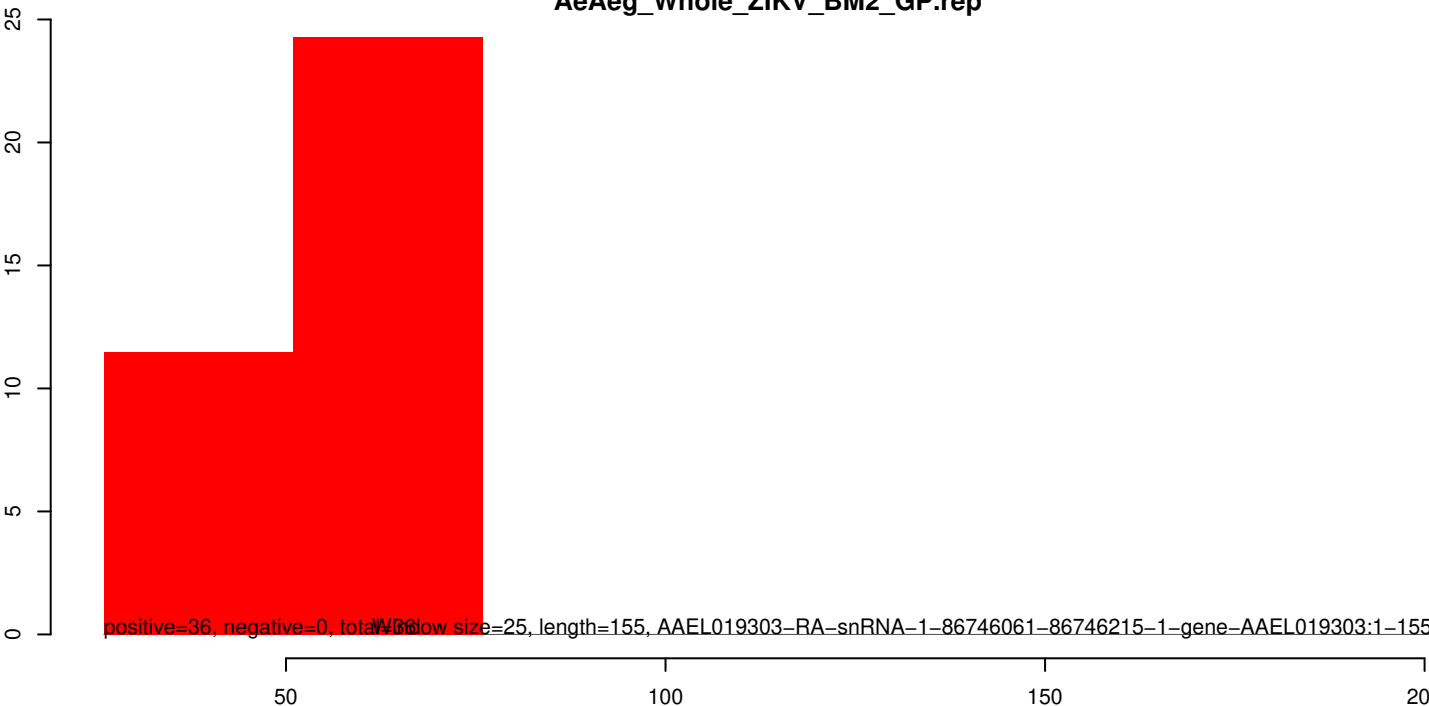
AeAeg_Whole_ZIKV_BM2_GP.18_23.rep



AeAeg_Whole_ZIKV_BM2_GP.24_35.rep



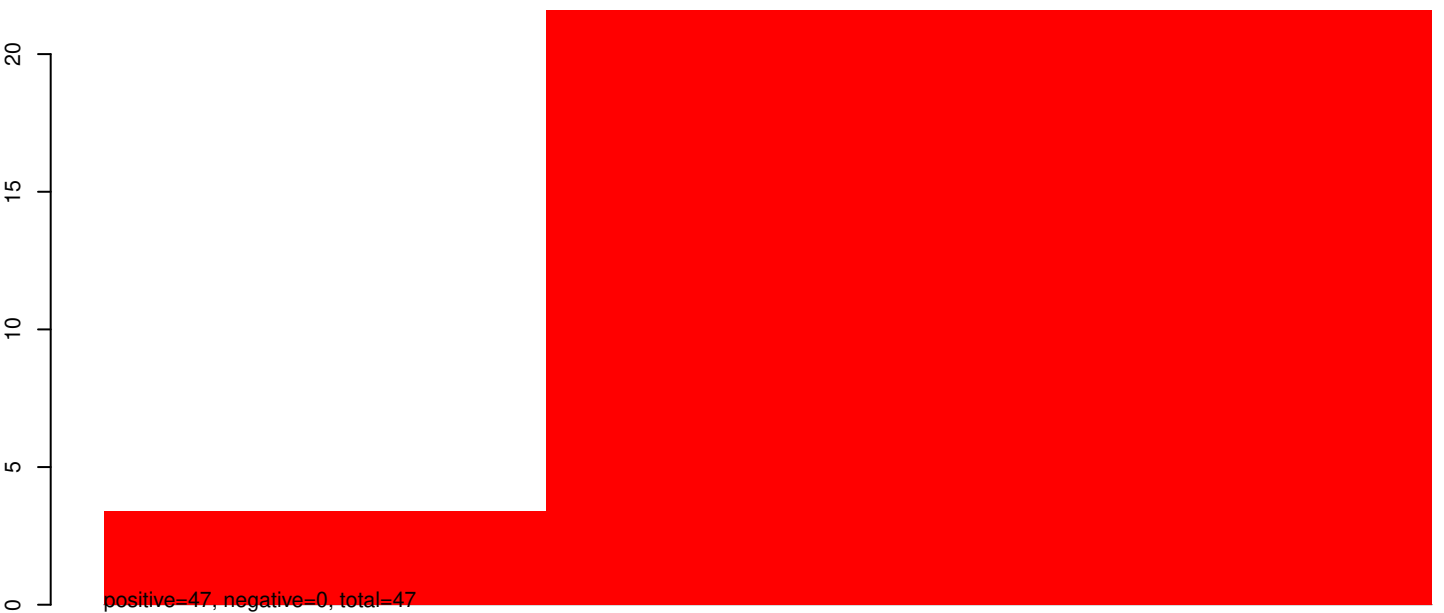
AeAeg_Whole_ZIKV_BM2_GP.rep



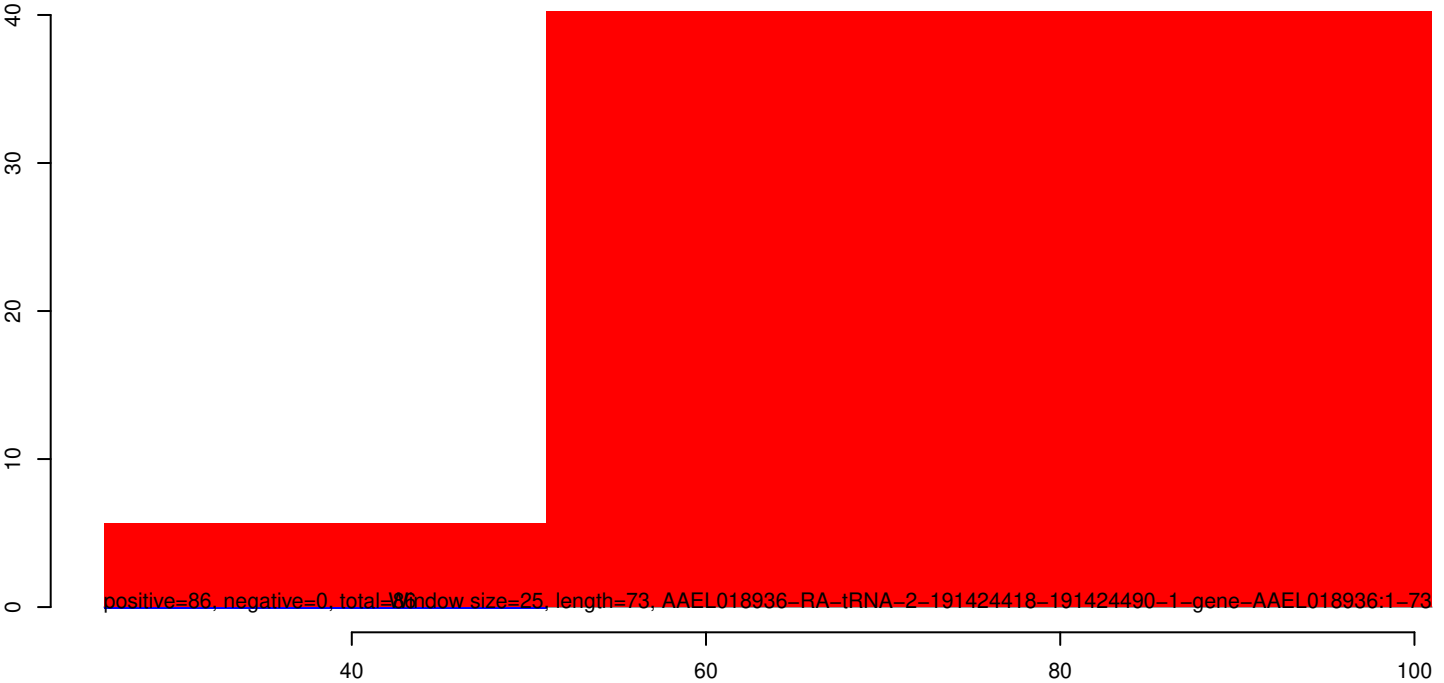
AeAeg_Whole_ZIKV_BM2_GP.18_23.rep



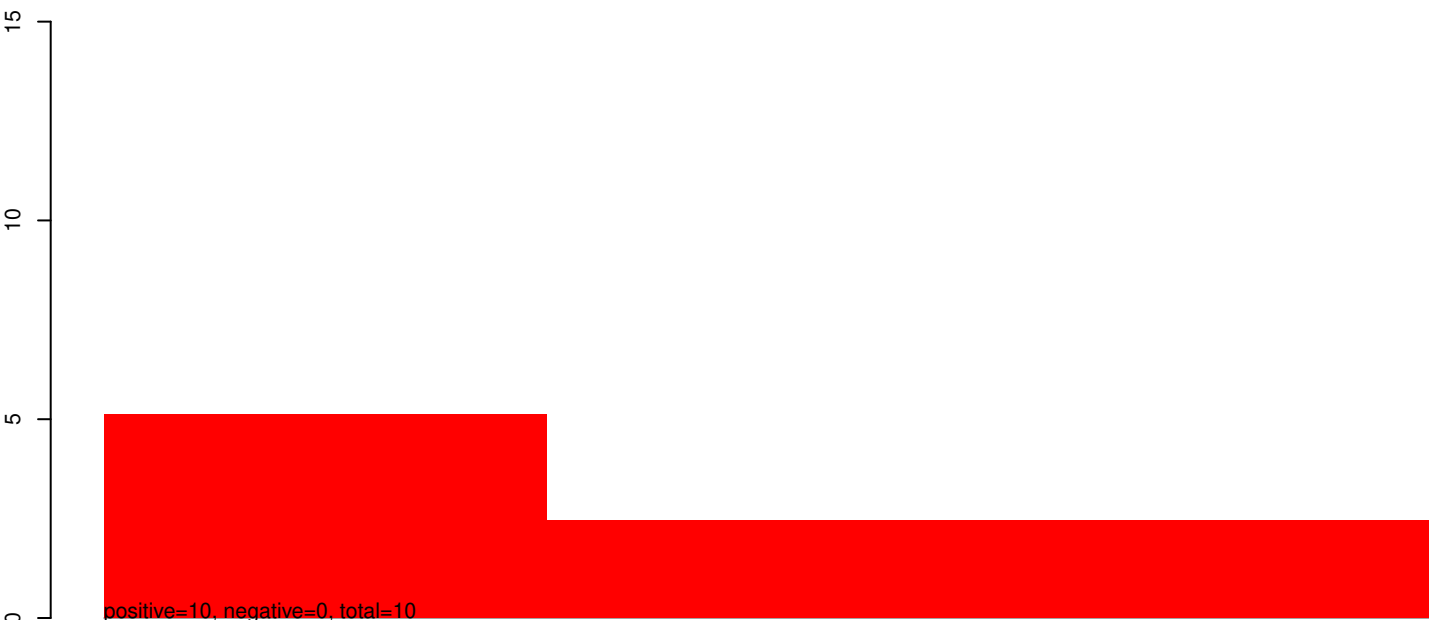
AeAeg_Whole_ZIKV_BM2_GP.24_35.rep



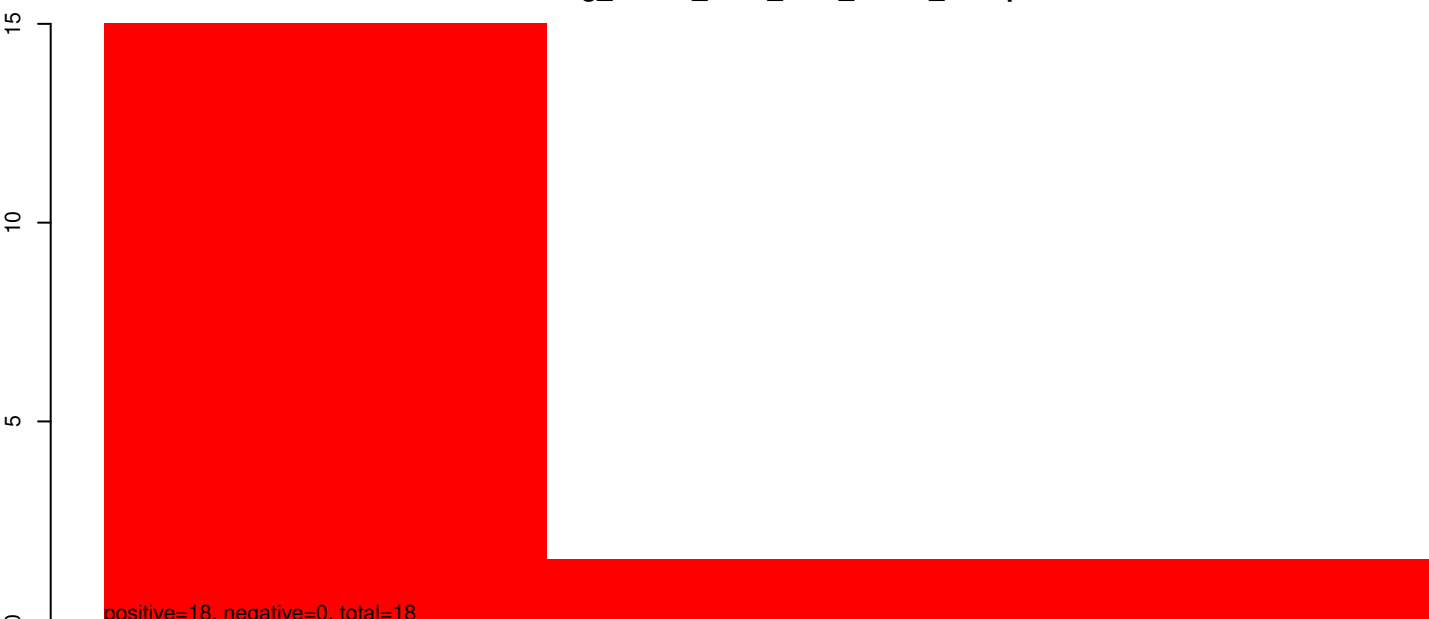
AeAeg_Whole_ZIKV_BM2_GP.rep



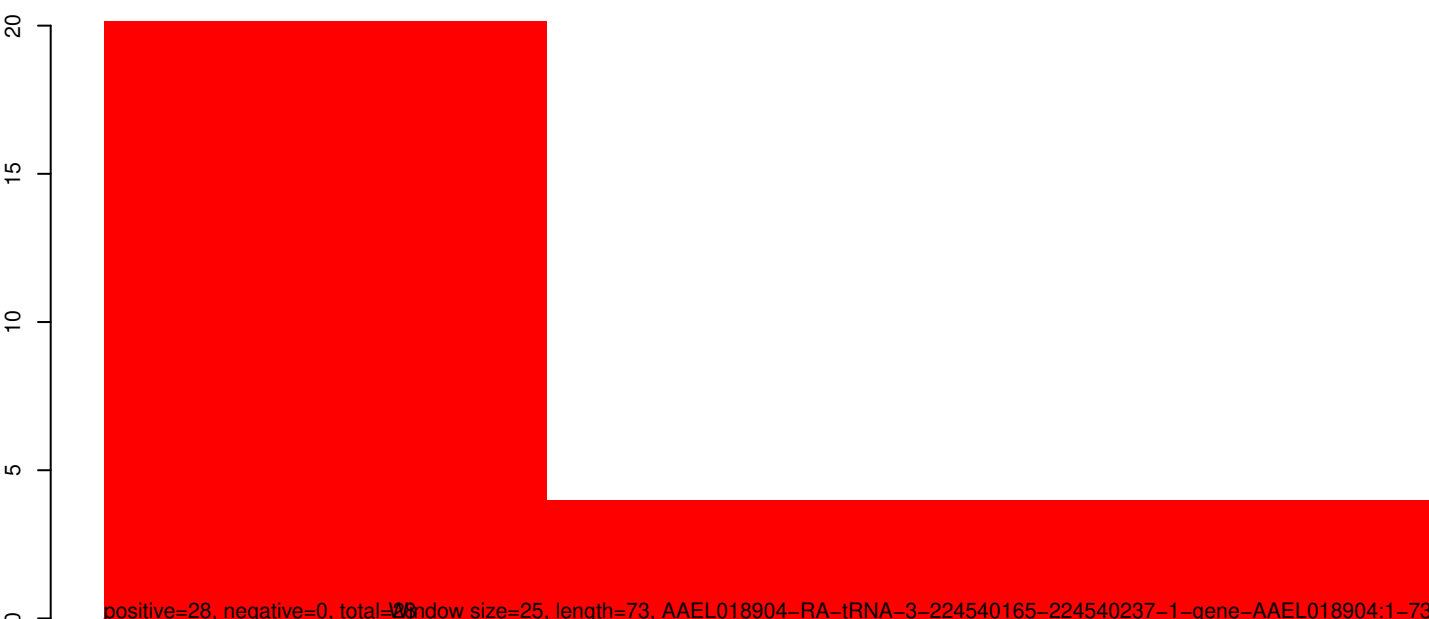
AeAeg_Whole_ZIKV_BM2_GP.18_23.rep



AeAeg_Whole_ZIKV_BM2_GP.24_35.rep



AeAeg_Whole_ZIKV_BM2_GP.rep



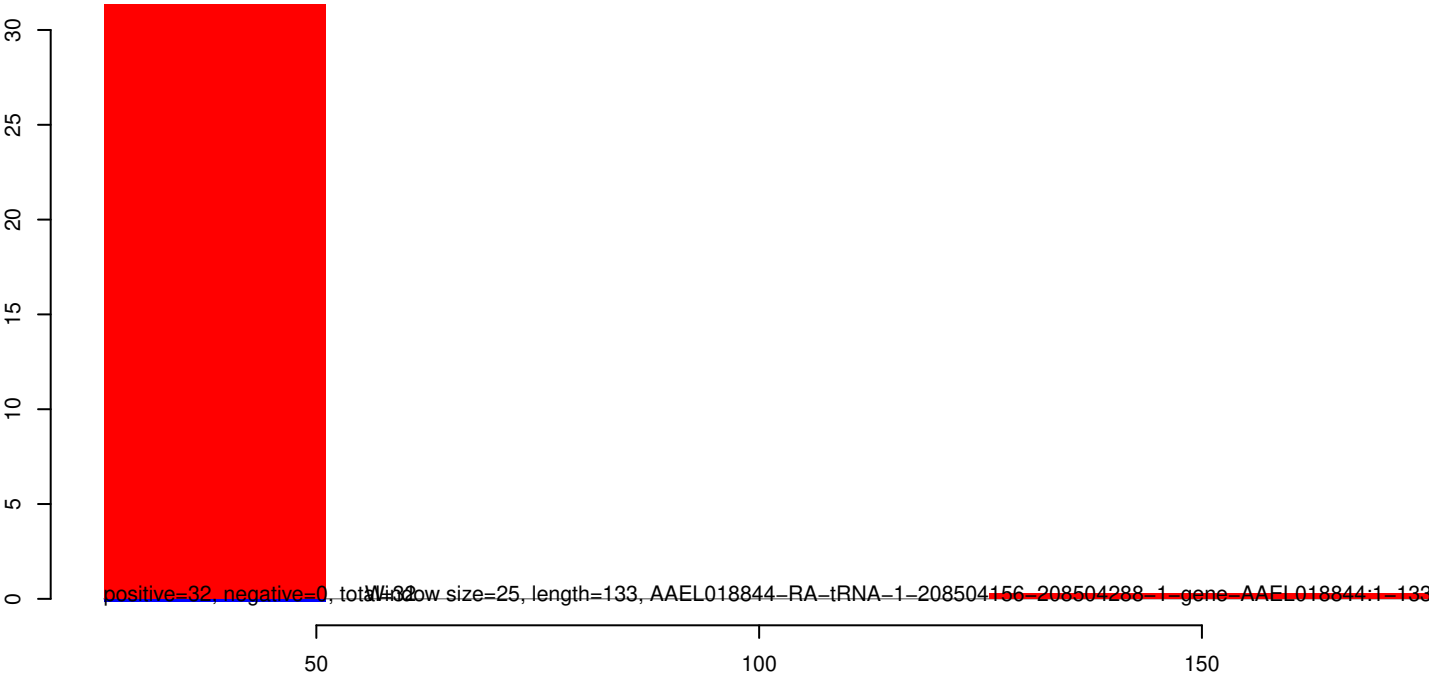
AeAeg_Whole_ZIKV_BM2_GP.18_23.rep



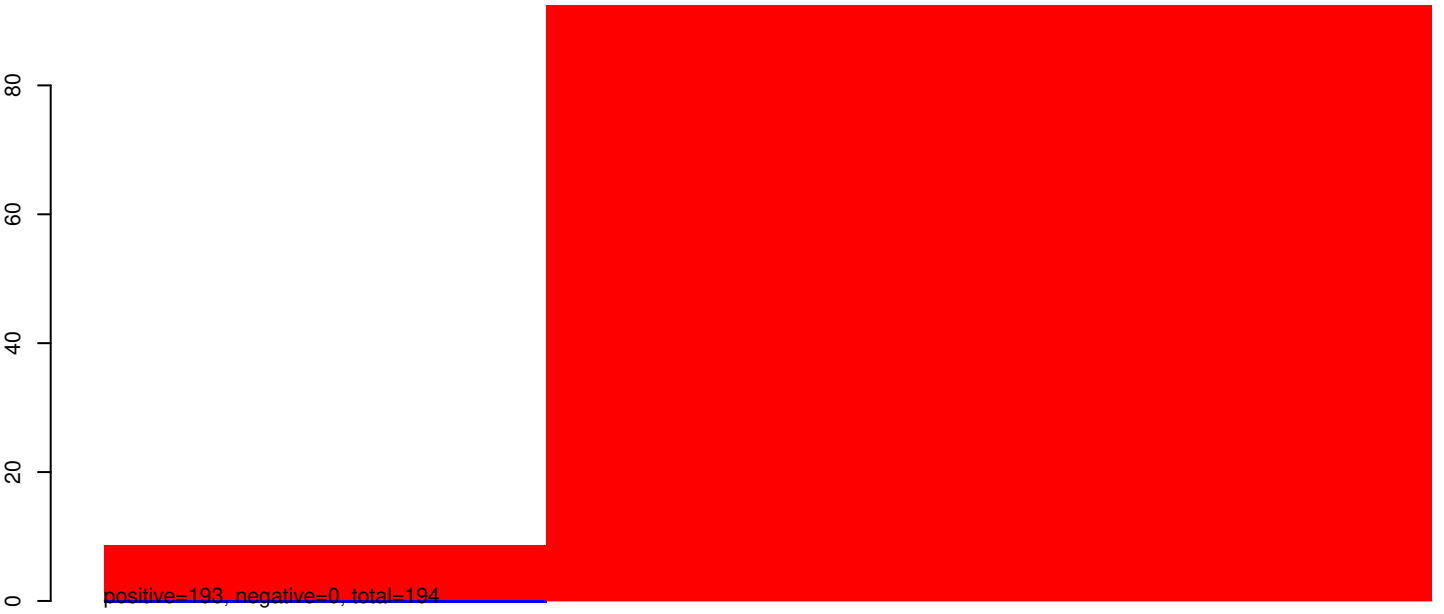
AeAeg_Whole_ZIKV_BM2_GP.24_35.rep



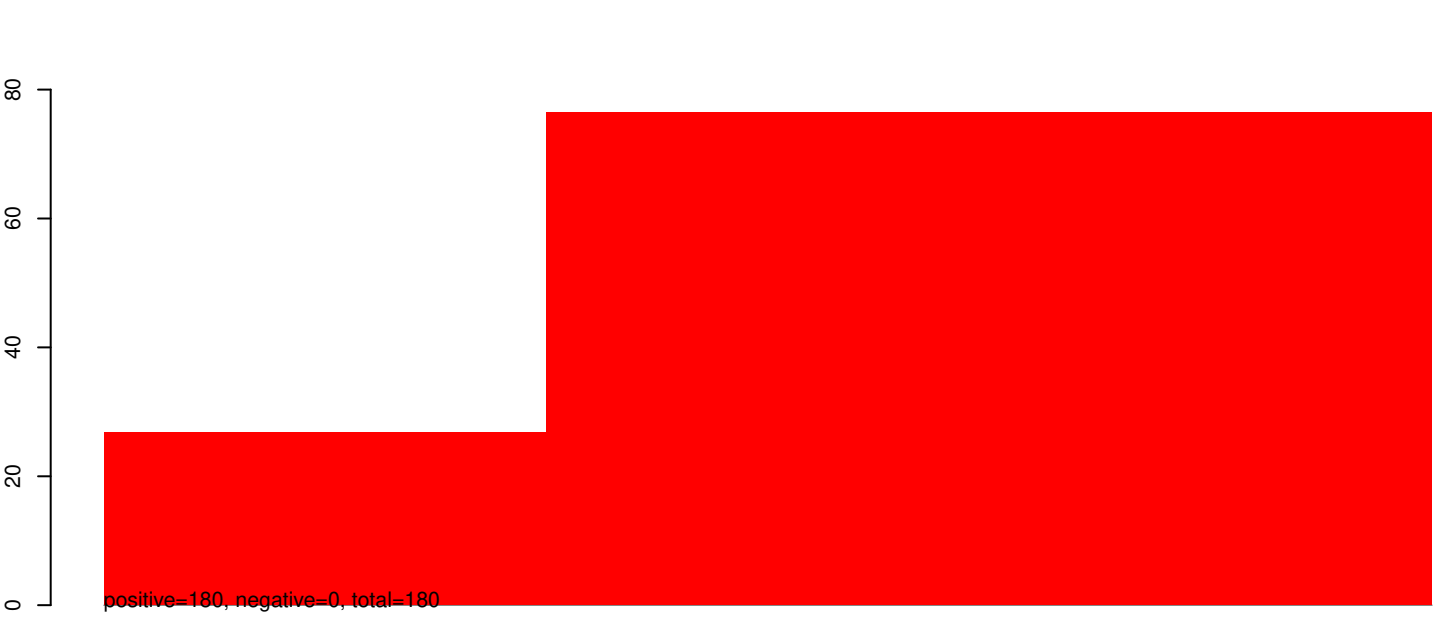
AeAeg_Whole_ZIKV_BM2_GP.rep



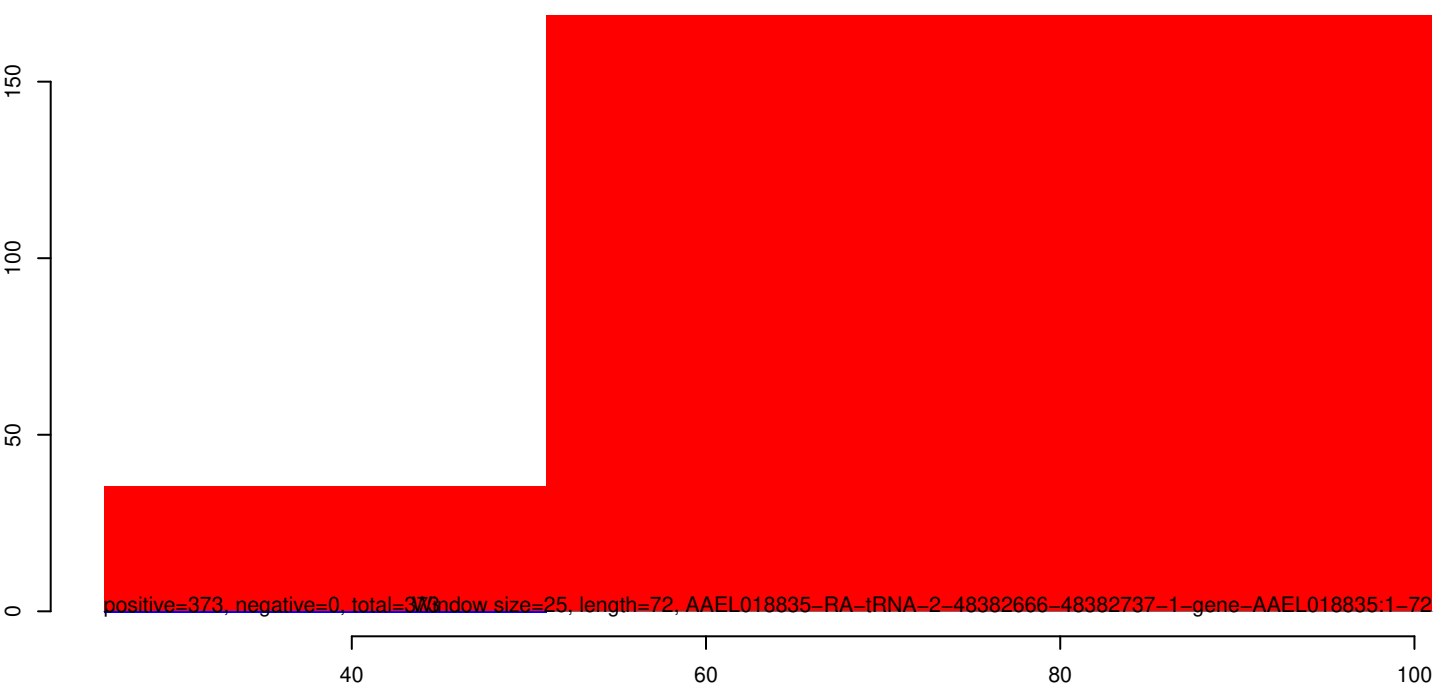
AeAeg_Whole_ZIKV_BM2_GP.18_23.rep



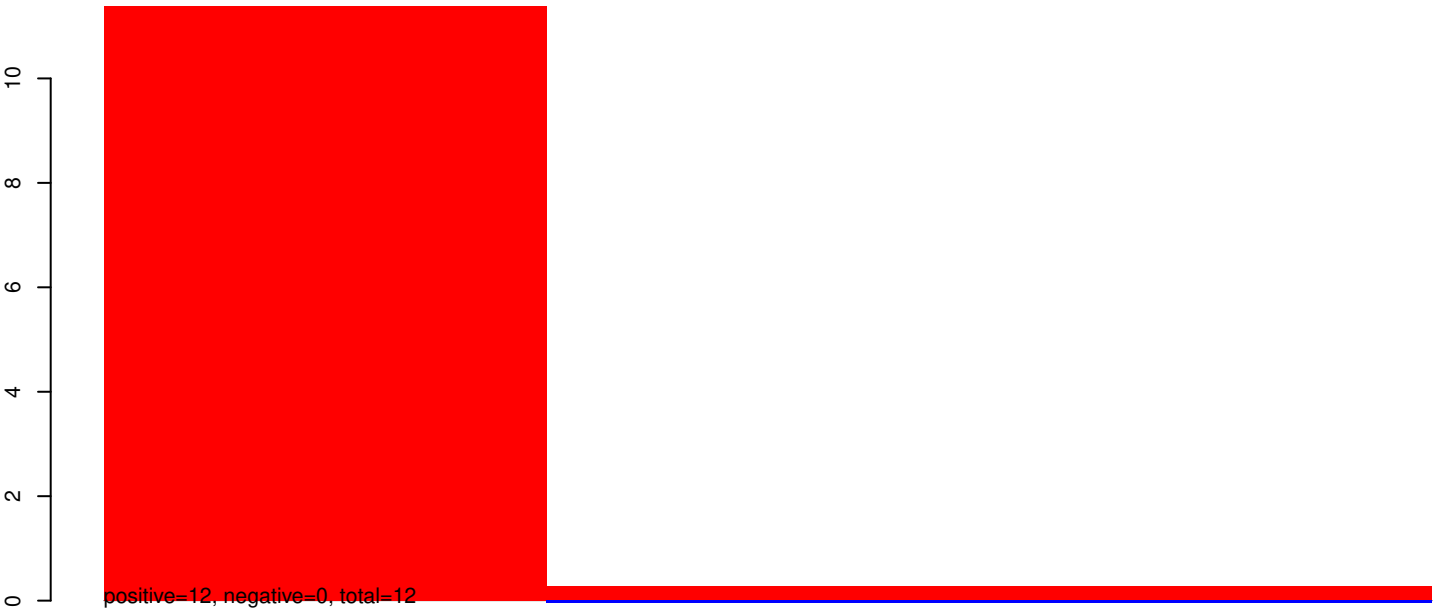
AeAeg_Whole_ZIKV_BM2_GP.24_35.rep



AeAeg_Whole_ZIKV_BM2_GP.rep



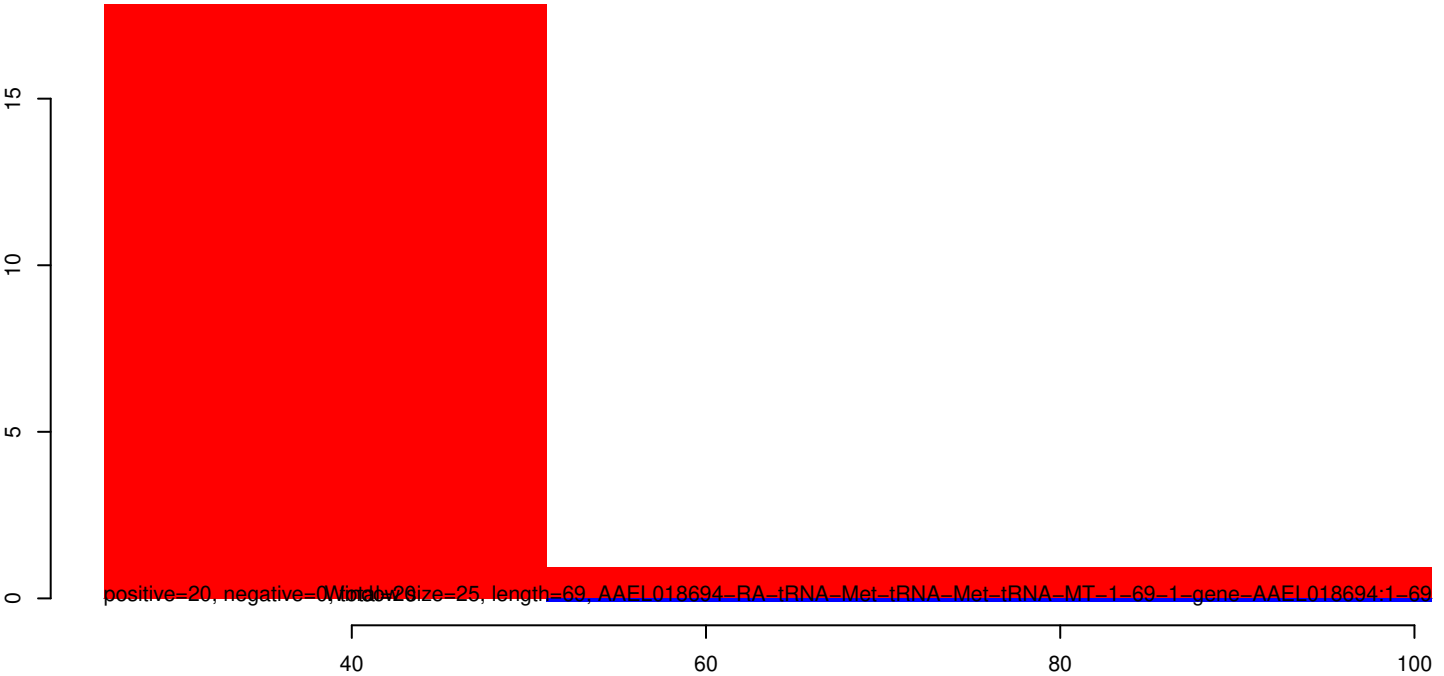
AeAeg_Whole_ZIKV_BM2_GP.18_23.rep



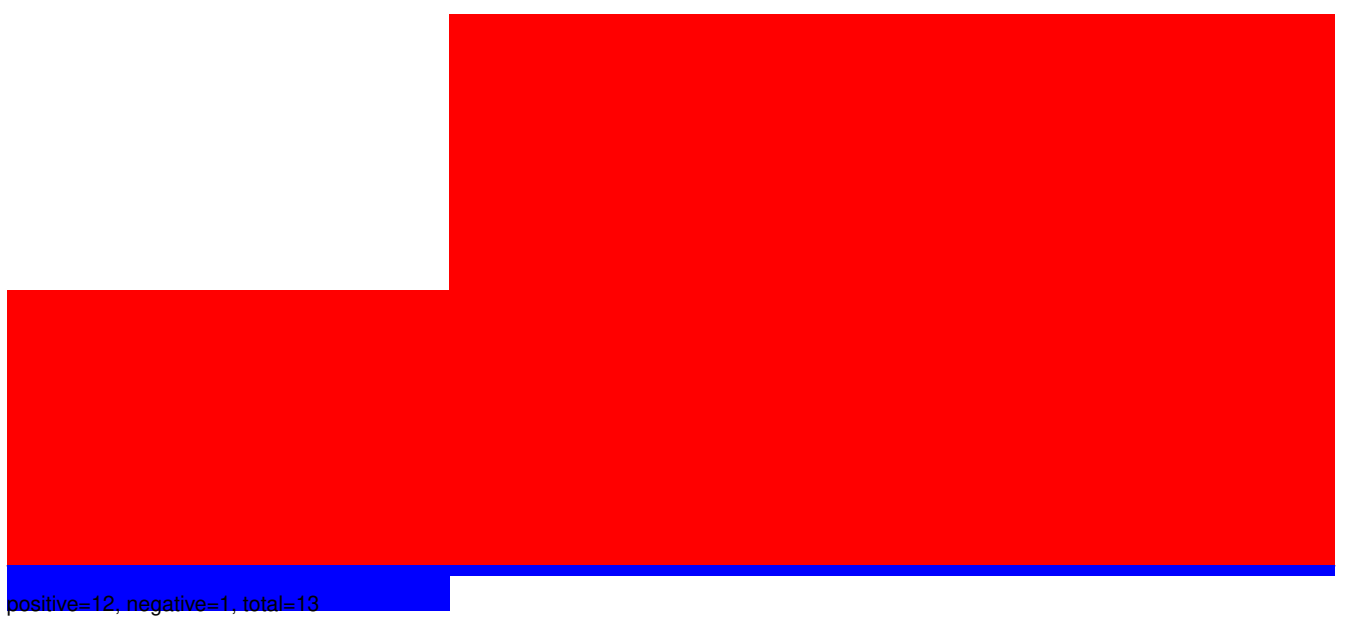
AeAeg_Whole_ZIKV_BM2_GP.24_35.rep



AeAeg_Whole_ZIKV_BM2_GP.rep



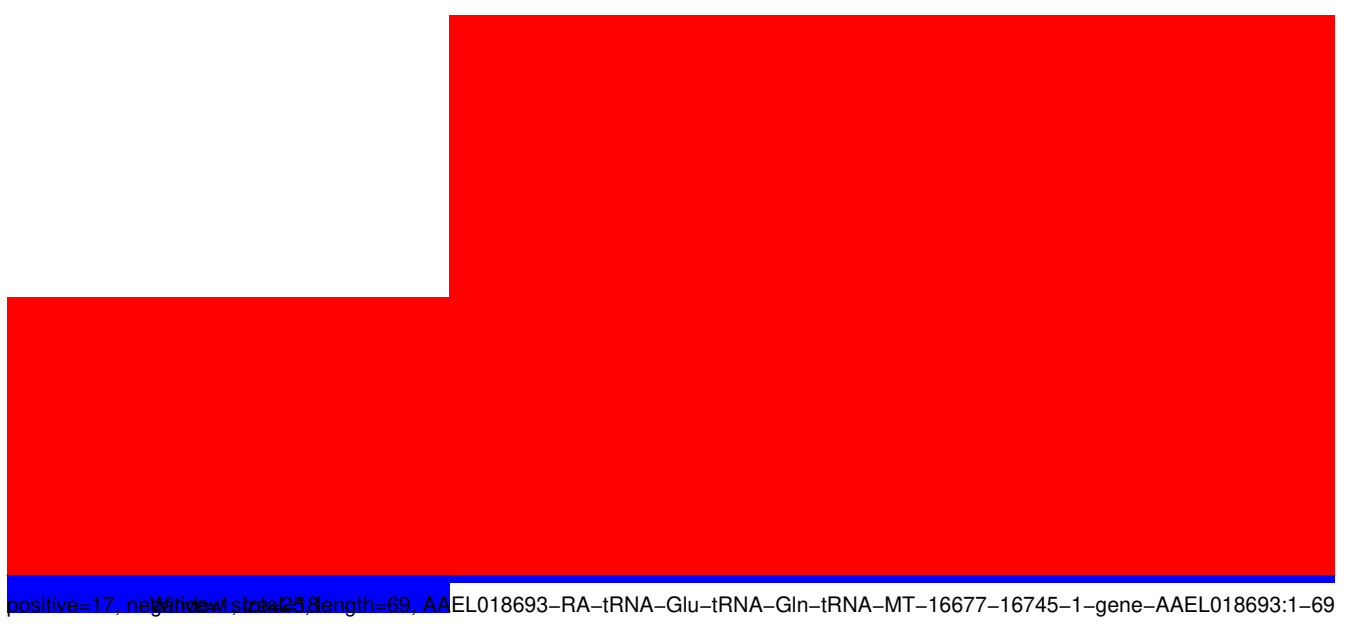
AeAeg_Whole_ZIKV_BM2_GP.18_23.rep



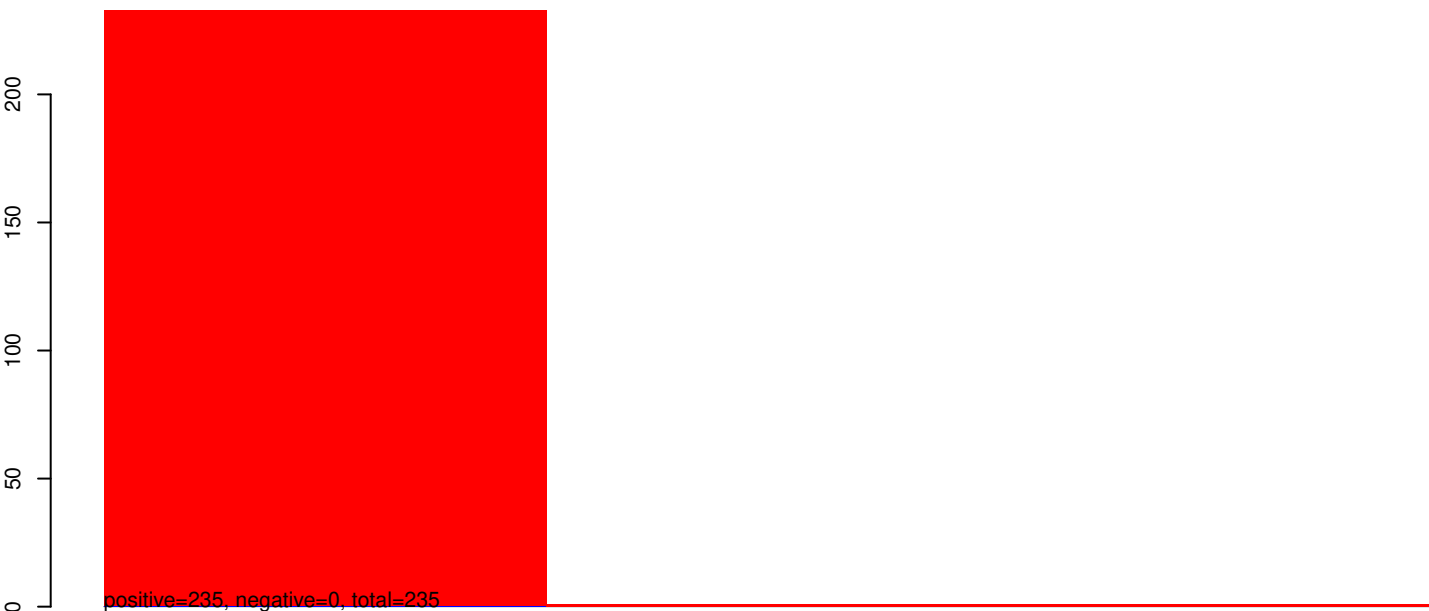
AeAeg_Whole_ZIKV_BM2_GP.24_35.rep



AeAeg_Whole_ZIKV_BM2_GP.rep



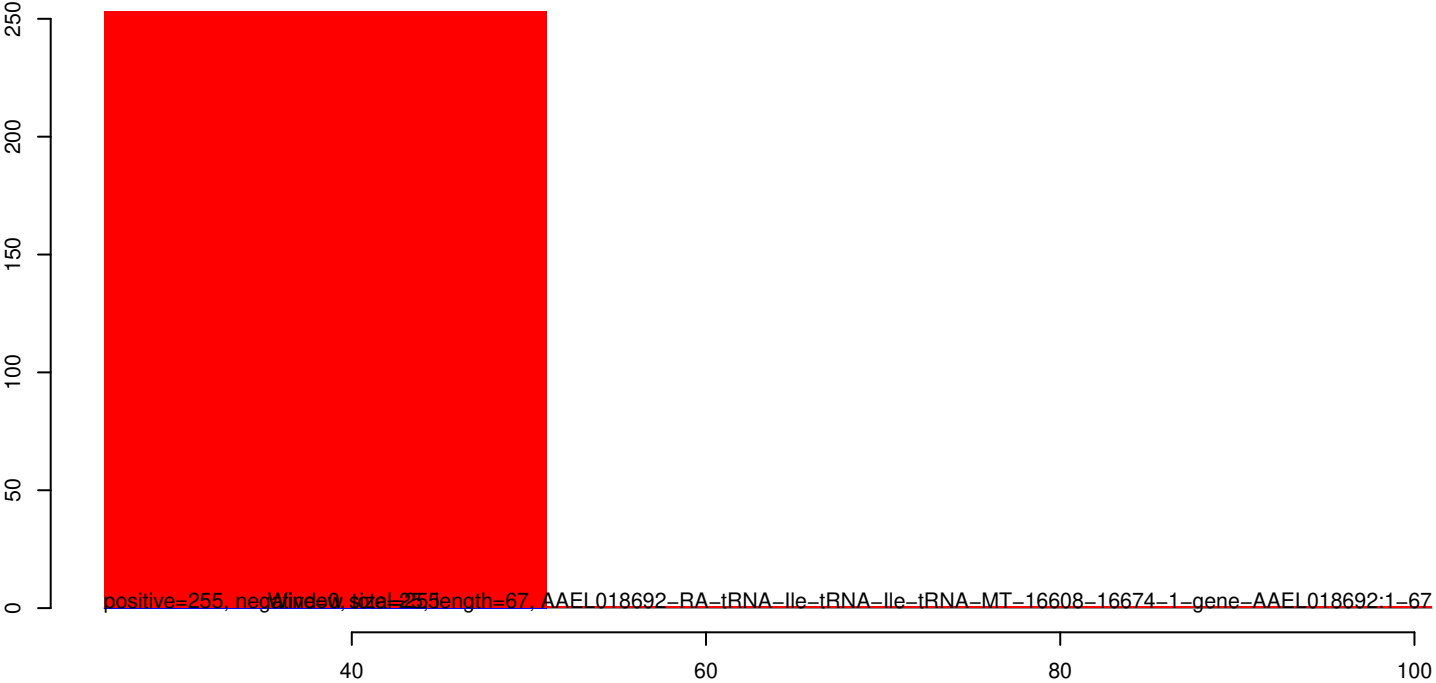
AeAeg_Whole_ZIKV_BM2_GP.18_23.rep



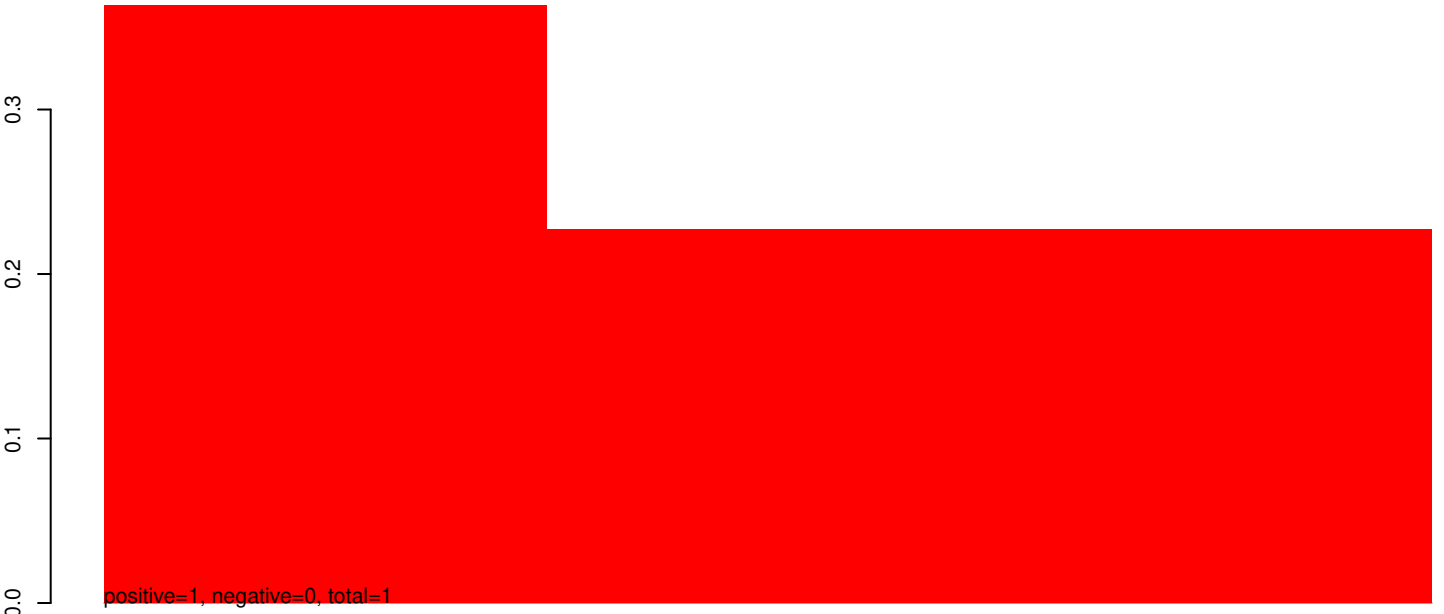
AeAeg_Whole_ZIKV_BM2_GP.24_35.rep



AeAeg_Whole_ZIKV_BM2_GP.rep



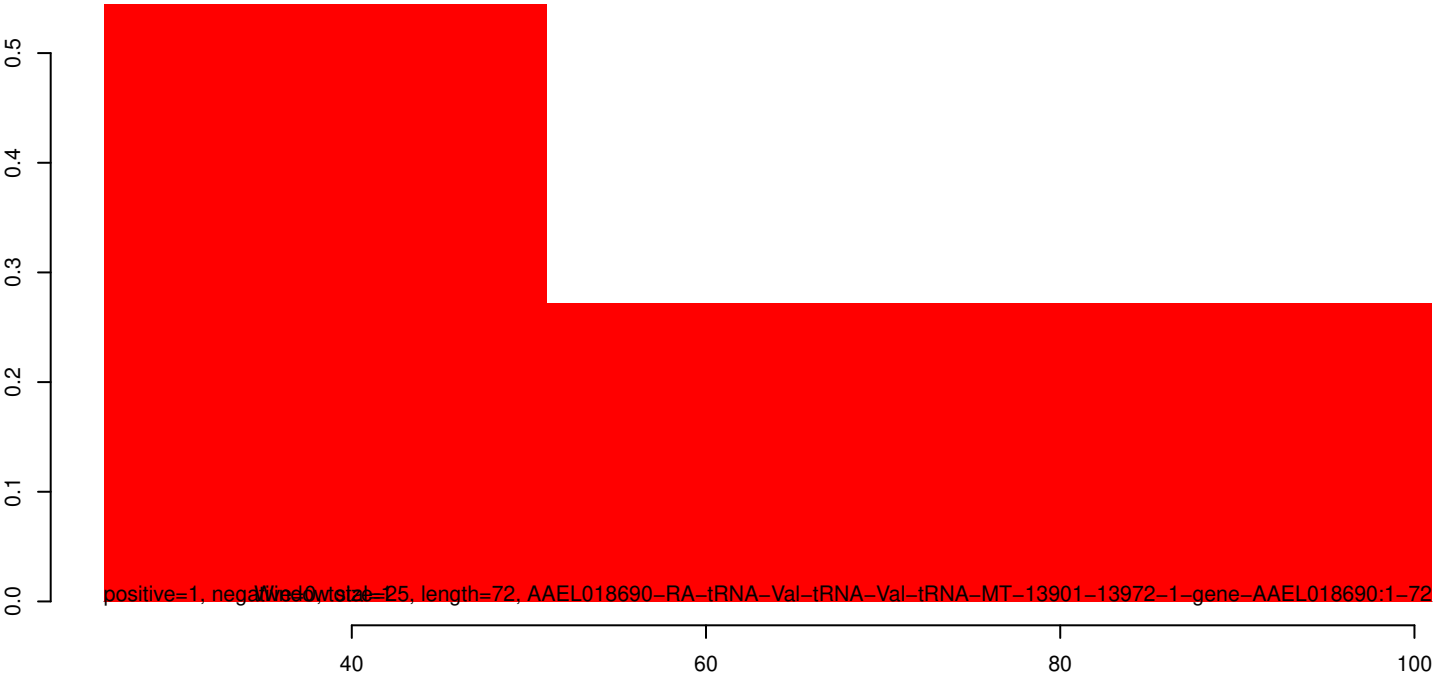
AeAeg_Whole_ZIKV_BM2_GP.18_23.rep



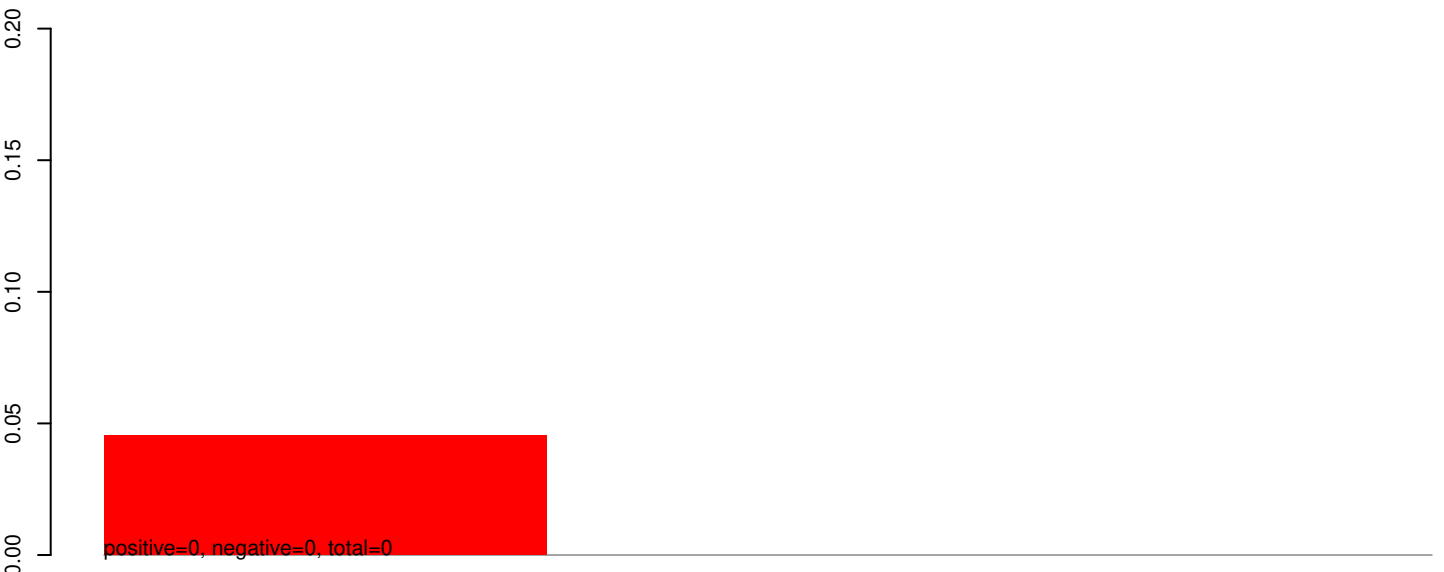
AeAeg_Whole_ZIKV_BM2_GP.24_35.rep



AeAeg_Whole_ZIKV_BM2_GP.rep



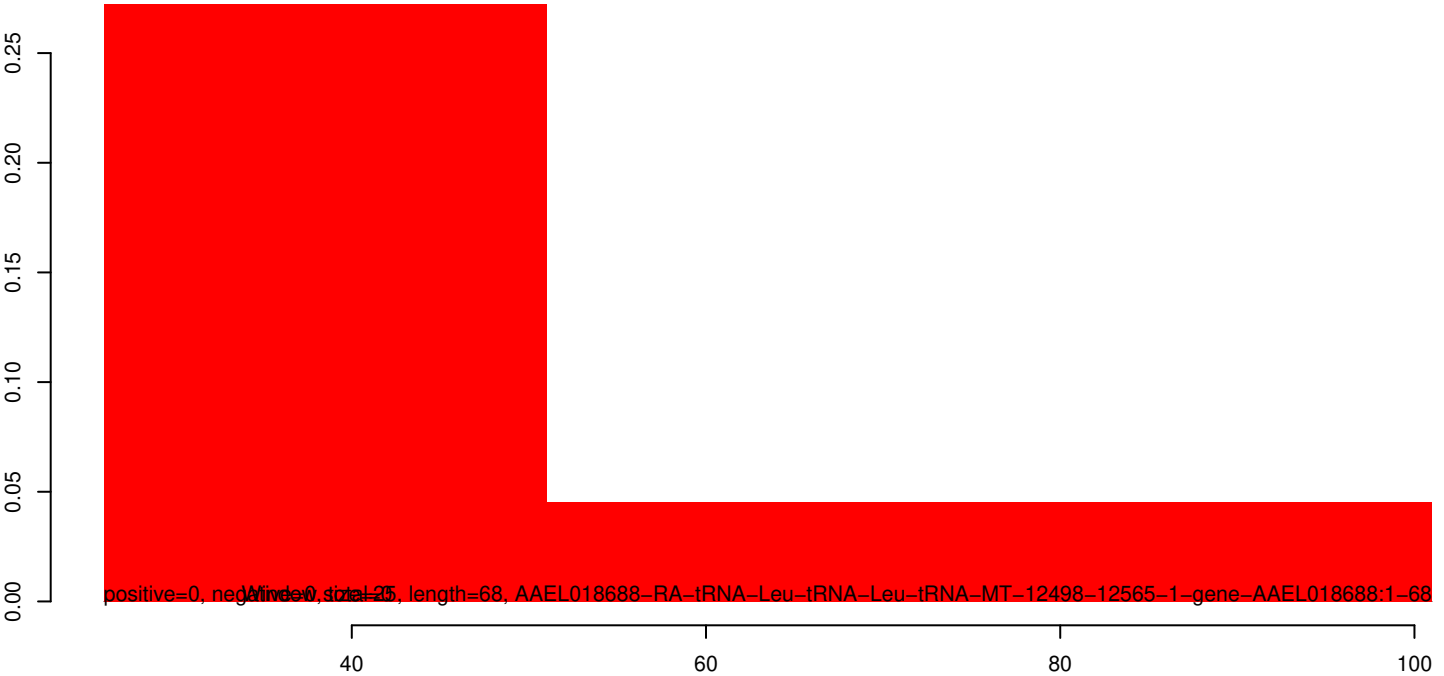
AeAeg_Whole_ZIKV_BM2_GP.18_23.rep



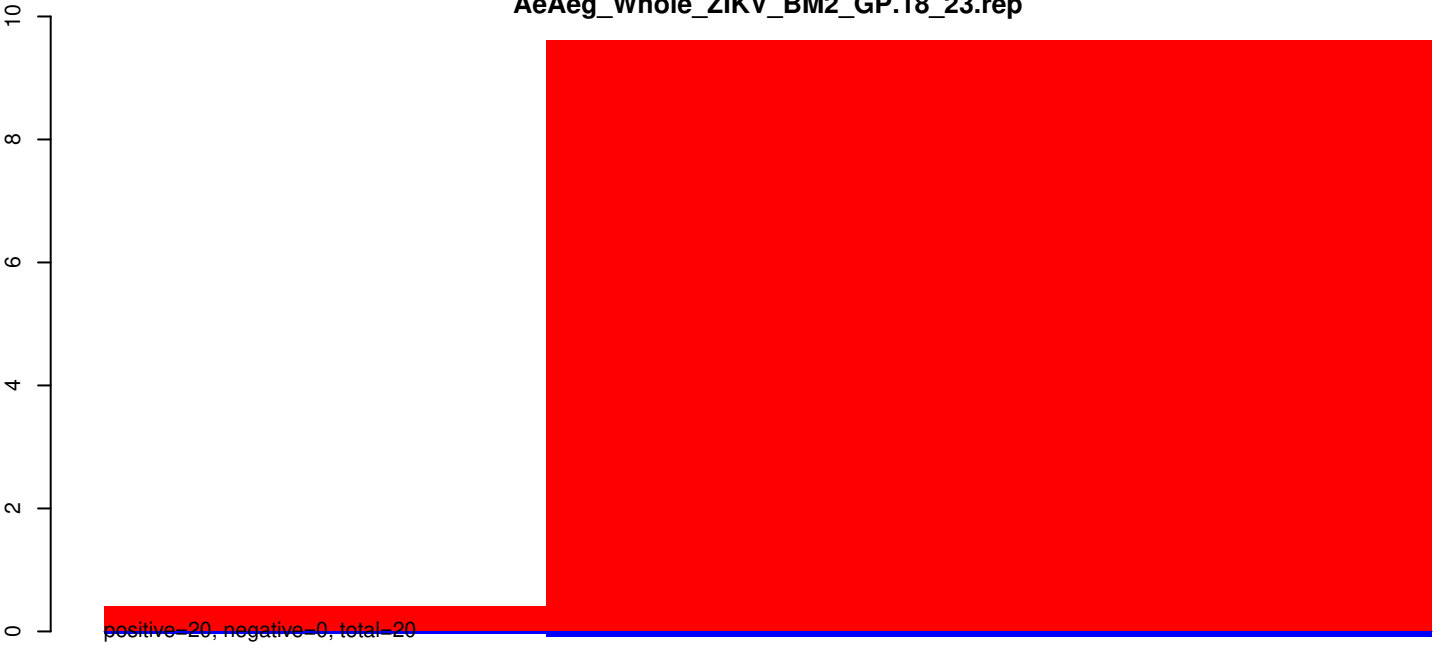
AeAeg_Whole_ZIKV_BM2_GP.24_35.rep



AeAeg_Whole_ZIKV_BM2_GP.rep



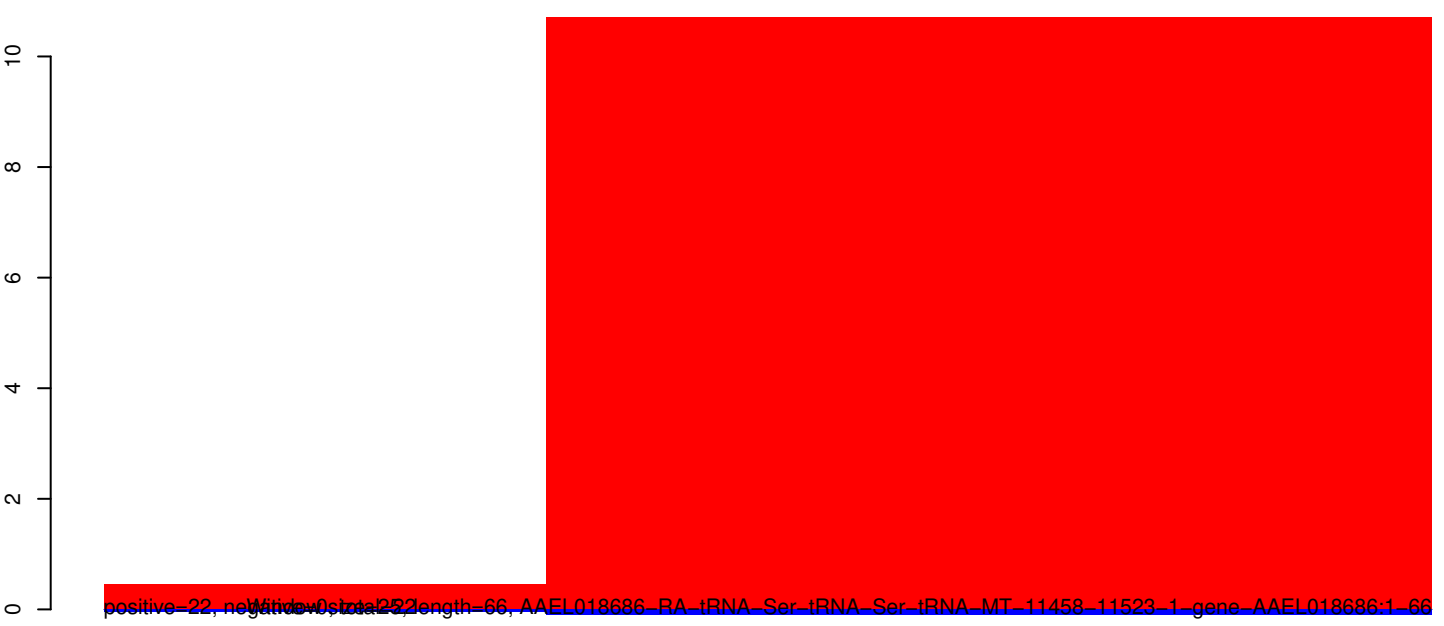
AeAeg_Whole_ZIKV_BM2_GP.18_23.rep



AeAeg_Whole_ZIKV_BM2_GP.24_35.rep

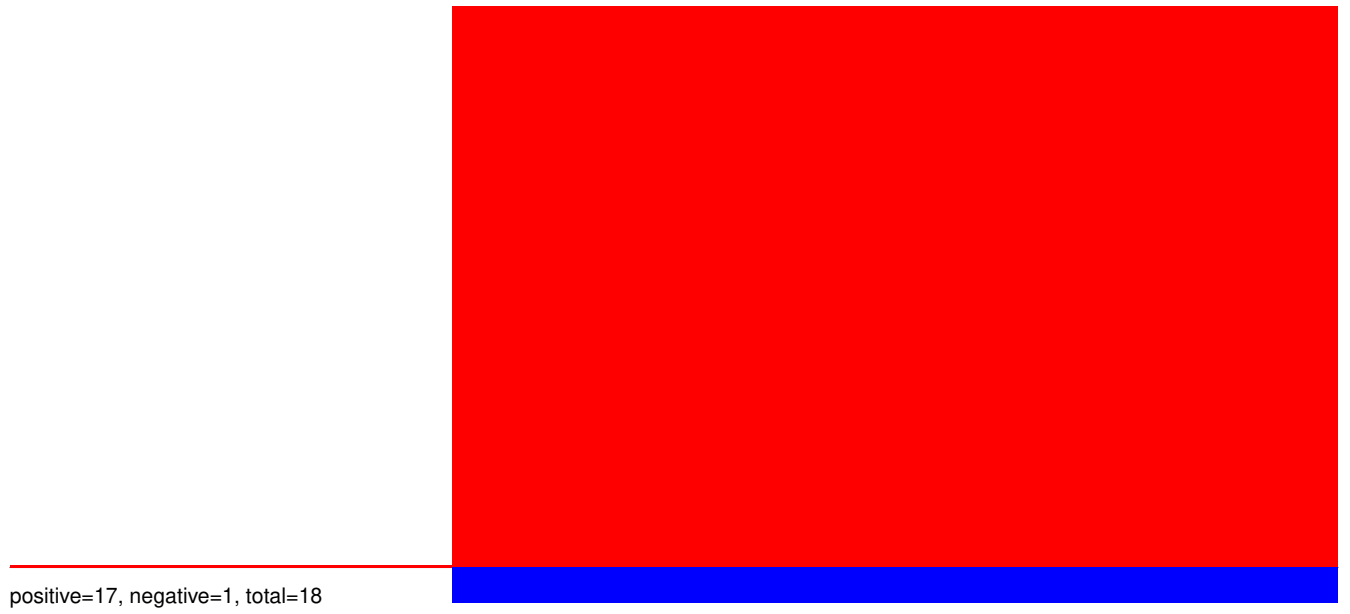


AeAeg_Whole_ZIKV_BM2_GP.rep



40 60 80 100

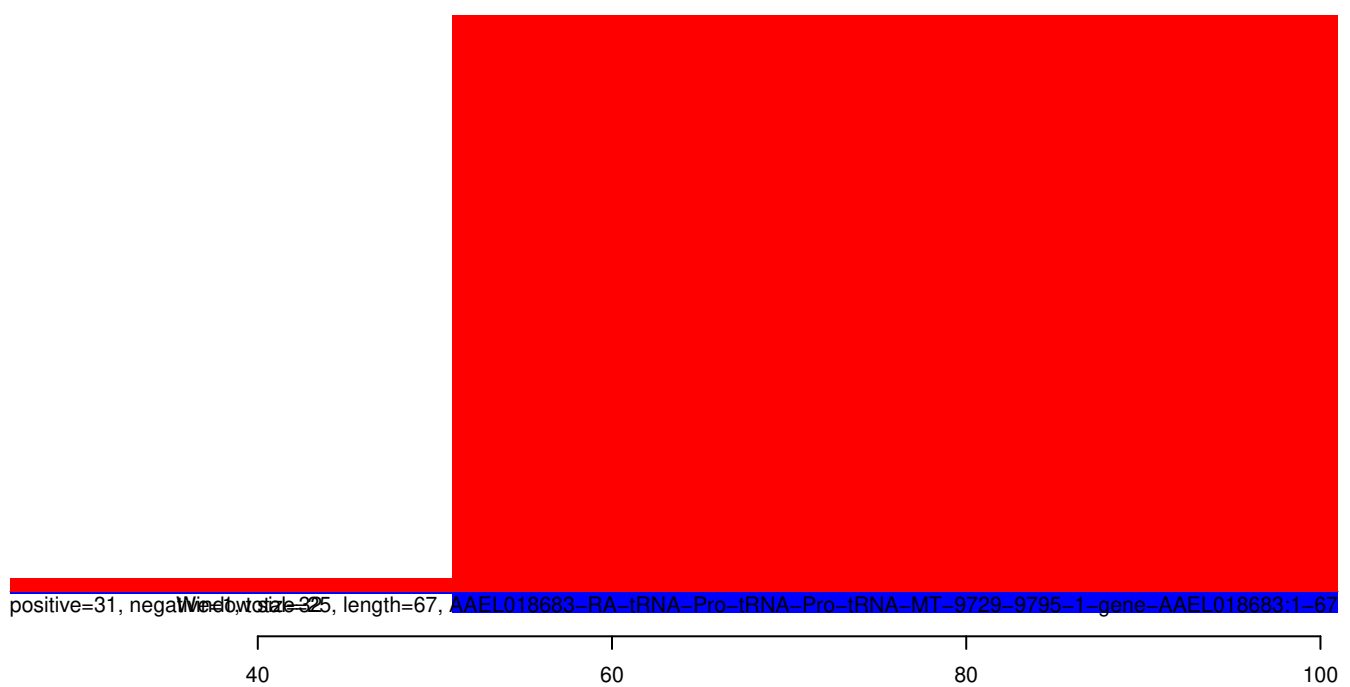
AeAeg_Whole_ZIKV_BM2_GP.18_23.rep



AeAeg_Whole_ZIKV_BM2_GP.24_35.rep



AeAeg_Whole_ZIKV_BM2_GP.rep



AeAeg_Whole_ZIKV_BM2_GP.18_23.rep



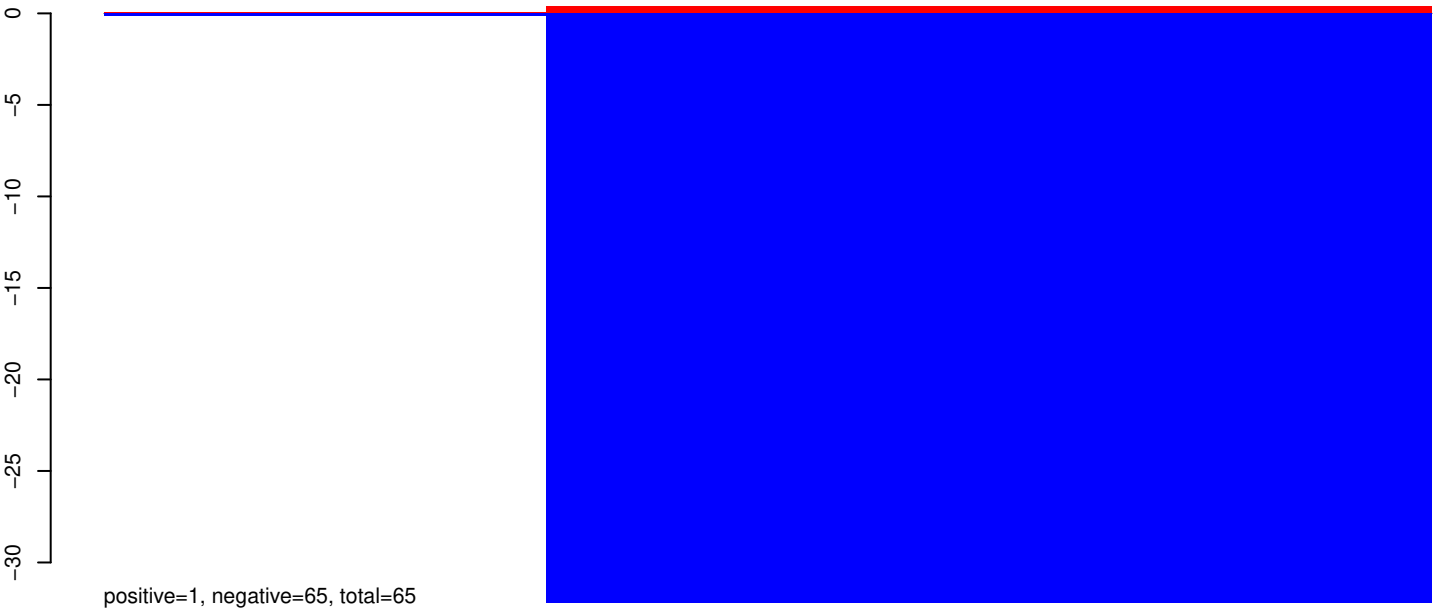
AeAeg_Whole_ZIKV_BM2_GP.24_35.rep



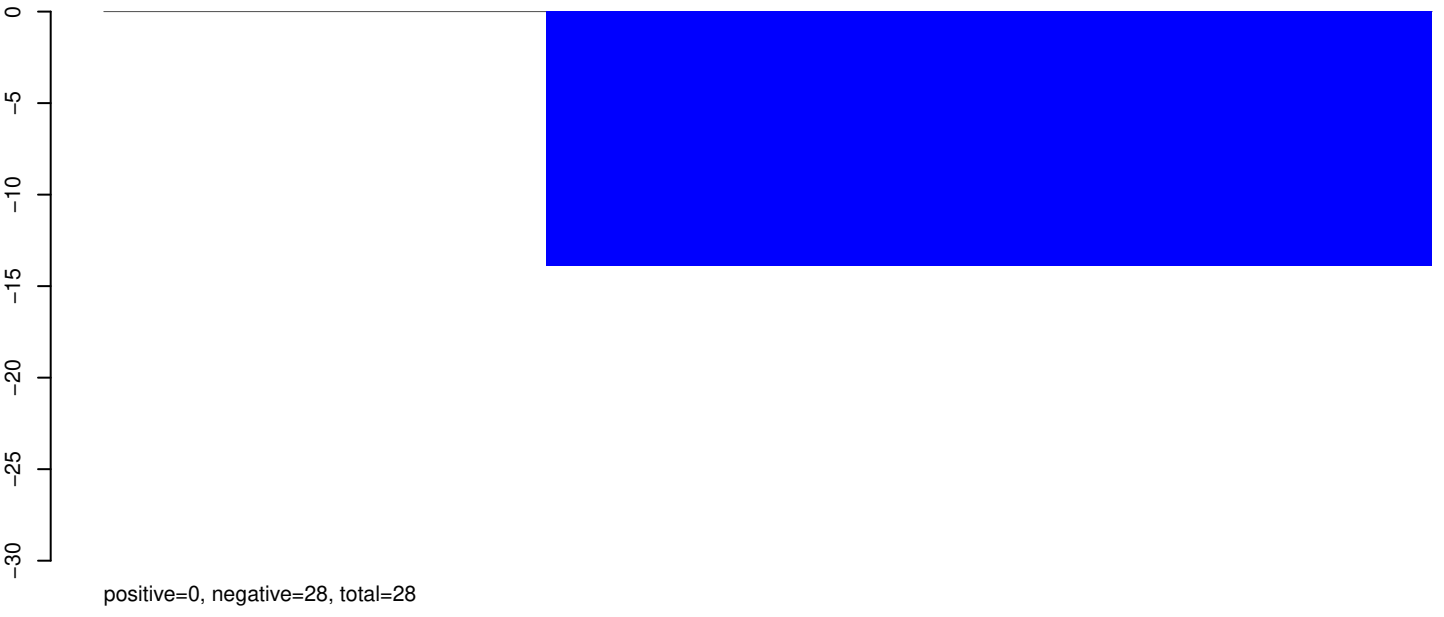
AeAeg_Whole_ZIKV_BM2_GP.rep



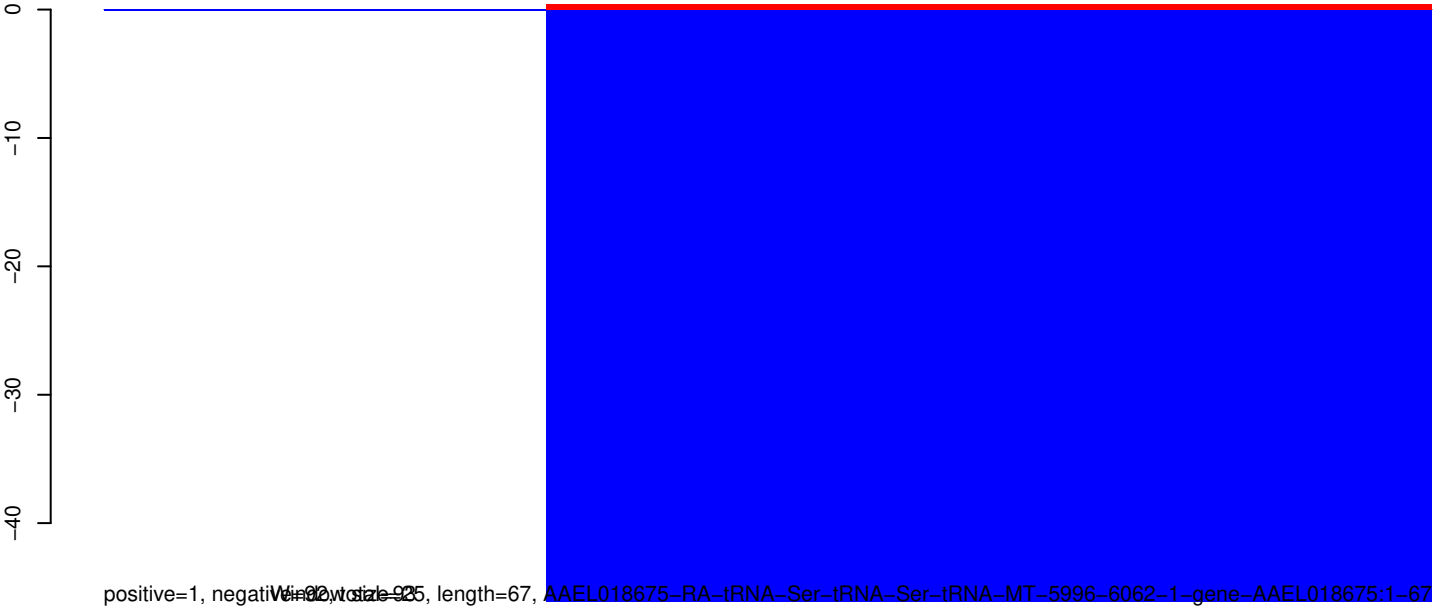
AeAeg_Whole_ZIKV_BM2_GP.18_23.rep



AeAeg_Whole_ZIKV_BM2_GP.24_35.rep



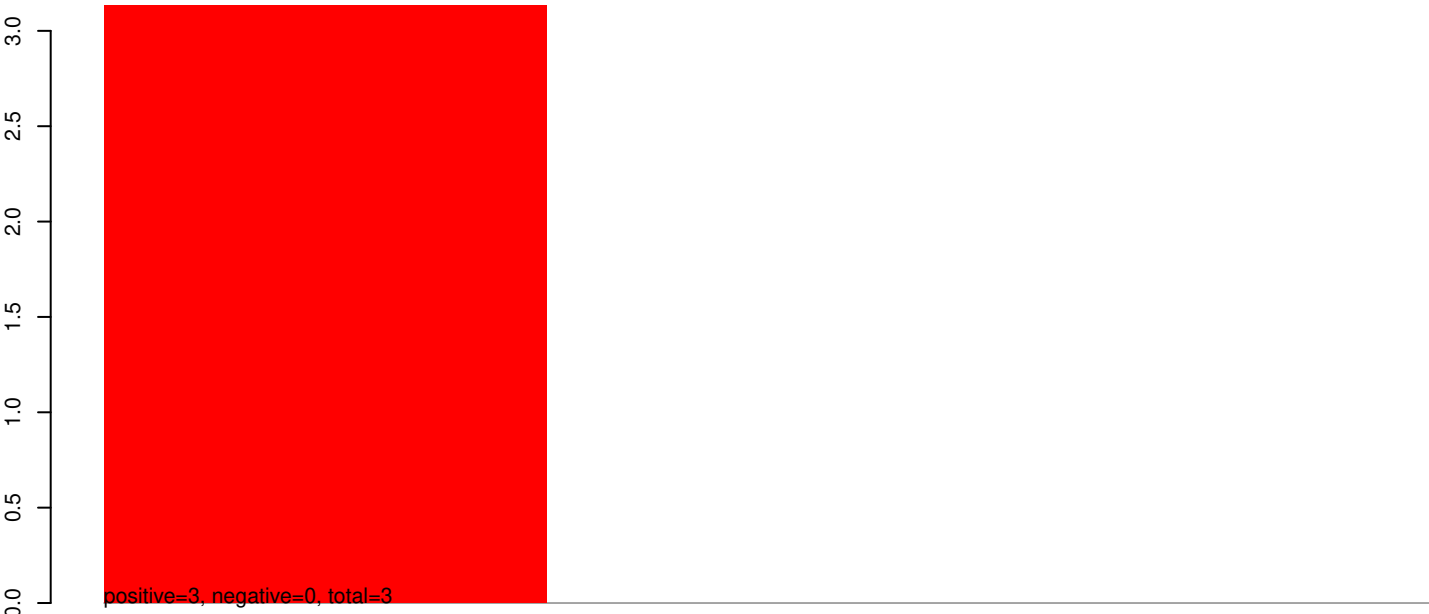
AeAeg_Whole_ZIKV_BM2_GP.rep



AAEL018675-RA-tRNA-Ser-tRNA-Ser-tRNA-MT-5996-6062-1-gene-AAEL018675:1-67

40 60 80 100

AeAeg_Whole_ZIKV_BM2_GP.18_23.rep



AeAeg_Whole_ZIKV_BM2_GP.24_35.rep



AeAeg_Whole_ZIKV_BM2_GP.rep

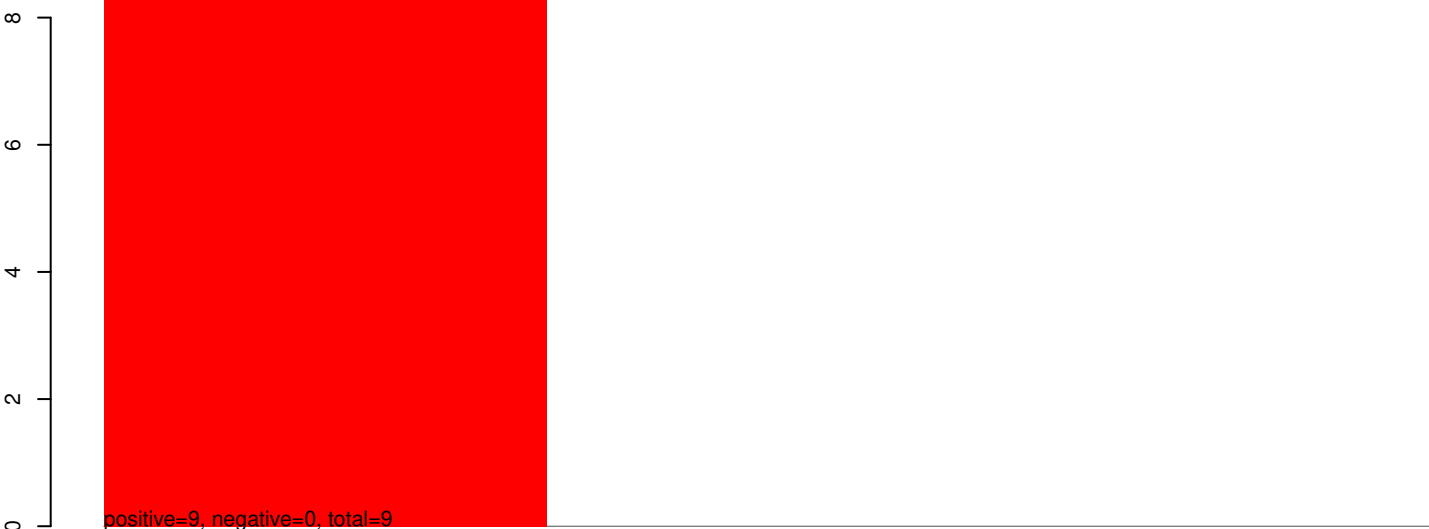


Window size=25, length=70, AAEL018674-RA-tRNA-Asn-tRNA-Asn-tRNA-MT-5925-5994-1-gene-AAEL018674:1-70

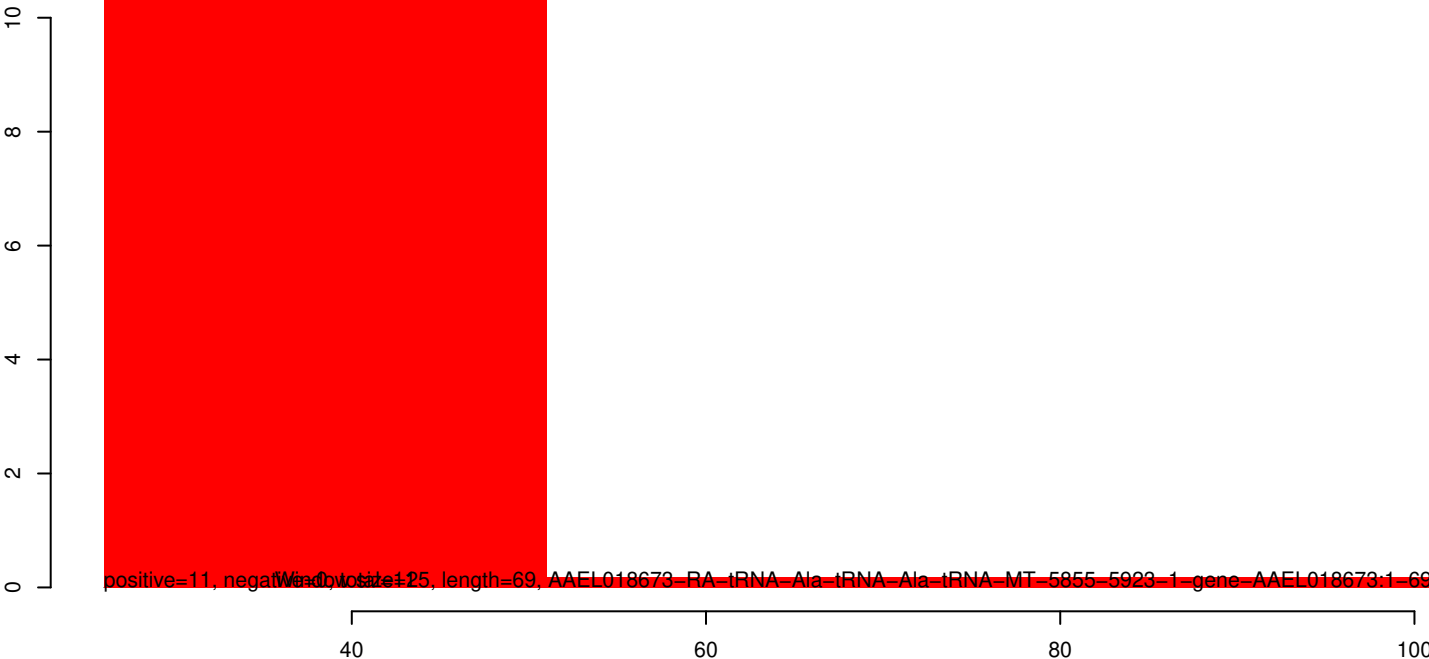
AeAeg_Whole_ZIKV_BM2_GP.18_23.rep



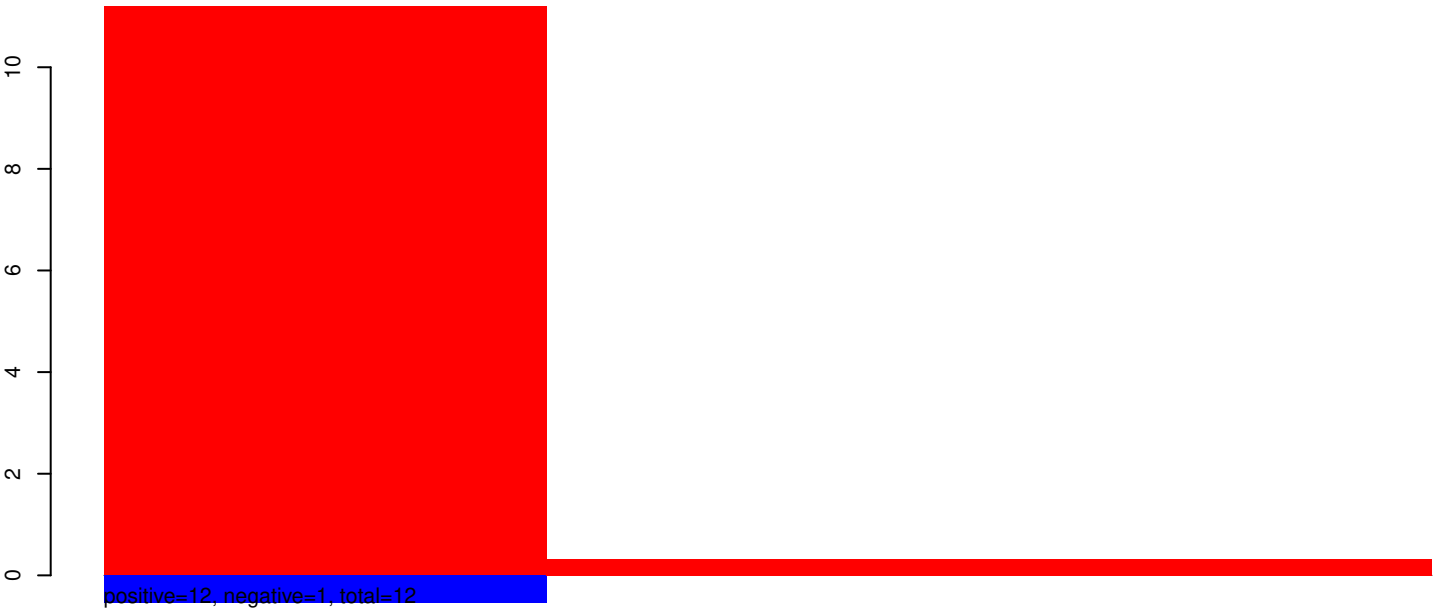
AeAeg_Whole_ZIKV_BM2_GP.24_35.rep



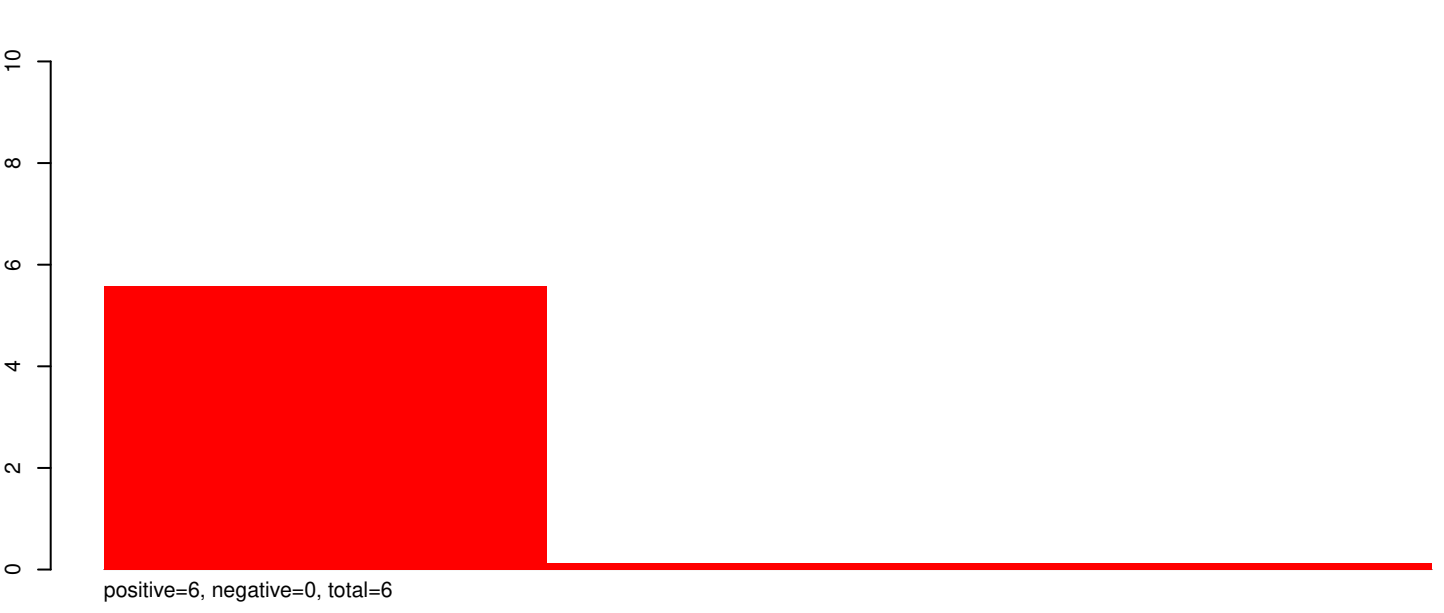
AeAeg_Whole_ZIKV_BM2_GP.rep



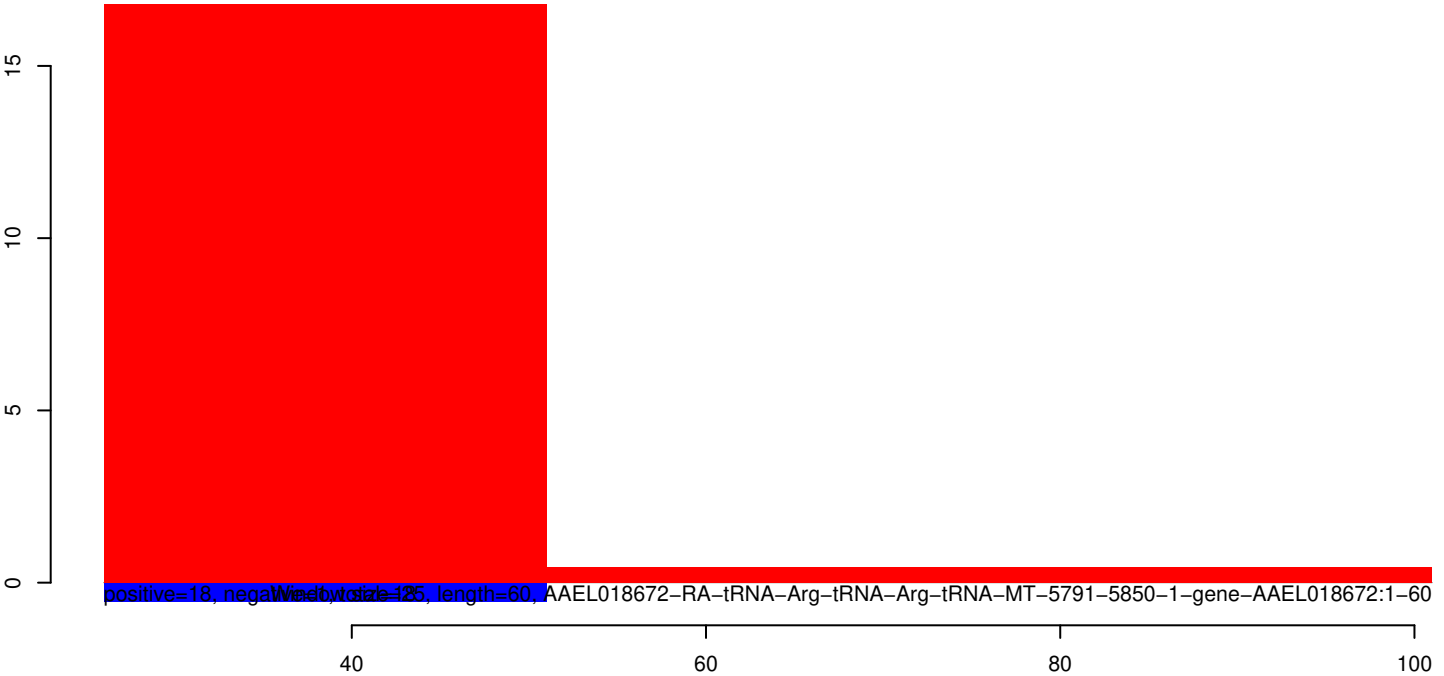
AeAeg_Whole_ZIKV_BM2_GP.18_23.rep



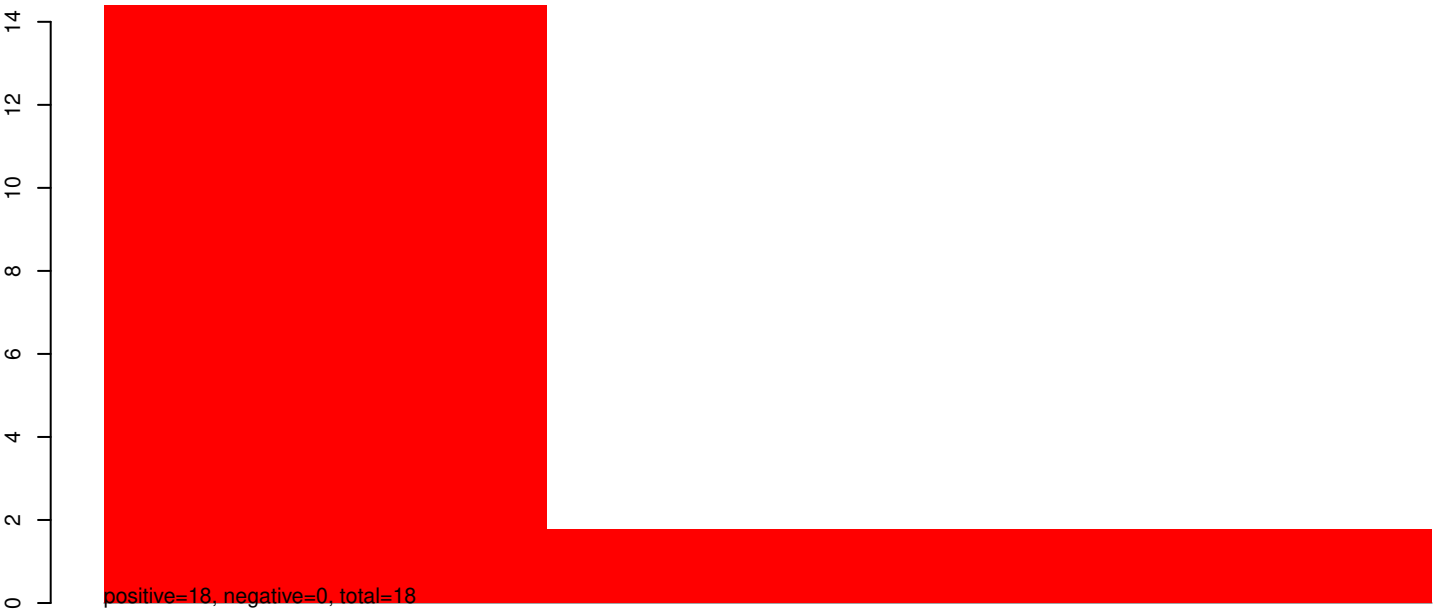
AeAeg_Whole_ZIKV_BM2_GP.24_35.rep



AeAeg_Whole_ZIKV_BM2_GP.rep



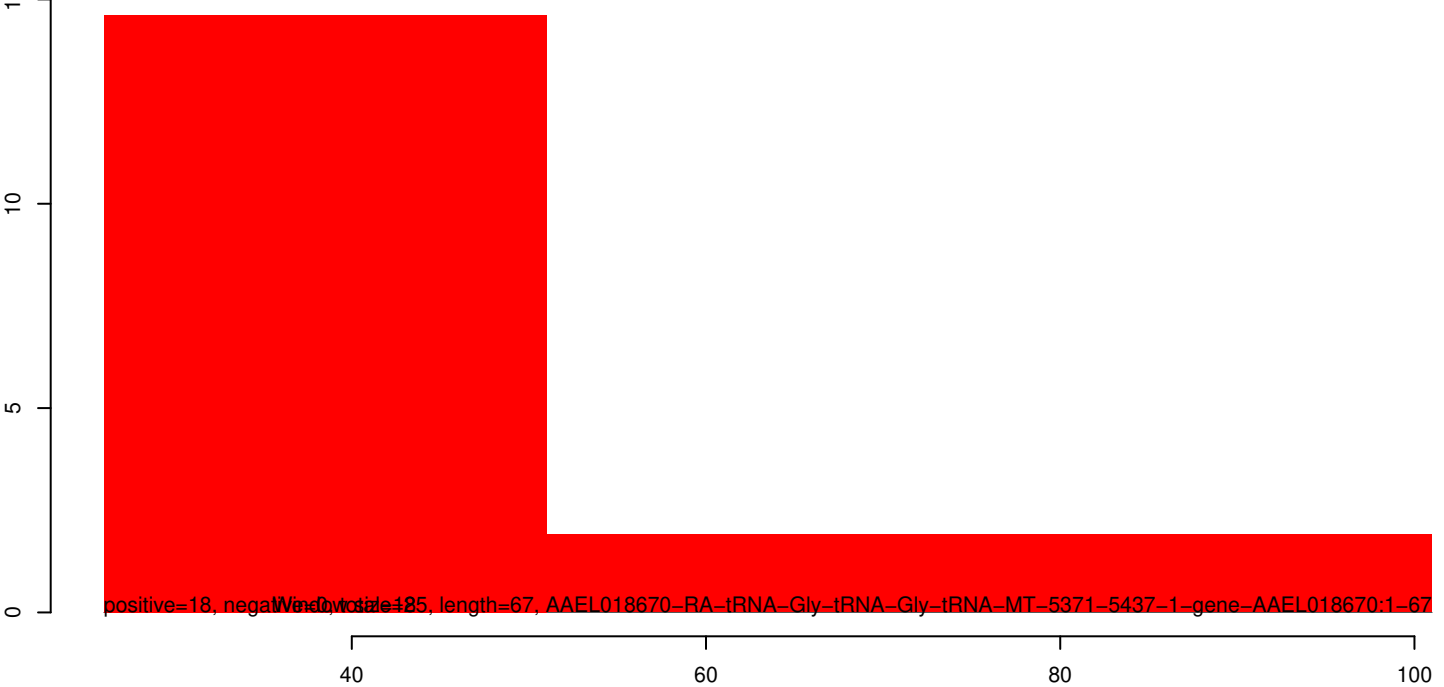
AeAeg_Whole_ZIKV_BM2_GP.18_23.rep



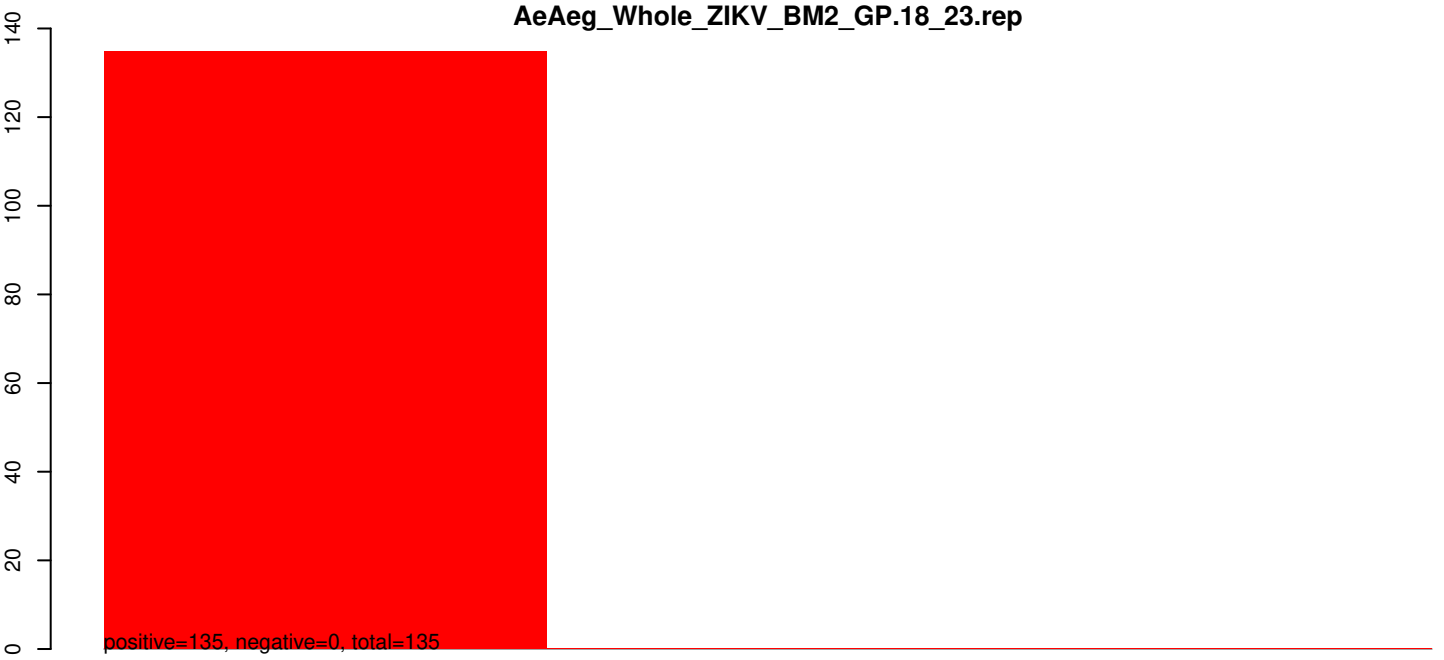
AeAeg_Whole_ZIKV_BM2_GP.24_35.rep



AeAeg_Whole_ZIKV_BM2_GP.rep



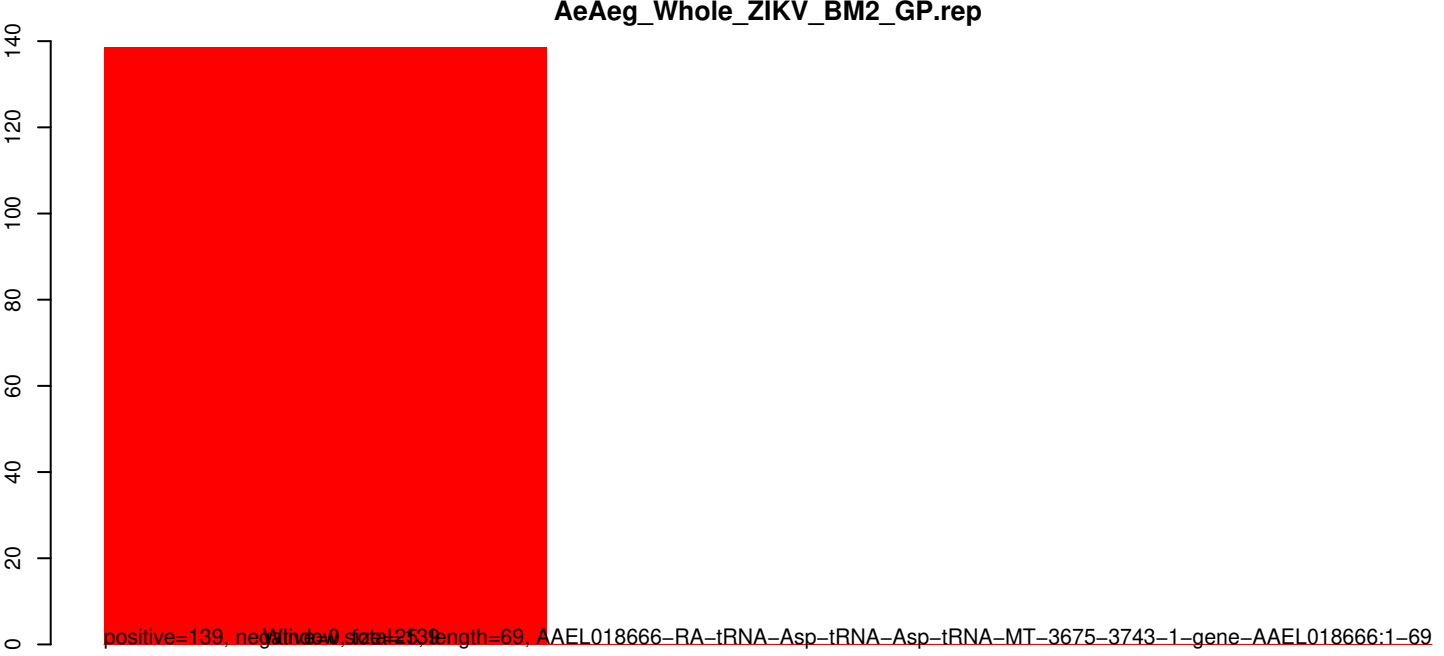
AeAeg_Whole_ZIKV_BM2_GP.18_23.rep



AeAeg_Whole_ZIKV_BM2_GP.24_35.rep



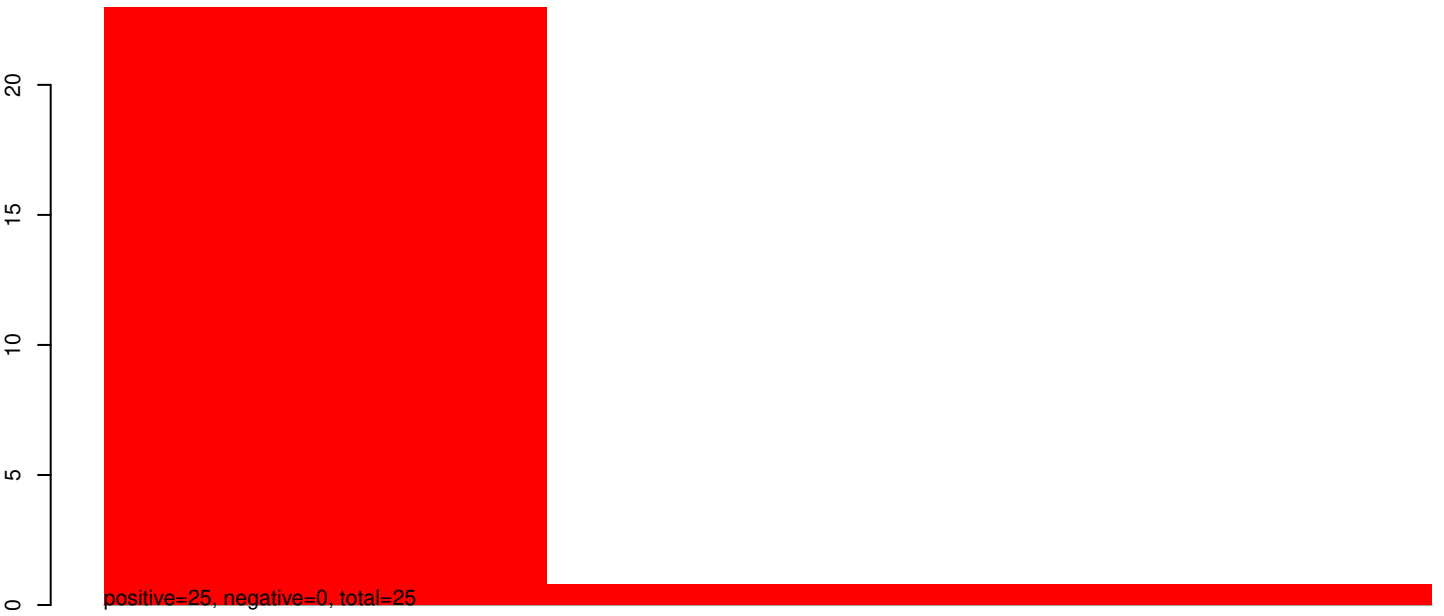
AeAeg_Whole_ZIKV_BM2_GP.rep



Window size=253 length=69, AAEL018666-RA-tRNA-Asp-tRNA-Asp-tRNA-MT-3675-3743-1-gene-AAEL018666:1-69

40 60 80 100

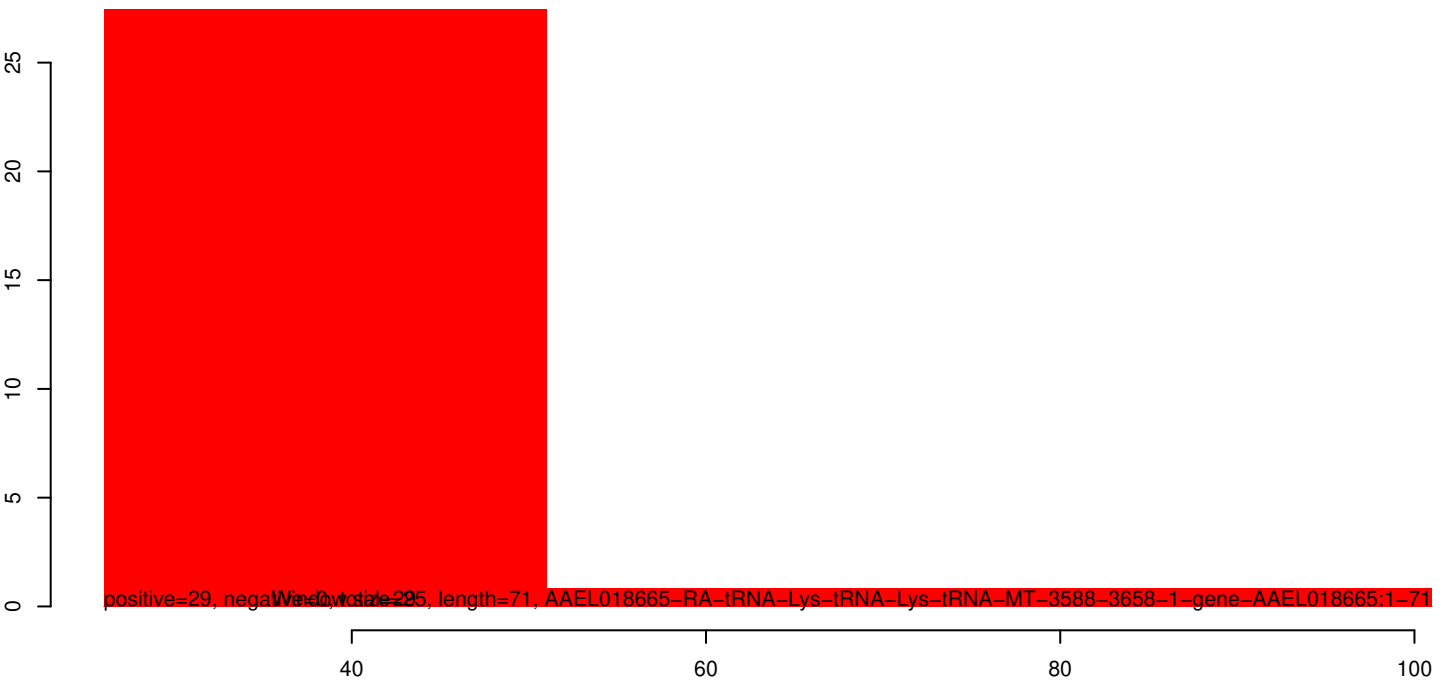
AeAeg_Whole_ZIKV_BM2_GP.18_23.rep



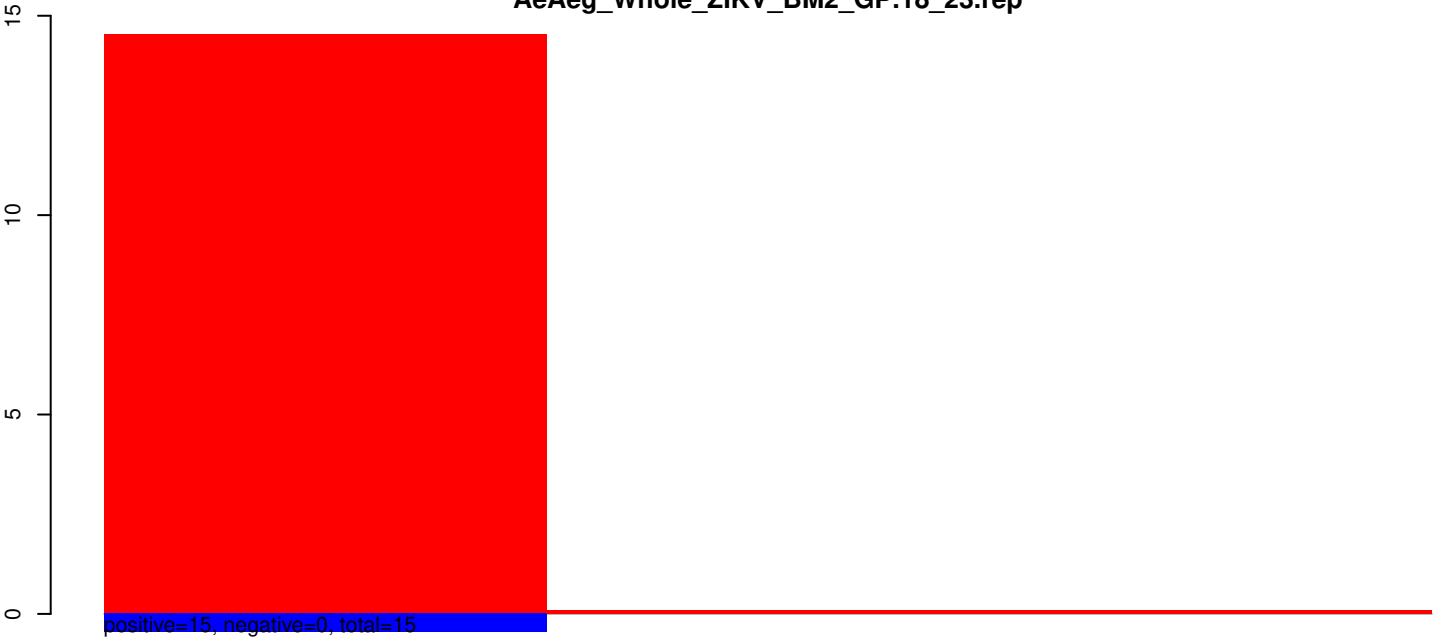
AeAeg_Whole_ZIKV_BM2_GP.24_35.rep



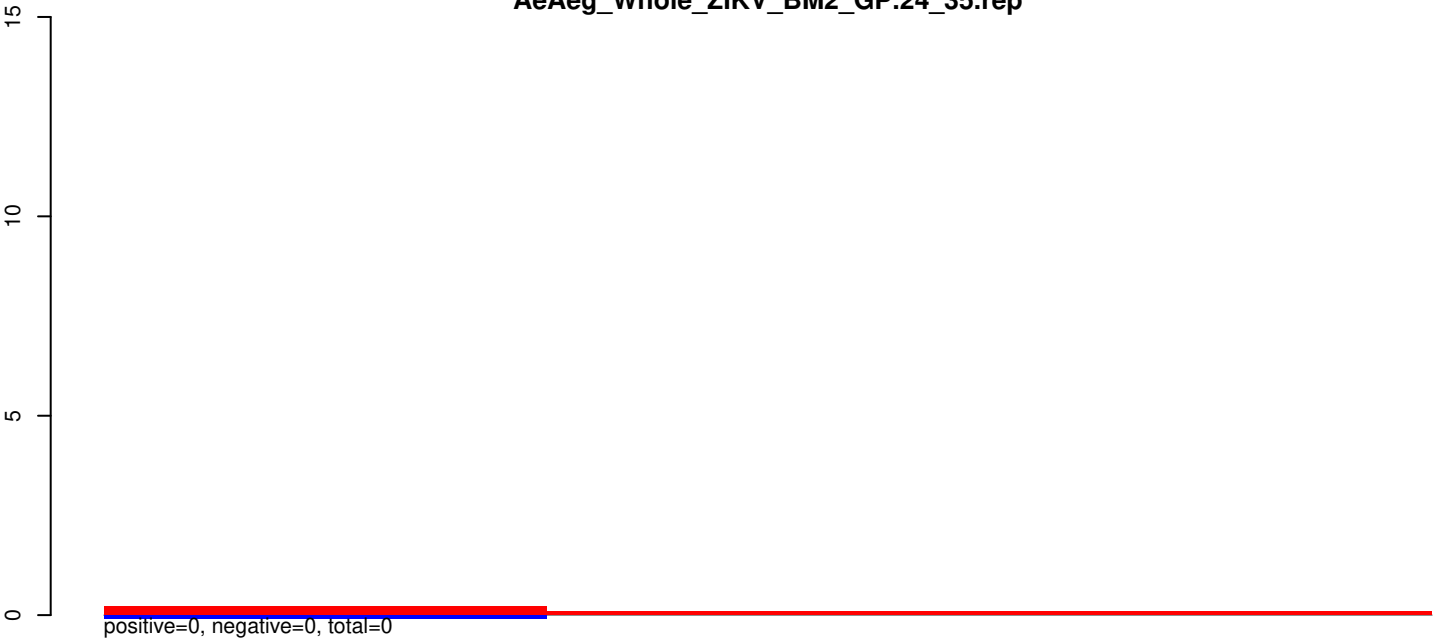
AeAeg_Whole_ZIKV_BM2_GP.rep



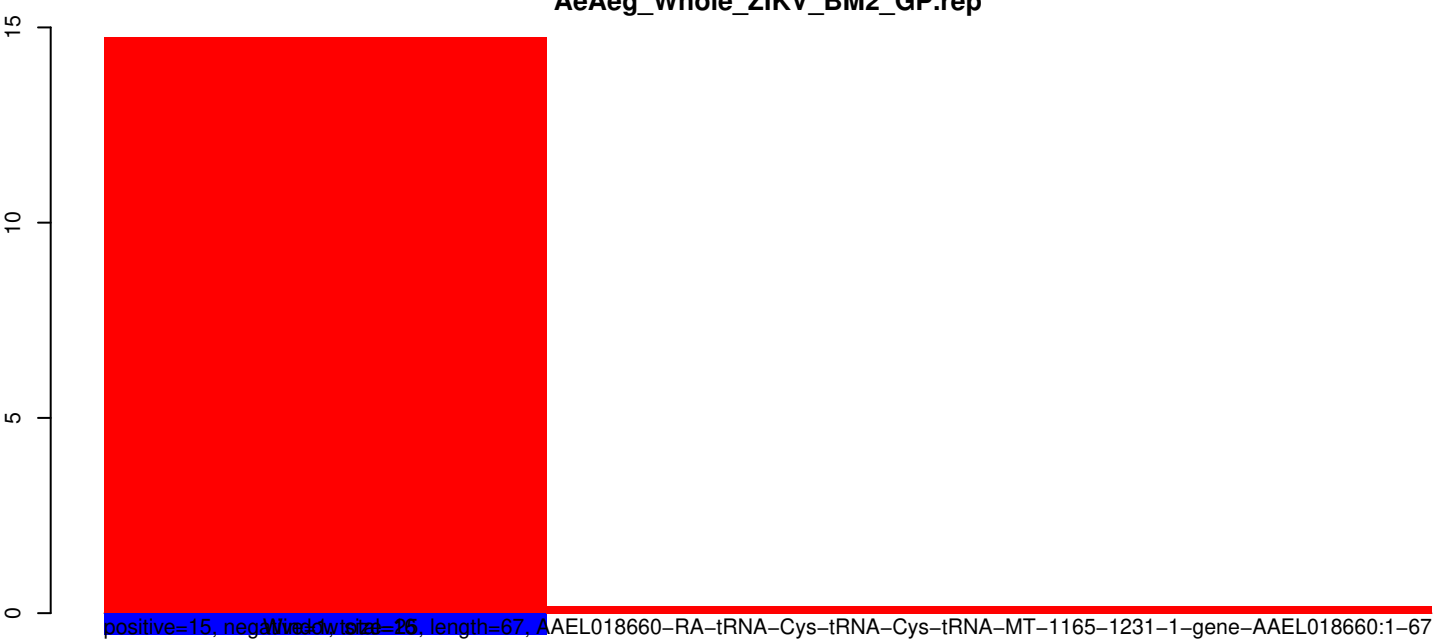
AeAeg_Whole_ZIKV_BM2_GP.18_23.rep



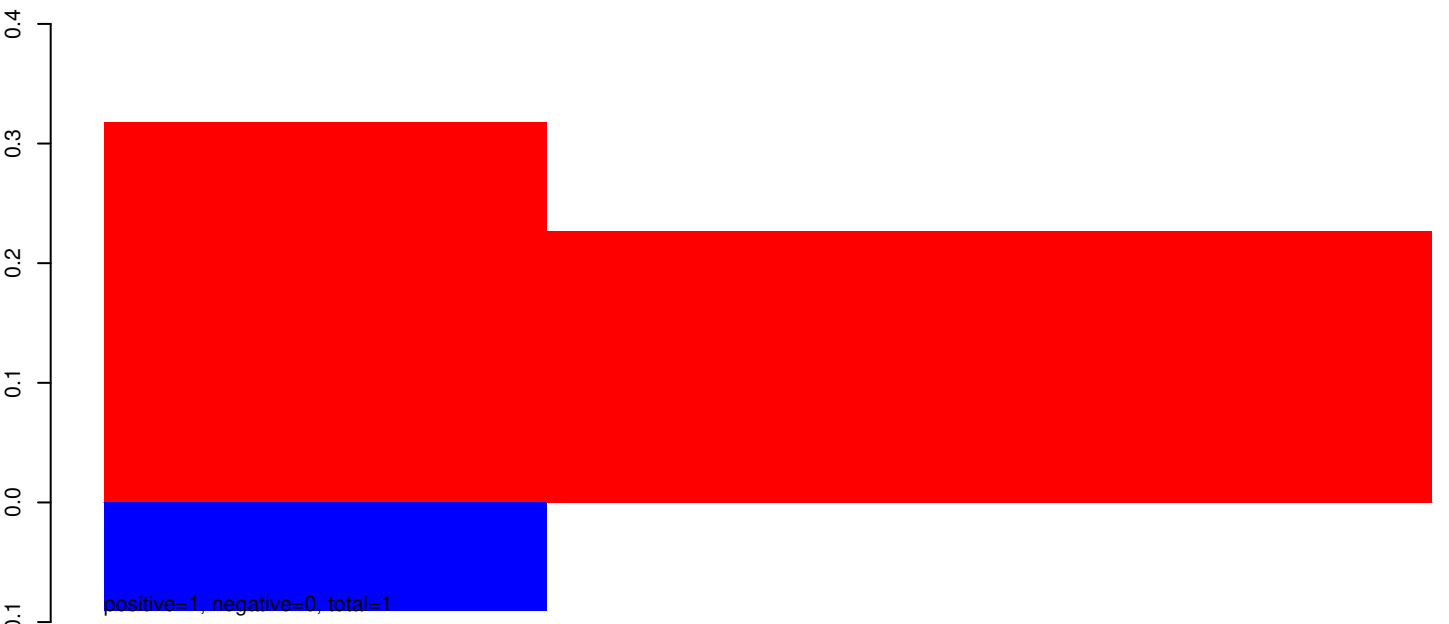
AeAeg_Whole_ZIKV_BM2_GP.24_35.rep



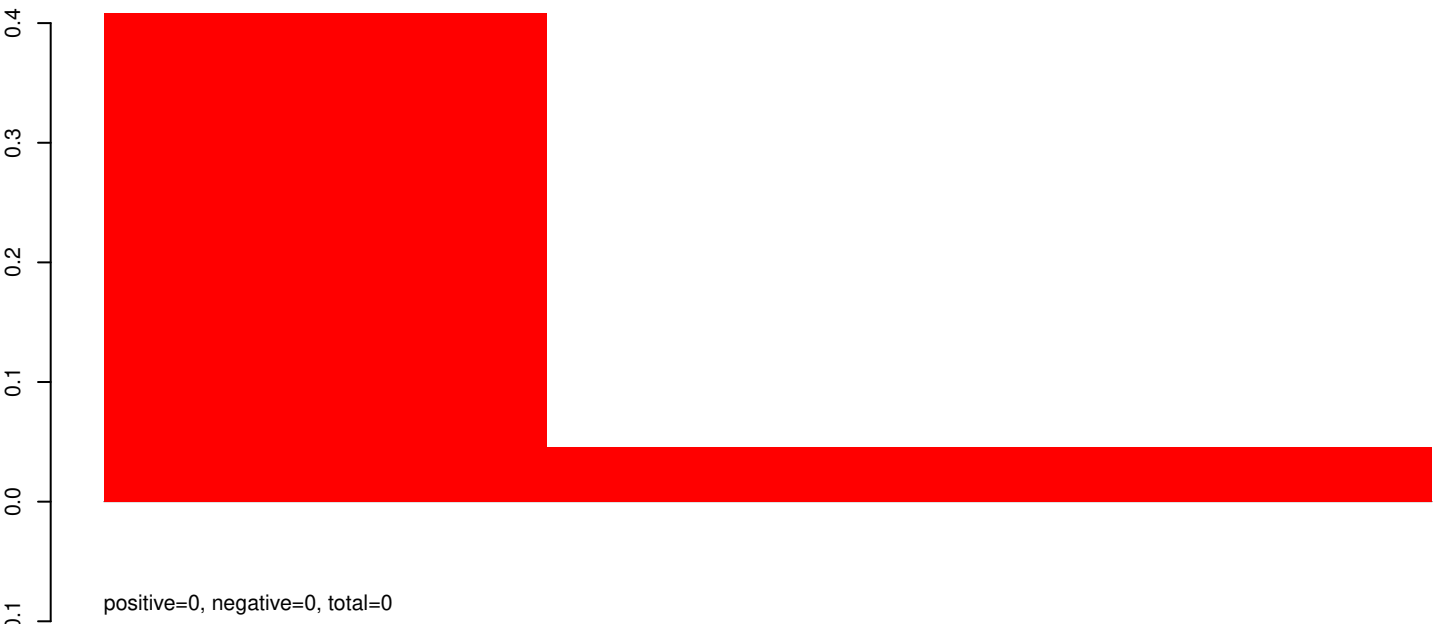
AeAeg_Whole_ZIKV_BM2_GP.rep



AeAeg_Whole_ZIKV_BM2_GP.18_23.rep



AeAeg_Whole_ZIKV_BM2_GP.24_35.rep

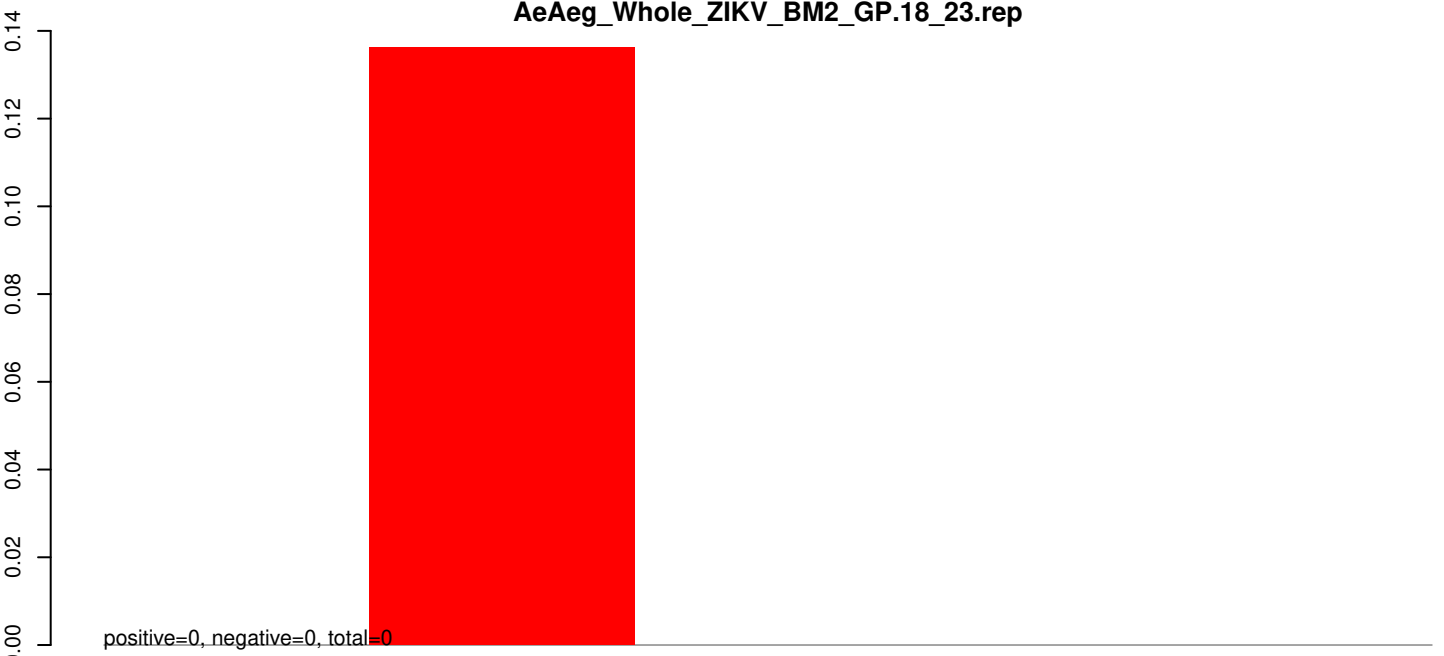


AeAeg_Whole_ZIKV_BM2_GP.rep

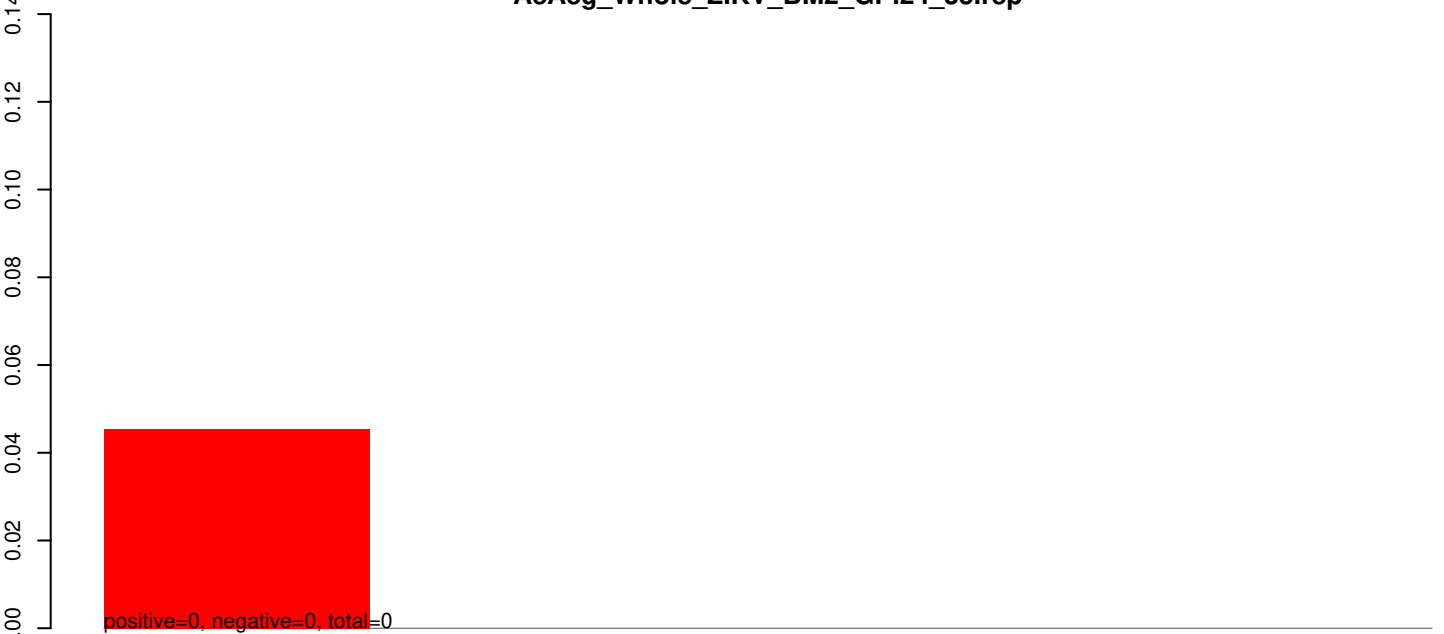


40 60 80 100

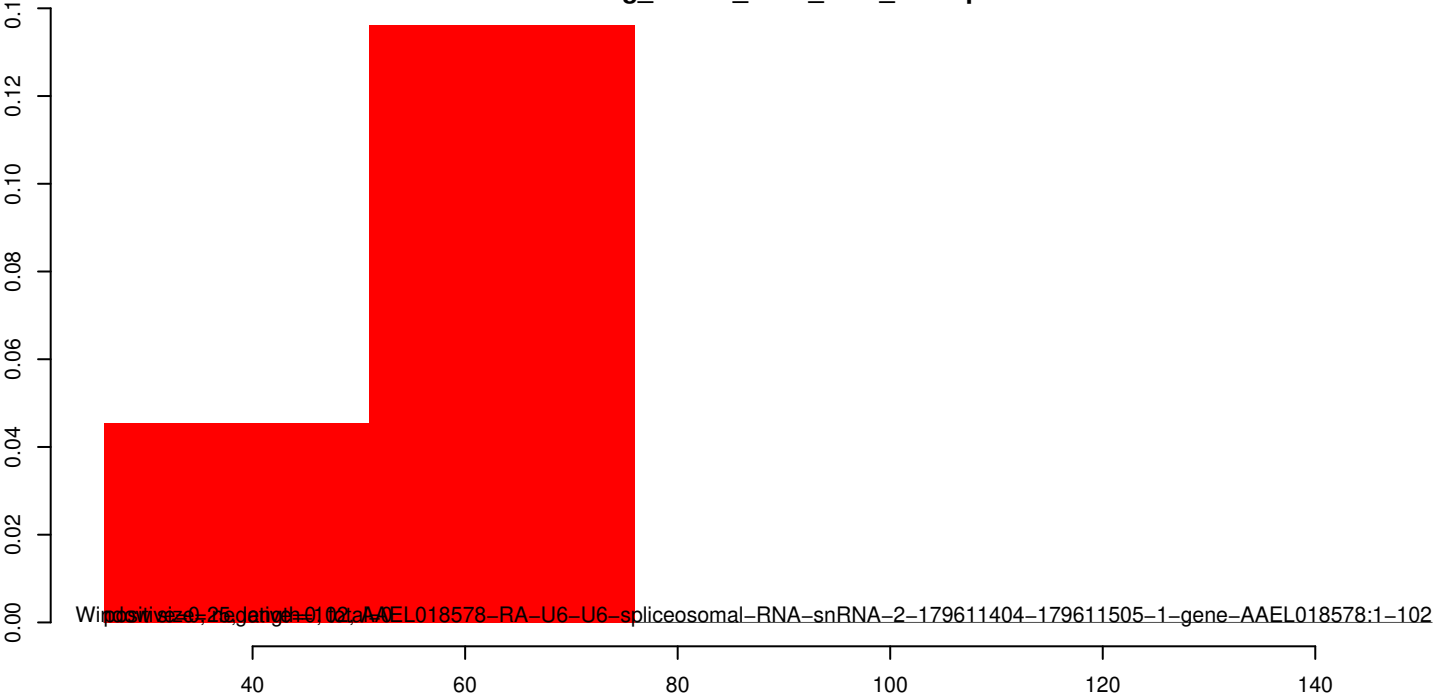
AeAeg_Whole_ZIKV_BM2_GP.18_23.rep



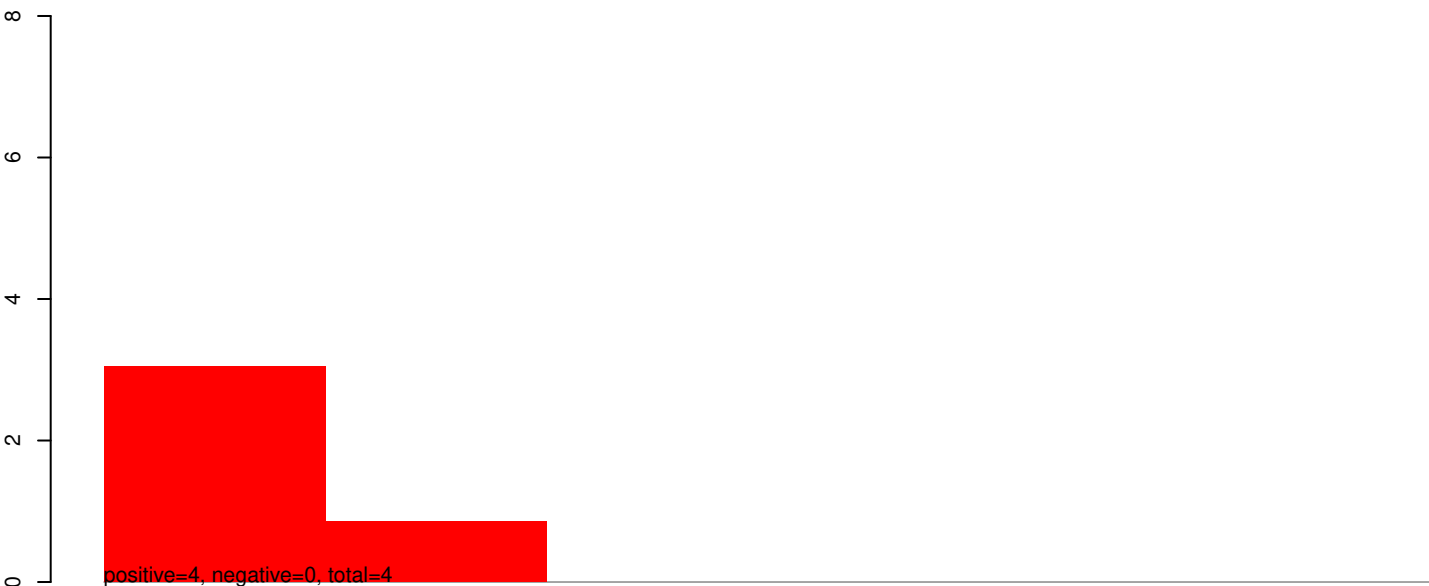
AeAeg_Whole_ZIKV_BM2_GP.24_35.rep



AeAeg_Whole_ZIKV_BM2_GP.rep



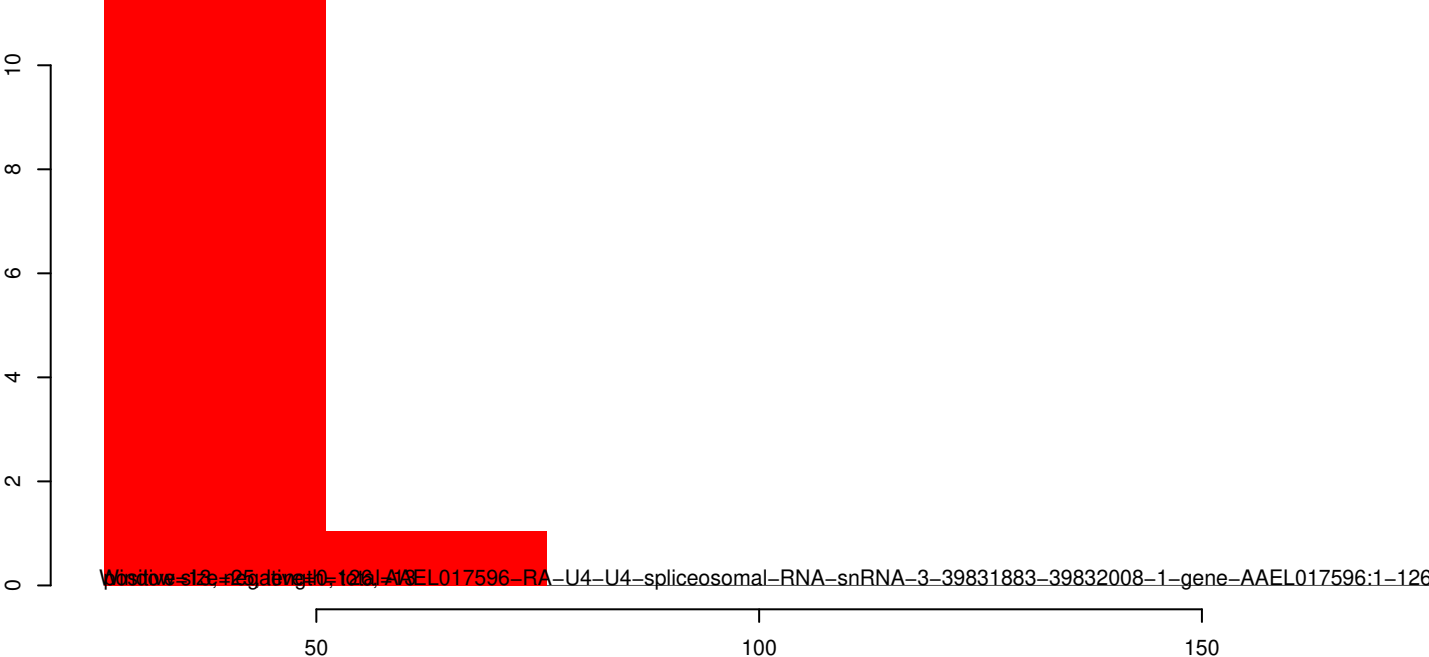
AeAeg_Whole_ZIKV_BM2_GP.18_23.rep



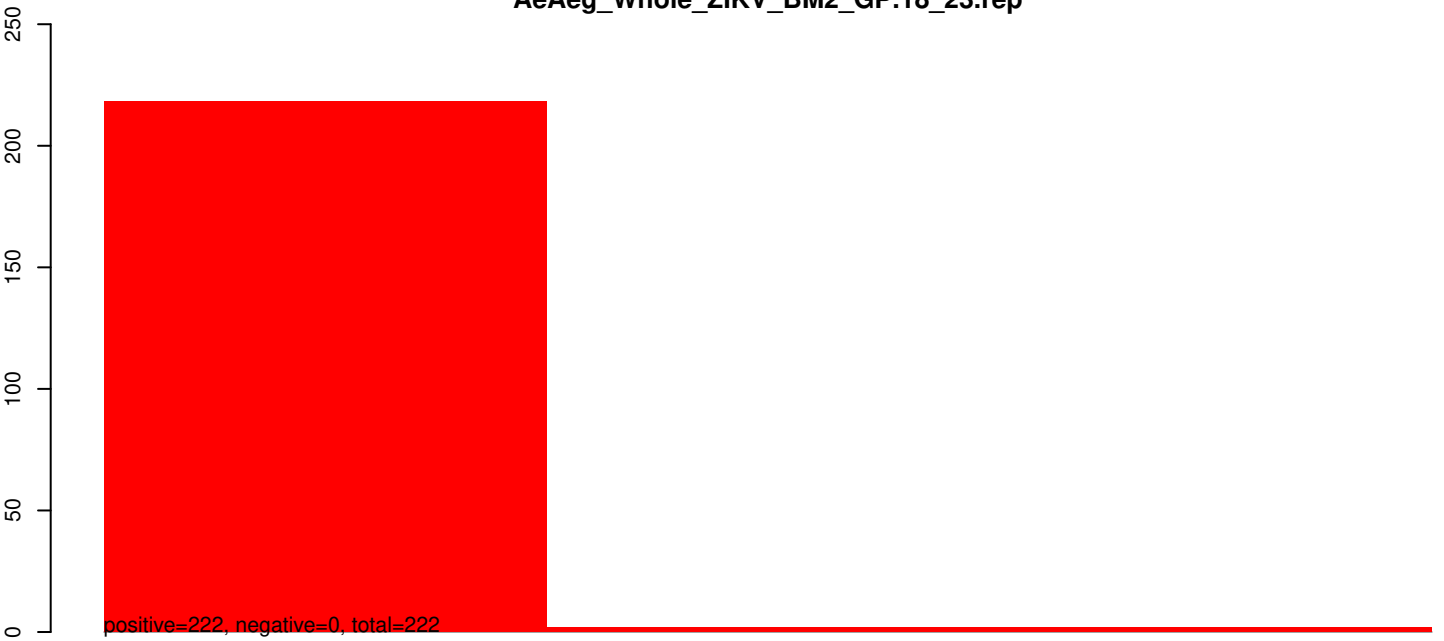
AeAeg_Whole_ZIKV_BM2_GP.24_35.rep



AeAeg_Whole_ZIKV_BM2_GP.rep



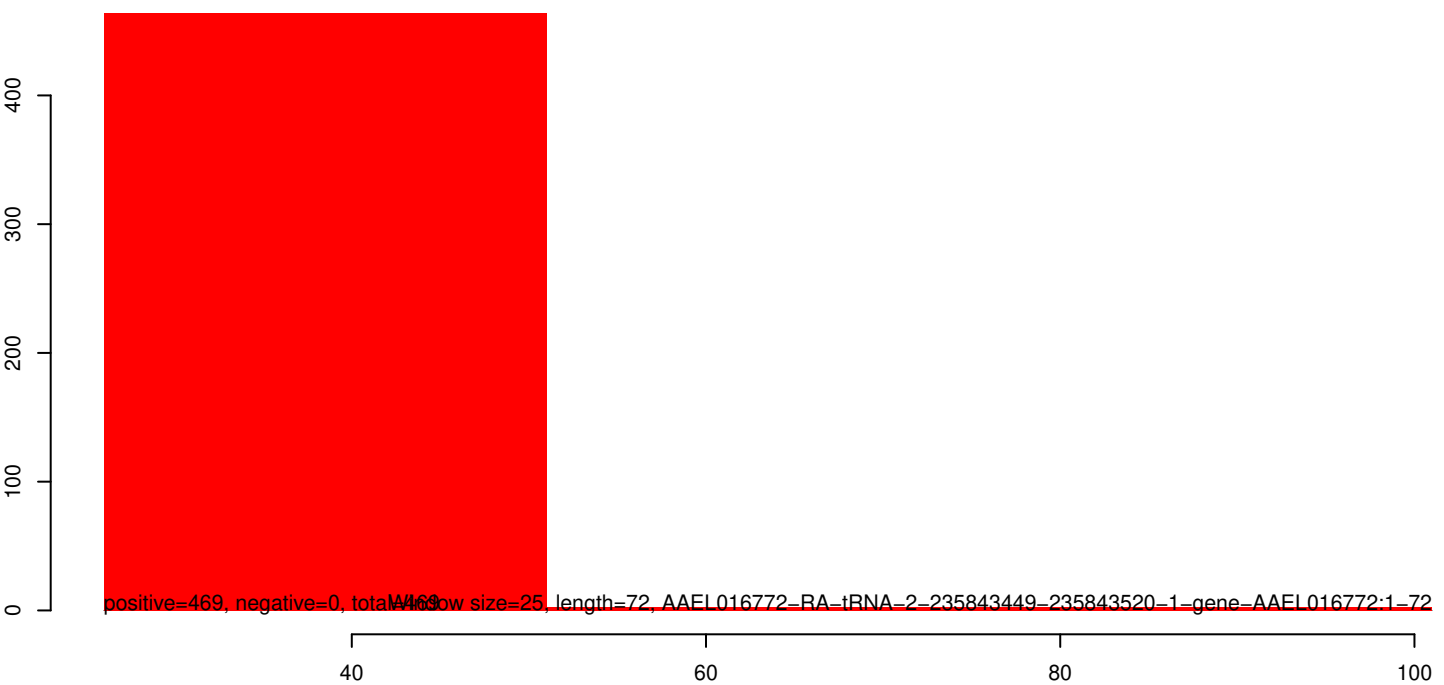
AeAeg_Whole_ZIKV_BM2_GP.18_23.rep



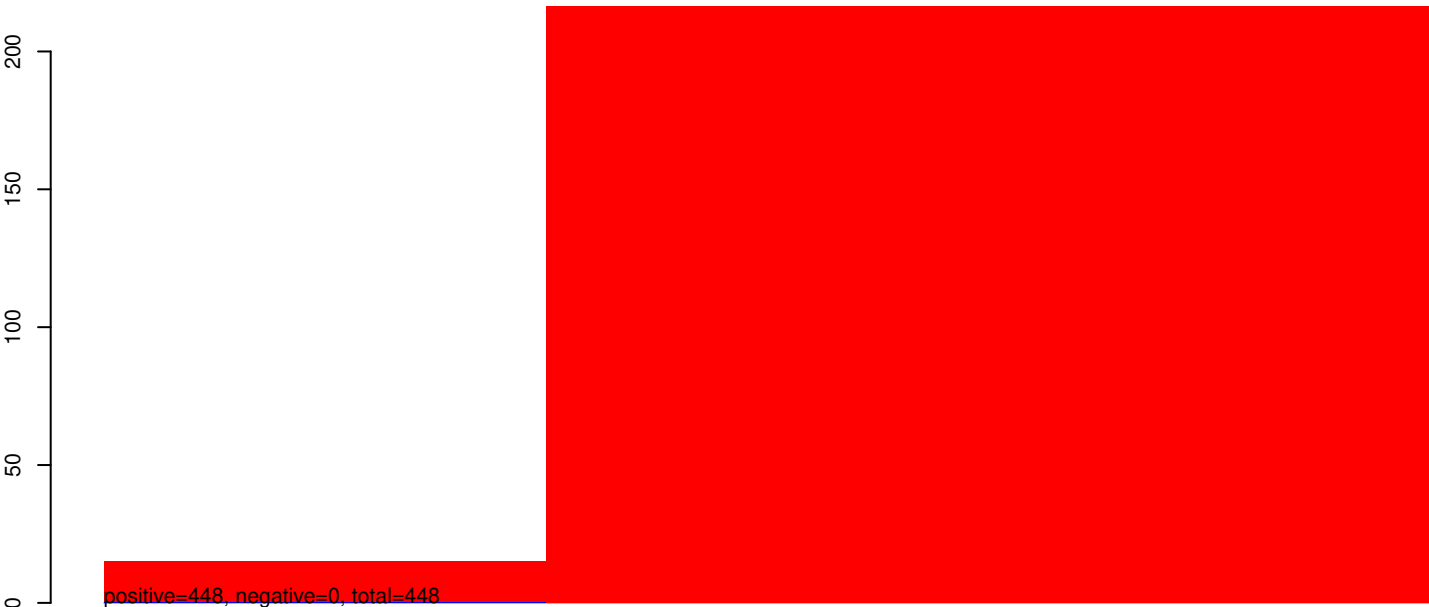
AeAeg_Whole_ZIKV_BM2_GP.24_35.rep



AeAeg_Whole_ZIKV_BM2_GP.rep



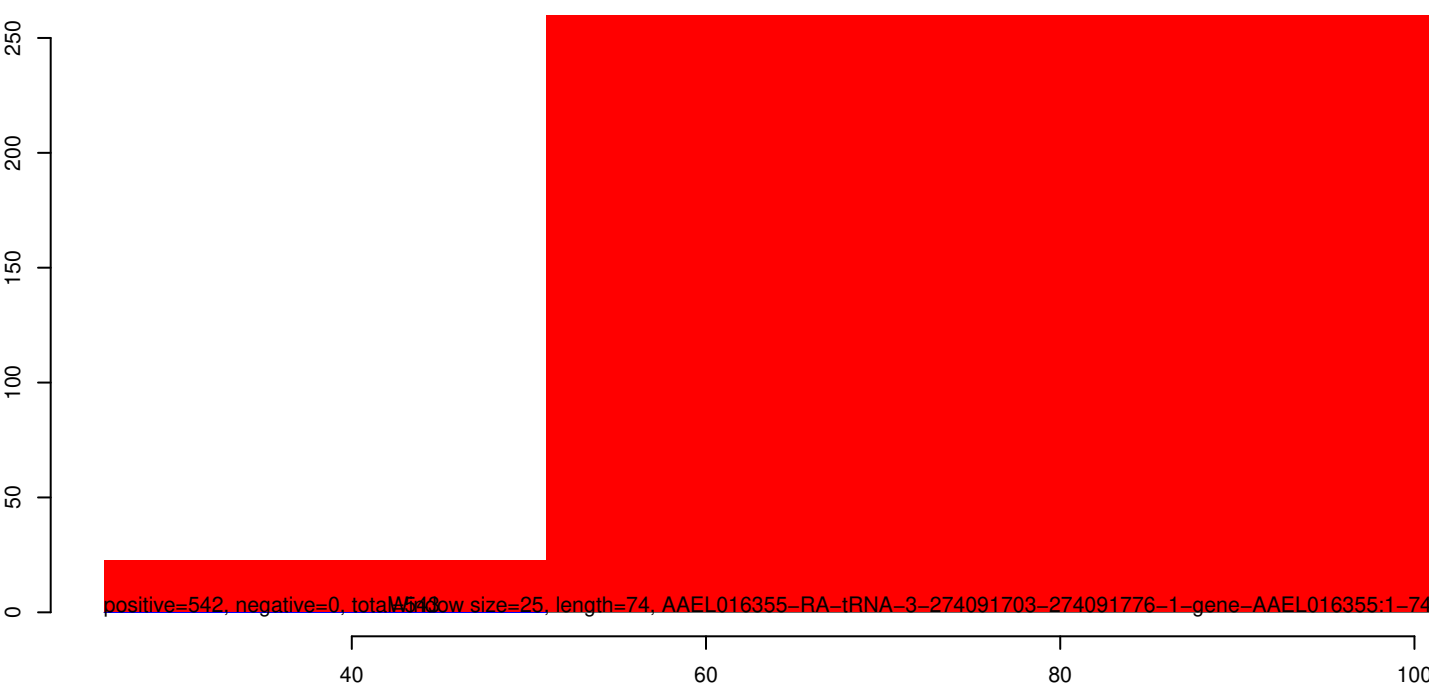
AeAeg_Whole_ZIKV_BM2_GP.18_23.rep



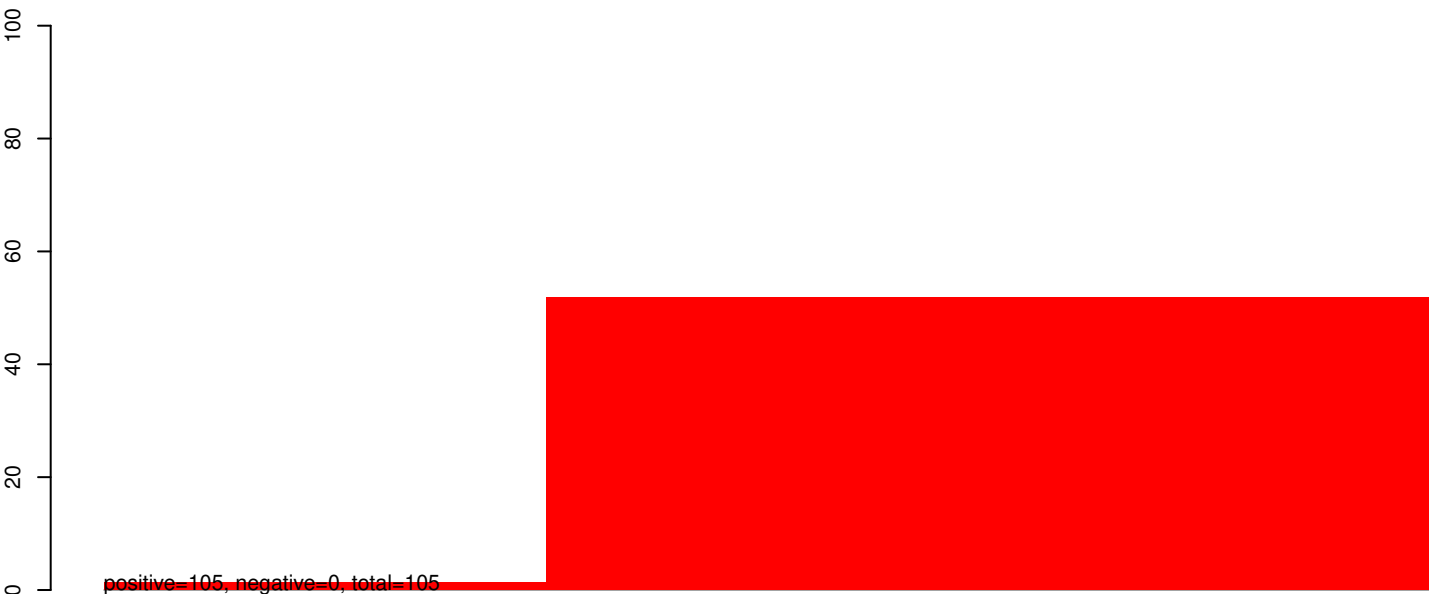
AeAeg_Whole_ZIKV_BM2_GP.24_35.rep



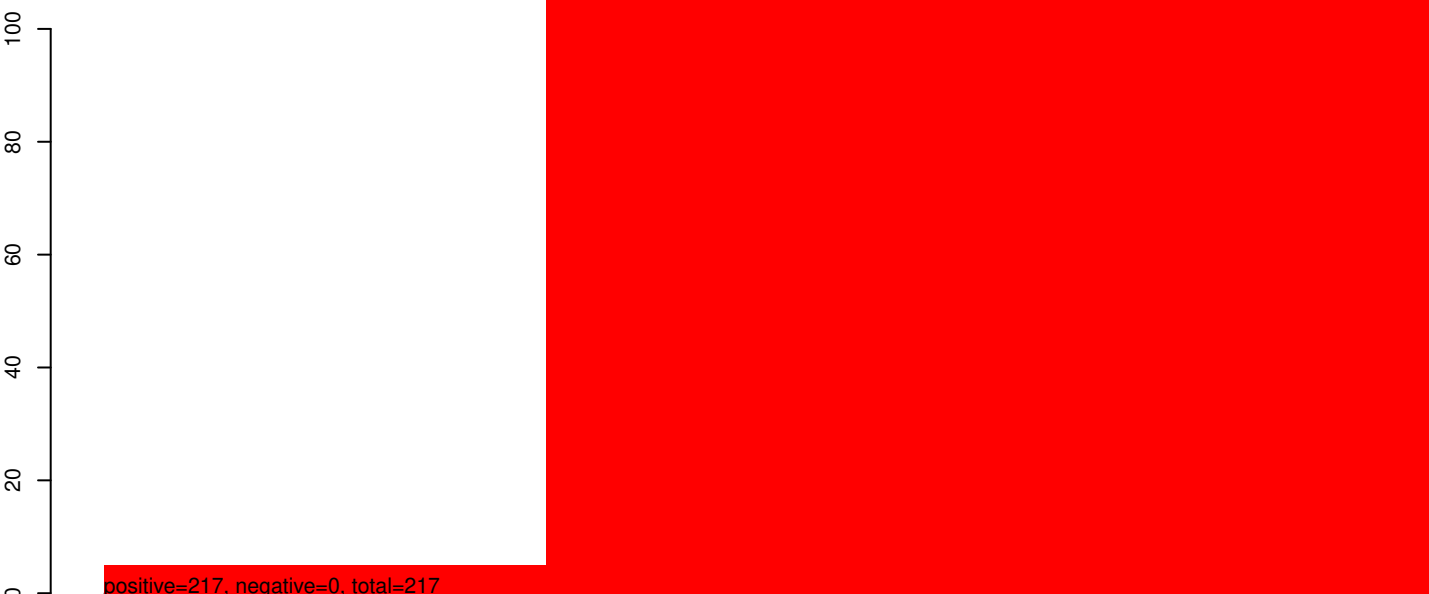
AeAeg_Whole_ZIKV_BM2_GP.rep



AeAeg_Whole_ZIKV_BM2_GP.18_23.rep



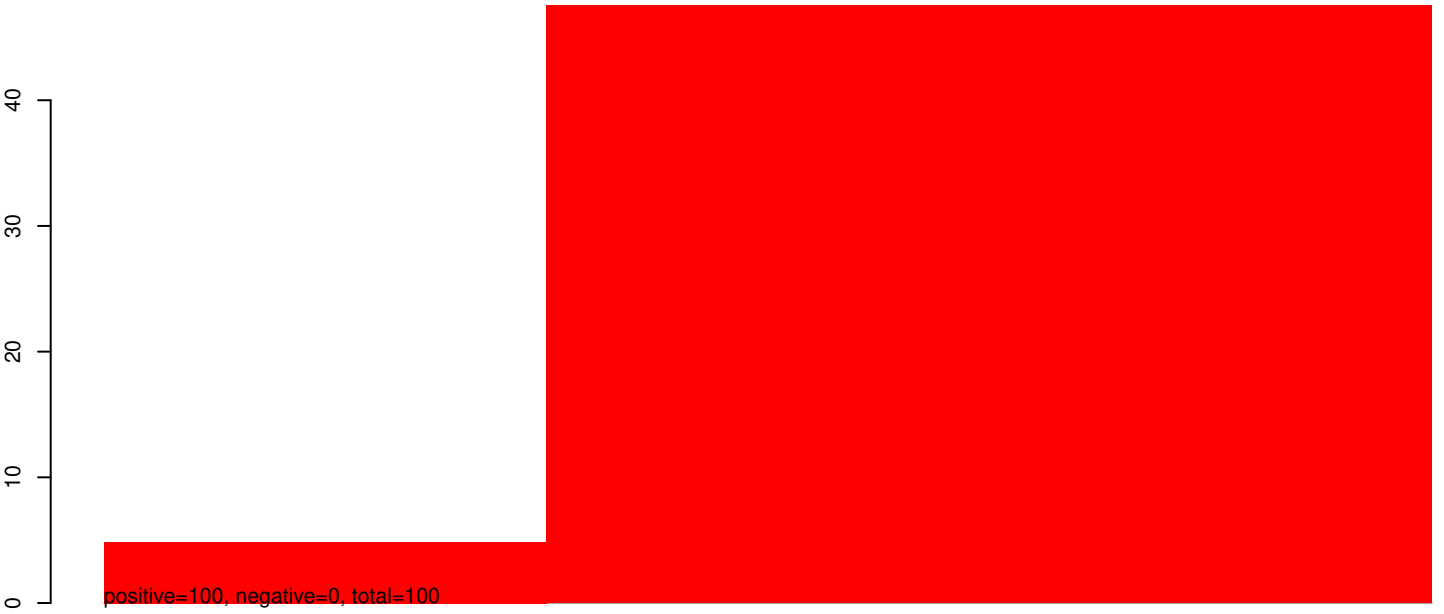
AeAeg_Whole_ZIKV_BM2_GP.24_35.rep



AeAeg_Whole_ZIKV_BM2_GP.rep



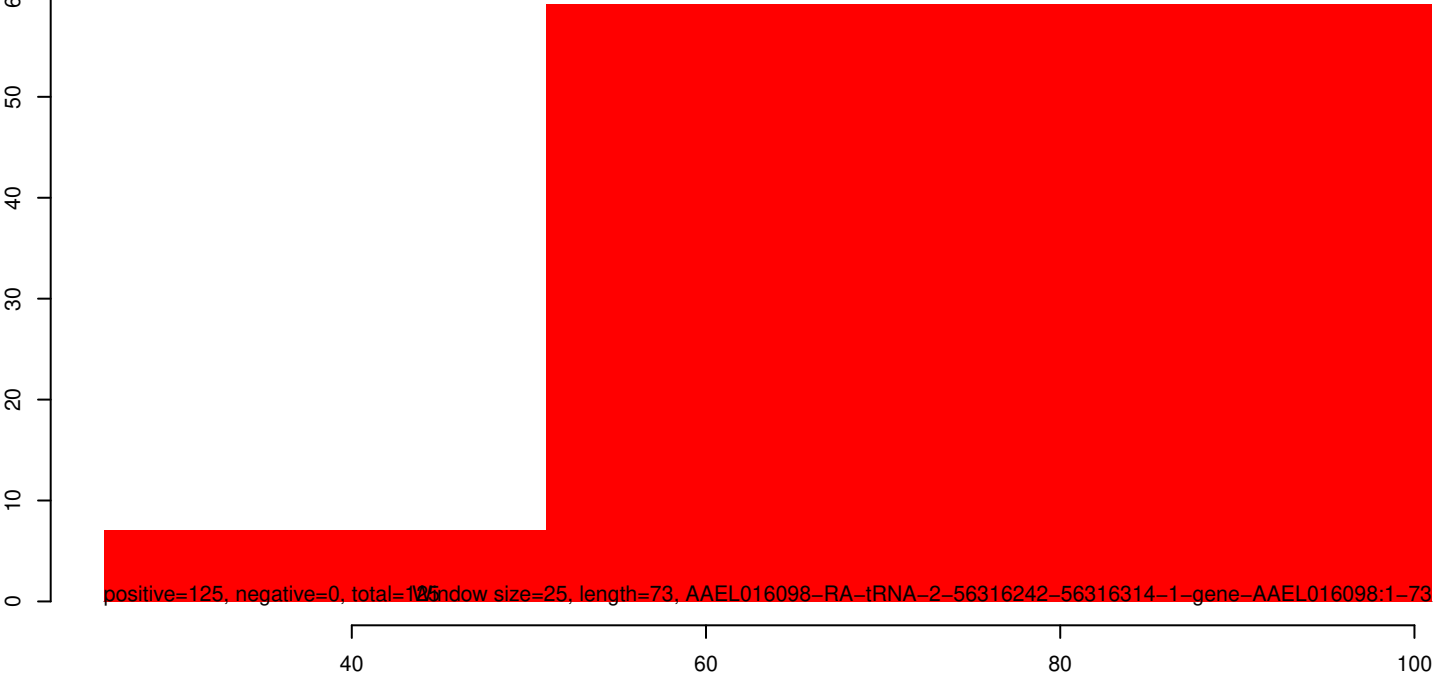
AeAeg_Whole_ZIKV_BM2_GP.18_23.rep



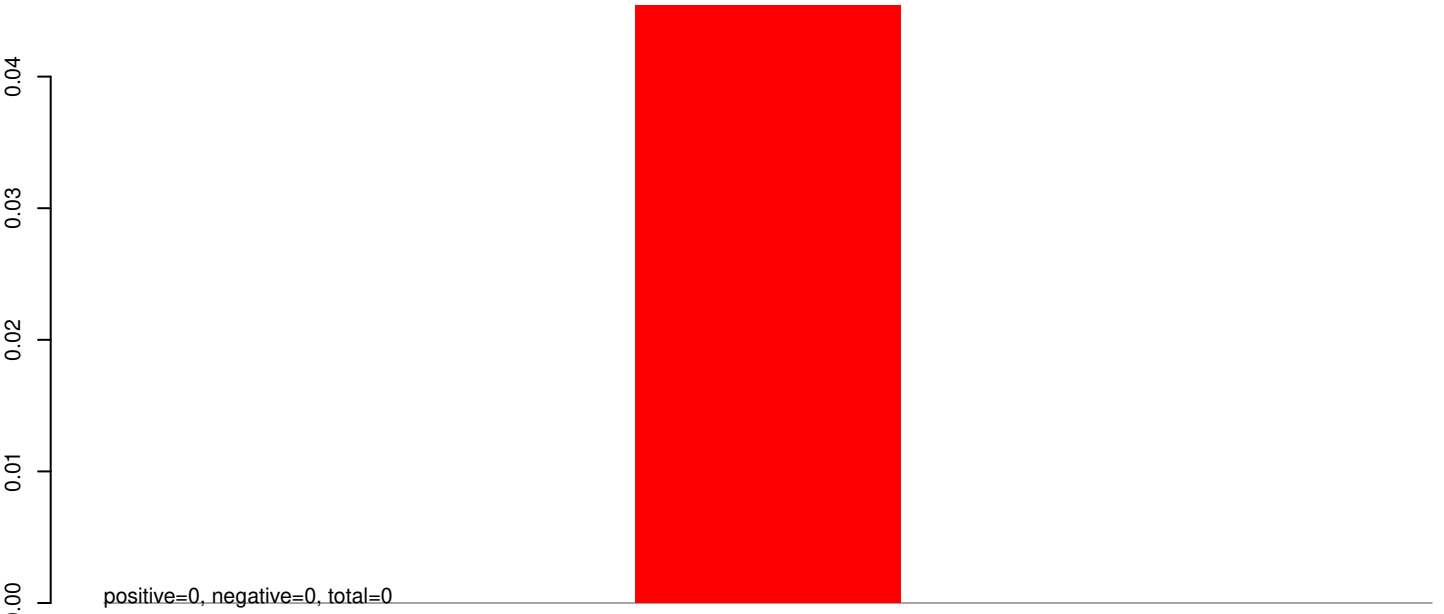
AeAeg_Whole_ZIKV_BM2_GP.24_35.rep



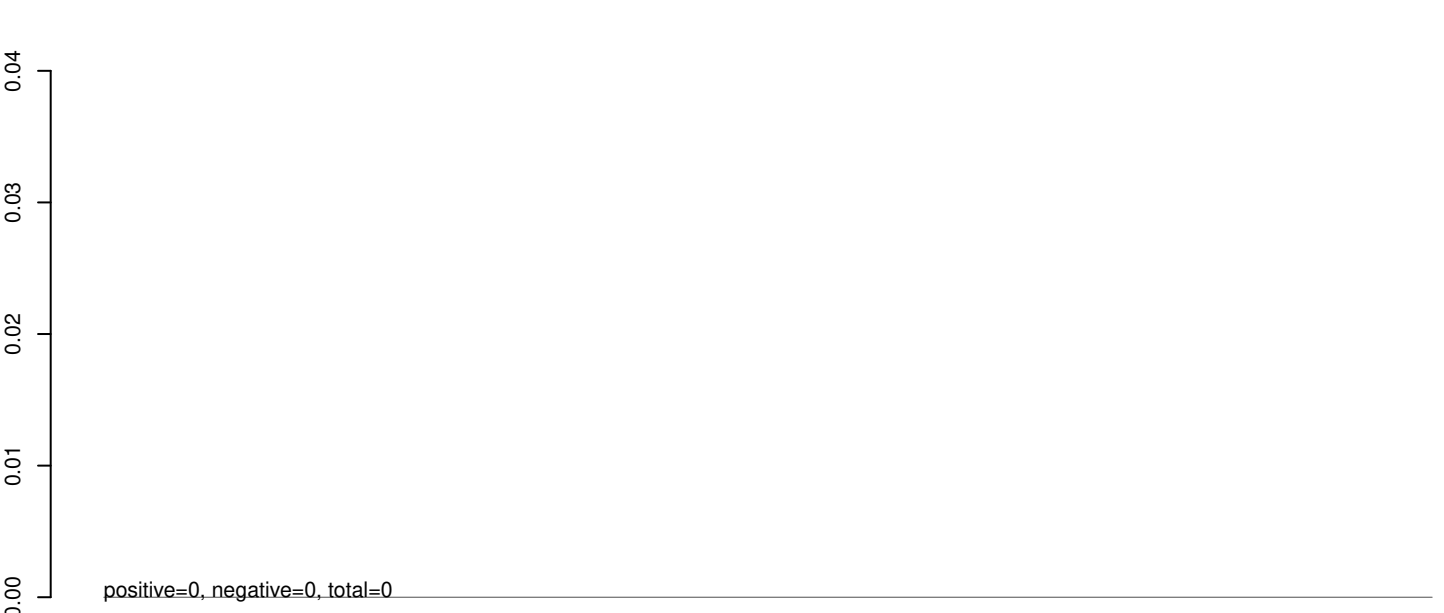
AeAeg_Whole_ZIKV_BM2_GP.rep



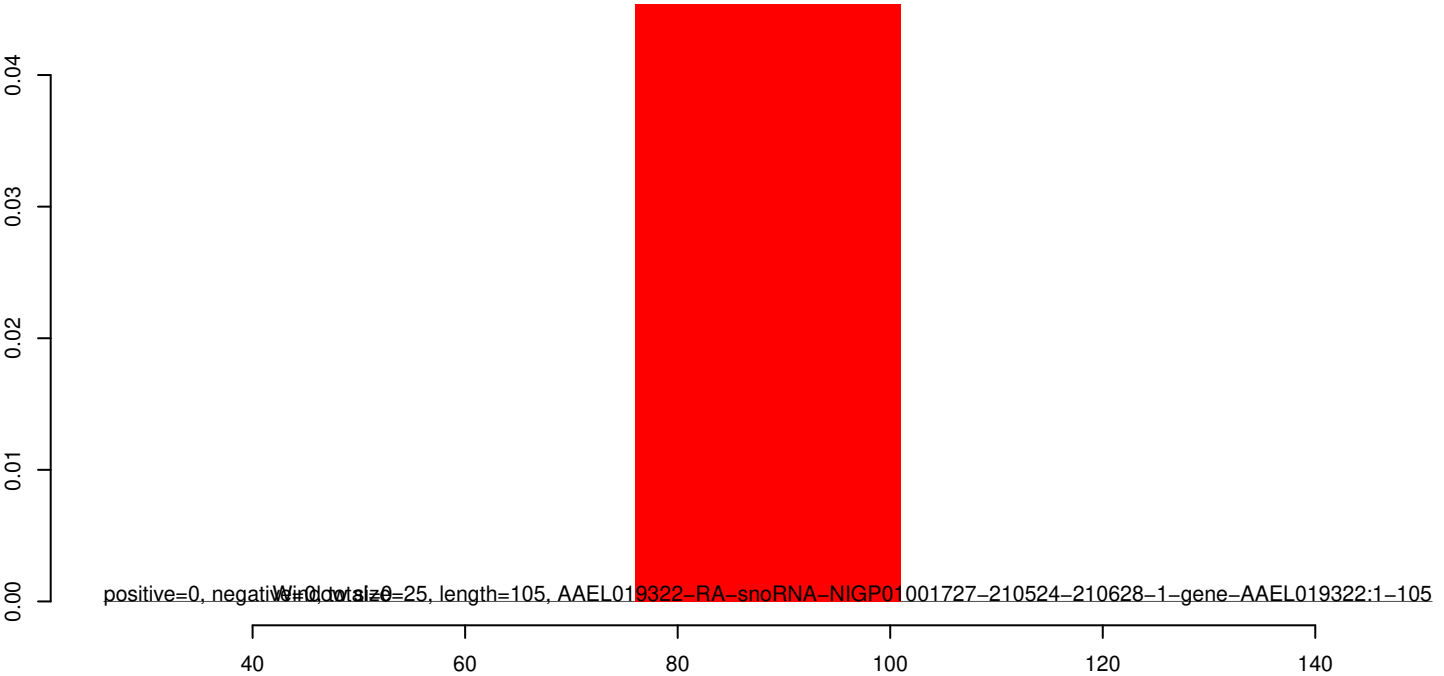
AeAeg_Whole_ZIKV_BM2_GP.18_23.rep



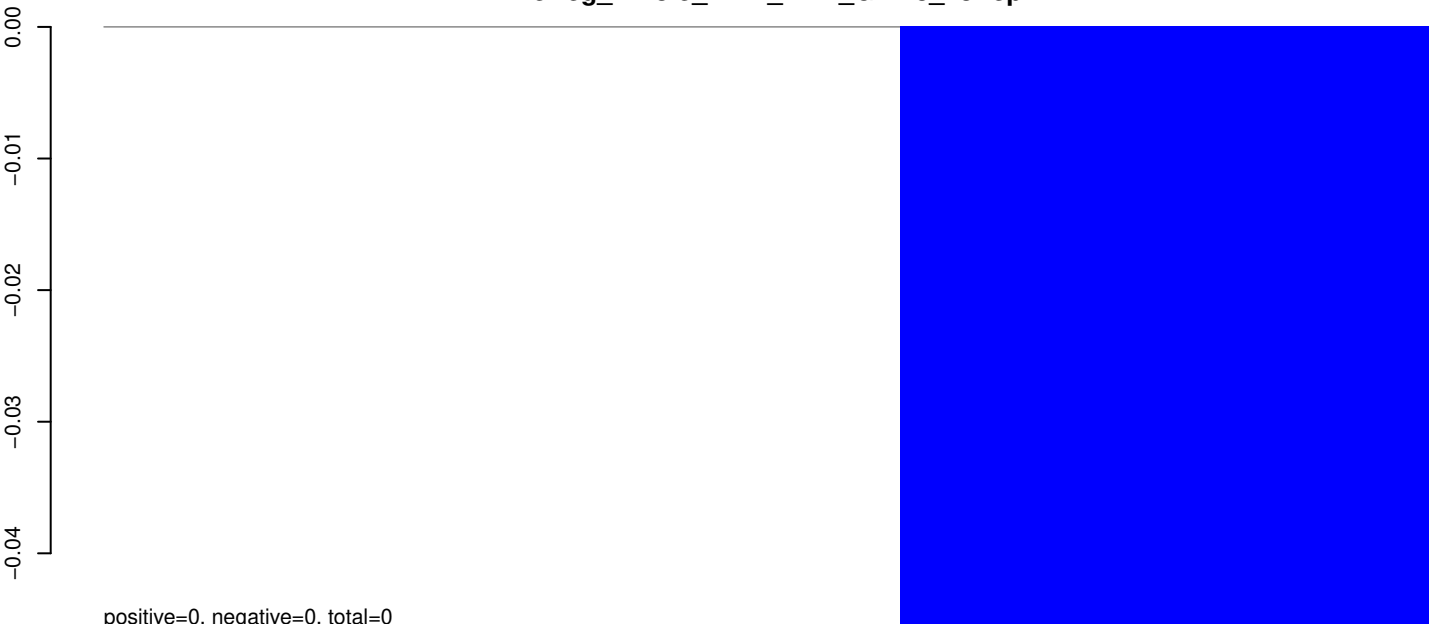
AeAeg_Whole_ZIKV_BM2_GP.24_35.rep



AeAeg_Whole_ZIKV_BM2_GP.rep

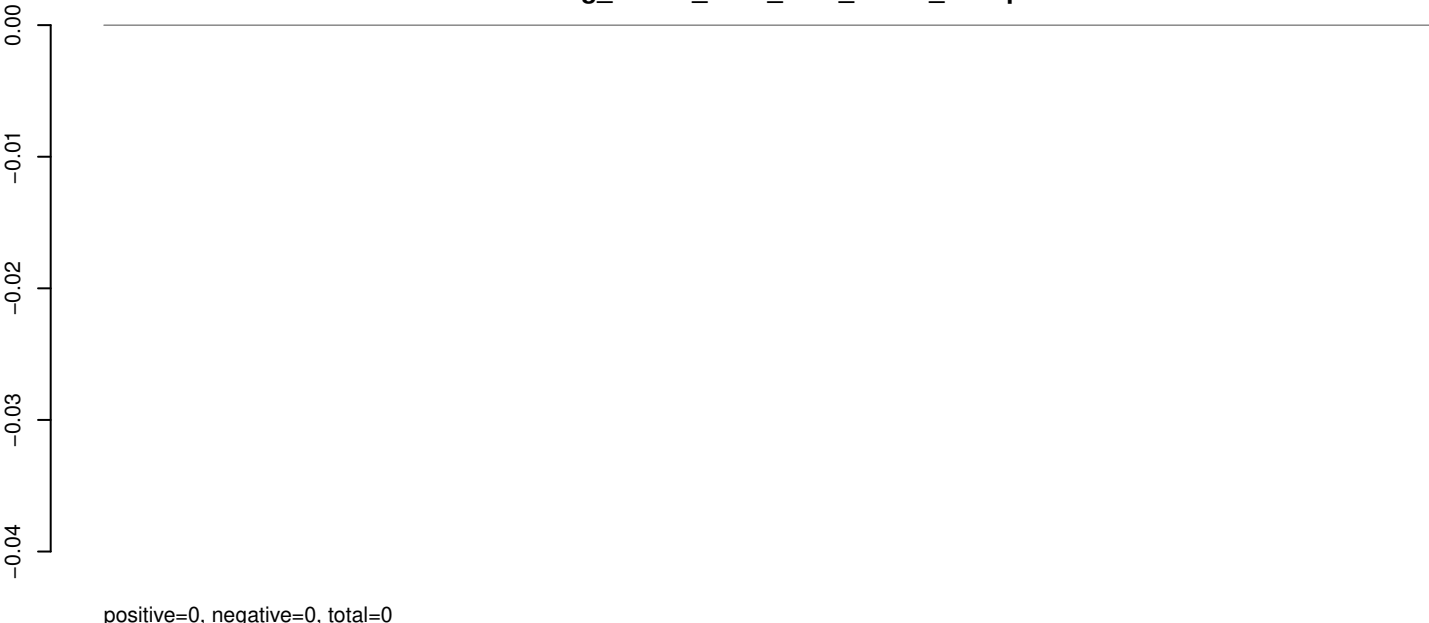


AeAeg_Whole_ZIKV_BM2_GP.18_23.rep



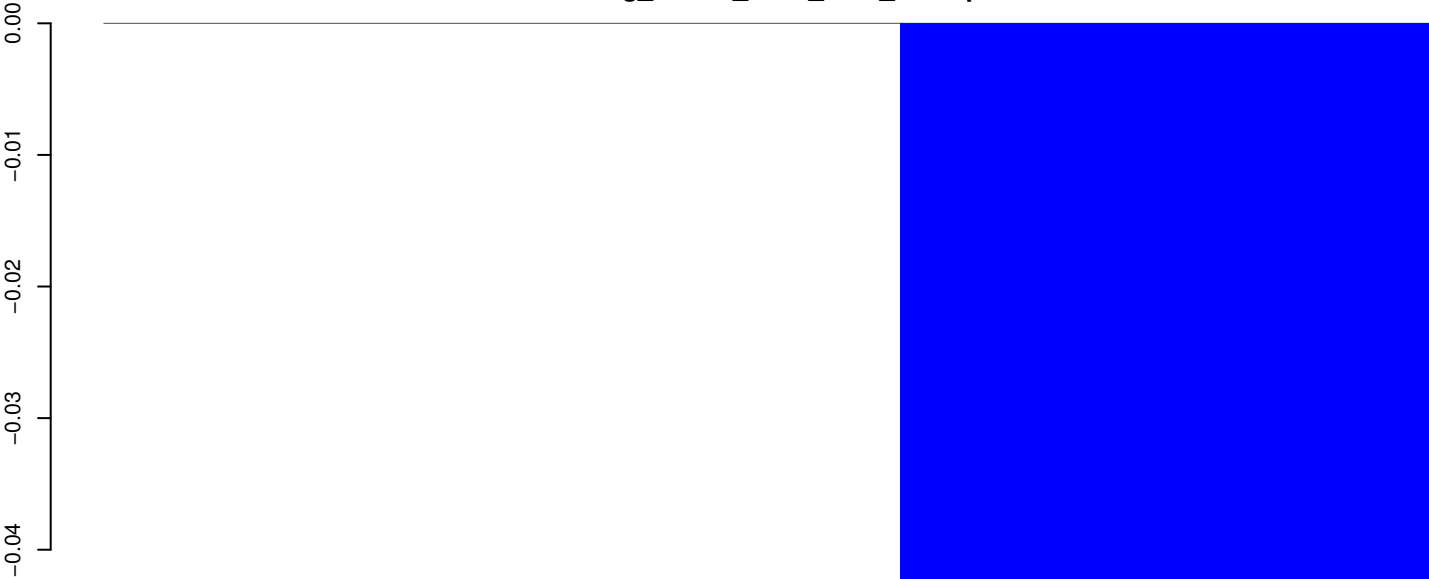
positive=0, negative=0, total=0

AeAeg_Whole_ZIKV_BM2_GP.24_35.rep

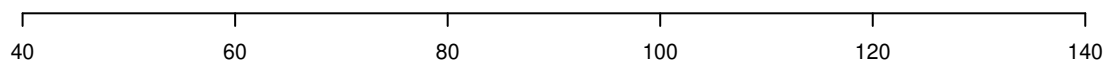


positive=0, negative=0, total=0

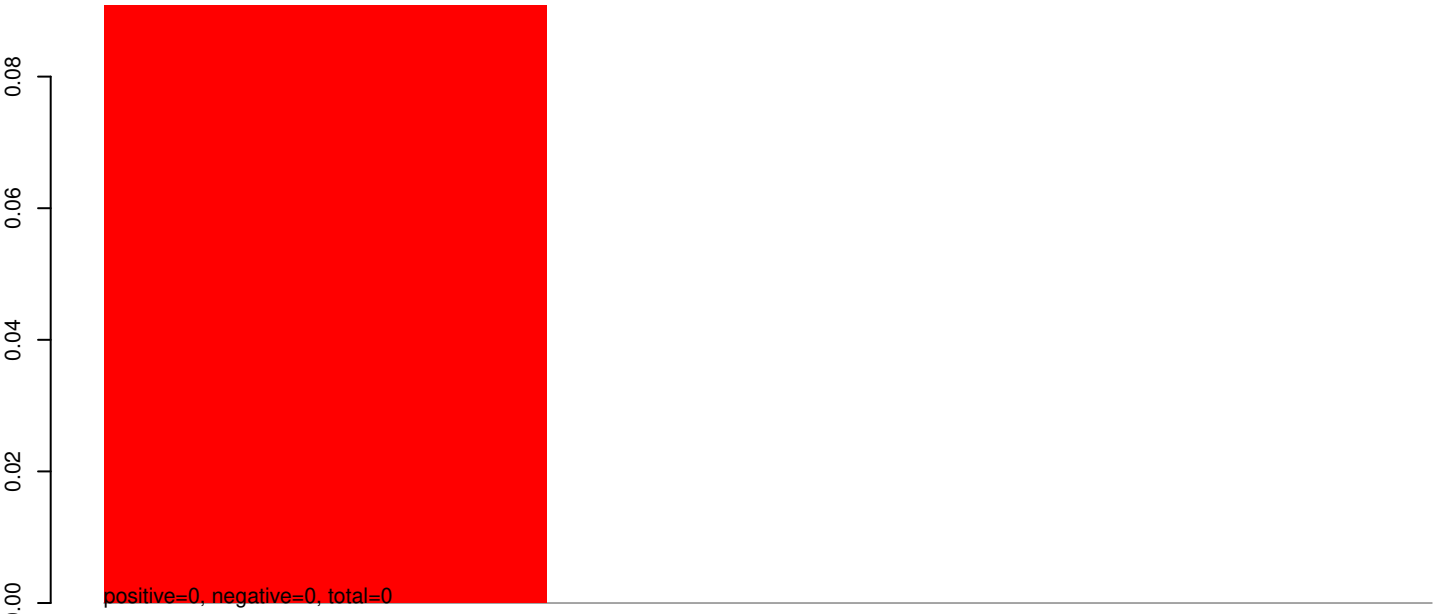
AeAeg_Whole_ZIKV_BM2_GP.rep



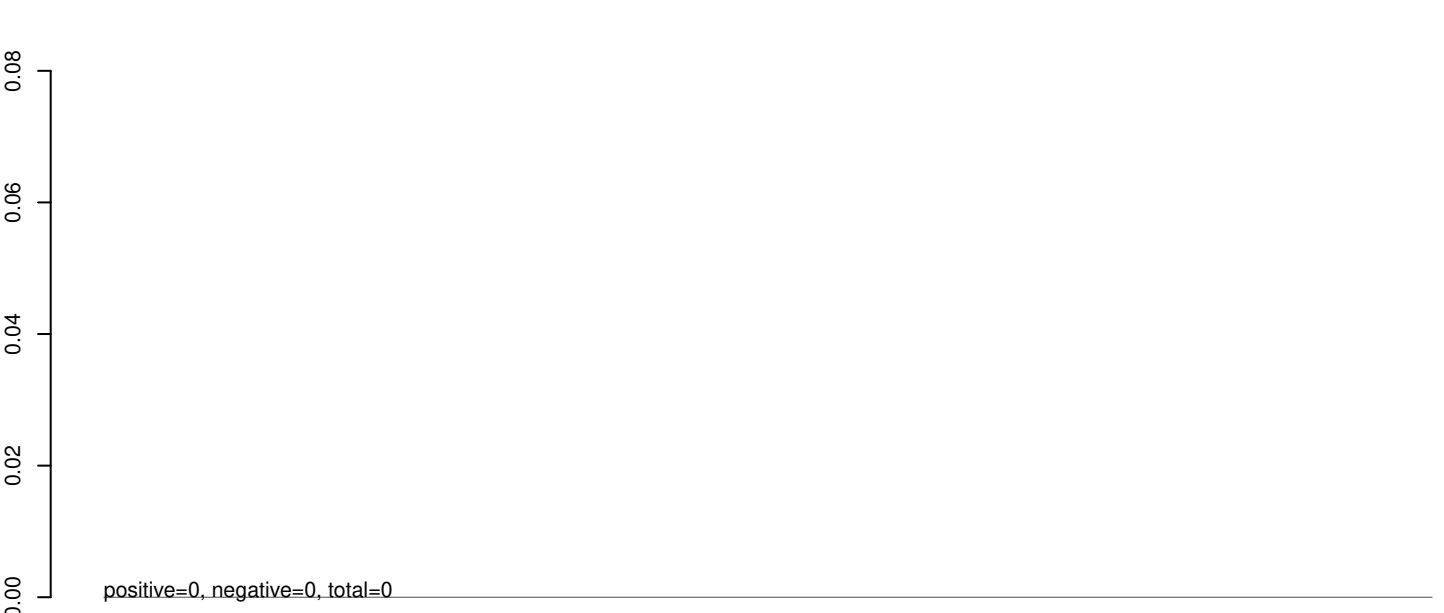
positive=0, negative=0, total=0 window size=25, length=113, AAEL019285-RA-snrRNA-3-306357418-306357530-1-gene-AAEL019285:1-113



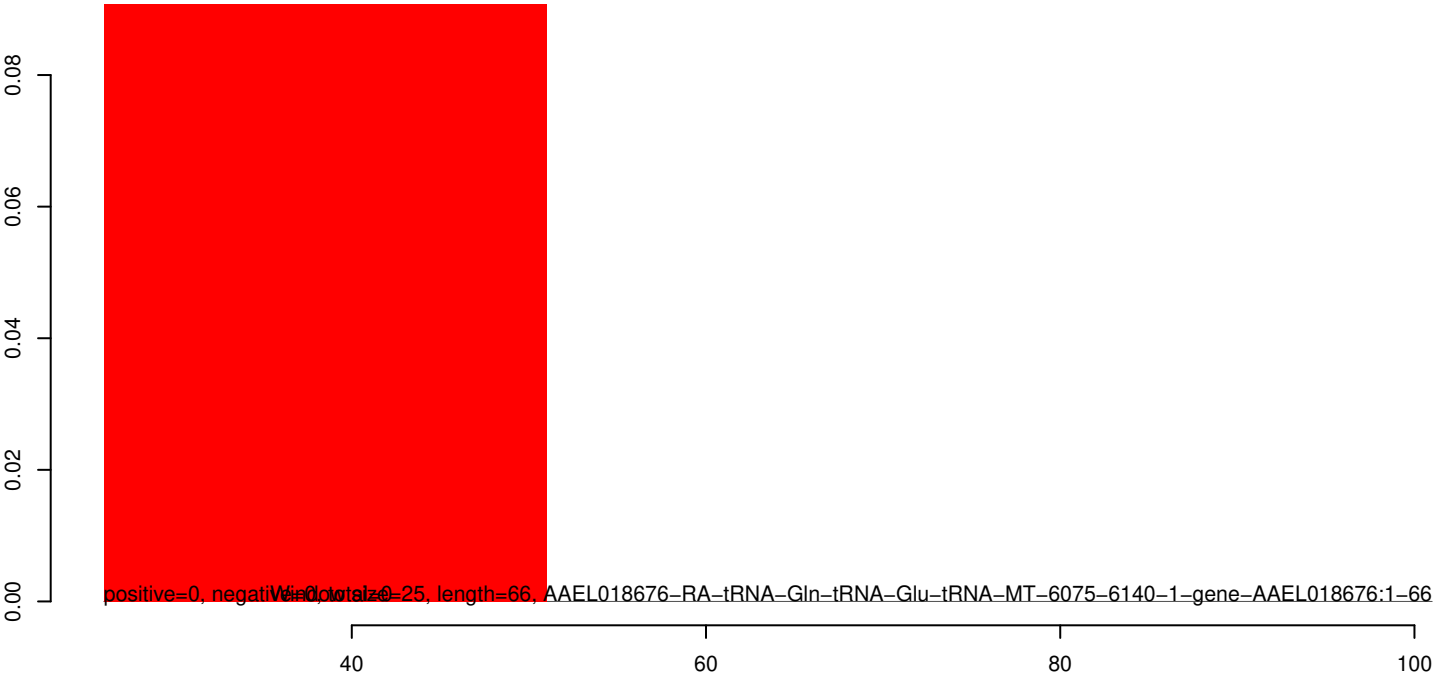
AeAeg_Whole_ZIKV_BM2_GP.18_23.rep



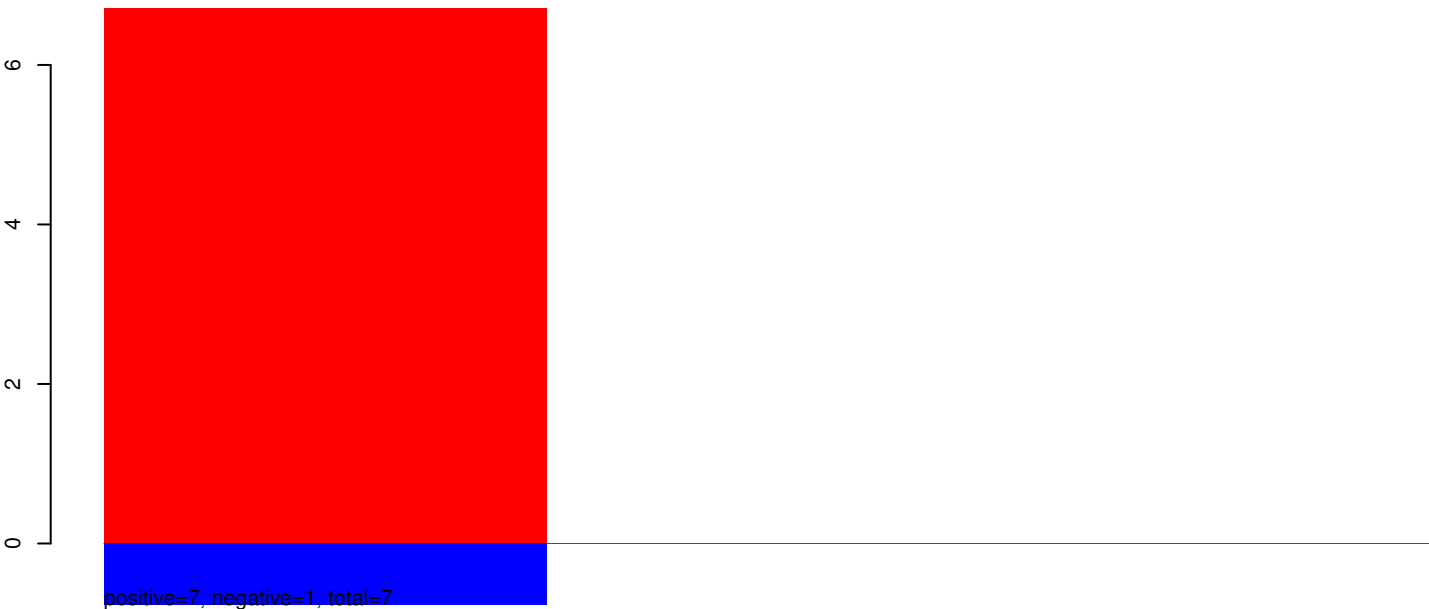
AeAeg_Whole_ZIKV_BM2_GP.24_35.rep



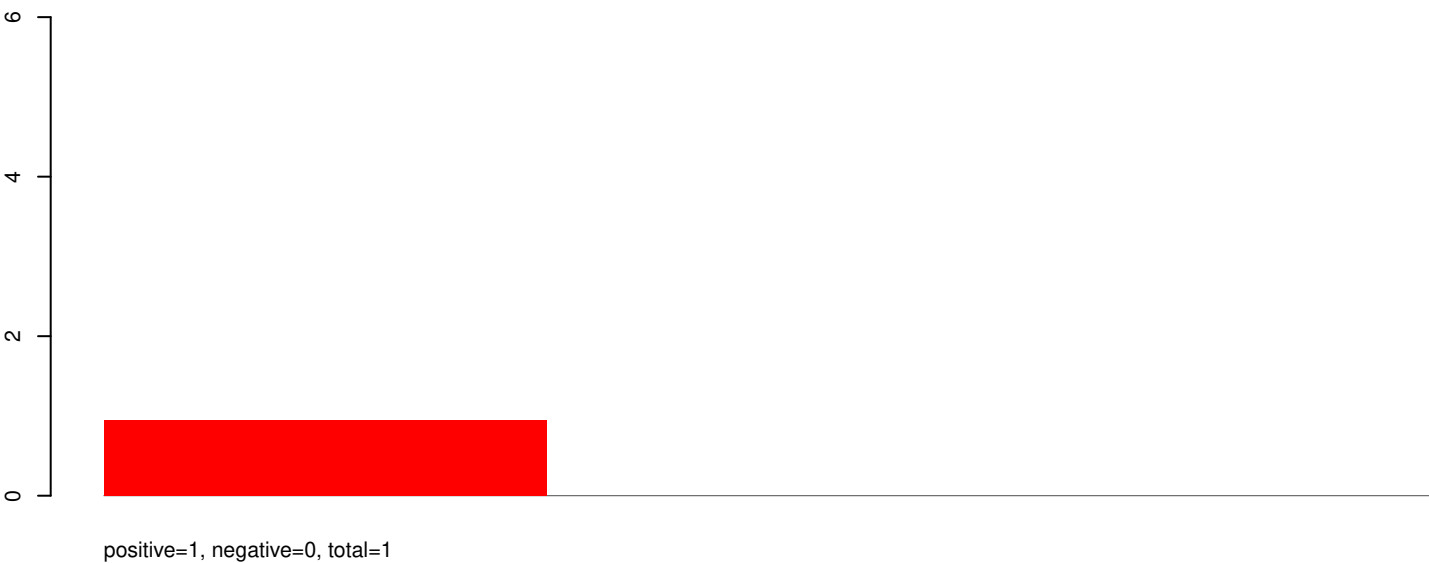
AeAeg_Whole_ZIKV_BM2_GP.rep



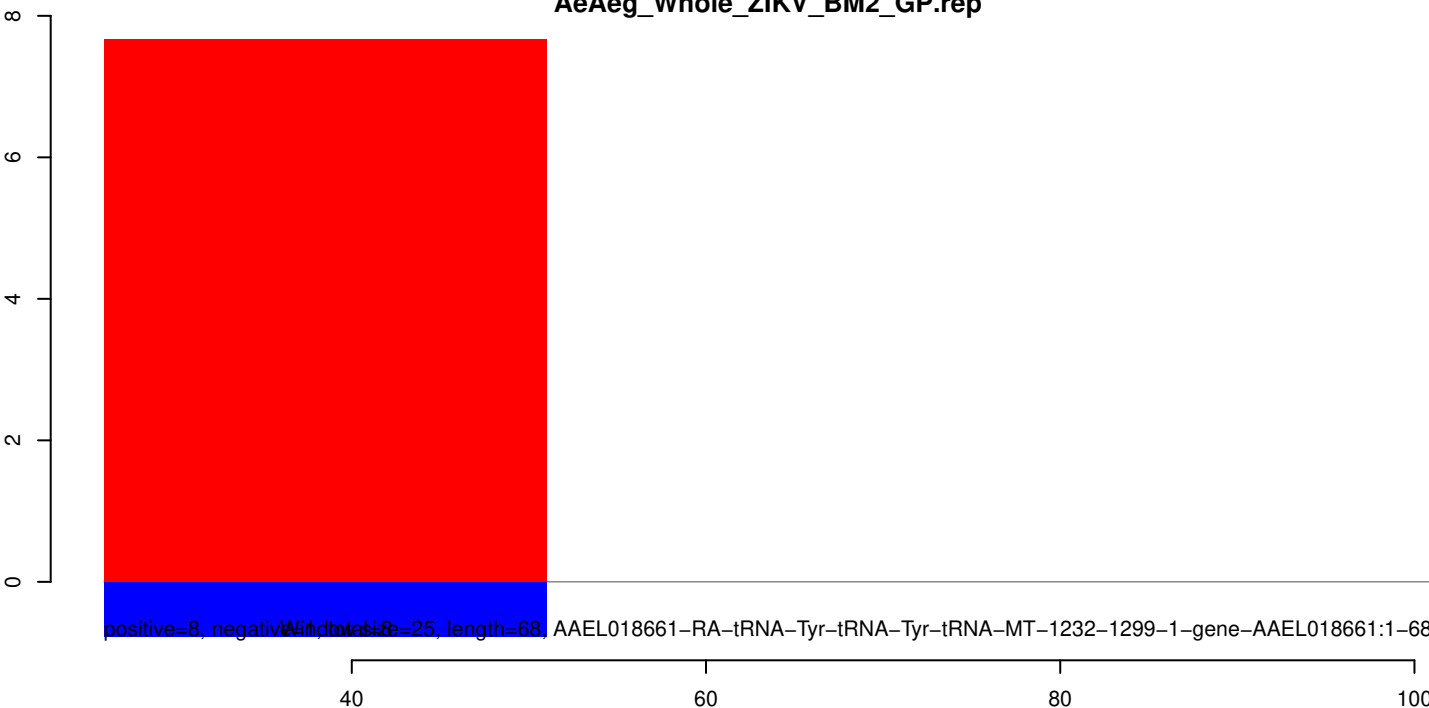
AeAeg_Whole_ZIKV_BM2_GP.18_23.rep



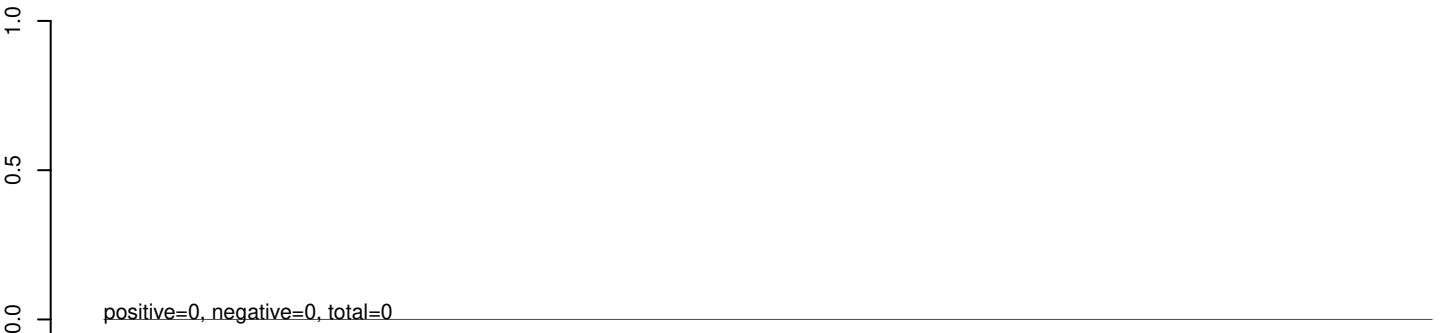
AeAeg_Whole_ZIKV_BM2_GP.24_35.rep



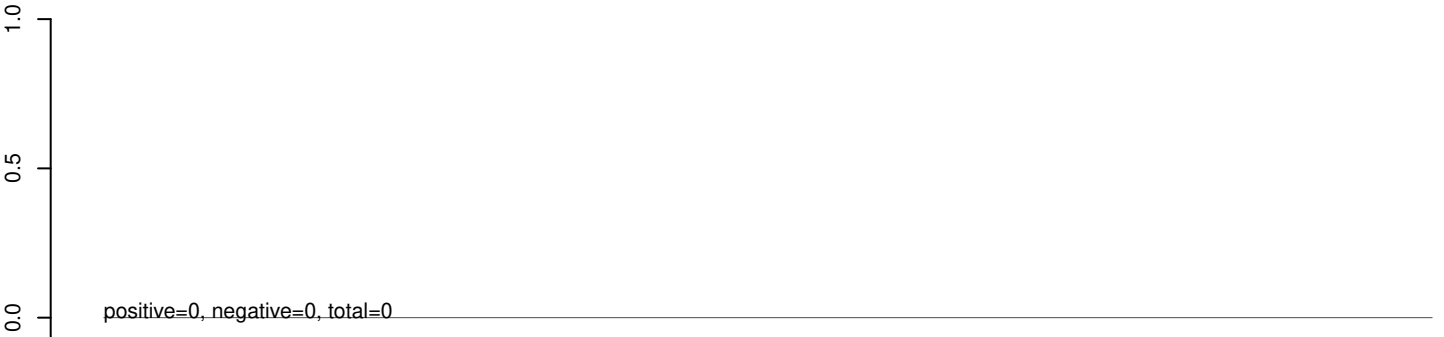
AeAeg_Whole_ZIKV_BM2_GP.rep



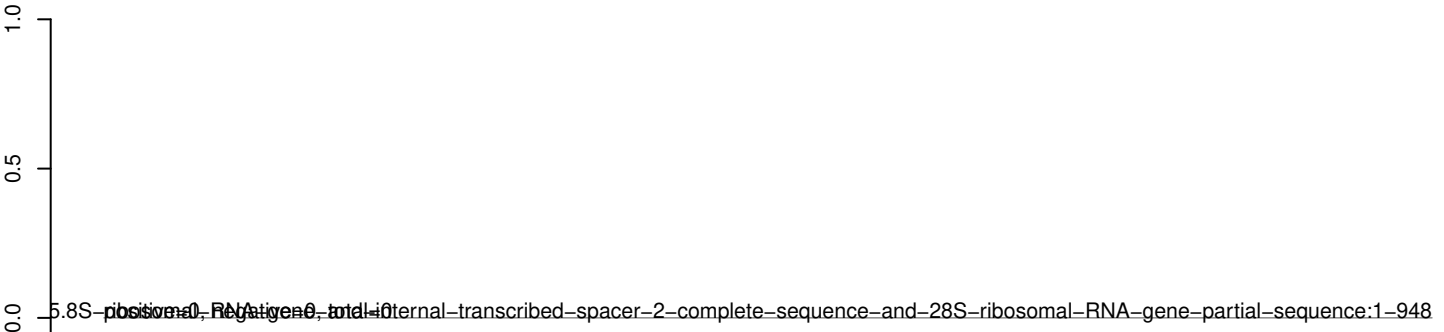
AeAeg_Whole_ZIKV_BM2_GP.18_23.rep



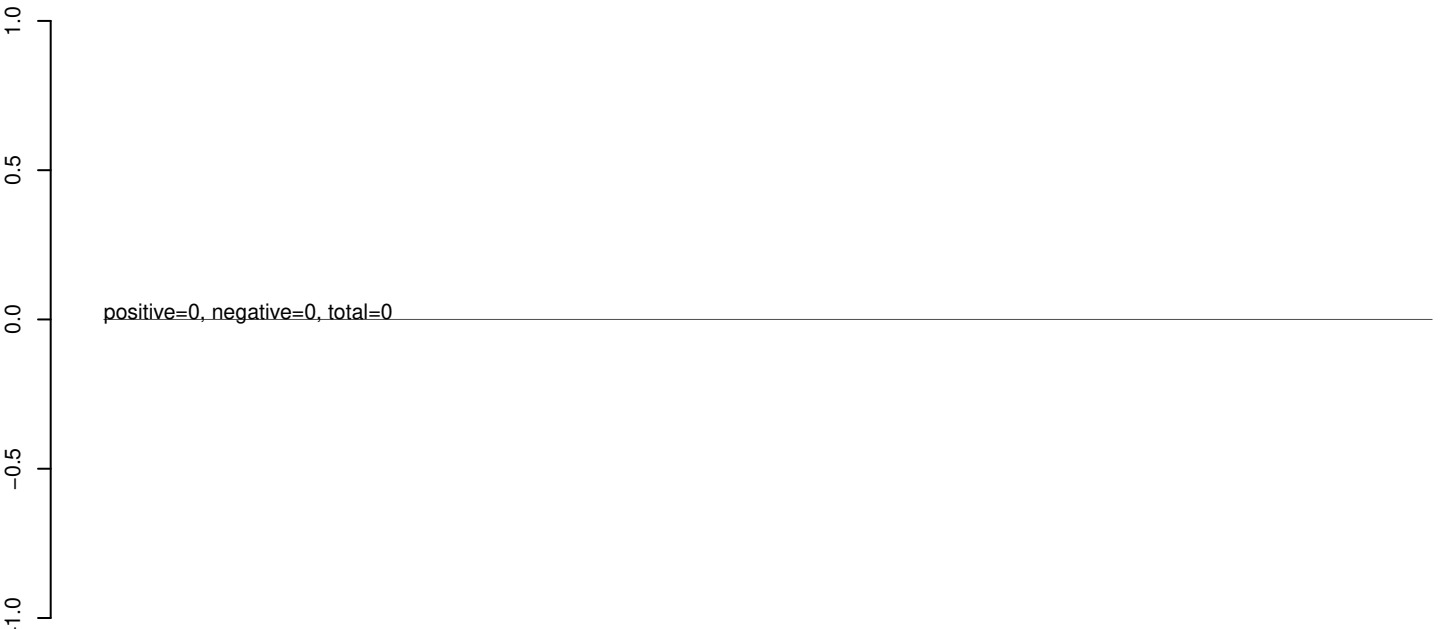
AeAeg_Whole_ZIKV_BM2_GP.24_35.rep



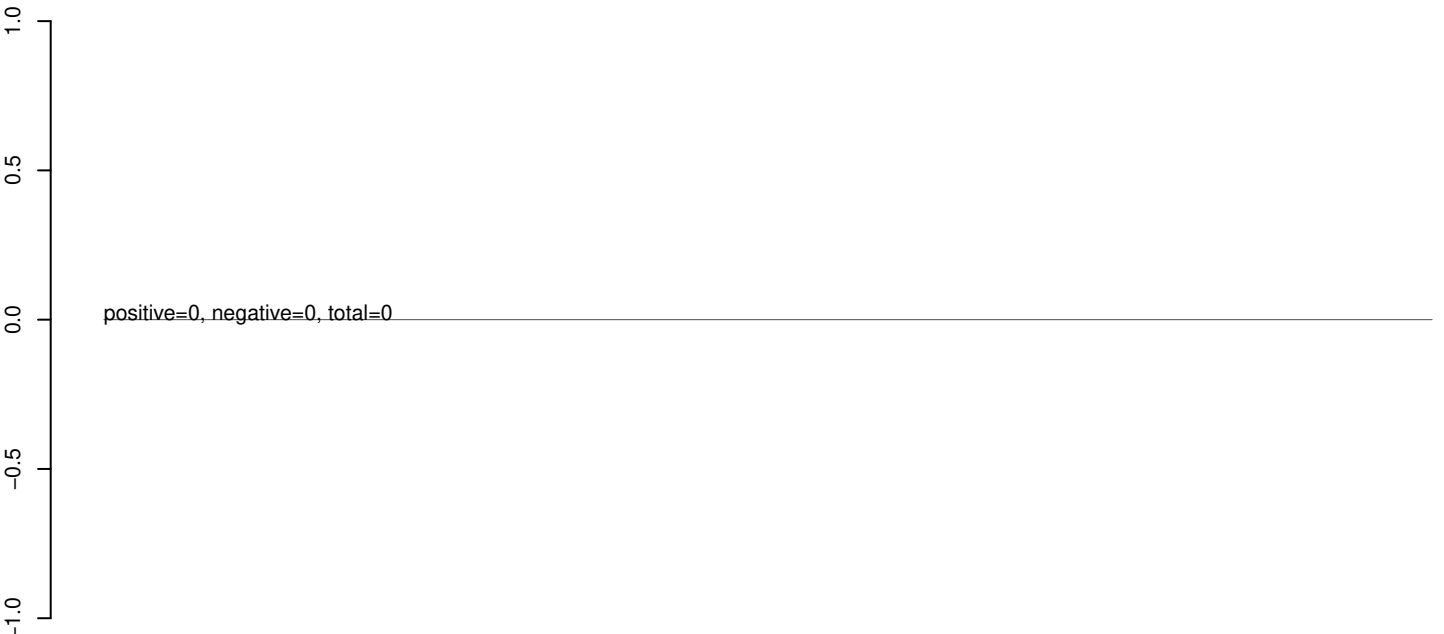
AeAeg_Whole_ZIKV_BM2_GP.rep



AeAeg_Whole_ZIKV_BM2_GP.18_23.rep



AeAeg_Whole_ZIKV_BM2_GP.24_35.rep



AeAeg_Whole_ZIKV_BM2_GP.rep

